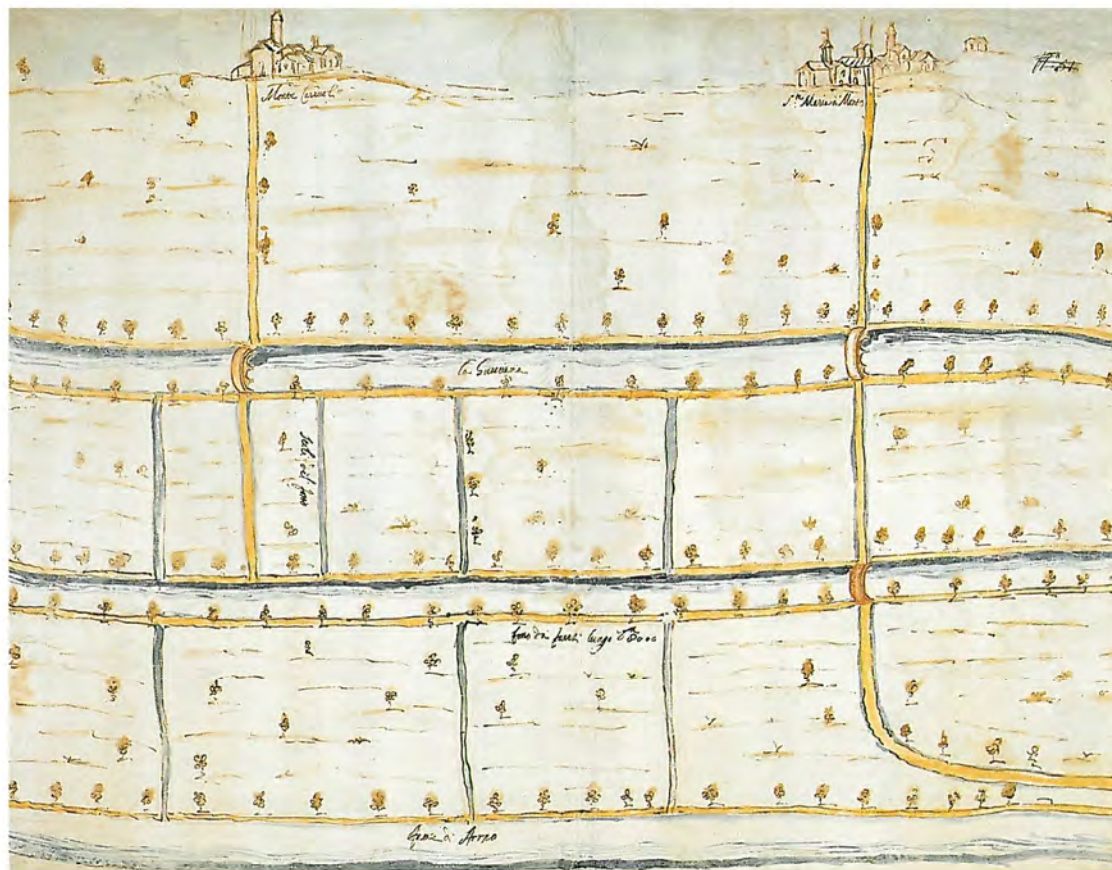




Comune di Santa Maria a Monte
(Provincia di Pisa)



REGOLAMENTO URBANISTICO

VARIANTE DI ADEGUAMENTO AL P.S. (ai sensi Art.222 L.R.65/14)

Sindaco: Ilaria Parrella

Ass. Urbanistica: Silvano Melani

SETTORE 3

Garante della comunicazione:

Dott. Paolo Di Carlo

Responsabile del procedimento:

Dott. Luigi Degl'Innocenti

Collaboratore tecnico:

Arch. Patrizia Lombardi

Geom. Daniele Luchetti

AUTORITA' COMPETENTE V.A.S.:

Arch. Paola Pollina

PROGETTO

Arch. Mauro Ciampa

(Architetti Associati M.Ciampa - P.Lazzeroni)

Arch. Chiara Ciampa

Arch. Giovanni Giusti

Collaboratore:

Geogr. Laura Garcés

VALUTAZIONI

PFM - Società tra professionisti

Dott. Agr. Guido Franchi

Dott. Agr. Federico Martinelli

Collaboratore:

Dott. Agr. Irene Giannelli

STUDI GEOLOGICI

Geoprogetti Studio Associato

Dott. Geol. Francesca Franchi

Dott. Geol. Emilio Pistilli

Dott. Geol. Alessandra Giannetti

Dicembre 2016

ALLEGATO

4

- 4a - Indagini sismiche puntuali eseguite a supporto del PS
- 4b - Indagini sismiche puntuali reperite presso l'archivio comunale
- 4c - Indagini sismiche puntuali eseguite a supporto del RU

ALLEGATO 4A

***INDAGINI SISMICHE PUNTUALI ESEGUITE
A SUPPORTO DEL PIANO STRUTTURALE
(TROMOMETRIE 1-35)***

Rapporto n°02192012				
Committente		Comune di Santa Maria a Monte		
				
Tipo di indagine		Misure di microtremore sismico ambientale		
Cantiere		Territorio Comunale		
Data esecuzione misure	varie			
Data rapporto	emissione	19 febbraio 2013		
Redazione			Verifica	
Dott. Simone Sartini			Dott. Alessandro Bianchi	

1) Scopo dell'indagine

Dietro incarico della Committenza sono state eseguite misure di microtremori (rumore sismico ambientale) a stazione singola in corrispondenza di n°35 stazioni dislocate sul territorio del Comune di Santa Maria a Monte. Si vedano le tavole allegate per l'ubicazione dei punti di rilevamento.

Le indagini sono di supporto agli studi di Microzonazione Sismica di Livello 1 del territorio comunale ai sensi del DPGR n°53/R del 25 ottobre 2011, Regolamento di attuazione dell'Art.62 della L.R. 3 gennaio 2005, n°1 (Norme per il governo del territorio) in materia di indagini geologico.

Per l'esecuzione delle indagini si è inoltre tenuto conto dei seguenti documenti tecnici:

- Indirizzi e criteri per la Mirozonazione Sismica (ICMS) approvati il 13 novembre 2008 dalla Conferenza delle Regioni e delle Province Autonome;
- Istruzioni Tecniche del Programma Regionale VEL;
- Specifiche tecniche regionali per l'elaborazione di indagini e studi di mirozonazione sismica (aggiornamento 01/04/2011) redatte dal Coordinamento Regionale Prevenzione Sismica;
- Volume di Ingegneria Sismica Anno XXVIII – n.2 – 2011.

Oggetto della presente relazione sono i risultati a cui si è pervenuti.

2) Cenni teorici del metodo HVSR

Le misure in oggetto mirano alla registrazione del cosiddetto "rumore sismico" (o "microtremore"). Il rumore sismico è presente ovunque sulla superficie della terra ed è generato dai fenomeni ambientali naturali (moti ondosi oceanici, vento) e dall'attività antropica.

Negli anni sono stati sviluppate diverse metodologie per lo studio dei microtremori ma fra tutte quella che ha avuto il maggior riconoscimento dalla comunità scientifica ed è pertanto la più usata ed affidabile è quella che impiega i rapporti spettrali H/V e che consiste nella misura dei rapporti degli spettri nel piano orizzontale e della componente verticale. Il metodo è stato introdotto nei primi anni '70 da scienziati giapponesi tra cui Nogoshi e Igarashi (1971) e Shiono et al. (1979) e poi ripreso e pubblicato nel 1989 da Nakamura.

Il metodo H/V o HVSR (Horizontal to Vertical Spectral Ratios) mira all'individuazione di possibili fenomeni di risonanza sismica e delle relative frequenze e si basa sulla misura dei rapporti medi fra le ampiezze spettrali delle componenti orizzontali e della componente verticale del rumore sismico ambientale. In presenza di forti contrasti di impedenza sismica nel sottosuolo (ad esempio in corrispondenze del passaggio fra litologie caratterizzate da velocità delle onde sismiche molto differenti) la funzione H/V, che rappresenta i rapporti spettrali medi in funzione della frequenza, presenta dei massimi che corrispondono con le frequenze di risonanza. Esiste poi una proporzionalità (non lineare) fra l'ampiezza dei massimi della funzione H/V e l'entità del contrasto di impedenza sismica.

La frequenza di risonanza fornisce indicazioni sul rapporto fra la velocità delle onde S dello strato al tetto del bedrock sismico e la profondità di quest'ultimo:

$$f_0 = V_s/(4H)$$

dove:

f_0 = frequenza di risonanza

V_s = velocità delle onde S della copertura

H = spessore della copertura/profondità bedrock

Per l'esecuzione di misure quanto più significative possibili e di buona qualità è necessario curare in campagna due aspetti fondamentali: il posizionamento e l'accoppiamento dello strumento di acquisizione sul terreno e la scelta dei parametri di acquisizione.

Per quanto riguarda il primo aspetto in tutti i casi il tomografo è stato posizionato su terreno naturale, lontano da strutture e da fonti di rumore elettromagnetico ed è stato particolarmente curato l'accoppiamento dei puntali con il terreno scorticando la prima parte molle e vegetale evitando il contatto con parti mobili.

Per quanto riguarda la scelta dei parametri di acquisizione le misure sono state eseguite con una frequenza di campionamento di 128 HZ e su finestre temporali di 20 m (1200 sec). La scelta della durata della registrazione si basa sulla seguente considerazione.

Supponendo di voler osservare la risonanza di una coltre sedimentaria su un bedrock piuttosto profondo e che la frequenza di risonanza sia dell'ordine di 0,5 Hz il segnale si ripeterà con un periodo di 2 sec che rappresenta il tempo minimo di ascolto utile per l'osservazione della frequenza attesa. A questo punto però è necessario (per garantire una adeguata risoluzione spettrale) che il segnale venga analizzato su finestre temporali almeno 10 volte maggiori del periodo di ripetizione del segnale. In questo caso 20 sec. Infine il segnale deve essere mediato a livello statistico campionando almeno 30-40 finestre da 20 secondi (800 sec). In questo caso il segnale è stato campionato su 1200 sec e considerando che le frequenze di risonanza riscontrate sono in tutti i casi maggiori di 1 Hz la scelta appare adeguata.

La qualità delle misurazioni è stata valutata sulla base della direzionalità e della stazionarietà della funzione H/V e verificando che i picchi H/V ritenuti significativi coincidano con minimi locali della componente spettrale verticale. Questa è la circostanza caratteristica di discontinuità stratigrafiche. Molte volte si osservano dei picchi alti, stretti e ben definiti sulle tre componenti attribuibili a vibrazioni concentrate attorno ad una specifica frequenza dovuta rumore incoerente dovuto a transienti.

La strumentazione impiegata è un tomografo TROMINO prodotto dalla Micromed (serial no. TRZ-0195/01-12) ed i dati sono stati analizzati con il software dedicato GRILLA.

L'analisi dei dati è stata eseguita su finestre temporali di 20 sec e con uno smoothing triangolare al 10%.

Per ogni misura singola, nelle tavole allegate viene riportato:

- grafico del RAPPORTO SPETTRALE ORIZZONTALE SU VERTICALE
- SERIE TEMPORALE H/V
- DIREZIONALITA' H/V
- grafico degli SPETTRI DELLE SINGOLE COMPONENTI

Infine viene valutata la qualità della misura secondo le linee guida SESAME, 2005 riportando i **Criteri per una curva H/V affidabile** ed i **Criteri per un picco H/V chiaro**.

Inoltre nella tabella che segue viene riportata la Classificazione della Curva H/V (Albarello D. & Castellaro S. (2011) – Tecniche sismiche passive indagini a stazione singola. Supplemento alla rivista Ingegneria sismica Anno XXVIII, n. 2-2011).

La Classificazione della Curva H/V avviene prendendo in considerazione tre classi di qualità:

Classe A: H/V affidabile e interpretabile: può essere utilizzata anche da sola

1. La forma dell'H/V nell'intervallo di frequenze di interesse rimane stazionaria per almeno il 30% circa della durata della misura (stazionarietà);
2. Le variazioni azimuthali di ampiezza non superano il 30% del massimo (isotropia);
3. non ci sono indizi di rumore elettromagnetico nella banda di frequenza di interesse (assenza di disturbi);
4. i massimi sono caratterizzati da una diminuzione localizzata di ampiezza dello spettro verticale (plausibilità fisica);
5. i criteri di SESAME per una curva H/V attendibile (primi 3 criteri) sono verificati (robustezza statistica);
6. la misura è durata almeno 15/20 minuti (durata).

Eccezione: misure effettuate su roccia integra affiorante o in zone alluvionali fini con basamento sismico molto profondo (tipicamente > 1Km) possono non mostrare alcun picco statisticamente significativo della curva H/V nell'intervallo di frequenze di interesse ingegneristico, a causa dell'assenza di contrasti di impedenza sufficientemente marcati. In questi casi, in cui la curva H/V apparirà piatta a con ampiezza circa pari a 1, il criterio 5 risulterà non verificato anche se la misura è di fatto attendibile. In questo solo caso la misura può ricadere nella classe A ma si consiglia di ripetere la misura per confermare l'effettiva assenza di massimi significativi.

Classe B: curva H/V sospetta (da "interpretare"): va utilizzata con cautela e solo se coerente con altre misure ottenute nelle vicinanze.

1. almeno una delle condizioni della classe A non è soddisfatta, a condizione che non si rientri nell'ECCEZIONE citata per la classe A

Classe C: curva H/V scadente e di difficile interpretazione: non va utilizzata.

1. misura di tipo B nella quale la curva H/V mostra una ampiezza crescente al diminuire della frequenza (deriva), indice di un movimento dello strumento durante la misura;
2. misura di tipo B nella quale si evidenzia la presenza di rumore elettromagnetico nell'intervallo di frequenze di potenziale interesse.

Per le sole Classi A e B si possono definire due sottoclassi delle classi precedenti:

Tipo 1. Presenta almeno un picco "chiaro" secondo i criteri di SESAME: possibile risonanza;

Tipo 2: Non presenta picchi "chiaro" nell'intervallo di frequenze di interesse: assenza di risonanza.

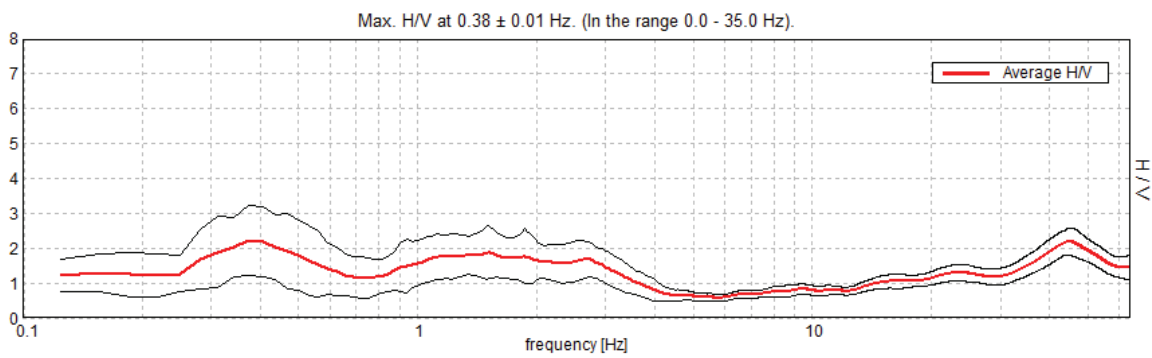
Denominazione	Coordinate Gauss-Boaga (m)		Picco H/V (Hz)	A0	Classificazione della curva H/V	
	X	Y			Classe	Tipo
HVSR_1	1635127.837	4838212.102	1.53 ± 0.02	3.30	A	1
HVSR_2	1634463.462	4838022.373	1.16 ± 0.02	3.64	A	1
HVSR_3	1635976.604	4837387.187	1.22 ± 0.02	3.86	A	1
HVSR_4	1636718.524	4837320.996	1.22 ± 0.05	3.63	A	1
HVSR_5	1638374.724	4839733.326	1.19 ± 0.03	3.79	B	1
HVSR_6	1637810.347	4839018.430	1.13 ± 0.01	4.16	A	1
HVSR_7	1636662.084	4839343.983	1.53 ± 0.01	4.50	B	1
HVSR_8	1634415.586	4838395.797	1.25 ± 0.02	3.94	A	1
HVSR_9	1633816.463	4838389.688	2.44 ± 0.12	2.49	A	1
HVSR_10	1634322.058	4838921.923	3.94 ± 0.27	2.21	B	1
HVSR_11	1633861.208	4838590.422	5.78 ± 0.38	2.83	B	1
HVSR_12	1636326.905	4839817.200	8.44 ± 0.35	3.27	A	1
HVSR_13	1635813.314	4840273.993	2.81 ± 0.19	2.28	A	1
HVSR_14	1635546.731	4840313.135	0.38 ± 0.01	2.21	B	1
HVSR_15	1635815.480	4839666.063	0.47 ± 0.12	2.45	A	1
HVSR_16	1636175.534	4837572.394	1.22 ± 0.02	3.88	A	1
HVSR_17	1635103.636	4838949.697			B	2
HVSR_18	1634060.324	4838080.063	1.13 ± 0.01	4.16	A	1
HVSR_19	1634150.536	4838379.839	1.25 ± 0.02	3.35	A	1
HVSR_20	1635452.421	4840453.927	2.19 ± 0.38	2.30	A	1
HVSR_21	1635446.890	4839782.480	1.88 ± 0.22	2.94	B	1
HVSR_22	1634562.165	4838734.095	7.13 ± 0.53	2.52	B	1
HVSR_23	1634975.144	4836705.160	1.13 ± 0.01	3.78	A	1
HVSR_24	1637486.920	4839295.175	1.22 ± 0.02	3.88	A	1
HVSR_25	1638184.416	4839128.551	1.06 ± 0.01	3.98	A	1
HVSR_26	1638906.282	4839679.254	1.22 ± 0.02	3.36	A	1
HVSR_27	1636642.748	4837670.760	1.25 ± 0.01	3.54	A	1
HVSR_28	1636389.873	4836990.176	1.19 ± 0.03	3.52	A	1
HVSR_29	1637292.533	4838454.960	1.09 ± 0.01	3.54	A	1
HVSR_30	1636975.912	4839027.035	1.22 ± 0.01	4.60	B	1
HVSR_31	1636026.371	4838759.908	1.44 ± 0.01	4.31	A	1
HVSR_32	1634805.685	4839796.265	0.44 ± 0.14	2.62	B	1
HVSR_33	1634461.391	4839966.875	0.47 ± 0.28	2.87	B	1
HVSR_34	1634624.138	4837576.841	1.13 ± 0.02	3.48	B	1
HVSR_35	1637886.218	4839610.454	1.19 ± 0.03	3.86	A	1

Nella tabella soprastante sono riportati i valori di frequenza in corrispondenza dei quali, per ciascuna misura, si ha il picco in termini di ampiezza (A0) del rapporto H/V.

È comunque necessario valutare attentamente ciascuna misura poiché in alcuni casi possono essere presenti ulteriori picchi con ampiezza inferiore ad A0 in corrispondenza di altri valori di frequenza. Questi picchi, se correlabili a minimi locali della componente spettrale verticale sono indice di discontinuità stratigrafiche che possono rivestire una certa importanza ai fini degli effetti amplificativi locali.

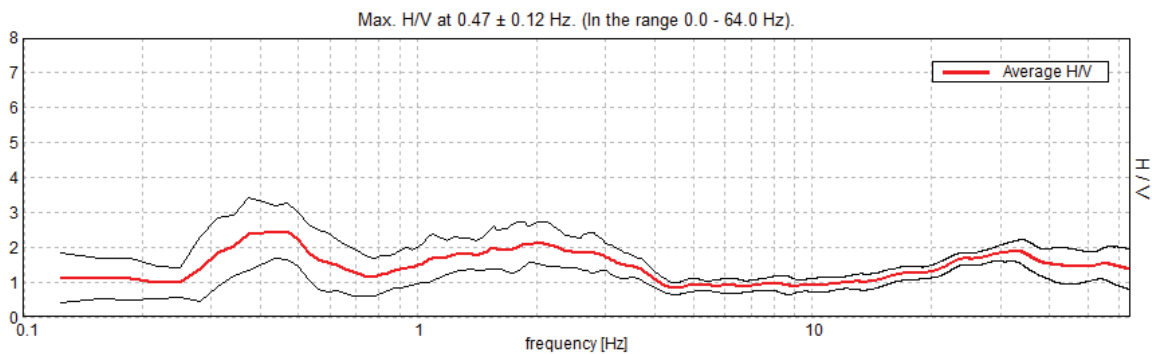
Si veda ad esempio il grafico H/V della misura HVSR_14 in cui è evidente un picco di ampiezza pari a 1.87 centrato alla frequenza di 1.50 Hz

RAPPORTO SPETTRALE ORIZZONTALE SU VERTICALE HVSR_14



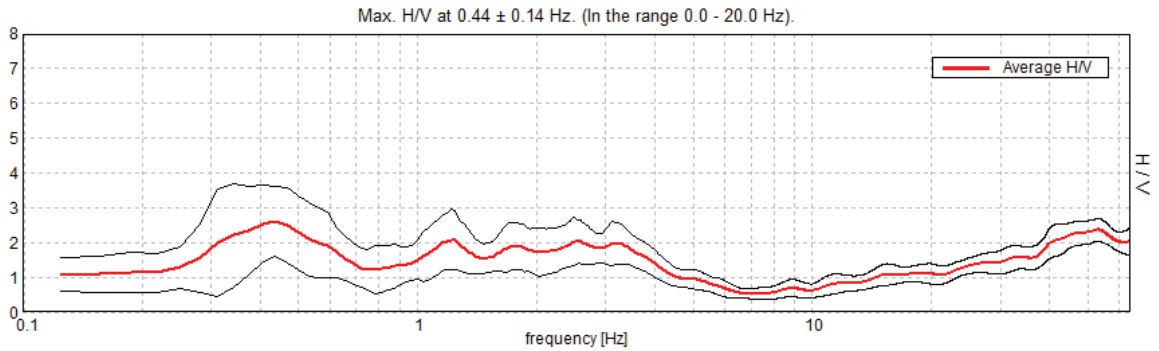
Il grafico H/V della misura HVSR_15 in cui è evidente un picco di ampiezza pari a 2.24 centrato circa alla frequenza di 1.88 Hz.

RAPPORTO SPETTRALE ORIZZONTALE SU VERTICALE HVSR_15



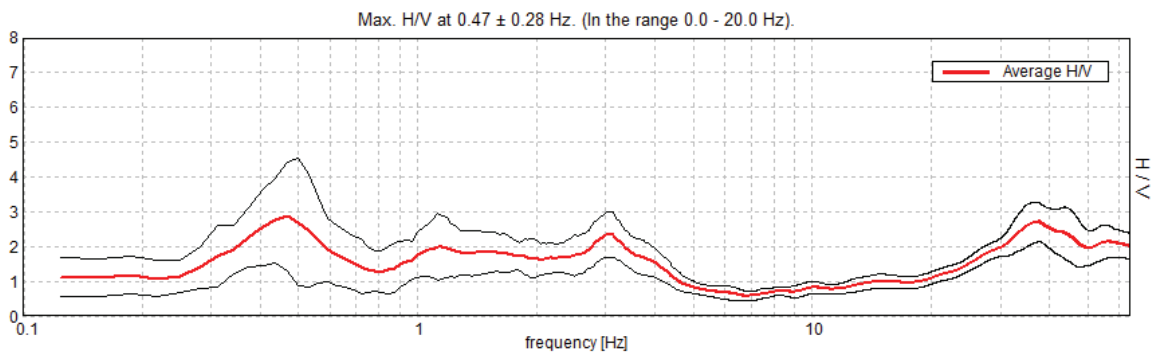
Anche sul grafico H/V della misura HVSR_32 sono evidenti ulteriori picchi centrati a 1.22 Hz (A = 2.09), a 2.5 Hz (A = 2.03) e a 3.19 Hz (A = 1.97).

RAPPORTO SPETTRALE ORIZZONTALE SU VERTICALE HVSR_32



Infine, sul grafico H/V della misura HVSR_33 sono evidenti due picchi centrati rispettivamente a 1.13 Hz ($A = 1.98$) e a 3.06 Hz ($A = 2.35$).

RAPPORTO SPETTRALE ORIZZONTALE SU VERTICALE HVSR_33



3) Interpretazione dei risultati

In Tab.1 (tratta da Albarello D. & Castellaro S. (2011) – Tecniche sismiche passive indagini a stazione singola. Supplemento alla rivista Ingegneria sismica Anno XXVIII, n. 2-2011) è riportata una correlazione fra il valore della frequenza di risonanza misurata e lo spessore delle coperture.

Tab. 1 - Abaco per la stima dello spessore delle coperture (h) a partire dai valori delle frequenze di risonanza (f_0) determinate dalle misure H/V.

F_0 (Hz)	h (m)
<1	>100
1 -2	50-100
2 -3	30-50
3 -5	20-30
5 -8	10-20
8 -20	5-10
>20	<5

Sulla base di questa tabella è possibile ottenere una indicazione di larga massima sulla profondità dello strato risonante.

È inoltre possibile ottenere una stima più accurata utilizzando la formula sopra riportata ($f_0 = V_s/(4H)$) che correla la frequenza di risonanza con la velocità V_s e lo spessore delle coperture.

HVSR_1

Strumento: TRZ-0195/01-12

Inizio registrazione: 19/02/13 07:42:16 Fine registrazione: 19/02/13 08:02:16

Nomi canali: NORTH SOUTH; EAST WEST ; UP DOWN

Dato GPS non disponibile

Condizioni Meteo: sereno, vento assente

Superficie: terreno naturale

Durata registrazione: 0h20'00".

Analisi effettuata sull'intera traccia.

Freq. campionamento: 128 Hz

Lunghezza finestre: 20 s

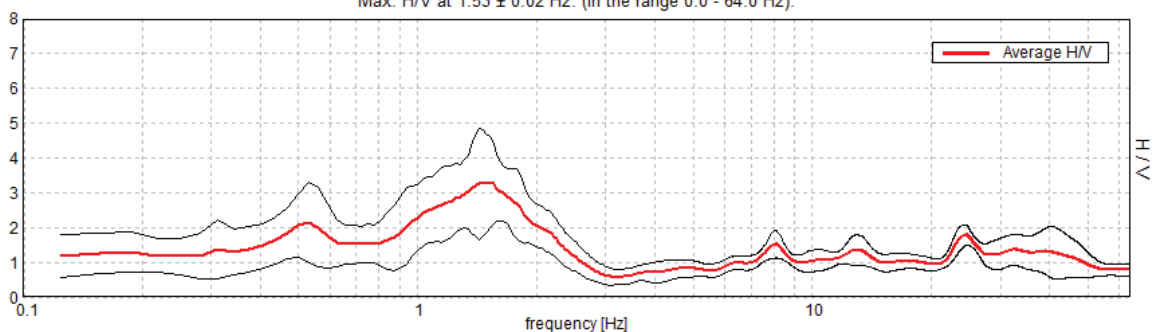
Tipo di lisciamento: Triangular window

Lisciamento: 10%

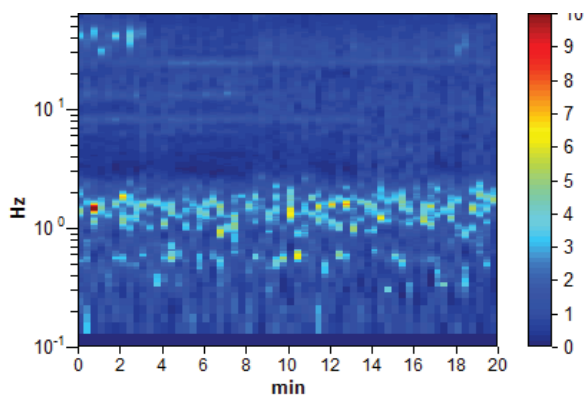


RAPPORTO SPETTRALE ORIZZONTALE SU VERTICALE

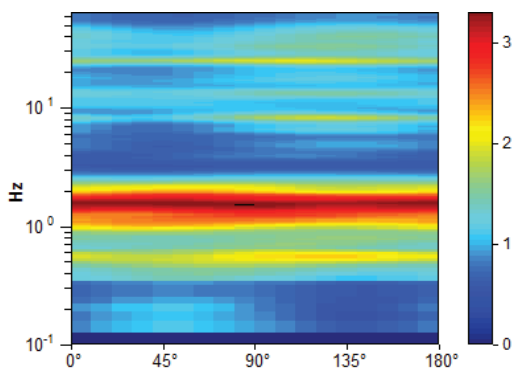
Max. H/V at 1.53 ± 0.02 Hz. (In the range 0.0 - 64.0 Hz).



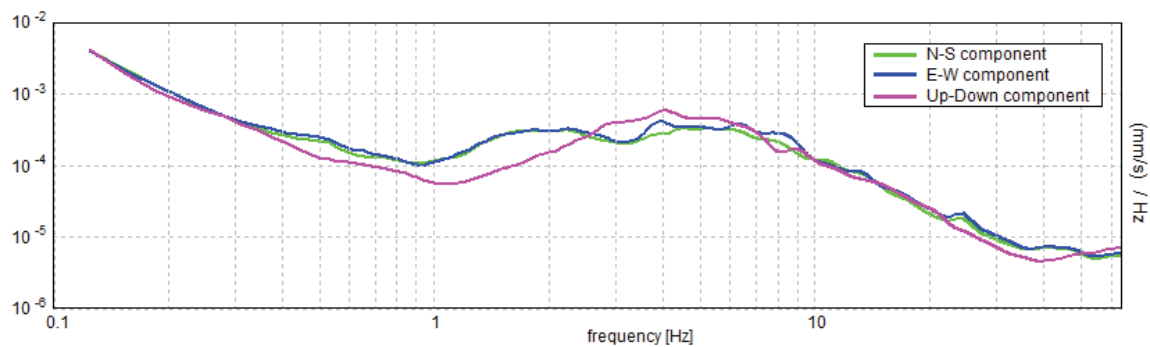
SERIE TEMPORALE H/V



DIREZIONALITA' H/V



SPETTRI DELLE SINGOLE COMPONENTI



Secondo le linee guida SESAME, 2004

Picco H/V a 1.53 ± 0.02 Hz (nell'intervallo 0.0 - 64.0 Hz).

Criteri per una curva H/V affidabile

[Tutti 3 dovrebbero risultare soddisfatti]

$f_0 > 10 / L_w$	$1.53 > 0.50$	OK	
$n_c(f_0) > 200$	$1837.5 > 200$	OK	
$\sigma_A(f) < 2$ per $0.5f_0 < f < 2f_0$ se $f_0 > 0.5\text{Hz}$ $\sigma_A(f) < 3$ per $0.5f_0 < f < 2f_0$ se $f_0 < 0.5\text{Hz}$	Superato 0 volte su 74	OK	

Criteri per un picco H/V chiaro

[Almeno 5 su 6 dovrebbero essere soddisfatti]

Esiste f^- in $[f_0/4, f_0]$ $A_{H/V}(f^-) < A_0 / 2$	0.844 Hz	OK	
Esiste f^+ in $[f_0, 4f_0]$ $A_{H/V}(f^+) < A_0 / 2$	2.281 Hz	OK	
$A_0 > 2$	$3.30 > 2$	OK	
$f_{\text{picco}}[A_{H/V}(f) \pm \sigma_A(f)] = f_0 \pm 5\%$	$ 0.00575 < 0.05$	OK	
$\sigma_f < \varepsilon(f_0)$	$0.00881 < 0.15313$	OK	
$\sigma_A(f_0) < \theta(f_0)$	$0.6521 < 1.78$	OK	

L_w	lunghezza della finestra
n_w	numero di finestre usate nell'analisi
$n_c = L_w n_w f_0$	numero di cicli significativi
f	frequenza attuale
f_0	frequenza del picco H/V
σ_f	deviazione standard della frequenza del picco H/V
$\varepsilon(f_0)$	valore di soglia per la condizione di stabilità $\sigma_f < \varepsilon(f_0)$
A_0	ampiezza della curva H/V alla frequenza f_0
$A_{H/V}(f)$	ampiezza della curva H/V alla frequenza f
f^-	frequenza tra $f_0/4$ e f_0 alla quale $A_{H/V}(f^-) < A_0/2$
f^+	frequenza tra f_0 e $4f_0$ alla quale $A_{H/V}(f^+) < A_0/2$
$\sigma_A(f)$	deviazione standard di $A_{H/V}(f)$, $\sigma_A(f)$ è il fattore per il quale la curva $A_{H/V}(f)$ media deve essere moltiplicata o divisa
$\sigma_{\log H/V}(f)$	deviazione standard della funzione $\log A_{H/V}(f)$
$\theta(f_0)$	valore di soglia per la condizione di stabilità $\sigma_A(f) < \theta(f_0)$

Valori di soglia per σ_f e $\sigma_A(f_0)$

Intervallo di freq. [Hz]	< 0.2	0.2 – 0.5	0.5 – 1.0	1.0 – 2.0	> 2.0
$\varepsilon(f_0)$ [Hz]	$0.25 f_0$	$0.2 f_0$	$0.15 f_0$	$0.10 f_0$	$0.05 f_0$
$\theta(f_0)$ per $\sigma_A(f_0)$	3.0	2.5	2.0	1.78	1.58
$\log \theta(f_0)$ per $\sigma_{\log H/V}(f_0)$	0.48	0.40	0.30	0.25	0.20

HVSR_2

Strumento: TRZ-0195/01-12

Inizio registrazione: 18/02/13 17:01:40 Fine registrazione: 18/02/13 17:21:40

Nomi canali: NORTH SOUTH; EAST WEST ; UP DOWN

Dato GPS non disponibile

Condizioni Meteo: sereno, vento assente

Superficie: terreno naturale

Durata registrazione: 0h20'00".

Analisi effettuata sull'intera traccia.

Freq. campionamento: 128 Hz

Lunghezza finestre: 20 s

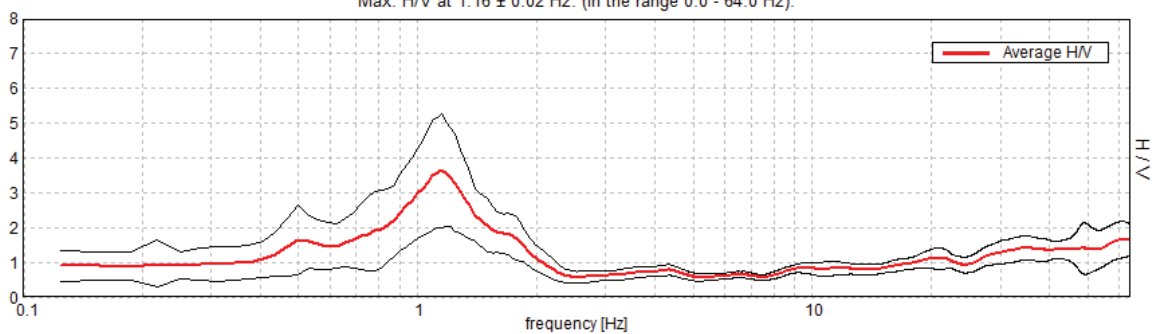
Tipo di lisciamento: Triangular window

Lisciamento: 10%

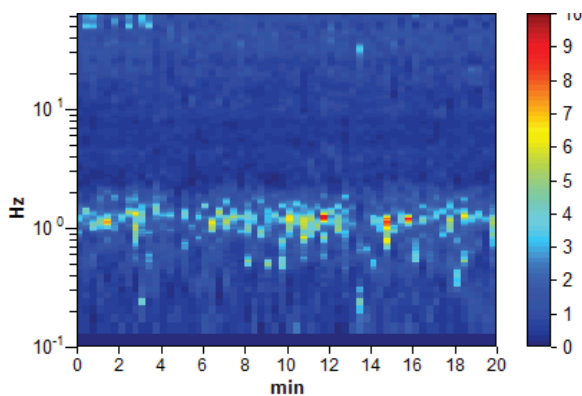


RAPPORTO SPETTRALE ORIZZONTALE SU VERTICALE

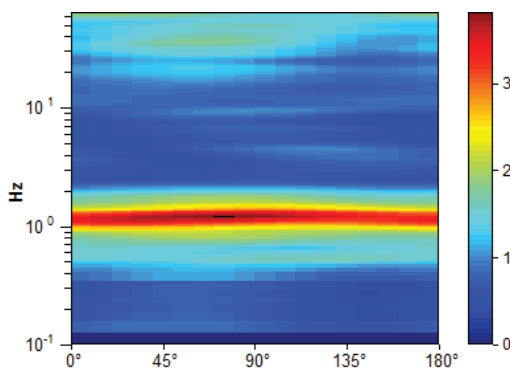
Max. H/V at 1.16 ± 0.02 Hz. (In the range 0.0 - 64.0 Hz).



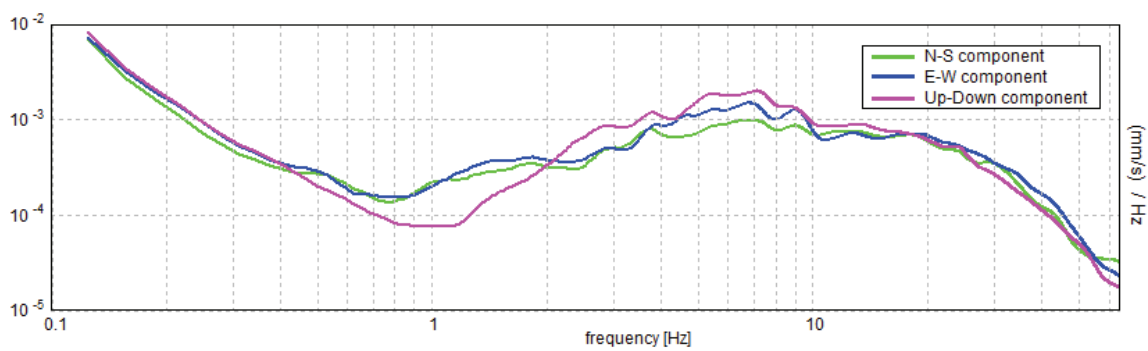
SERIE TEMPORALE H/V



DIREZIONALITA' H/V



SPETTRI DELLE SINGOLE COMPONENTI



Secondo le linee guida SESAME, 2004

Picco H/V a 1.16 ± 0.02 Hz (nell'intervallo 0.0 - 64.0 Hz).

Criteri per una curva H/V affidabile

[Tutti 3 dovrebbero risultare soddisfatti]

$f_0 > 10 / L_w$	$1.16 > 0.50$	OK	
$n_c(f_0) > 200$	$1387.5 > 200$	OK	
$\sigma_A(f) < 2$ per $0.5f_0 < f < 2f_0$ se $f_0 > 0.5\text{Hz}$ $\sigma_A(f) < 3$ per $0.5f_0 < f < 2f_0$ se $f_0 < 0.5\text{Hz}$	Superato 0 volte su 56	OK	

Criteri per un picco H/V chiaro

[Almeno 5 su 6 dovrebbero essere soddisfatti]

Esiste f^- in $[f_0/4, f_0]$ $A_{H/V}(f^-) < A_0 / 2$	0.75 Hz	OK	
Esiste f^+ in $[f_0, 4f_0]$ $A_{H/V}(f^+) < A_0 / 2$	1.656 Hz	OK	
$A_0 > 2$	$3.64 > 2$	OK	
$f_{\text{picco}}[A_{H/V}(f) \pm \sigma_A(f)] = f_0 \pm 5\%$	$ 0.00767 < 0.05$	OK	
$\sigma_f < \varepsilon(f_0)$	$0.00887 < 0.11563$	OK	
$\sigma_A(f_0) < \theta(f_0)$	$0.8152 < 1.78$	OK	

L_w	lunghezza della finestra
n_w	numero di finestre usate nell'analisi
$n_c = L_w n_w f_0$	numero di cicli significativi
f	frequenza attuale
f_0	frequenza del picco H/V
σ_f	deviazione standard della frequenza del picco H/V
$\varepsilon(f_0)$	valore di soglia per la condizione di stabilità $\sigma_f < \varepsilon(f_0)$
A_0	ampiezza della curva H/V alla frequenza f_0
$A_{H/V}(f)$	ampiezza della curva H/V alla frequenza f
f^-	frequenza tra $f_0/4$ e f_0 alla quale $A_{H/V}(f^-) < A_0/2$
f^+	frequenza tra f_0 e $4f_0$ alla quale $A_{H/V}(f^+) < A_0/2$
$\sigma_A(f)$	deviazione standard di $A_{H/V}(f)$, $\sigma_A(f)$ è il fattore per il quale la curva $A_{H/V}(f)$ media deve essere moltiplicata o divisa
$\sigma_{\log H/V}(f)$	deviazione standard della funzione $\log A_{H/V}(f)$
$\theta(f_0)$	valore di soglia per la condizione di stabilità $\sigma_A(f) < \theta(f_0)$

Valori di soglia per σ_f e $\sigma_A(f_0)$

Intervallo di freq. [Hz]	< 0.2	0.2 - 0.5	0.5 - 1.0	1.0 - 2.0	> 2.0
$\varepsilon(f_0)$ [Hz]	$0.25 f_0$	$0.2 f_0$	$0.15 f_0$	$0.10 f_0$	$0.05 f_0$
$\theta(f_0)$ per $\sigma_A(f_0)$	3.0	2.5	2.0	1.78	1.58
$\log \theta(f_0)$ per $\sigma_{\log H/V}(f_0)$	0.48	0.40	0.30	0.25	0.20

HVSR_3

Strumento: TRZ-0195/01-12

Inizio registrazione: 19/02/13 13:36:16 Fine registrazione: 19/02/13 13:56:16

Nomi canali: NORTH SOUTH; EAST WEST ; UP DOWN

Dato GPS non disponibile

Condizioni Meteo: sereno, vento assente

Superficie: terreno naturale

Durata registrazione: 0h20'00".

Analisi effettuata sull'intera traccia.

Freq. campionamento: 128 Hz

Lunghezza finestre: 20 s

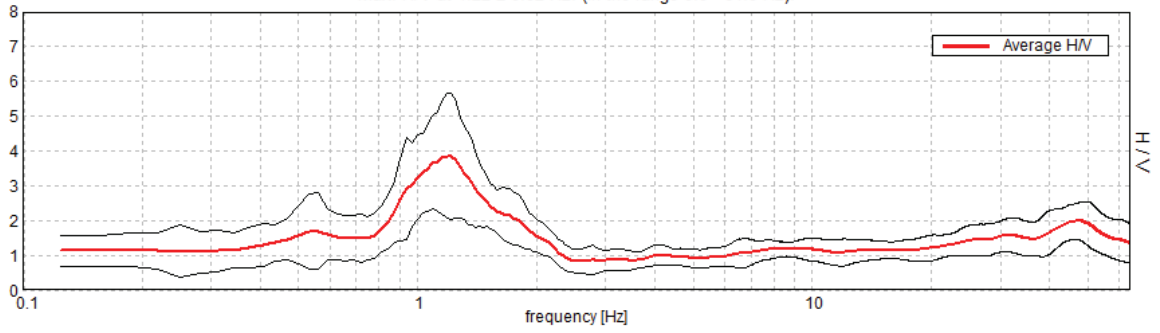
Tipo di lisciamento: Triangular window

Lisciamento: 10%

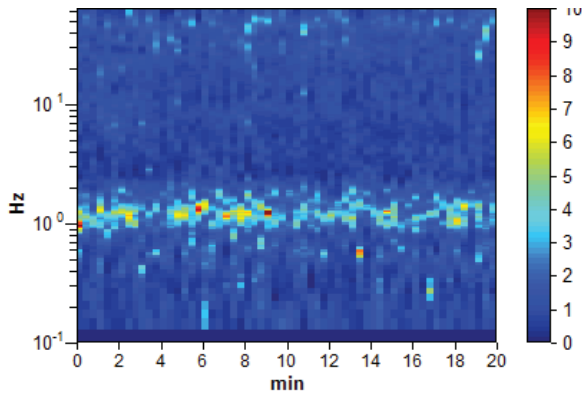


RAPPORTO SPETTRALE ORIZZONTALE SU VERTICALE

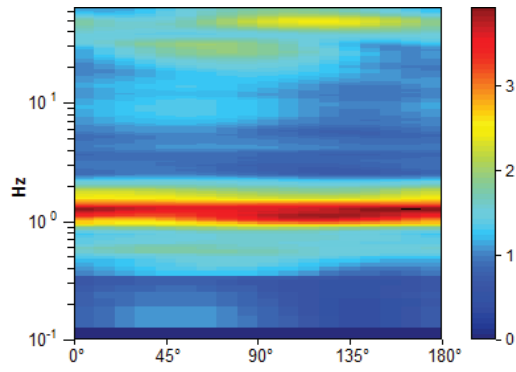
Max. H/V at 1.22 ± 0.02 Hz. (In the range 0.0 - 64.0 Hz).



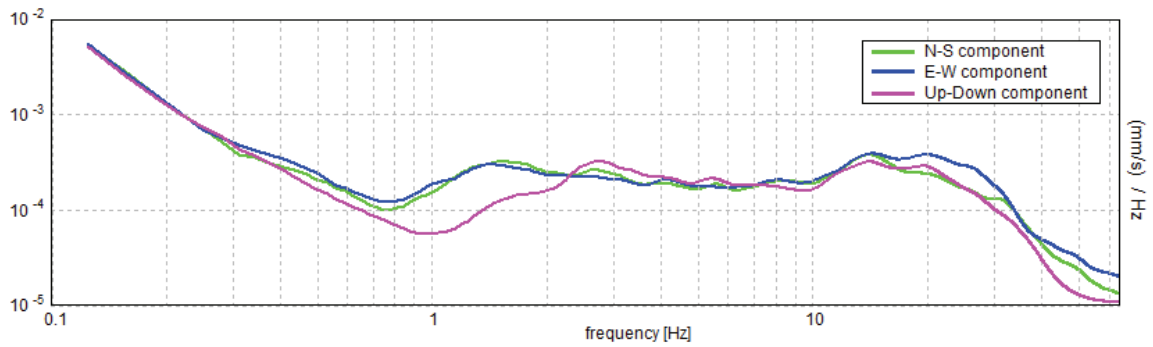
SERIE TEMPORALE H/V



DIREZIONALITA' H/V



SPETTRI DELLE SINGOLE COMPONENTI



Secondo le linee guida SESAME, 2004

Picco H/V a 1.22 ± 0.02 Hz (nell'intervallo 0.0 - 64.0 Hz).

Criteri per una curva H/V affidabile

[Tutti 3 dovrebbero risultare soddisfatti]

$f_0 > 10 / L_w$	$1.22 > 0.50$	OK	
$n_c(f_0) > 200$	$1462.5 > 200$	OK	
$\sigma_A(f) < 2$ per $0.5f_0 < f < 2f_0$ se $f_0 > 0.5\text{Hz}$ $\sigma_A(f) < 3$ per $0.5f_0 < f < 2f_0$ se $f_0 < 0.5\text{Hz}$	Superato 0 volte su 60	OK	

Criteri per un picco H/V chiaro

[Almeno 5 su 6 dovrebbero essere soddisfatti]

Esiste f^- in $[f_0/4, f_0]$ $A_{H/V}(f^-) < A_0 / 2$	0.813 Hz	OK	
Esiste f^+ in $[f_0, 4f_0]$ $A_{H/V}(f^+) < A_0 / 2$	1.844 Hz	OK	
$A_0 > 2$	$3.86 > 2$	OK	
$f_{\text{picco}}[A_{H/V}(f) \pm \sigma_A(f)] = f_0 \pm 5\%$	$ 0.00958 < 0.05$	OK	
$\sigma_f < \varepsilon(f_0)$	$0.01168 < 0.12188$	OK	
$\sigma_A(f_0) < \theta(f_0)$	$0.903 < 1.78$	OK	

L_w	lunghezza della finestra
n_w	numero di finestre usate nell'analisi
$n_c = L_w n_w f_0$	numero di cicli significativi
f	frequenza attuale
f_0	frequenza del picco H/V
σ_f	deviazione standard della frequenza del picco H/V
$\varepsilon(f_0)$	valore di soglia per la condizione di stabilità $\sigma_f < \varepsilon(f_0)$
A_0	ampiezza della curva H/V alla frequenza f_0
$A_{H/V}(f)$	ampiezza della curva H/V alla frequenza f
f^-	frequenza tra $f_0/4$ e f_0 alla quale $A_{H/V}(f^-) < A_0/2$
f^+	frequenza tra f_0 e $4f_0$ alla quale $A_{H/V}(f^+) < A_0/2$
$\sigma_A(f)$	deviazione standard di $A_{H/V}(f)$, $\sigma_A(f)$ è il fattore per il quale la curva $A_{H/V}(f)$ media deve essere moltiplicata o divisa
$\sigma_{\log H/V}(f)$	deviazione standard della funzione $\log A_{H/V}(f)$
$\theta(f_0)$	valore di soglia per la condizione di stabilità $\sigma_A(f) < \theta(f_0)$

Valori di soglia per σ_f e $\sigma_A(f_0)$

Intervallo di freq. [Hz]	< 0.2	0.2 - 0.5	0.5 - 1.0	1.0 - 2.0	> 2.0
$\varepsilon(f_0)$ [Hz]	$0.25 f_0$	$0.2 f_0$	$0.15 f_0$	$0.10 f_0$	$0.05 f_0$
$\theta(f_0)$ per $\sigma_A(f_0)$	3.0	2.5	2.0	1.78	1.58
$\log \theta(f_0)$ per $\sigma_{\log H/V}(f_0)$	0.48	0.40	0.30	0.25	0.20

HVSR_4

Strumento: TRZ-0195/01-12

Inizio registrazione: 19/02/13 15:03:36 Fine registrazione: 19/02/13 15:23:36

Nomi canali: NORTH SOUTH; EAST WEST ; UP DOWN

Dato GPS non disponibile

Condizioni Meteo: sereno, vento assente

Superficie: terreno naturale

Durata registrazione: 0h20'00".

Analisi effettuata sull'intera traccia.

Freq. campionamento: 128 Hz

Lunghezza finestre: 20 s

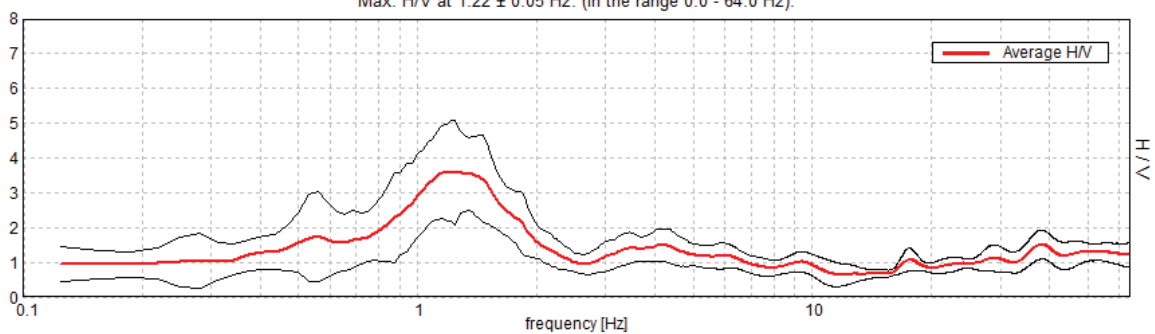
Tipo di lisciamento: Triangular window

Lisciamento: 10%

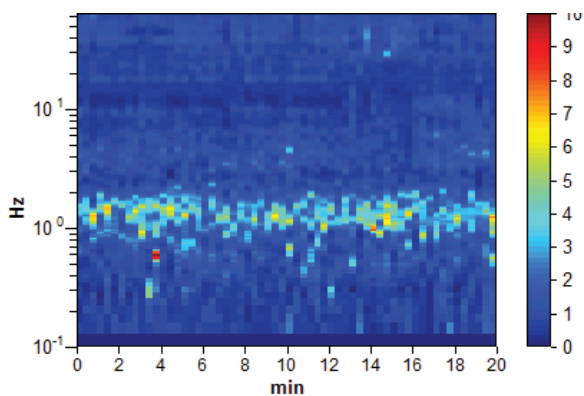


RAPPORTO SPETTRALE ORIZZONTALE SU VERTICALE

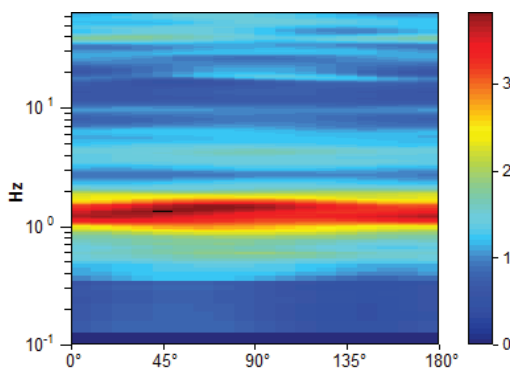
Max. H/V at 1.22 ± 0.05 Hz. (In the range 0.0 - 64.0 Hz).



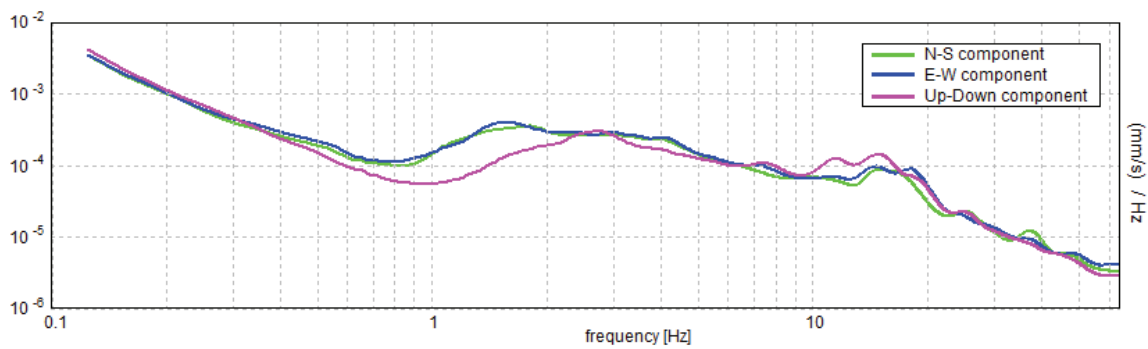
SERIE TEMPORALE H/V



DIREZIONALITA' H/V



SPETTRI DELLE SINGOLE COMPONENTI



Secondo le linee guida SESAME, 2004

Picco H/V a 1.22 ± 0.05 Hz (nell'intervallo 0.0 - 64.0 Hz).

Criteri per una curva H/V affidabile

[Tutti 3 dovrebbero risultare soddisfatti]

$f_0 > 10 / L_w$	$1.22 > 0.50$	OK	
$n_c(f_0) > 200$	$1462.5 > 200$	OK	
$\sigma_A(f) < 2$ per $0.5f_0 < f < 2f_0$ se $f_0 > 0.5\text{Hz}$ $\sigma_A(f) < 3$ per $0.5f_0 < f < 2f_0$ se $f_0 < 0.5\text{Hz}$	Superato 0 volte su 60	OK	

Criteri per un picco H/V chiaro

[Almeno 5 su 6 dovrebbero essere soddisfatti]

Esiste f^- in $[f_0/4, f_0]$ $A_{H/V}(f^-) < A_0 / 2$	0.75 Hz	OK	
Esiste f^+ in $[f_0, 4f_0]$ $A_{H/V}(f^+) < A_0 / 2$	1.938 Hz	OK	
$A_0 > 2$	$3.63 > 2$	OK	
$f_{\text{picco}}[A_{H/V}(f) \pm \sigma_A(f)] = f_0 \pm 5\%$	$ 0.01933 < 0.05$	OK	
$\sigma_f < \varepsilon(f_0)$	$0.02356 < 0.12188$	OK	
$\sigma_A(f_0) < \theta(f_0)$	$0.7171 < 1.78$	OK	

L_w	lunghezza della finestra
n_w	numero di finestre usate nell'analisi
$n_c = L_w n_w f_0$	numero di cicli significativi
f	frequenza attuale
f_0	frequenza del picco H/V
σ_f	deviazione standard della frequenza del picco H/V
$\varepsilon(f_0)$	valore di soglia per la condizione di stabilità $\sigma_f < \varepsilon(f_0)$
A_0	ampiezza della curva H/V alla frequenza f_0
$A_{H/V}(f)$	ampiezza della curva H/V alla frequenza f
f^-	frequenza tra $f_0/4$ e f_0 alla quale $A_{H/V}(f^-) < A_0/2$
f^+	frequenza tra f_0 e $4f_0$ alla quale $A_{H/V}(f^+) < A_0/2$
$\sigma_A(f)$	deviazione standard di $A_{H/V}(f)$, $\sigma_A(f)$ è il fattore per il quale la curva $A_{H/V}(f)$ media deve essere moltiplicata o divisa
$\sigma_{\log H/V}(f)$	deviazione standard della funzione $\log A_{H/V}(f)$
$\theta(f_0)$	valore di soglia per la condizione di stabilità $\sigma_A(f) < \theta(f_0)$

Valori di soglia per σ_f e $\sigma_A(f_0)$

Intervallo di freq. [Hz]	< 0.2	0.2 - 0.5	0.5 - 1.0	1.0 - 2.0	> 2.0
$\varepsilon(f_0)$ [Hz]	$0.25 f_0$	$0.2 f_0$	$0.15 f_0$	$0.10 f_0$	$0.05 f_0$
$\theta(f_0)$ per $\sigma_A(f_0)$	3.0	2.5	2.0	1.78	1.58
$\log \theta(f_0)$ per $\sigma_{\log H/V}(f_0)$	0.48	0.40	0.30	0.25	0.20

HVSR_5

Strumento: TRZ-0195/01-12

Inizio registrazione: 18/02/13 11:50:59 Fine registrazione: 18/02/13 12:10:59

Nomi canali: NORTH SOUTH; EAST WEST ; UP DOWN

Dato GPS non disponibile

Condizioni Meteo: sereno, vento debole

Superficie: terreno naturale

Durata registrazione: 0h20'00".

Analizzato 92% tracciato (selezione manuale)

Freq. campionamento: 128 Hz

Lunghezza finestre: 20 s

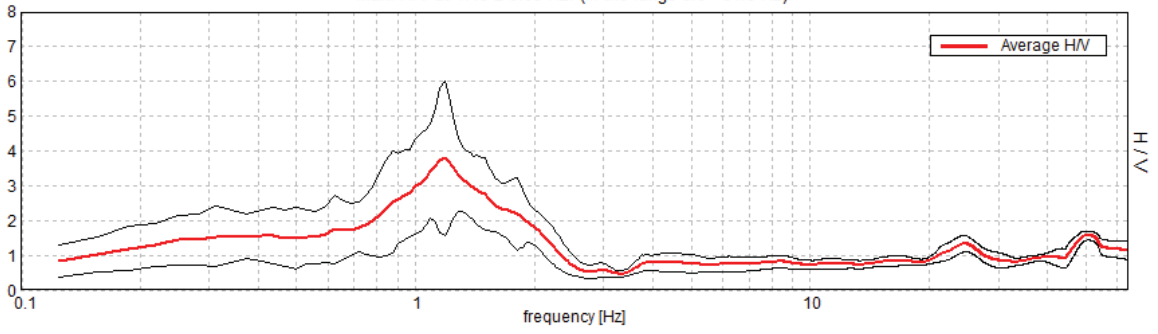
Tipo di lisciamento: Triangular window

Lisciamento: 10%

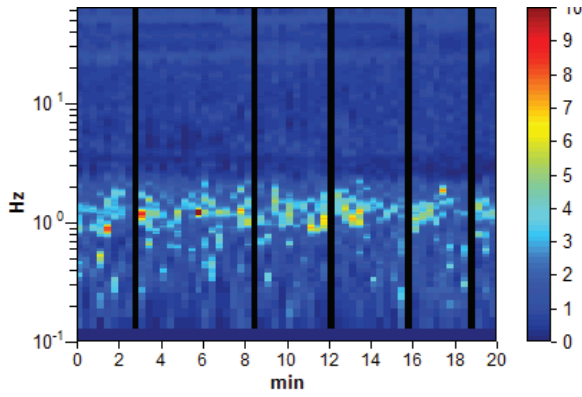


RAPPORTO SPETTRALE ORIZZONTALE SU VERTICALE

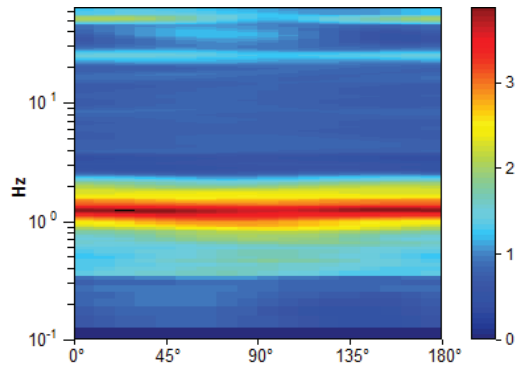
Max. H/V at 1.19 ± 0.03 Hz. (In the range 0.0 - 64.0 Hz).



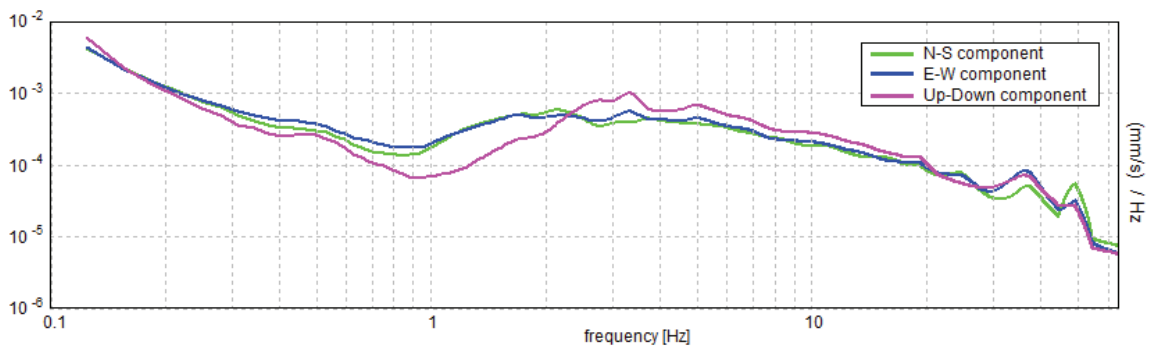
SERIE TEMPORALE H/V



DIREZIONALITA' H/V



SPETTRI DELLE SINGOLE COMPONENTI



Secondo le linee guida SESAME, 2004.

Picco H/V a 1.19 ± 0.03 Hz (nell'intervallo 0.0 - 64.0 Hz).

Criteri per una curva H/V affidabile

[Tutti 3 dovrebbero risultare soddisfatti]

$f_0 > 10 / L_w$	1.19 > 0.50	OK	
$n_c(f_0) > 200$	1306.3 > 200	OK	
$\sigma_A(f) < 2$ per $0.5f_0 < f < 2f_0$ se $f_0 > 0.5\text{Hz}$ $\sigma_A(f) < 3$ per $0.5f_0 < f < 2f_0$ se $f_0 < 0.5\text{Hz}$	Superato 2 volte su 58		NO

Criteri per un picco H/V chiaro

[Almeno 5 su 6 dovrebbero essere soddisfatti]

Esiste f^- in $[f_0/4, f_0]$ $A_{H/V}(f^-) < A_0 / 2$	0.75 Hz	OK	
Esiste f^+ in $[f_0, 4f_0]$ $A_{H/V}(f^+) < A_0 / 2$	1.969 Hz	OK	
$A_0 > 2$	3.79 > 2	OK	
$f_{\text{picco}}[A_{H/V}(f) \pm \sigma_A(f)] = f_0 \pm 5\%$	$ 0.01353 < 0.05$	OK	
$\sigma_f < \varepsilon(f_0)$	$0.01607 < 0.11875$	OK	
$\sigma_A(f_0) < \theta(f_0)$	$1.0901 < 1.78$	OK	

L_w	lunghezza della finestra
n_w	numero di finestre usate nell'analisi
$n_c = L_w n_w f_0$	numero di cicli significativi
f	frequenza attuale
f_0	frequenza del picco H/V
σ_f	deviazione standard della frequenza del picco H/V
$\varepsilon(f_0)$	valore di soglia per la condizione di stabilità $\sigma_f < \varepsilon(f_0)$
A_0	ampiezza della curva H/V alla frequenza f_0
$A_{H/V}(f)$	ampiezza della curva H/V alla frequenza f
f^-	frequenza tra $f_0/4$ e f_0 alla quale $A_{H/V}(f^-) < A_0/2$
f^+	frequenza tra f_0 e $4f_0$ alla quale $A_{H/V}(f^+) < A_0/2$
$\sigma_A(f)$	deviazione standard di $A_{H/V}(f)$, $\sigma_A(f)$ è il fattore per il quale la curva $A_{H/V}(f)$ media deve essere moltiplicata o divisa
$\sigma_{\log H/V}(f)$	deviazione standard della funzione $\log A_{H/V}(f)$
$\theta(f_0)$	valore di soglia per la condizione di stabilità $\sigma_A(f) < \theta(f_0)$

Valori di soglia per σ_f e $\sigma_A(f_0)$

Intervallo di freq. [Hz]	< 0.2	0.2 – 0.5	0.5 – 1.0	1.0 – 2.0	> 2.0
$\varepsilon(f_0)$ [Hz]	$0.25 f_0$	$0.2 f_0$	$0.15 f_0$	$0.10 f_0$	$0.05 f_0$
$\theta(f_0)$ per $\sigma_A(f_0)$	3.0	2.5	2.0	1.78	1.58
$\log \theta(f_0)$ per $\sigma_{\log H/V}(f_0)$	0.48	0.40	0.30	0.25	0.20

HVSR_6

Strumento: TRZ-0195/01-12

Inizio registrazione: 18/02/13 09:35:29 Fine registrazione: 18/02/13 09:55:29

Nomi canali: NORTH SOUTH; EAST WEST ; UP DOWN

Dato GPS non disponibile

Condizioni Meteo: sereno, vento assente

Superficie: terreno naturale

Durata registrazione: 0h20'00".

Analizzato 95% tracciato (selezione manuale)

Freq. campionamento: 128 Hz

Lunghezza finestre: 20 s

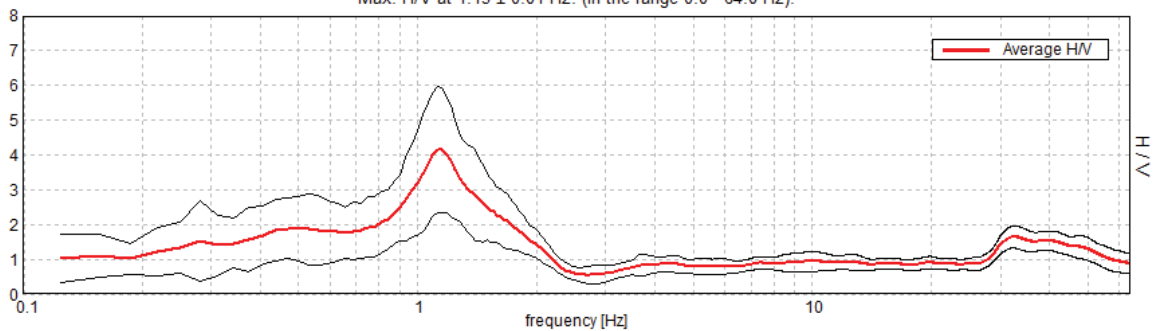
Tipo di lisciamento: Triangular window

Lisciamento: 10%

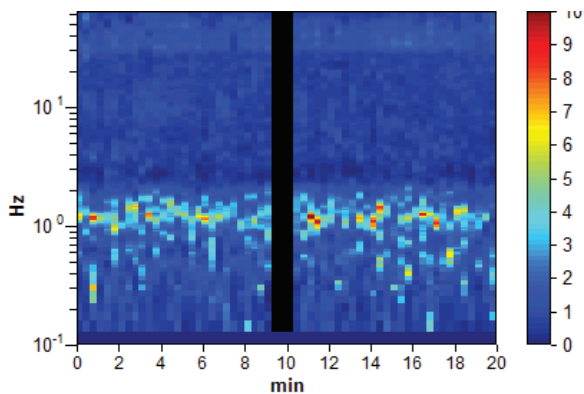


RAPPORTO SPETTRALE ORIZZONTALE SU VERTICALE

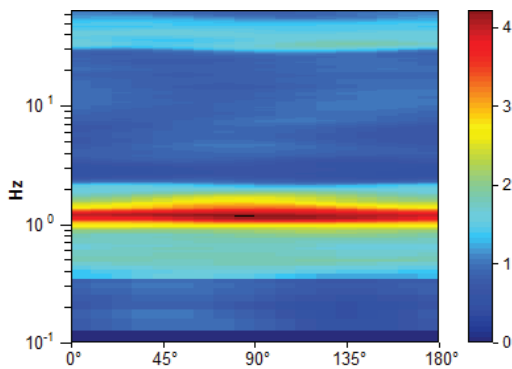
Max. H/V at 1.13 ± 0.01 Hz. (In the range 0.0 - 64.0 Hz).



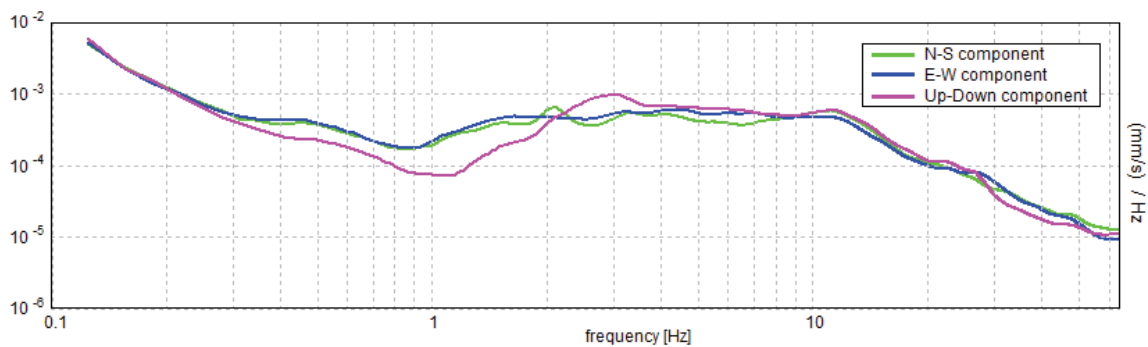
SERIE TEMPORALE H/V



DIREZIONALITA' H/V



SPETTRI DELLE SINGOLE COMPONENTI



Secondo le linee guida SESAME, 2004

Picco H/V a 1.13 ± 0.01 Hz (nell'intervallo 0.0 - 64.0 Hz).

Criteri per una curva H/V affidabile

[Tutti 3 dovrebbero risultare soddisfatti]

$f_0 > 10 / L_w$	$1.13 > 0.50$	OK	
$n_c(f_0) > 200$	$1282.5 > 200$	OK	
$\sigma_A(f) < 2$ per $0.5f_0 < f < 2f_0$ se $f_0 > 0.5\text{Hz}$ $\sigma_A(f) < 3$ per $0.5f_0 < f < 2f_0$ se $f_0 < 0.5\text{Hz}$	Superato 0 volte su 55	OK	

Criteri per un picco H/V chiaro

[Almeno 5 su 6 dovrebbero essere soddisfatti]

Esiste f^- in $[f_0/4, f_0]$ $A_{H/V}(f^-) < A_0 / 2$	0.813 Hz	OK	
Esiste f^+ in $[f_0, 4f_0]$ $A_{H/V}(f^+) < A_0 / 2$	1.719 Hz	OK	
$A_0 > 2$	$4.16 > 2$	OK	
$f_{\text{picco}}[A_{H/V}(f) \pm \sigma_A(f)] = f_0 \pm 5\%$	$ 0.00271 < 0.05$	OK	
$\sigma_f < \varepsilon(f_0)$	$0.00305 < 0.1125$	OK	
$\sigma_A(f_0) < \theta(f_0)$	$0.9031 < 1.78$	OK	

L_w	lunghezza della finestra
n_w	numero di finestre usate nell'analisi
$n_c = L_w n_w f_0$	numero di cicli significativi
f	frequenza attuale
f_0	frequenza del picco H/V
σ_f	deviazione standard della frequenza del picco H/V
$\varepsilon(f_0)$	valore di soglia per la condizione di stabilità $\sigma_f < \varepsilon(f_0)$
A_0	ampiezza della curva H/V alla frequenza f_0
$A_{H/V}(f)$	ampiezza della curva H/V alla frequenza f
f^-	frequenza tra $f_0/4$ e f_0 alla quale $A_{H/V}(f^-) < A_0/2$
f^+	frequenza tra f_0 e $4f_0$ alla quale $A_{H/V}(f^+) < A_0/2$
$\sigma_A(f)$	deviazione standard di $A_{H/V}(f)$, $\sigma_A(f)$ è il fattore per il quale la curva $A_{H/V}(f)$ media deve essere moltiplicata o divisa
$\sigma_{\log H/V}(f)$	deviazione standard della funzione $\log A_{H/V}(f)$
$\theta(f_0)$	valore di soglia per la condizione di stabilità $\sigma_A(f) < \theta(f_0)$

Valori di soglia per σ_f e $\sigma_A(f_0)$

Intervallo di freq. [Hz]	< 0.2	0.2 – 0.5	0.5 – 1.0	1.0 – 2.0	> 2.0
$\varepsilon(f_0)$ [Hz]	$0.25 f_0$	$0.2 f_0$	$0.15 f_0$	$0.10 f_0$	$0.05 f_0$
$\theta(f_0)$ per $\sigma_A(f_0)$	3.0	2.5	2.0	1.78	1.58
$\log \theta(f_0)$ per $\sigma_{\log H/V}(f_0)$	0.48	0.40	0.30	0.25	0.20

HVSR_7

Strumento: TRZ-0195/01-12

Inizio registrazione: 18/02/13 15:34:52 Fine registrazione: 18/02/13 15:54:52

Nomi canali: NORTH SOUTH; EAST WEST ; UP DOWN

Dato GPS non disponibile

Condizioni Meteo: sereno, vento debole

Superficie: terreno naturale

Durata registrazione: 0h20'00".

Analizzato 97% tracciato (selezione manuale)

Freq. campionamento: 128 Hz

Lunghezza finestre: 20 s

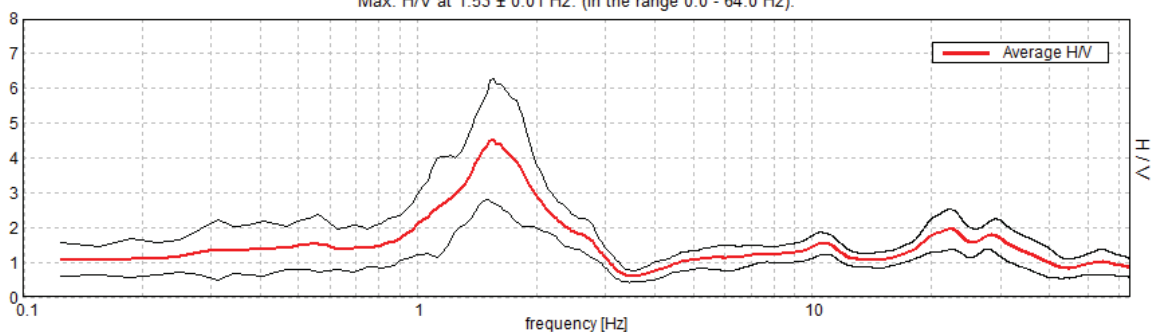
Tipo di lisciamento: Triangular window

Lisciamento: 10%

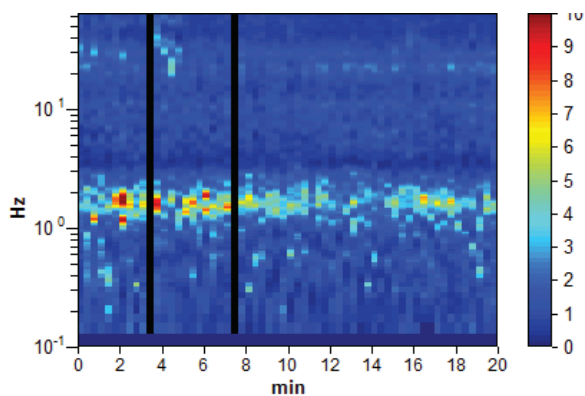


RAPPORTO SPETTRALE ORIZZONTALE SU VERTICALE

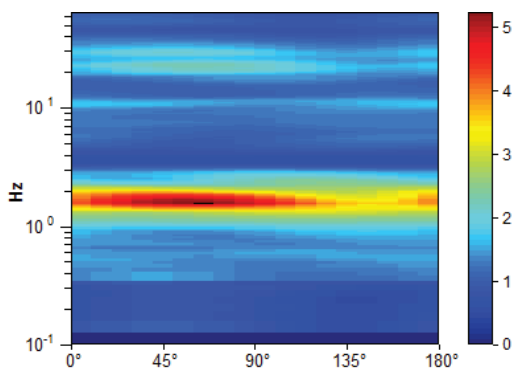
Max. H/V at 1.53 ± 0.01 Hz. (In the range 0.0 - 64.0 Hz).



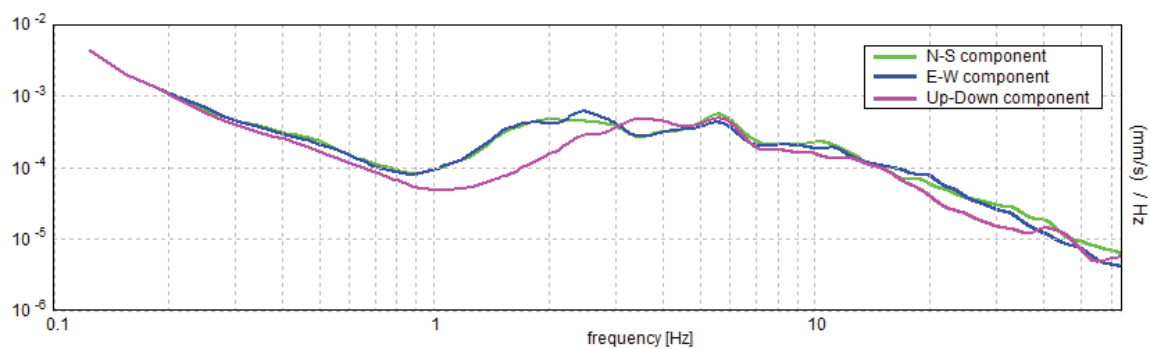
SERIE TEMPORALE H/V



DIREZIONALITA' H/V



SPETTRI DELLE SINGOLE COMPONENTI



Secondo le linee guida SESAME, 2004

Picco H/V a 1.53 ± 0.01 Hz (nell'intervallo 0.0 - 64.0 Hz).

Criteri per una curva H/V affidabile

[Tutti 3 dovrebbero risultare soddisfatti]

$f_0 > 10 / L_w$	$1.53 > 0.50$	OK	
$n_c(f_0) > 200$	$1776.3 > 200$	OK	
$\sigma_A(f) < 2$ per $0.5f_0 < f < 2f_0$ se $f_0 > 0.5\text{Hz}$ $\sigma_A(f) < 3$ per $0.5f_0 < f < 2f_0$ se $f_0 < 0.5\text{Hz}$	Superato 0 volte su 74	OK	

Criteri per un picco H/V chiaro

[Almeno 5 su 6 dovrebbero essere soddisfatti]

Esiste f^- in $[f_0/4, f_0]$ $A_{H/V}(f^-) < A_0 / 2$	1.031 Hz	OK	
Esiste f^+ in $[f_0, 4f_0]$ $A_{H/V}(f^+) < A_0 / 2$	2.281 Hz	OK	
$A_0 > 2$	$4.50 > 2$	OK	
$f_{\text{picco}}[A_{H/V}(f) \pm \sigma_A(f)] = f_0 \pm 5\%$	$ 0.00176 < 0.05$	OK	
$\sigma_f < \varepsilon(f_0)$	$0.00269 < 0.15313$	OK	
$\sigma_A(f_0) < \theta(f_0)$	$0.8576 < 1.78$	OK	

L_w	lunghezza della finestra
n_w	numero di finestre usate nell'analisi
$n_c = L_w n_w f_0$	numero di cicli significativi
f	frequenza attuale
f_0	frequenza del picco H/V
σ_f	deviazione standard della frequenza del picco H/V
$\varepsilon(f_0)$	valore di soglia per la condizione di stabilità $\sigma_f < \varepsilon(f_0)$
A_0	ampiezza della curva H/V alla frequenza f_0
$A_{H/V}(f)$	ampiezza della curva H/V alla frequenza f
f^-	frequenza tra $f_0/4$ e f_0 alla quale $A_{H/V}(f^-) < A_0/2$
f^+	frequenza tra f_0 e $4f_0$ alla quale $A_{H/V}(f^+) < A_0/2$
$\sigma_A(f)$	deviazione standard di $A_{H/V}(f)$, $\sigma_A(f)$ è il fattore per il quale la curva $A_{H/V}(f)$ media deve essere moltiplicata o divisa
$\sigma_{\log H/V}(f)$	deviazione standard della funzione $\log A_{H/V}(f)$
$\theta(f_0)$	valore di soglia per la condizione di stabilità $\sigma_A(f) < \theta(f_0)$

Valori di soglia per σ_f e $\sigma_A(f_0)$

Intervallo di freq. [Hz]	< 0.2	0.2 – 0.5	0.5 – 1.0	1.0 – 2.0	> 2.0
$\varepsilon(f_0)$ [Hz]	$0.25 f_0$	$0.2 f_0$	$0.15 f_0$	$0.10 f_0$	$0.05 f_0$
$\theta(f_0)$ per $\sigma_A(f_0)$	3.0	2.5	2.0	1.78	1.58
$\log \theta(f_0)$ per $\sigma_{\log H/V}(f_0)$	0.48	0.40	0.30	0.25	0.20

HVSR_8

Strumento: TRZ-0195/01-12

Inizio registrazione: 19/02/13 08:42:23 Fine registrazione: 19/02/13 09:02:23

Nomi canali: NORTH SOUTH; EAST WEST ; UP DOWN

Dato GPS non disponibile

Condizioni Meteo: sereno, vento assente

Superficie: terreno naturale

Durata registrazione: 0h20'00".

Analisi effettuata sull'intera traccia.

Freq. campionamento: 128 Hz

Lunghezza finestre: 20 s

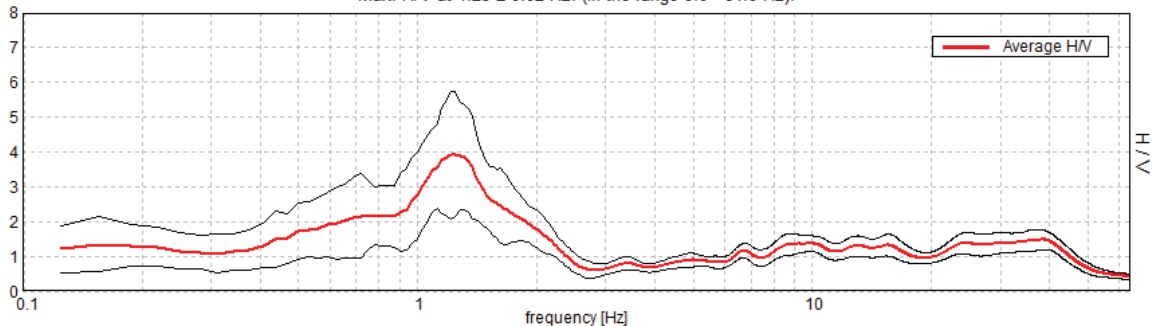
Tipo di lisciamento: Triangular window

Lisciamento: 10%

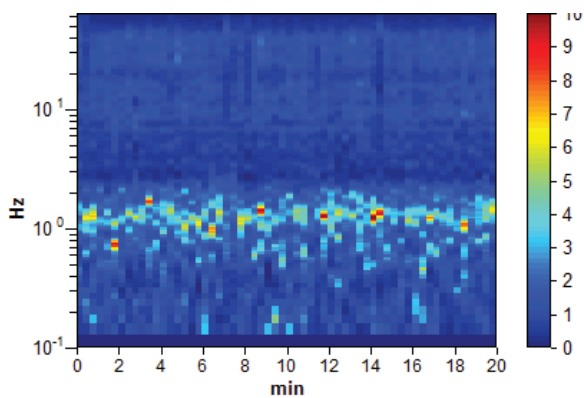


RAPPORTO SPETTRALE ORIZZONTALE SU VERTICALE

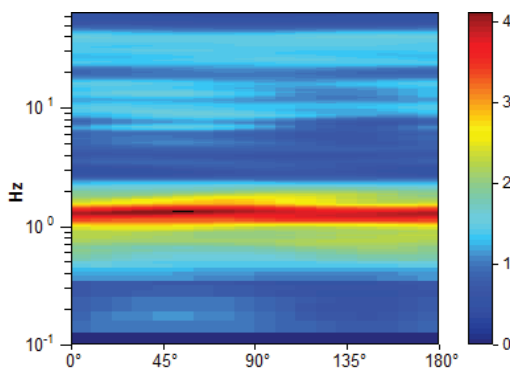
Max. H/V at 1.25 ± 0.02 Hz. (In the range 0.0 - 64.0 Hz).



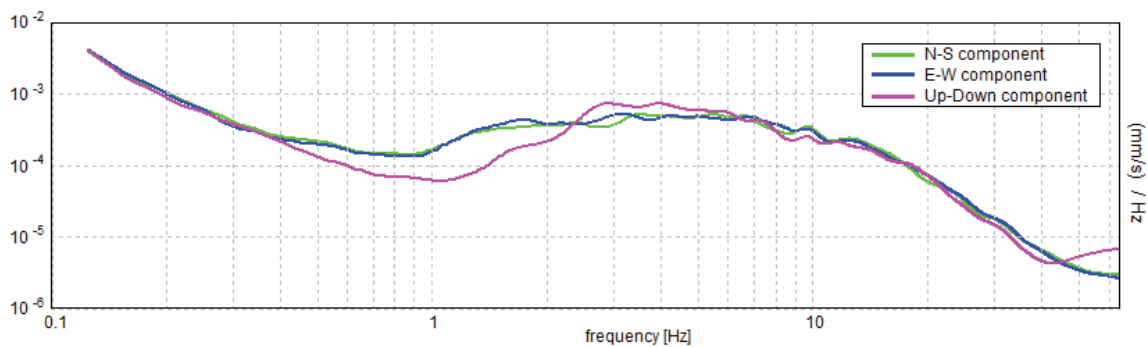
SERIE TEMPORALE H/V



DIREZIONALITA' H/V



SPETTRI DELLE SINGOLE COMPONENTI



Secondo le linee guida SESAME, 2004

Picco H/V a 1.25 ± 0.02 Hz (nell'intervallo 0.0 - 64.0 Hz).

Criteri per una curva H/V affidabile

[Tutti 3 dovrebbero risultare soddisfatti]

$f_0 > 10 / L_w$	$1.25 > 0.50$	OK	
$n_c(f_0) > 200$	$1500.0 > 200$	OK	
$\sigma_A(f) < 2$ per $0.5f_0 < f < 2f_0$ se $f_0 > 0.5\text{Hz}$ $\sigma_A(f) < 3$ per $0.5f_0 < f < 2f_0$ se $f_0 < 0.5\text{Hz}$	Superato 0 volte su 61	OK	

Criteri per un picco H/V chiaro

[Almeno 5 su 6 dovrebbero essere soddisfatti]

Esiste f^- in $[f_0/4, f_0]$ $A_{H/V}(f^-) < A_0 / 2$	0.625 Hz	OK	
Esiste f^+ in $[f_0, 4f_0]$ $A_{H/V}(f^+) < A_0 / 2$	1.906 Hz	OK	
$A_0 > 2$	$3.94 > 2$	OK	
$f_{\text{picco}}[A_{H/V}(f) \pm \sigma_A(f)] = f_0 \pm 5\%$	$ 0.00685 < 0.05$	OK	
$\sigma_f < \varepsilon(f_0)$	$0.00856 < 0.125$	OK	
$\sigma_A(f_0) < \theta(f_0)$	$0.8838 < 1.78$	OK	

L_w	lunghezza della finestra
n_w	numero di finestre usate nell'analisi
$n_c = L_w n_w f_0$	numero di cicli significativi
f	frequenza attuale
f_0	frequenza del picco H/V
σ_f	deviazione standard della frequenza del picco H/V
$\varepsilon(f_0)$	valore di soglia per la condizione di stabilità $\sigma_f < \varepsilon(f_0)$
A_0	ampiezza della curva H/V alla frequenza f_0
$A_{H/V}(f)$	ampiezza della curva H/V alla frequenza f
f^-	frequenza tra $f_0/4$ e f_0 alla quale $A_{H/V}(f^-) < A_0/2$
f^+	frequenza tra f_0 e $4f_0$ alla quale $A_{H/V}(f^+) < A_0/2$
$\sigma_A(f)$	deviazione standard di $A_{H/V}(f)$, $\sigma_A(f)$ è il fattore per il quale la curva $A_{H/V}(f)$ media deve essere moltiplicata o divisa
$\sigma_{\log H/V}(f)$	deviazione standard della funzione $\log A_{H/V}(f)$
$\theta(f_0)$	valore di soglia per la condizione di stabilità $\sigma_A(f) < \theta(f_0)$

Valori di soglia per σ_f e $\sigma_A(f_0)$

Intervallo di freq. [Hz]	< 0.2	0.2 - 0.5	0.5 - 1.0	1.0 - 2.0	> 2.0
$\varepsilon(f_0)$ [Hz]	$0.25 f_0$	$0.2 f_0$	$0.15 f_0$	$0.10 f_0$	$0.05 f_0$
$\theta(f_0)$ per $\sigma_A(f_0)$	3.0	2.5	2.0	1.78	1.58
$\log \theta(f_0)$ per $\sigma_{\log H/V}(f_0)$	0.48	0.40	0.30	0.25	0.20

HVSR_9

Strumento: TRZ-0195/01-12

Inizio registrazione: 19/02/13 09:41:38 Fine registrazione: 19/02/13 10:01:38

Nomi canali: NORTH SOUTH; EAST WEST ; UP DOWN

Dato GPS non disponibile

Condizioni Meteo: sereno, vento assente

Superficie: terreno naturale

Durata registrazione: 0h20'00".

Analizzato 83% tracciato (selezione automatica)

Freq. campionamento: 128 Hz

Lunghezza finestre: 20 s

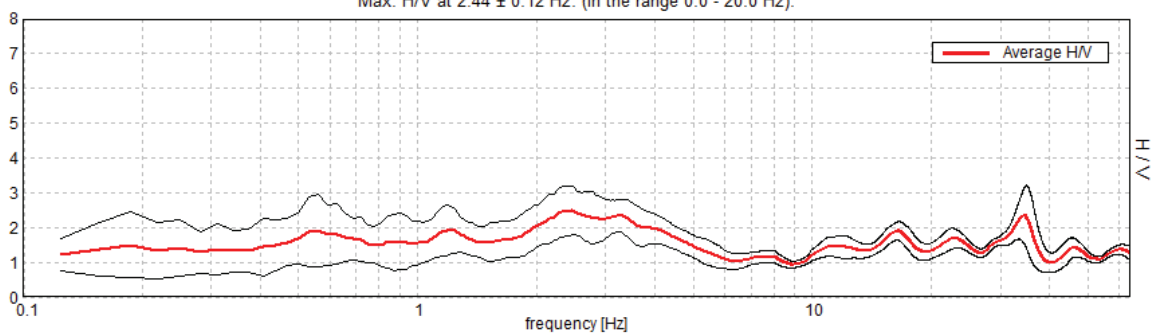
Tipo di lisciamento: Triangular window

Lisciamento: 10%

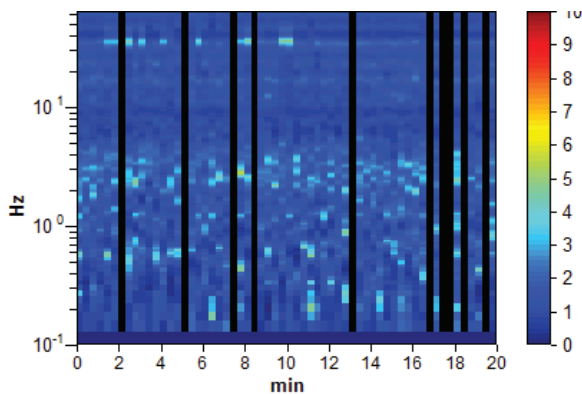


RAPPORTO SPETTRALE ORIZZONTALE SU VERTICALE

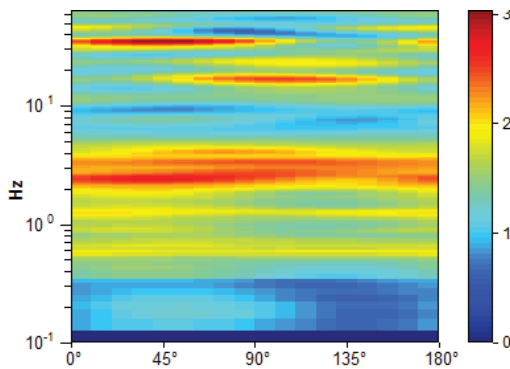
Max. H/V at 2.44 ± 0.12 Hz. (In the range 0.0 - 20.0 Hz).



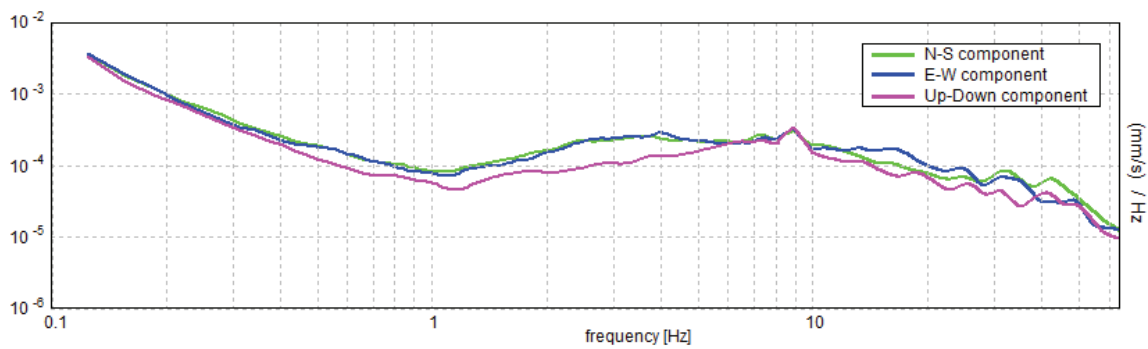
SERIE TEMPORALE H/V



DIREZIONALITA' H/V



SPETTRI DELLE SINGOLE COMPONENTI



Secondo le linee guida SESAME, 2004

Picco H/V a 2.44 ± 0.12 Hz (nell'intervallo 0.0 - 20.0 Hz).

Criteri per una curva H/V affidabile

[Tutti 3 dovrebbero risultare soddisfatti]

$f_0 > 10 / L_w$	$2.44 > 0.50$	OK	
$n_c(f_0) > 200$	$2437.5 > 200$	OK	
$\sigma_A(f) < 2$ per $0.5f_0 < f < 2f_0$ se $f_0 > 0.5\text{Hz}$ $\sigma_A(f) < 3$ per $0.5f_0 < f < 2f_0$ se $f_0 < 0.5\text{Hz}$	Superato 0 volte su 118	OK	

Criteri per un picco H/V chiaro

[Almeno 5 su 6 dovrebbero essere soddisfatti]

Esiste f^- in $[f_0/4, f_0]$ $A_{H/V}(f^-) < A_0 / 2$			NO
Esiste f^+ in $[f_0, 4f_0]$ $A_{H/V}(f^+) < A_0 / 2$	5.563 Hz	OK	
$A_0 > 2$	$2.49 > 2$	OK	
$f_{\text{picco}}[A_{H/V}(f) \pm \sigma_A(f)] = f_0 \pm 5\%$	$ 0.0234 < 0.05$	OK	
$\sigma_f < \varepsilon(f_0)$	$0.05703 < 0.12188$	OK	
$\sigma_A(f_0) < \theta(f_0)$	$0.352 < 1.58$	OK	

L_w	lunghezza della finestra
n_w	numero di finestre usate nell'analisi
$n_c = L_w n_w f_0$	numero di cicli significativi
f	frequenza attuale
f_0	frequenza del picco H/V
σ_f	deviazione standard della frequenza del picco H/V
$\varepsilon(f_0)$	valore di soglia per la condizione di stabilità $\sigma_f < \varepsilon(f_0)$
A_0	ampiezza della curva H/V alla frequenza f_0
$A_{H/V}(f)$	ampiezza della curva H/V alla frequenza f
f^-	frequenza tra $f_0/4$ e f_0 alla quale $A_{H/V}(f^-) < A_0/2$
f^+	frequenza tra f_0 e $4f_0$ alla quale $A_{H/V}(f^+) < A_0/2$
$\sigma_A(f)$	deviazione standard di $A_{H/V}(f)$, $\sigma_A(f)$ è il fattore per il quale la curva $A_{H/V}(f)$ media deve essere moltiplicata o divisa
$\sigma_{\log H/V}(f)$	deviazione standard della funzione $\log A_{H/V}(f)$
$\theta(f_0)$	valore di soglia per la condizione di stabilità $\sigma_A(f) < \theta(f_0)$

Valori di soglia per σ_f e $\sigma_A(f_0)$

Intervallo di freq. [Hz]	< 0.2	0.2 - 0.5	0.5 - 1.0	1.0 - 2.0	> 2.0
$\varepsilon(f_0)$ [Hz]	$0.25 f_0$	$0.2 f_0$	$0.15 f_0$	$0.10 f_0$	$0.05 f_0$
$\theta(f_0)$ per $\sigma_A(f_0)$	3.0	2.5	2.0	1.78	1.58
$\log \theta(f_0)$ per $\sigma_{\log H/V}(f_0)$	0.48	0.40	0.30	0.25	0.20

HVSR_10

Strumento: TRZ-0195/01-12

Inizio registrazione: 19/02/13 11:02:43 Fine registrazione: 19/02/13 11:22:43

Nomi canali: NORTH SOUTH; EAST WEST ; UP DOWN

Dato GPS non disponibile

Condizioni Meteo: sereno, vento assente

Superficie: terreno naturale

Durata registrazione: 0h20'00".

Analisi effettuata sull'intera traccia.

Freq. campionamento: 128 Hz

Lunghezza finestre: 20 s

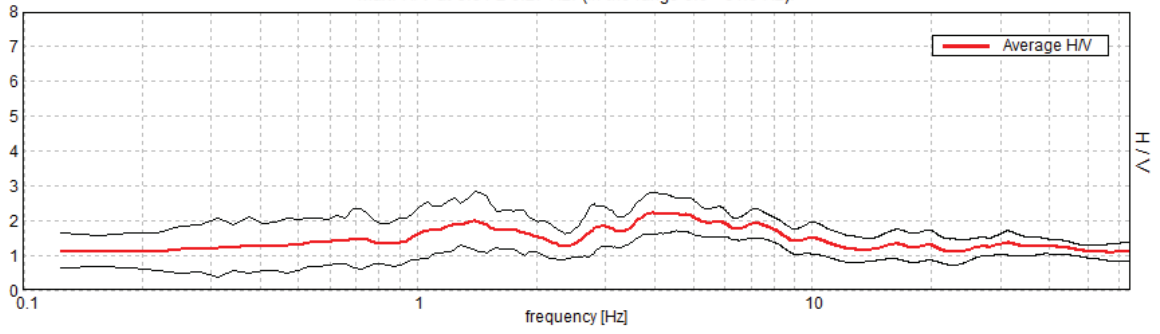
Tipo di lisciamento: Triangular window

Lisciamento: 10%

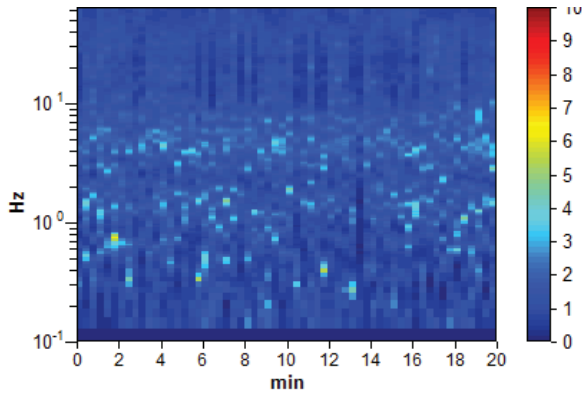


RAPPORTO SPETTRALE ORIZZONTALE SU VERTICALE

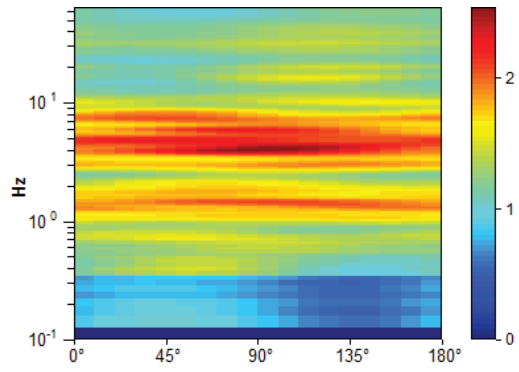
Max. H/V at 3.94 ± 0.27 Hz. (In the range 0.0 - 64.0 Hz).



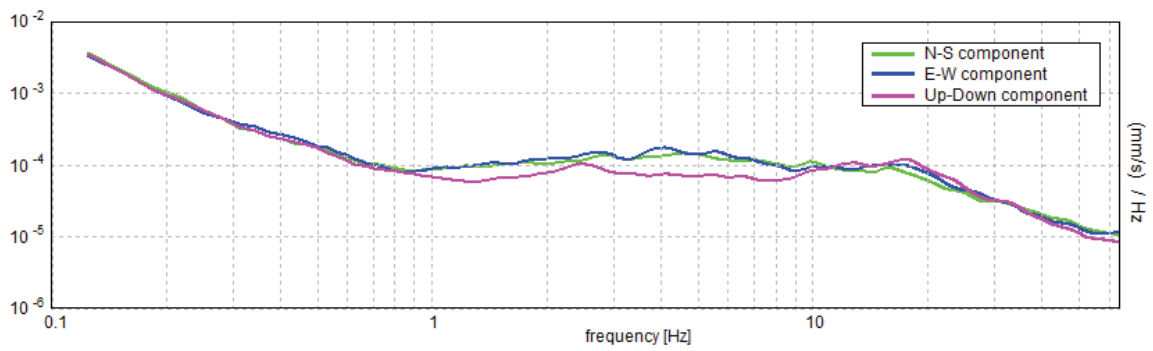
SERIE TEMPORALE H/V



DIREZIONALITA' H/V



SPETTRI DELLE SINGOLE COMPONENTI



Secondo le linee guida SESAME, 2004

Picco H/V a 3.94 ± 0.27 Hz (nell'intervallo 0.0 - 64.0 Hz).

Criteri per una curva H/V affidabile

[Tutti 3 dovrebbero risultare soddisfatti]

$f_0 > 10 / L_w$	$3.94 > 0.50$	OK	
$n_c(f_0) > 200$	$4725.0 > 200$	OK	
$\sigma_A(f) < 2$ per $0.5f_0 < f < 2f_0$ se $f_0 > 0.5\text{Hz}$ $\sigma_A(f) < 3$ per $0.5f_0 < f < 2f_0$ se $f_0 < 0.5\text{Hz}$	Superato 0 volte su 190	OK	

Criteri per un picco H/V chiaro

[Almeno 5 su 6 dovrebbero essere soddisfatti]

Esiste f^- in $[f_0/4, f_0]$ $A_{H/V}(f^-) < A_0 / 2$			NO
Esiste f^+ in $[f_0, 4f_0]$ $A_{H/V}(f^+) < A_0 / 2$			NO
$A_0 > 2$	$2.21 > 2$	OK	
$f_{\text{picco}}[A_{H/V}(f) \pm \sigma_A(f)] = f_0 \pm 5\%$	$ 0.03351 < 0.05$	OK	
$\sigma_f < \varepsilon(f_0)$	$0.13195 < 0.19688$	OK	
$\sigma_A(f_0) < \theta(f_0)$	$0.2964 < 1.58$	OK	

L_w	lunghezza della finestra
n_w	numero di finestre usate nell'analisi
$n_c = L_w n_w f_0$	numero di cicli significativi
f	frequenza attuale
f_0	frequenza del picco H/V
σ_f	deviazione standard della frequenza del picco H/V
$\varepsilon(f_0)$	valore di soglia per la condizione di stabilità $\sigma_f < \varepsilon(f_0)$
A_0	ampiezza della curva H/V alla frequenza f_0
$A_{H/V}(f)$	ampiezza della curva H/V alla frequenza f
f^-	frequenza tra $f_0/4$ e f_0 alla quale $A_{H/V}(f^-) < A_0/2$
f^+	frequenza tra f_0 e $4f_0$ alla quale $A_{H/V}(f^+) < A_0/2$
$\sigma_A(f)$	deviazione standard di $A_{H/V}(f)$, $\sigma_A(f)$ è il fattore per il quale la curva $A_{H/V}(f)$ media deve essere moltiplicata o divisa
$\sigma_{\log H/V}(f)$	deviazione standard della funzione $\log A_{H/V}(f)$
$\theta(f_0)$	valore di soglia per la condizione di stabilità $\sigma_A(f) < \theta(f_0)$

Valori di soglia per σ_f e $\sigma_A(f_0)$

Intervallo di freq. [Hz]	< 0.2	0.2 - 0.5	0.5 - 1.0	1.0 - 2.0	> 2.0
$\varepsilon(f_0)$ [Hz]	$0.25 f_0$	$0.2 f_0$	$0.15 f_0$	$0.10 f_0$	$0.05 f_0$
$\theta(f_0)$ per $\sigma_A(f_0)$	3.0	2.5	2.0	1.78	1.58
$\log \theta(f_0)$ per $\sigma_{\log H/V}(f_0)$	0.48	0.40	0.30	0.25	0.20

HVSR_11

Strumento: TRZ-0195/01-12

Inizio registrazione: 19/02/13 10:31:34 Fine registrazione: 19/02/13 10:51:34

Nomi canali: NORTH SOUTH; EAST WEST ; UP DOWN

Dato GPS non disponibile

Condizioni Meteo: sereno, vento assente

Superficie: terreno naturale

Durata registrazione: 0h20'00".

Analizzato 58% tracciato (selezione automatica)

Freq. campionamento: 128 Hz

Lunghezza finestre: 20 s

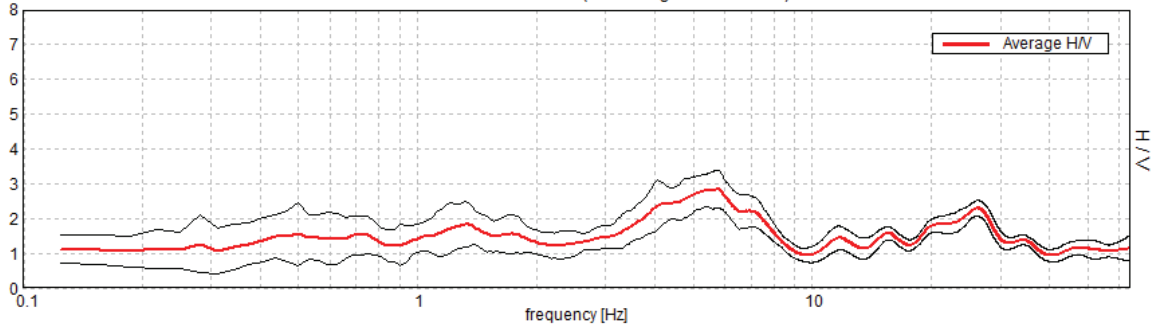
Tipo di lisciamento: Triangular window

Lisciamento: 10%

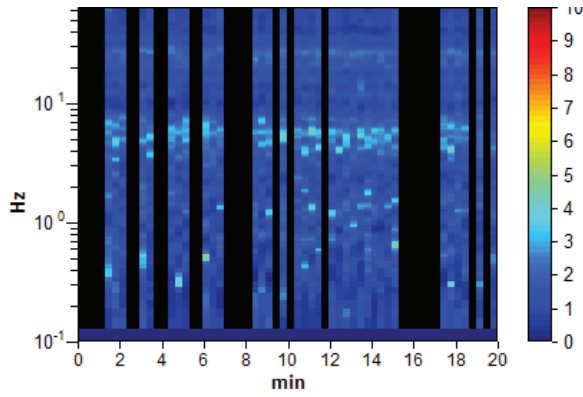


RAPPORTO SPETTRALE ORIZZONTALE SU VERTICALE

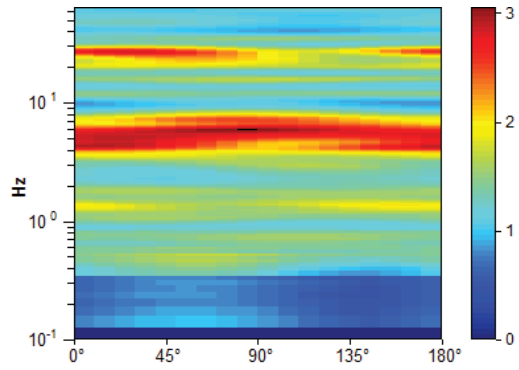
Max. H/V at 5.78 ± 0.38 Hz. (In the range 0.0 - 64.0 Hz).



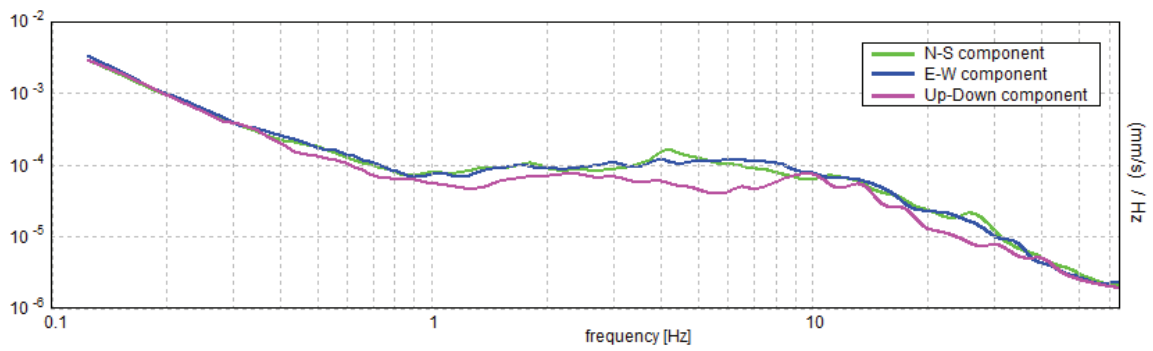
SERIE TEMPORALE H/V



DIREZIONALITA' H/V



SPETTRI DELLE SINGOLE COMPONENTI



Secondo le linee guida SESAME, 2004

Picco H/V a 5.78 ± 0.38 Hz (nell'intervallo 0.0 - 64.0 Hz).

Criteri per una curva H/V affidabile

[Tutti 3 dovrebbero risultare soddisfatti]

$f_0 > 10 / L_w$	$5.78 > 0.50$	OK	
$n_c(f_0) > 200$	$4046.9 > 200$	OK	
$\sigma_A(f) < 2$ per $0.5f_0 < f < 2f_0$ se $f_0 > 0.5\text{Hz}$ $\sigma_A(f) < 3$ per $0.5f_0 < f < 2f_0$ se $f_0 < 0.5\text{Hz}$	Superato 0 volte su 278	OK	

Criteri per un picco H/V chiaro

[Almeno 5 su 6 dovrebbero essere soddisfatti]

Esiste f^- in $[f_0/4, f_0]$ $A_{H/V}(f^-) < A_0 / 2$	2.781 Hz	OK	
Esiste f^+ in $[f_0, 4f_0]$ $A_{H/V}(f^+) < A_0 / 2$	8.281 Hz	OK	
$A_0 > 2$	$2.83 > 2$	OK	
$f_{\text{picco}}[A_{H/V}(f) \pm \sigma_A(f)] = f_0 \pm 5\%$	$ 0.0318 < 0.05$	OK	
$\sigma_f < \varepsilon(f_0)$	$0.18386 < 0.28906$	OK	
$\sigma_A(f_0) < \theta(f_0)$	$0.2648 < 1.58$	OK	

L_w	lunghezza della finestra
n_w	numero di finestre usate nell'analisi
$n_c = L_w n_w f_0$	numero di cicli significativi
f	frequenza attuale
f_0	frequenza del picco H/V
σ_f	deviazione standard della frequenza del picco H/V
$\varepsilon(f_0)$	valore di soglia per la condizione di stabilità $\sigma_f < \varepsilon(f_0)$
A_0	ampiezza della curva H/V alla frequenza f_0
$A_{H/V}(f)$	ampiezza della curva H/V alla frequenza f
f^-	frequenza tra $f_0/4$ e f_0 alla quale $A_{H/V}(f^-) < A_0/2$
f^+	frequenza tra f_0 e $4f_0$ alla quale $A_{H/V}(f^+) < A_0/2$
$\sigma_A(f)$	deviazione standard di $A_{H/V}(f)$, $\sigma_A(f)$ è il fattore per il quale la curva $A_{H/V}(f)$ media deve essere moltiplicata o divisa
$\sigma_{\log H/V}(f)$	deviazione standard della funzione $\log A_{H/V}(f)$
$\theta(f_0)$	valore di soglia per la condizione di stabilità $\sigma_A(f) < \theta(f_0)$

Valori di soglia per σ_f e $\sigma_A(f_0)$

Intervallo di freq. [Hz]	< 0.2	0.2 – 0.5	0.5 – 1.0	1.0 – 2.0	> 2.0
$\varepsilon(f_0)$ [Hz]	$0.25 f_0$	$0.2 f_0$	$0.15 f_0$	$0.10 f_0$	$0.05 f_0$
$\theta(f_0)$ per $\sigma_A(f_0)$	3.0	2.5	2.0	1.78	1.58
$\log \theta(f_0)$ per $\sigma_{\log H/V}(f_0)$	0.48	0.40	0.30	0.25	0.20

HVSR_12

Strumento: TRZ-0195/01-12

Inizio registrazione: 20/02/13 12:09:08 Fine registrazione: 20/02/13 12:29:08

Nomi canali: NORTH SOUTH; EAST WEST ; UP DOWN

Dato GPS non disponibile

Condizioni Meteo: nuvoloso, vento assente

Superficie: aiuola

Durata registrazione: 0h20'00".

Analizzato 92% tracciato (selezione manuale)

Freq. campionamento: 128 Hz

Lunghezza finestre: 20 s

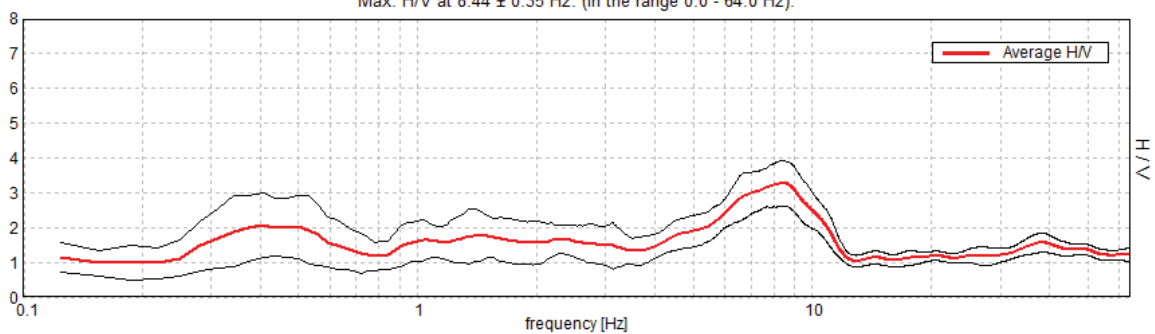
Tipo di lisciamento: Triangular window

Lisciamento: 10%

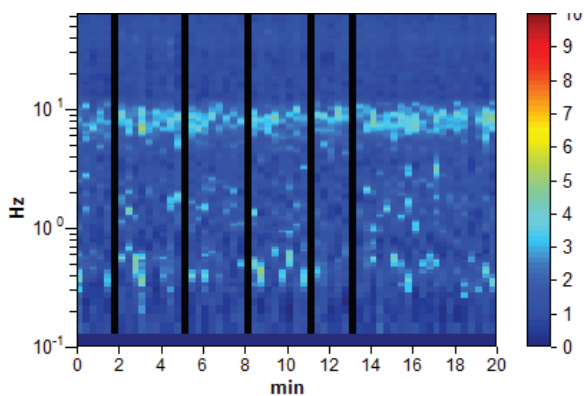


RAPPORTO SPETTRALE ORIZZONTALE SU VERTICALE

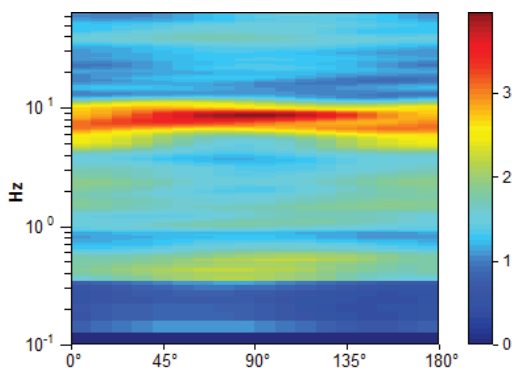
Max. H/V at 8.44 ± 0.35 Hz. (In the range 0.0 - 64.0 Hz).



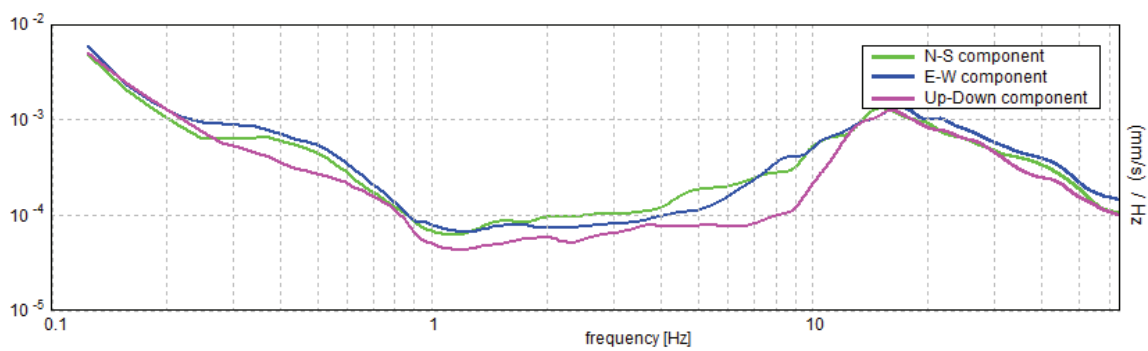
SERIE TEMPORALE H/V



DIREZIONALITA' H/V



SPETTRI DELLE SINGOLE COMPONENTI



Secondo le linee guida SESAME, 2004

Picco H/V a 8.44 ± 0.35 Hz (nell'intervallo 0.0 - 64.0 Hz).

Criteri per una curva H/V affidabile

[Tutti 3 dovrebbero risultare soddisfatti]

$f_0 > 10 / L_w$	$8.44 > 0.50$	OK	
$n_c(f_0) > 200$	$9281.3 > 200$	OK	
$\sigma_A(f) < 2$ per $0.5f_0 < f < 2f_0$ se $f_0 > 0.5\text{Hz}$ $\sigma_A(f) < 3$ per $0.5f_0 < f < 2f_0$ se $f_0 < 0.5\text{Hz}$	Superato 0 volte su 406	OK	

Criteri per un picco H/V chiaro

[Almeno 5 su 6 dovrebbero essere soddisfatti]

Esiste f^- in $[f_0/4, f_0]$ $A_{H/V}(f^-) < A_0 / 2$	4.25 Hz	OK	
Esiste f^+ in $[f_0, 4f_0]$ $A_{H/V}(f^+) < A_0 / 2$	11.438 Hz	OK	
$A_0 > 2$	$3.27 > 2$	OK	
$f_{\text{picco}}[A_{H/V}(f) \pm \sigma_A(f)] = f_0 \pm 5\%$	$ 0.02041 < 0.05$	OK	
$\sigma_f < \varepsilon(f_0)$	$0.17225 < 0.42188$	OK	
$\sigma_A(f_0) < \theta(f_0)$	$0.3227 < 1.58$	OK	

L_w	lunghezza della finestra
n_w	numero di finestre usate nell'analisi
$n_c = L_w n_w f_0$	numero di cicli significativi
f	frequenza attuale
f_0	frequenza del picco H/V
σ_f	deviazione standard della frequenza del picco H/V
$\varepsilon(f_0)$	valore di soglia per la condizione di stabilità $\sigma_f < \varepsilon(f_0)$
A_0	ampiezza della curva H/V alla frequenza f_0
$A_{H/V}(f)$	ampiezza della curva H/V alla frequenza f
f^-	frequenza tra $f_0/4$ e f_0 alla quale $A_{H/V}(f^-) < A_0/2$
f^+	frequenza tra f_0 e $4f_0$ alla quale $A_{H/V}(f^+) < A_0/2$
$\sigma_A(f)$	deviazione standard di $A_{H/V}(f)$, $\sigma_A(f)$ è il fattore per il quale la curva $A_{H/V}(f)$ media deve essere moltiplicata o divisa
$\sigma_{\log H/V}(f)$	deviazione standard della funzione $\log A_{H/V}(f)$
$\theta(f_0)$	valore di soglia per la condizione di stabilità $\sigma_A(f) < \theta(f_0)$

Valori di soglia per σ_f e $\sigma_A(f_0)$

Intervallo di freq. [Hz]	< 0.2	0.2 - 0.5	0.5 - 1.0	1.0 - 2.0	> 2.0
$\varepsilon(f_0)$ [Hz]	$0.25 f_0$	$0.2 f_0$	$0.15 f_0$	$0.10 f_0$	$0.05 f_0$
$\theta(f_0)$ per $\sigma_A(f_0)$	3.0	2.5	2.0	1.78	1.58
$\log \theta(f_0)$ per $\sigma_{\log H/V}(f_0)$	0.48	0.40	0.30	0.25	0.20

HVSR_13

Strumento: TRZ-0195/01-12

Inizio registrazione: 20/02/13 12:37:43 Fine registrazione: 20/02/13 12:57:43

Nomi canali: NORTH SOUTH; EAST WEST ; UP DOWN

Dato GPS non disponibile

Condizioni Meteo: nuvoloso, vento assente

Superficie: terreno naturale

Durata registrazione: 0h20'00".

Analisi effettuata sull'intera traccia.

Freq. campionamento: 128 Hz

Lunghezza finestre: 20 s

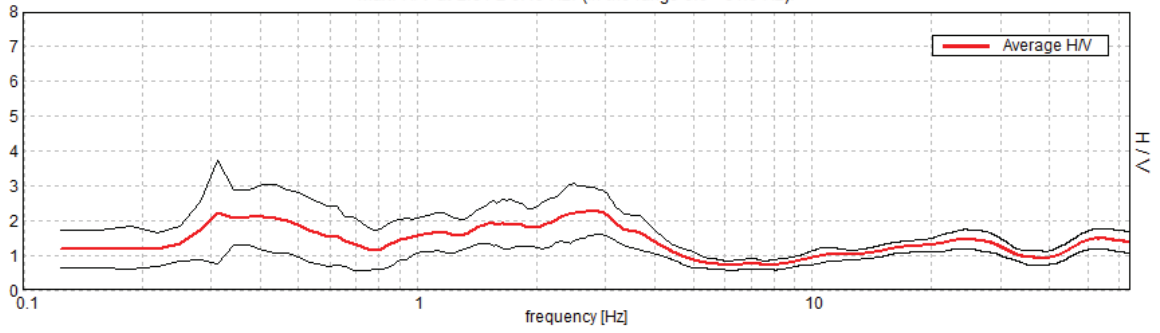
Tipo di lisciamento: Triangular window

Lisciamento: 10%

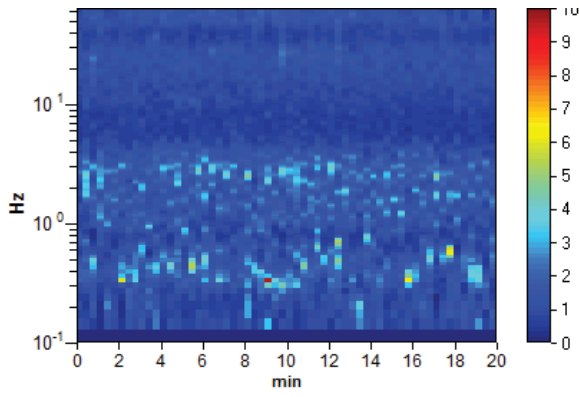


RAPPORTO SPETTRALE ORIZZONTALE SU VERTICALE

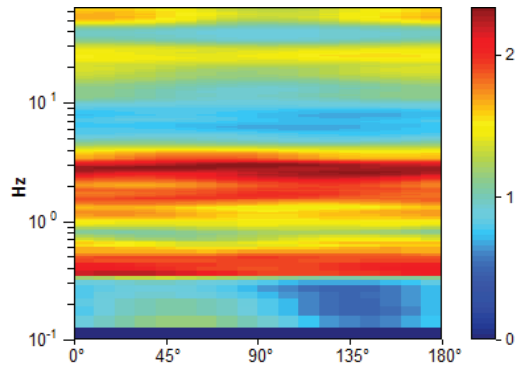
Max. H/V at 2.81 ± 0.19 Hz. (In the range 0.0 - 64.0 Hz).



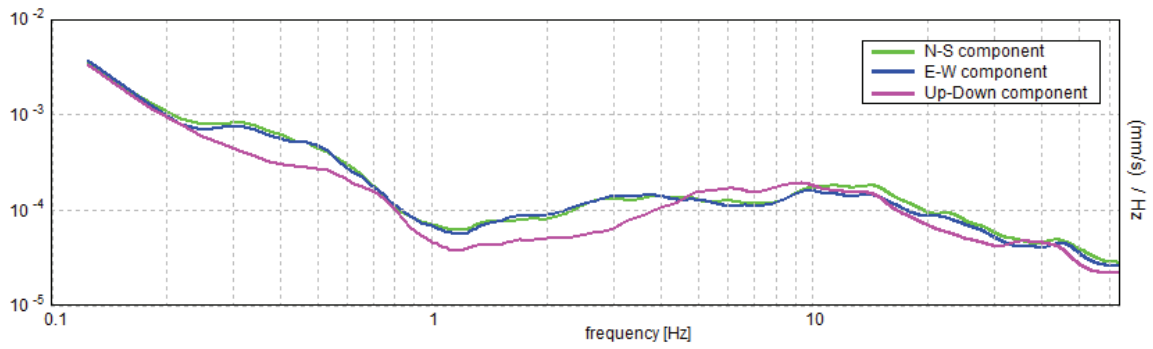
SERIE TEMPORALE H/V



DIREZIONALITA' H/V



SPETTRI DELLE SINGOLE COMPONENTI



Secondo le linee guida SESAME, 2004

Picco H/V a 2.81 ± 0.19 Hz (nell'intervallo 0.0 - 64.0 Hz).

Criteri per una curva H/V affidabile

[Tutti 3 dovrebbero risultare soddisfatti]

$f_0 > 10 / L_w$	$2.81 > 0.50$	OK	
$n_c(f_0) > 200$	$3375.0 > 200$	OK	
$\sigma_A(f) < 2$ per $0.5f_0 < f < 2f_0$ se $f_0 > 0.5\text{Hz}$ $\sigma_A(f) < 3$ per $0.5f_0 < f < 2f_0$ se $f_0 < 0.5\text{Hz}$	Superato 0 volte su 136	OK	

Criteri per un picco H/V chiaro

[Almeno 5 su 6 dovrebbero essere soddisfatti]

Esiste f^- in $[f_0/4, f_0]$ $A_{H/V}(f^-) < A_0 / 2$			NO
Esiste f^+ in $[f_0, 4f_0]$ $A_{H/V}(f^+) < A_0 / 2$	4.375 Hz	OK	
$A_0 > 2$	$2.28 > 2$	OK	
$f_{\text{picco}}[A_{H/V}(f) \pm \sigma_A(f)] = f_0 \pm 5\%$	$ 0.0328 < 0.05$	OK	
$\sigma_f < \varepsilon(f_0)$	$0.09226 < 0.14063$	OK	
$\sigma_A(f_0) < \theta(f_0)$	$0.3381 < 1.58$	OK	

L_w	lunghezza della finestra
n_w	numero di finestre usate nell'analisi
$n_c = L_w n_w f_0$	numero di cicli significativi
f	frequenza attuale
f_0	frequenza del picco H/V
σ_f	deviazione standard della frequenza del picco H/V
$\varepsilon(f_0)$	valore di soglia per la condizione di stabilità $\sigma_f < \varepsilon(f_0)$
A_0	ampiezza della curva H/V alla frequenza f_0
$A_{H/V}(f)$	ampiezza della curva H/V alla frequenza f
f^-	frequenza tra $f_0/4$ e f_0 alla quale $A_{H/V}(f^-) < A_0/2$
f^+	frequenza tra f_0 e $4f_0$ alla quale $A_{H/V}(f^+) < A_0/2$
$\sigma_A(f)$	deviazione standard di $A_{H/V}(f)$, $\sigma_A(f)$ è il fattore per il quale la curva $A_{H/V}(f)$ media deve essere moltiplicata o divisa
$\sigma_{\log H/V}(f)$	deviazione standard della funzione $\log A_{H/V}(f)$
$\theta(f_0)$	valore di soglia per la condizione di stabilità $\sigma_A(f) < \theta(f_0)$

Valori di soglia per σ_f e $\sigma_A(f_0)$

Intervallo di freq. [Hz]	< 0.2	0.2 - 0.5	0.5 - 1.0	1.0 - 2.0	> 2.0
$\varepsilon(f_0)$ [Hz]	$0.25 f_0$	$0.2 f_0$	$0.15 f_0$	$0.10 f_0$	$0.05 f_0$
$\theta(f_0)$ per $\sigma_A(f_0)$	3.0	2.5	2.0	1.78	1.58
$\log \theta(f_0)$ per $\sigma_{\log H/V}(f_0)$	0.48	0.40	0.30	0.25	0.20

HVSR_14

Strumento: TRZ-0195/01-12

Inizio registrazione: 20/02/13 13:13:18 Fine registrazione: 20/02/13 13:33:18

Nomi canali: NORTH SOUTH; EAST WEST ; UP DOWN

Dato GPS non disponibile

Condizioni Meteo: nuvoloso, vento assente

Superficie: terreno naturale

Durata registrazione: 0h20'00".

Analizzato 83% tracciato (selezione manuale)

Freq. campionamento: 128 Hz

Lunghezza finestre: 20 s

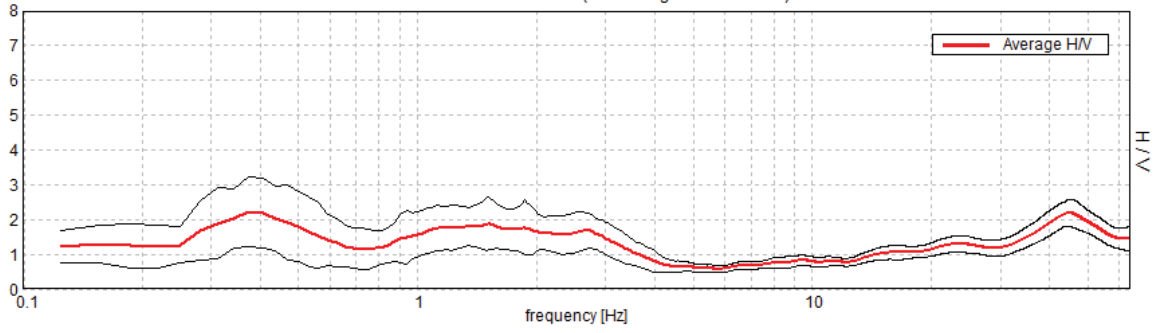
Tipo di lisciamento: Triangular window

Lisciamento: 10%

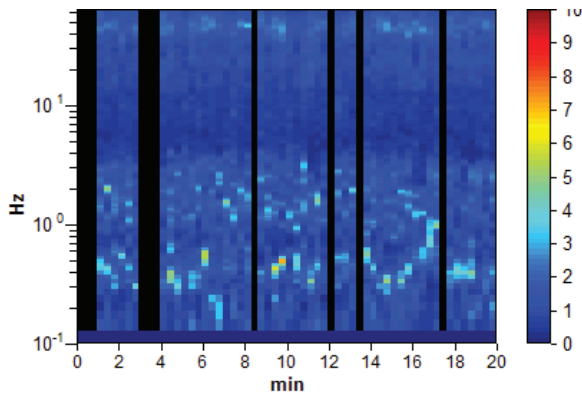


RAPPORTO SPETTRALE ORIZZONTALE SU VERTICALE

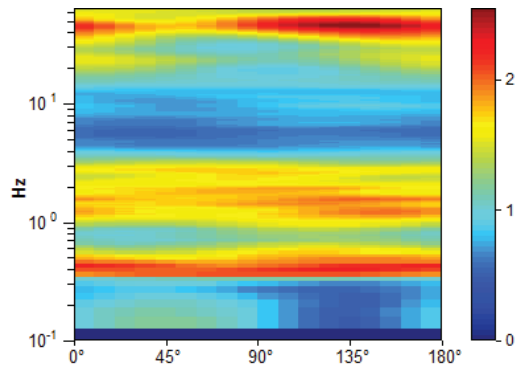
Max. H/V at 0.38 ± 0.01 Hz. (In the range 0.0 - 35.0 Hz).



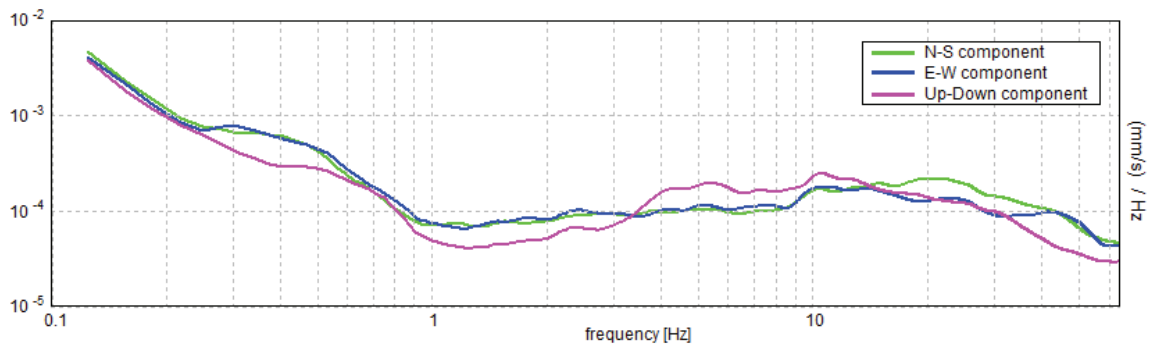
SERIE TEMPORALE H/V



DIREZIONALITA' H/V



SPETTRI DELLE SINGOLE COMPONENTI



Secondo le linee guida SESAME, 2004

Picco H/V a 0.38 ± 0.01 Hz (nell'intervallo 0.0 - 35.0 Hz).

Criteri per una curva H/V affidabile

[Tutti 3 dovrebbero risultare soddisfatti]

$f_0 > 10 / L_w$	$0.38 > 0.50$		NO
$n_c(f_0) > 200$	$375.0 > 200$	OK	
$\sigma_A(f) < 2$ per $0.5f_0 < f < 2f_0$ se $f_0 > 0.5\text{Hz}$ $\sigma_A(f) < 3$ per $0.5f_0 < f < 2f_0$ se $f_0 < 0.5\text{Hz}$	Superato 0 volte su 19	OK	

Criteri per un picco H/V chiaro

[Almeno 5 su 6 dovrebbero essere soddisfatti]

Esiste f^- in $[f_0/4, f_0]$ $A_{H/V}(f^-) < A_0 / 2$	0.094 Hz	OK	
Esiste f^+ in $[f_0, 4f_0]$ $A_{H/V}(f^+) < A_0 / 2$			NO
$A_0 > 2$	$2.21 > 2$	OK	
$f_{\text{picco}}[A_{H/V}(f) \pm \sigma_A(f)] = f_0 \pm 5\%$	$ 0.01 < 0.05$	OK	
$\sigma_f < \varepsilon(f_0)$	$0.00375 < 0.075$	OK	
$\sigma_A(f_0) < \theta(f_0)$	$0.494 < 2.5$	OK	

L_w	lunghezza della finestra
n_w	numero di finestre usate nell'analisi
$n_c = L_w n_w f_0$	numero di cicli significativi
f	frequenza attuale
f_0	frequenza del picco H/V
σ_f	deviazione standard della frequenza del picco H/V
$\varepsilon(f_0)$	valore di soglia per la condizione di stabilità $\sigma_f < \varepsilon(f_0)$
A_0	ampiezza della curva H/V alla frequenza f_0
$A_{H/V}(f)$	ampiezza della curva H/V alla frequenza f
f^-	frequenza tra $f_0/4$ e f_0 alla quale $A_{H/V}(f^-) < A_0/2$
f^+	frequenza tra f_0 e $4f_0$ alla quale $A_{H/V}(f^+) < A_0/2$
$\sigma_A(f)$	deviazione standard di $A_{H/V}(f)$, $\sigma_A(f)$ è il fattore per il quale la curva $A_{H/V}(f)$ media deve essere moltiplicata o divisa
$\sigma_{\log H/V}(f)$	deviazione standard della funzione $\log A_{H/V}(f)$
$\theta(f_0)$	valore di soglia per la condizione di stabilità $\sigma_A(f) < \theta(f_0)$

Valori di soglia per σ_f e $\sigma_A(f_0)$

Intervallo di freq. [Hz]	< 0.2	0.2 - 0.5	0.5 - 1.0	1.0 - 2.0	> 2.0
$\varepsilon(f_0)$ [Hz]	$0.25 f_0$	$0.2 f_0$	$0.15 f_0$	$0.10 f_0$	$0.05 f_0$
$\theta(f_0)$ per $\sigma_A(f_0)$	3.0	2.5	2.0	1.78	1.58
$\log \theta(f_0)$ per $\sigma_{\log H/V}(f_0)$	0.48	0.40	0.30	0.25	0.20

HVSR_15

Strumento: TRZ-0195/01-12

Inizio registrazione: 20/02/13 10:06:29 Fine registrazione: 20/02/13 10:26:29

Nomi canali: NORTH SOUTH; EAST WEST ; UP DOWN

Dato GPS non disponibile

Condizioni Meteo: nuvoloso, vento assente

Superficie: terreno naturale

Durata registrazione: 0h20'00".

Analizzato 73% tracciato (selezione automatica)

Freq. campionamento: 128 Hz

Lunghezza finestre: 25 s

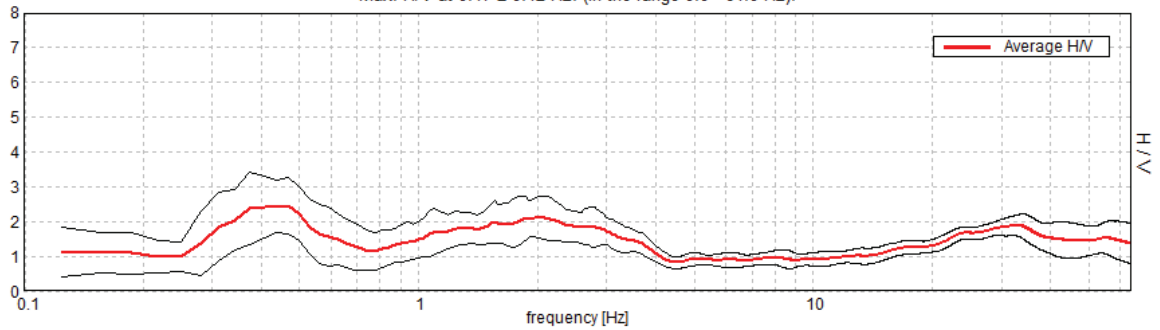
Tipo di lisciamento: Triangular window

Lisciamento: 10%

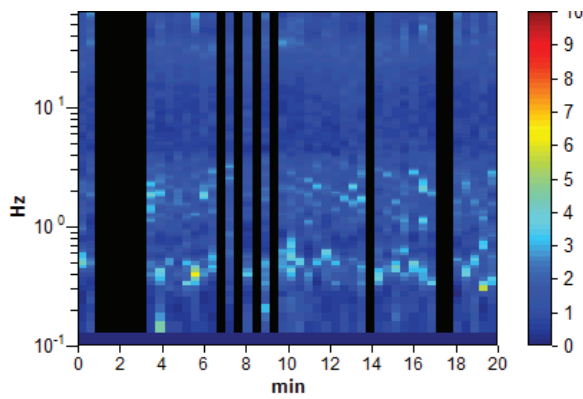


RAPPORTO SPETTRALE ORIZZONTALE SU VERTICALE

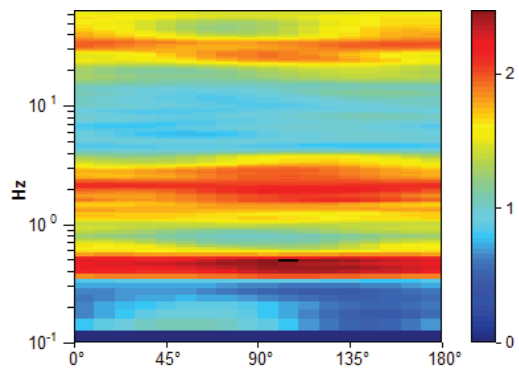
Max. H/V at 0.47 ± 0.12 Hz. (In the range 0.0 - 64.0 Hz).



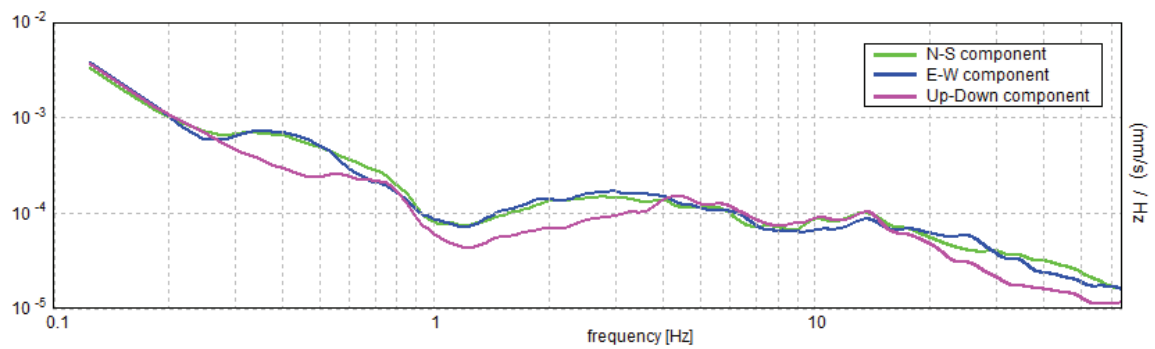
SERIE TEMPORALE H/V



DIREZIONALITA' H/V



SPETTRI DELLE SINGOLE COMPONENTI



Secondo le linee guida SESAME, 2004

Picco H/V a 0.47 ± 0.12 Hz (nell'intervallo 0.0 - 64.0 Hz).

Criteri per una curva H/V affidabile

[Tutti 3 dovrebbero risultare soddisfatti]

$f_0 > 10 / L_w$	$0.47 > 0.40$	OK	
$n_c(f_0) > 200$	$410.2 > 200$	OK	
$\sigma_A(f) < 2$ per $0.5f_0 < f < 2f_0$ se $f_0 > 0.5\text{Hz}$ $\sigma_A(f) < 3$ per $0.5f_0 < f < 2f_0$ se $f_0 < 0.5\text{Hz}$	Superato 0 volte su 24	OK	

Criteri per un picco H/V chiaro

[Almeno 5 su 6 dovrebbero essere soddisfatti]

Esiste f^- in $[f_0/4, f_0]$ $A_{H/V}(f^-) < A_0 / 2$	0.25 Hz	OK	
Esiste f^+ in $[f_0, 4f_0]$ $A_{H/V}(f^+) < A_0 / 2$	0.719 Hz	OK	
$A_0 > 2$	$2.45 > 2$	OK	
$f_{\text{picco}}[A_{H/V}(f) \pm \sigma_A(f)] = f_0 \pm 5\%$	$ 0.12048 < 0.05$		NO
$\sigma_f < \varepsilon(f_0)$	$0.05648 < 0.09375$	OK	
$\sigma_A(f_0) < \theta(f_0)$	$0.3846 < 2.5$	OK	

L_w	lunghezza della finestra
n_w	numero di finestre usate nell'analisi
$n_c = L_w n_w f_0$	numero di cicli significativi
f	frequenza attuale
f_0	frequenza del picco H/V
σ_f	deviazione standard della frequenza del picco H/V
$\varepsilon(f_0)$	valore di soglia per la condizione di stabilità $\sigma_f < \varepsilon(f_0)$
A_0	ampiezza della curva H/V alla frequenza f_0
$A_{H/V}(f)$	ampiezza della curva H/V alla frequenza f
f^-	frequenza tra $f_0/4$ e f_0 alla quale $A_{H/V}(f^-) < A_0/2$
f^+	frequenza tra f_0 e $4f_0$ alla quale $A_{H/V}(f^+) < A_0/2$
$\sigma_A(f)$	deviazione standard di $A_{H/V}(f)$, $\sigma_A(f)$ è il fattore per il quale la curva $A_{H/V}(f)$ media deve essere moltiplicata o divisa
$\sigma_{\log H/V}(f)$	deviazione standard della funzione $\log A_{H/V}(f)$
$\theta(f_0)$	valore di soglia per la condizione di stabilità $\sigma_A(f) < \theta(f_0)$

Valori di soglia per σ_f e $\sigma_A(f_0)$

Intervallo di freq. [Hz]	< 0.2	0.2 – 0.5	0.5 – 1.0	1.0 – 2.0	> 2.0
$\varepsilon(f_0)$ [Hz]	$0.25 f_0$	$0.2 f_0$	$0.15 f_0$	$0.10 f_0$	$0.05 f_0$
$\theta(f_0)$ per $\sigma_A(f_0)$	3.0	2.5	2.0	1.78	1.58
$\log \theta(f_0)$ per $\sigma_{\log H/V}(f_0)$	0.48	0.40	0.30	0.25	0.20

HVSR_16

Strumento: TRZ-0195/01-12

Inizio registrazione: 19/02/13 14:06:33 Fine registrazione: 19/02/13 14:26:33

Nomi canali: NORTH SOUTH; EAST WEST ; UP DOWN

Dato GPS non disponibile

Condizioni Meteo: sereno, vento assente

Superficie: terreno naturale

Durata registrazione: 0h20'00".

Analizzato 97% tracciato (selezione manuale)

Freq. campionamento: 128 Hz

Lunghezza finestre: 20 s

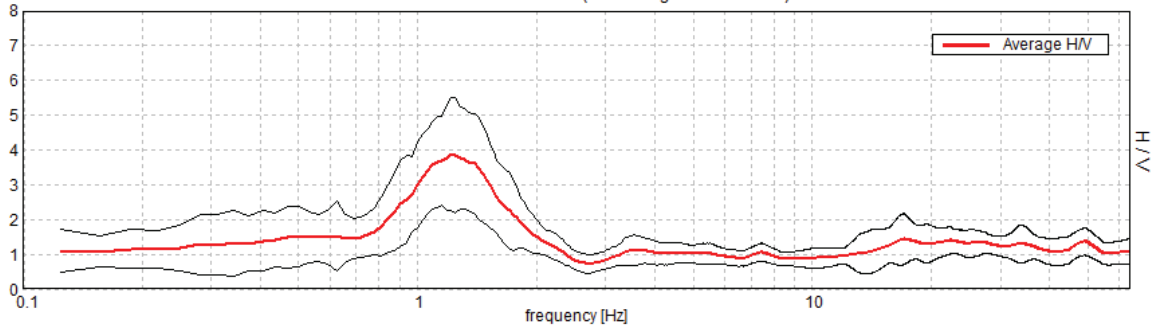
Tipo di lisciamento: Triangular window

Lisciamento: 10%

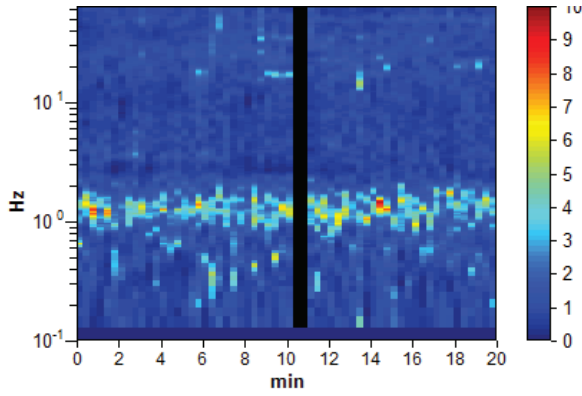


RAPPORTO SPETTRALE ORIZZONTALE SU VERTICALE

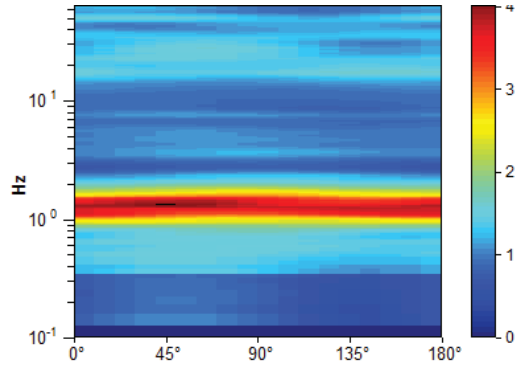
Max. H/V at 1.22 ± 0.02 Hz. (In the range 0.0 - 64.0 Hz).



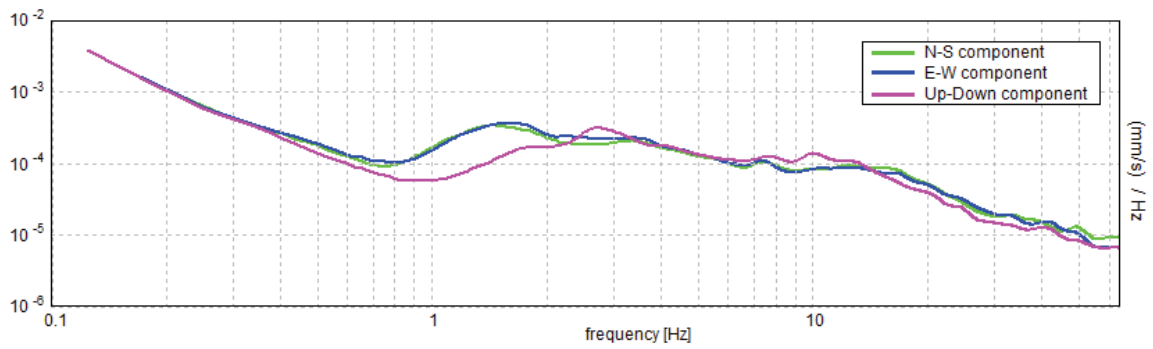
SERIE TEMPORALE H/V



DIREZIONALITA' H/V



SPETTRI DELLE SINGOLE COMPONENTI



Secondo le linee guida SESAME, 2004

Picco H/V a 1.22 ± 0.02 Hz (nell'intervallo 0.0 - 64.0 Hz).

Criteri per una curva H/V affidabile

[Tutti 3 dovrebbero risultare soddisfatti]

$f_0 > 10 / L_w$	$1.22 > 0.50$	OK	
$n_c(f_0) > 200$	$1413.8 > 200$	OK	
$\sigma_A(f) < 2$ per $0.5f_0 < f < 2f_0$ se $f_0 > 0.5\text{Hz}$ $\sigma_A(f) < 3$ per $0.5f_0 < f < 2f_0$ se $f_0 < 0.5\text{Hz}$	Superato 0 volte su 60	OK	

Criteri per un picco H/V chiaro

[Almeno 5 su 6 dovrebbero essere soddisfatti]

Esiste f^- in $[f_0/4, f_0]$ $A_{H/V}(f^-) < A_0 / 2$	0.813 Hz	OK	
Esiste f^+ in $[f_0, 4f_0]$ $A_{H/V}(f^+) < A_0 / 2$	1.844 Hz	OK	
$A_0 > 2$	$3.88 > 2$	OK	
$f_{\text{picco}}[A_{H/V}(f) \pm \sigma_A(f)] = f_0 \pm 5\%$	$ 0.00993 < 0.05$	OK	
$\sigma_f < \varepsilon(f_0)$	$0.01211 < 0.12188$	OK	
$\sigma_A(f_0) < \theta(f_0)$	$0.8069 < 1.78$	OK	

L_w	lunghezza della finestra
n_w	numero di finestre usate nell'analisi
$n_c = L_w n_w f_0$	numero di cicli significativi
f	frequenza attuale
f_0	frequenza del picco H/V
σ_f	deviazione standard della frequenza del picco H/V
$\varepsilon(f_0)$	valore di soglia per la condizione di stabilità $\sigma_f < \varepsilon(f_0)$
A_0	ampiezza della curva H/V alla frequenza f_0
$A_{H/V}(f)$	ampiezza della curva H/V alla frequenza f
f^-	frequenza tra $f_0/4$ e f_0 alla quale $A_{H/V}(f^-) < A_0/2$
f^+	frequenza tra f_0 e $4f_0$ alla quale $A_{H/V}(f^+) < A_0/2$
$\sigma_A(f)$	deviazione standard di $A_{H/V}(f)$, $\sigma_A(f)$ è il fattore per il quale la curva $A_{H/V}(f)$ media deve essere moltiplicata o divisa
$\sigma_{\log H/V}(f)$	deviazione standard della funzione $\log A_{H/V}(f)$
$\theta(f_0)$	valore di soglia per la condizione di stabilità $\sigma_A(f) < \theta(f_0)$

Valori di soglia per σ_f e $\sigma_A(f_0)$

Intervallo di freq. [Hz]	< 0.2	0.2 - 0.5	0.5 - 1.0	1.0 - 2.0	> 2.0
$\varepsilon(f_0)$ [Hz]	$0.25 f_0$	$0.2 f_0$	$0.15 f_0$	$0.10 f_0$	$0.05 f_0$
$\theta(f_0)$ per $\sigma_A(f_0)$	3.0	2.5	2.0	1.78	1.58
$\log \theta(f_0)$ per $\sigma_{\log H/V}(f_0)$	0.48	0.40	0.30	0.25	0.20

HVSR_17

Strumento: TRZ-0195/01-12

Inizio registrazione: 19/02/13 12:04:50 Fine registrazione: 19/02/13 12:24:50

Nomi canali: NORTH SOUTH; EAST WEST ; UP DOWN

Dato GPS non disponibile

Condizioni Meteo: sereno, vento assente

Superficie: terreno naturale

Durata registrazione: 0h20'00".

Analizzato 77% tracciato (selezione automatica)

Freq. campionamento: 128 Hz

Lunghezza finestre: 20 s

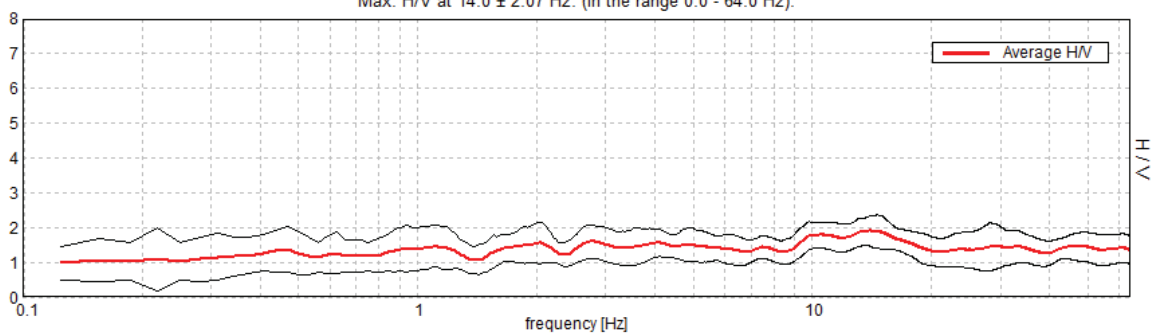
Tipo di lisciamento: Triangular window

Lisciamento: 10%

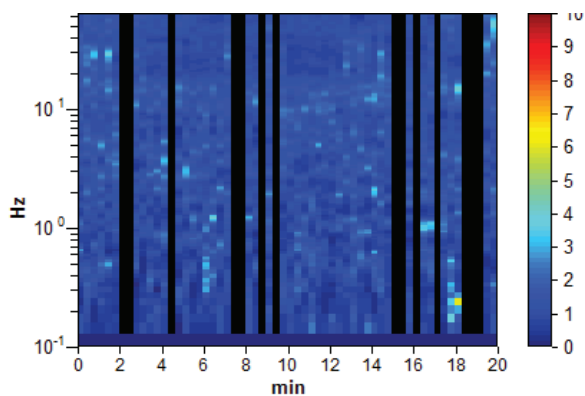


RAPPORTO SPETTRALE ORIZZONTALE SU VERTICALE

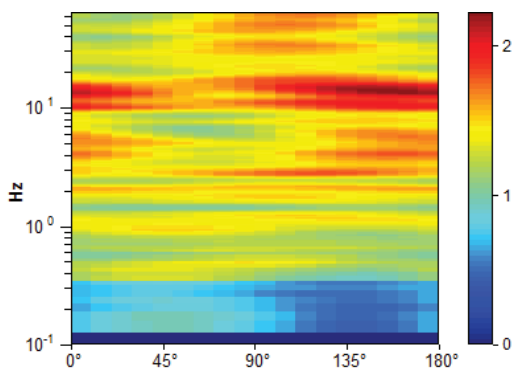
Max. H/V at 14.0 ± 2.07 Hz. (In the range 0.0 - 64.0 Hz).



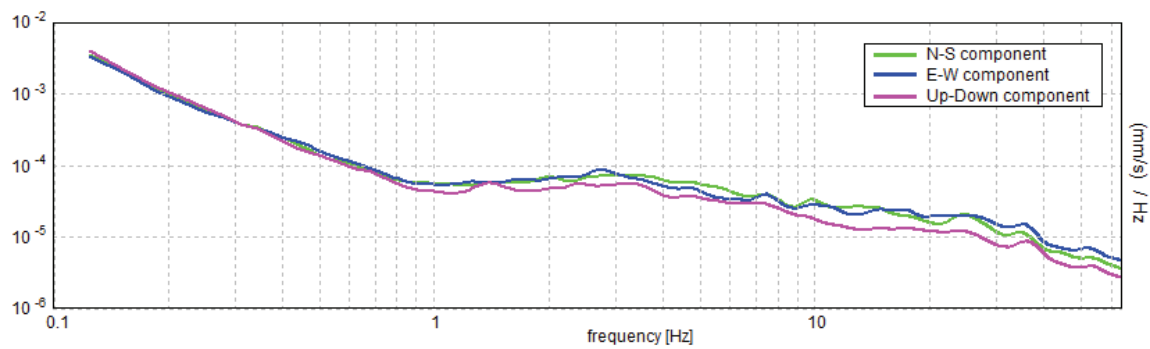
SERIE TEMPORALE H/V



DIREZIONALITA' H/V



SPETTRI DELLE SINGOLE COMPONENTI



Secondo le linee guida SESAME, 2004

Picco H/V a 14.0 ± 2.07 Hz (nell'intervallo 0.0 - 64.0 Hz).

Criteri per una curva H/V affidabile

[Tutti 3 dovrebbero risultare soddisfatti]

$f_0 > 10 / L_w$	$14.00 > 0.50$	OK	
$n_c(f_0) > 200$	$12880.0 > 200$	OK	
$\sigma_A(f) < 2$ per $0.5f_0 < f < 2f_0$ se $f_0 > 0.5\text{Hz}$ $\sigma_A(f) < 3$ per $0.5f_0 < f < 2f_0$ se $f_0 < 0.5\text{Hz}$	Superato 0 volte su 673	OK	

Criteri per un picco H/V chiaro

[Almeno 5 su 6 dovrebbero essere soddisfatti]

Esiste f^- in $[f_0/4, f_0]$ $A_{H/V}(f^-) < A_0 / 2$			NO
Esiste f^+ in $[f_0, 4f_0]$ $A_{H/V}(f^+) < A_0 / 2$			NO
$A_0 > 2$	$1.90 > 2$		NO
$f_{\text{picco}}[A_{H/V}(f) \pm \sigma_A(f)] = f_0 \pm 5\%$	$ 0.0725 < 0.05$		NO
$\sigma_f < \varepsilon(f_0)$	$1.01496 < 0.7$		NO
$\sigma_A(f_0) < \theta(f_0)$	$0.2129 < 1.58$	OK	

L_w	lunghezza della finestra
n_w	numero di finestre usate nell'analisi
$n_c = L_w n_w f_0$	numero di cicli significativi
f	frequenza attuale
f_0	frequenza del picco H/V
σ_f	deviazione standard della frequenza del picco H/V
$\varepsilon(f_0)$	valore di soglia per la condizione di stabilità $\sigma_f < \varepsilon(f_0)$
A_0	ampiezza della curva H/V alla frequenza f_0
$A_{H/V}(f)$	ampiezza della curva H/V alla frequenza f
f^-	frequenza tra $f_0/4$ e f_0 alla quale $A_{H/V}(f^-) < A_0/2$
f^+	frequenza tra f_0 e $4f_0$ alla quale $A_{H/V}(f^+) < A_0/2$
$\sigma_A(f)$	deviazione standard di $A_{H/V}(f)$, $\sigma_A(f)$ è il fattore per il quale la curva $A_{H/V}(f)$ media deve essere moltiplicata o divisa
$\sigma_{\log H/V}(f)$	deviazione standard della funzione $\log A_{H/V}(f)$
$\theta(f_0)$	valore di soglia per la condizione di stabilità $\sigma_A(f) < \theta(f_0)$

Valori di soglia per σ_f e $\sigma_A(f_0)$

Intervallo di freq. [Hz]	< 0.2	0.2 - 0.5	0.5 - 1.0	1.0 - 2.0	> 2.0
$\varepsilon(f_0)$ [Hz]	$0.25 f_0$	$0.2 f_0$	$0.15 f_0$	$0.10 f_0$	$0.05 f_0$
$\theta(f_0)$ per $\sigma_A(f_0)$	3.0	2.5	2.0	1.78	1.58
$\log \theta(f_0)$ per $\sigma_{\log H/V}(f_0)$	0.48	0.40	0.30	0.25	0.20

HVSR_18

Strumento: TRZ-0195/01-12

Inizio registrazione: 19/02/13 08:13:43 Fine registrazione: 19/02/13 08:33:43

Nomi canali: NORTH SOUTH; EAST WEST ; UP DOWN

Dato GPS non disponibile

Condizioni Meteo: sereno, vento assente

Superficie: terreno naturale

Durata registrazione: 0h20'00".

Analizzato 98% tracciato (selezione manuale)

Freq. campionamento: 128 Hz

Lunghezza finestre: 20 s

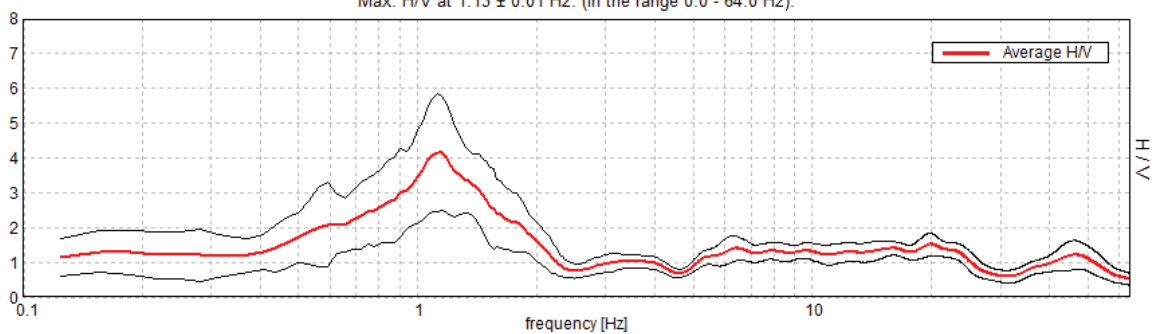
Tipo di lisciamento: Triangular window

Lisciamento: 10%

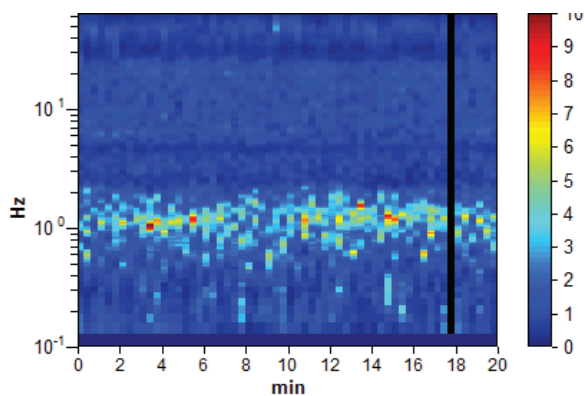


RAPPORTO SPETTRALE ORIZZONTALE SU VERTICALE

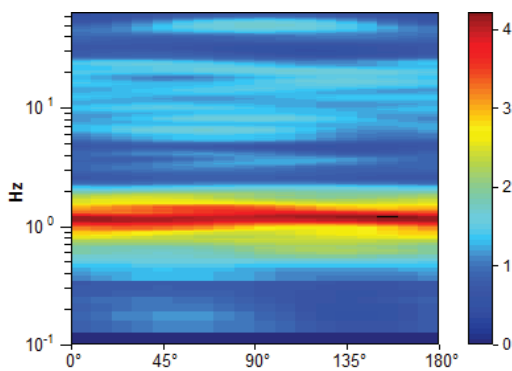
Max. H/V at 1.13 ± 0.01 Hz. (In the range 0.0 - 64.0 Hz).



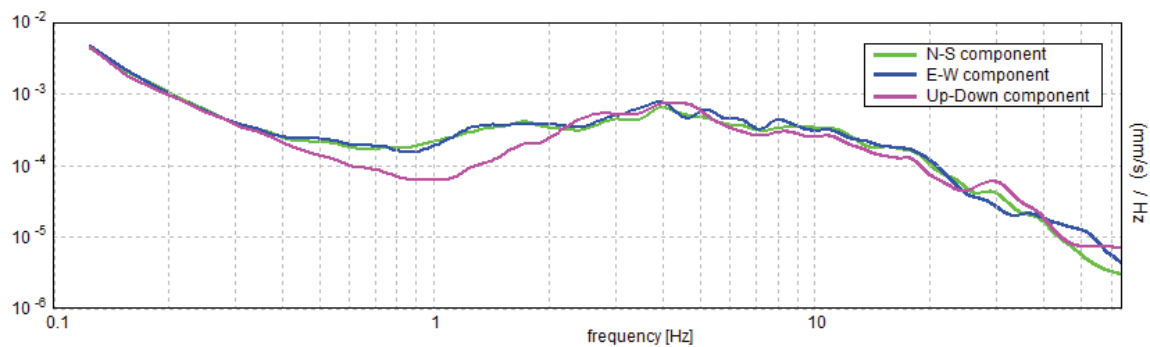
SERIE TEMPORALE H/V



DIREZIONALITA' H/V



SPETTRI DELLE SINGOLE COMPONENTI



Secondo le linee guida SESAME, 2004

Picco H/V a 1.13 ± 0.01 Hz (nell'intervallo 0.0 - 64.0 Hz).

Criteri per una curva H/V affidabile

[Tutti 3 dovrebbero risultare soddisfatti]

$f_0 > 10 / L_w$	$1.13 > 0.50$	OK	
$n_c(f_0) > 200$	$1327.5 > 200$	OK	
$\sigma_A(f) < 2$ per $0.5f_0 < f < 2f_0$ se $f_0 > 0.5\text{Hz}$ $\sigma_A(f) < 3$ per $0.5f_0 < f < 2f_0$ se $f_0 < 0.5\text{Hz}$	Superato 0 volte su 55	OK	

Criteri per un picco H/V chiaro

[Almeno 5 su 6 dovrebbero essere soddisfatti]

Esiste f^- in $[f_0/4, f_0]$ $A_{H/V}(f^-) < A_0 / 2$	0.594 Hz	OK	
Esiste f^+ in $[f_0, 4f_0]$ $A_{H/V}(f^+) < A_0 / 2$	1.844 Hz	OK	
$A_0 > 2$	$4.16 > 2$	OK	
$f_{\text{picco}}[A_{H/V}(f) \pm \sigma_A(f)] = f_0 \pm 5\%$	$ 0.00654 < 0.05$	OK	
$\sigma_f < \varepsilon(f_0)$	$0.00736 < 0.1125$	OK	
$\sigma_A(f_0) < \theta(f_0)$	$0.8454 < 1.78$	OK	

L_w	lunghezza della finestra
n_w	numero di finestre usate nell'analisi
$n_c = L_w n_w f_0$	numero di cicli significativi
f	frequenza attuale
f_0	frequenza del picco H/V
σ_f	deviazione standard della frequenza del picco H/V
$\varepsilon(f_0)$	valore di soglia per la condizione di stabilità $\sigma_f < \varepsilon(f_0)$
A_0	ampiezza della curva H/V alla frequenza f_0
$A_{H/V}(f)$	ampiezza della curva H/V alla frequenza f
f^-	frequenza tra $f_0/4$ e f_0 alla quale $A_{H/V}(f^-) < A_0/2$
f^+	frequenza tra f_0 e $4f_0$ alla quale $A_{H/V}(f^+) < A_0/2$
$\sigma_A(f)$	deviazione standard di $A_{H/V}(f)$, $\sigma_A(f)$ è il fattore per il quale la curva $A_{H/V}(f)$ media deve essere moltiplicata o divisa
$\sigma_{\log H/V}(f)$	deviazione standard della funzione $\log A_{H/V}(f)$
$\theta(f_0)$	valore di soglia per la condizione di stabilità $\sigma_A(f) < \theta(f_0)$

Valori di soglia per σ_f e $\sigma_A(f_0)$

Intervallo di freq. [Hz]	< 0.2	0.2 – 0.5	0.5 – 1.0	1.0 – 2.0	> 2.0
$\varepsilon(f_0)$ [Hz]	$0.25 f_0$	$0.2 f_0$	$0.15 f_0$	$0.10 f_0$	$0.05 f_0$
$\theta(f_0)$ per $\sigma_A(f_0)$	3.0	2.5	2.0	1.78	1.58
$\log \theta(f_0)$ per $\sigma_{\log H/V}(f_0)$	0.48	0.40	0.30	0.25	0.20

HVSR_19

Strumento: TRZ-0195/01-12

Inizio registrazione: 19/02/13 09:13:35 Fine registrazione: 19/02/13 09:33:35

Nomi canali: NORTH SOUTH; EAST WEST ; UP DOWN

Dato GPS non disponibile

Condizioni Meteo: sereno, vento assente

Superficie: terreno naturale

Durata registrazione: 0h20'00".

Analizzato 90% tracciato (selezione manuale)

Freq. campionamento: 128 Hz

Lunghezza finestre: 20 s

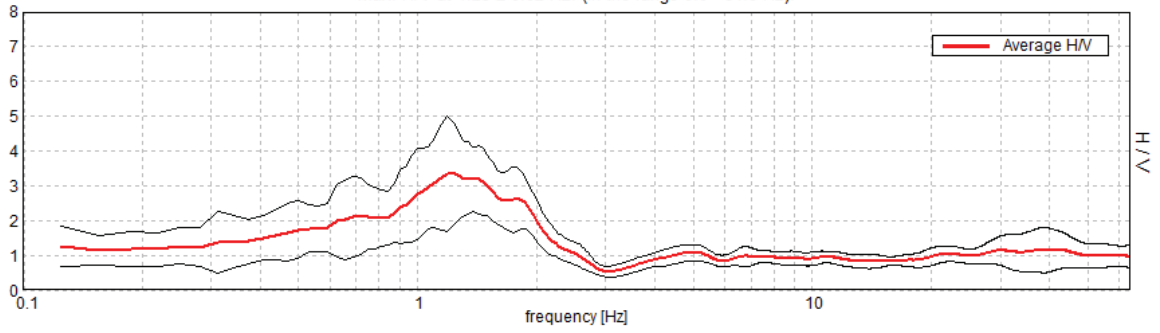
Tipo di lisciamento: Triangular window

Lisciamento: 10%

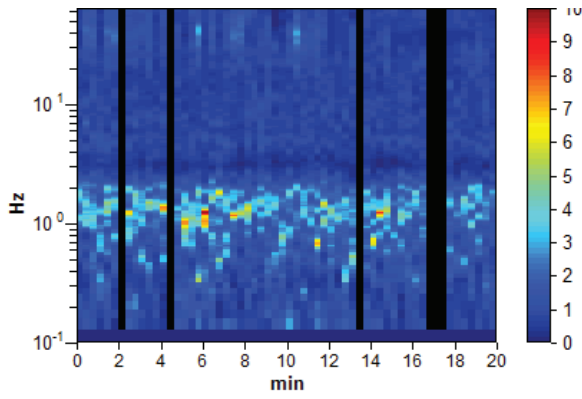


RAPPORTO SPETTRALE ORIZZONTALE SU VERTICALE

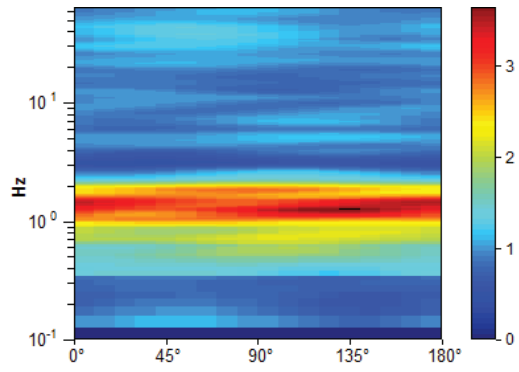
Max. H/V at 1.25 ± 0.02 Hz. (In the range 0.0 - 64.0 Hz).



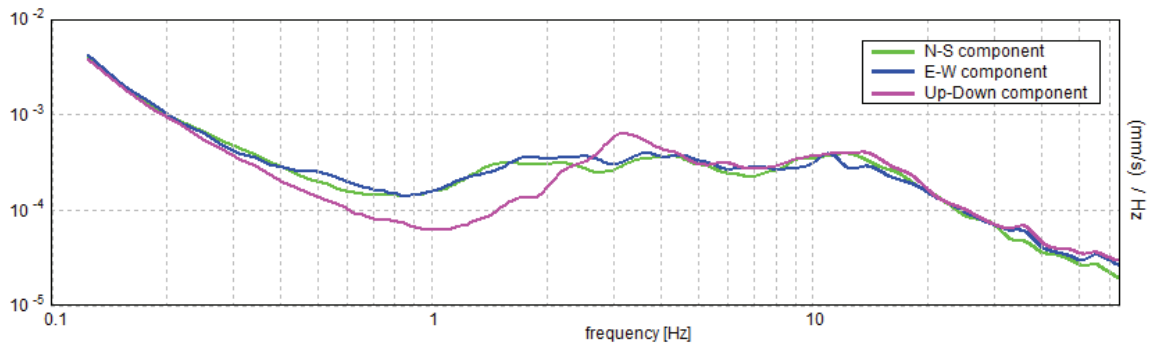
SERIE TEMPORALE H/V



DIREZIONALITA' H/V



SPETTRI DELLE SINGOLE COMPONENTI



Secondo le linee guida SESAME, 2004

Picco H/V a 1.25 ± 0.02 Hz (nell'intervallo 0.0 - 64.0 Hz).

Criteri per una curva H/V affidabile

[Tutti 3 dovrebbero risultare soddisfatti]

$f_0 > 10 / L_w$	$1.25 > 0.50$	OK	
$n_c(f_0) > 200$	$1350.0 > 200$	OK	
$\sigma_A(f) < 2$ per $0.5f_0 < f < 2f_0$ se $f_0 > 0.5\text{Hz}$ $\sigma_A(f) < 3$ per $0.5f_0 < f < 2f_0$ se $f_0 < 0.5\text{Hz}$	Superato 0 volte su 61	OK	

Criteri per un picco H/V chiaro

[Almeno 5 su 6 dovrebbero essere soddisfatti]

Esiste f^- in $[f_0/4, f_0]$ $A_{H/V}(f^-) < A_0 / 2$	0.469 Hz	OK	
Esiste f^+ in $[f_0, 4f_0]$ $A_{H/V}(f^+) < A_0 / 2$	2.125 Hz	OK	
$A_0 > 2$	$3.35 > 2$	OK	
$f_{\text{picco}}[A_{H/V}(f) \pm \sigma_A(f)] = f_0 \pm 5\%$	$ 0.00933 < 0.05$	OK	
$\sigma_f < \varepsilon(f_0)$	$0.01166 < 0.125$	OK	
$\sigma_A(f_0) < \theta(f_0)$	$0.7113 < 1.78$	OK	

L_w	lunghezza della finestra
n_w	numero di finestre usate nell'analisi
$n_c = L_w n_w f_0$	numero di cicli significativi
f	frequenza attuale
f_0	frequenza del picco H/V
σ_f	deviazione standard della frequenza del picco H/V
$\varepsilon(f_0)$	valore di soglia per la condizione di stabilità $\sigma_f < \varepsilon(f_0)$
A_0	ampiezza della curva H/V alla frequenza f_0
$A_{H/V}(f)$	ampiezza della curva H/V alla frequenza f
f^-	frequenza tra $f_0/4$ e f_0 alla quale $A_{H/V}(f^-) < A_0/2$
f^+	frequenza tra f_0 e $4f_0$ alla quale $A_{H/V}(f^+) < A_0/2$
$\sigma_A(f)$	deviazione standard di $A_{H/V}(f)$, $\sigma_A(f)$ è il fattore per il quale la curva $A_{H/V}(f)$ media deve essere moltiplicata o divisa
$\sigma_{\log H/V}(f)$	deviazione standard della funzione $\log A_{H/V}(f)$
$\theta(f_0)$	valore di soglia per la condizione di stabilità $\sigma_A(f) < \theta(f_0)$

Valori di soglia per σ_f e $\sigma_A(f_0)$

Intervallo di freq. [Hz]	< 0.2	0.2 - 0.5	0.5 - 1.0	1.0 - 2.0	> 2.0
$\varepsilon(f_0)$ [Hz]	$0.25 f_0$	$0.2 f_0$	$0.15 f_0$	$0.10 f_0$	$0.05 f_0$
$\theta(f_0)$ per $\sigma_A(f_0)$	3.0	2.5	2.0	1.78	1.58
$\log \theta(f_0)$ per $\sigma_{\log H/V}(f_0)$	0.48	0.40	0.30	0.25	0.20

HVSR_20

Strumento: TRZ-0195/01-12

Inizio registrazione: 20/02/13 13:40:04 Fine registrazione: 20/02/13 14:00:04

Nomi canali: NORTH SOUTH; EAST WEST ; UP DOWN

Dato GPS non disponibile

Condizioni Meteo: coperto, vento assente

Superficie: terreno naturale

Durata registrazione: 0h20'00".

Analizzato 92% tracciato (selezione manuale)

Freq. campionamento: 128 Hz

Lunghezza finestre: 20 s

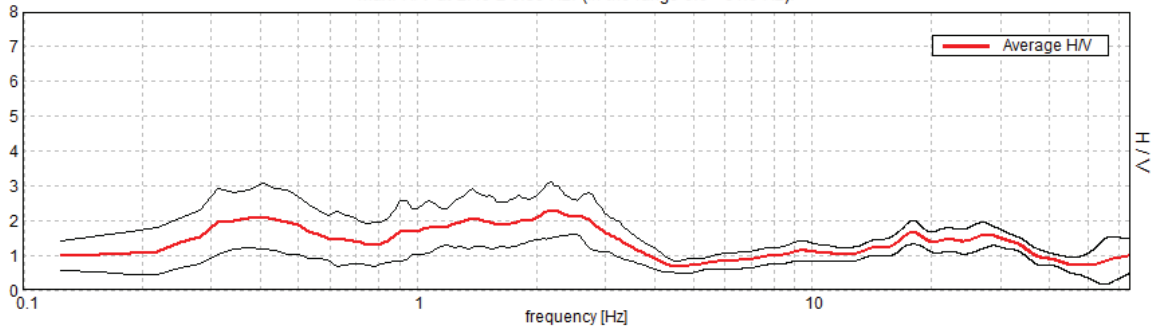
Tipo di lisciamento: Triangular window

Lisciamento: 10%

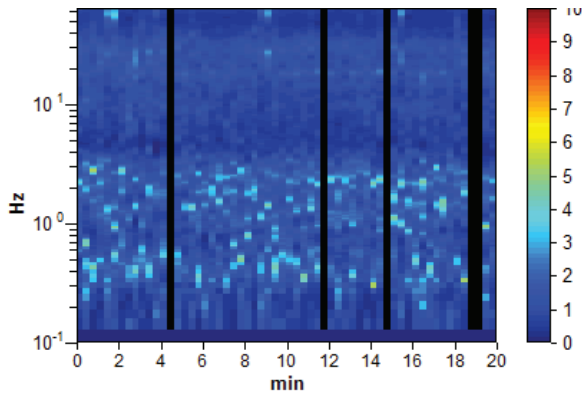


RAPPORTO SPETTRALE ORIZZONTALE SU VERTICALE

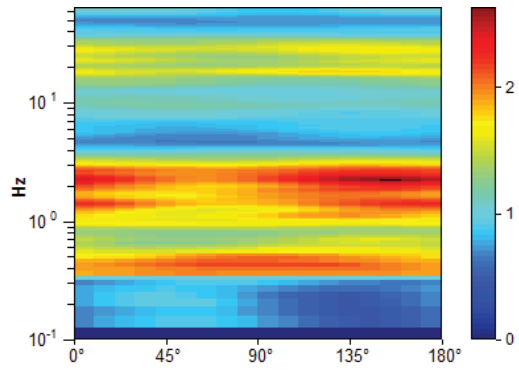
Max. H/V at 2.19 ± 0.38 Hz. (In the range 0.0 - 64.0 Hz).



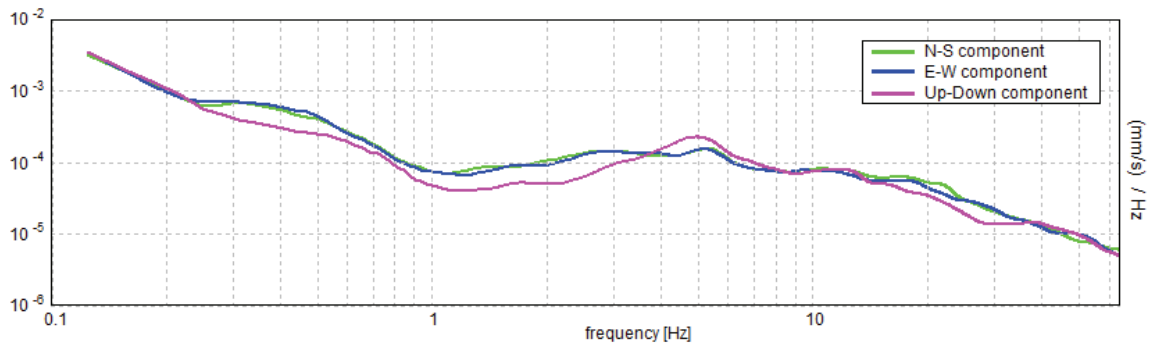
SERIE TEMPORALE H/V



DIREZIONALITA' H/V



SPETTRI DELLE SINGOLE COMPONENTI



Secondo le linee guida SESAME, 2004

Picco H/V a 2.19 ± 0.38 Hz (nell'intervallo 0.0 - 64.0 Hz).

Criteri per una curva H/V affidabile

[Tutti 3 dovrebbero risultare soddisfatti]

$f_0 > 10 / L_w$	$2.19 > 0.50$	OK	
$n_c(f_0) > 200$	$2406.3 > 200$	OK	
$\sigma_A(f) < 2$ per $0.5f_0 < f < 2f_0$ se $f_0 > 0.5\text{Hz}$ $\sigma_A(f) < 3$ per $0.5f_0 < f < 2f_0$ se $f_0 < 0.5\text{Hz}$	Superato 0 volte su 106	OK	

Criteri per un picco H/V chiaro

[Almeno 5 su 6 dovrebbero essere soddisfatti]

Esiste f^- in $[f_0/4, f_0]$ $A_{H/V}(f^-) < A_0 / 2$			NO
Esiste f^+ in $[f_0, 4f_0]$ $A_{H/V}(f^+) < A_0 / 2$	3.594 Hz	OK	
$A_0 > 2$	$2.30 > 2$	OK	
$f_{\text{picco}}[A_{H/V}(f) \pm \sigma_A(f)] = f_0 \pm 5\%$	$ 0.0868 < 0.05$		NO
$\sigma_f < \varepsilon(f_0)$	$0.18989 < 0.10938$		NO
$\sigma_A(f_0) < \theta(f_0)$	$0.4055 < 1.58$	OK	

L_w	lunghezza della finestra
n_w	numero di finestre usate nell'analisi
$n_c = L_w n_w f_0$	numero di cicli significativi
f	frequenza attuale
f_0	frequenza del picco H/V
σ_f	deviazione standard della frequenza del picco H/V
$\varepsilon(f_0)$	valore di soglia per la condizione di stabilità $\sigma_f < \varepsilon(f_0)$
A_0	ampiezza della curva H/V alla frequenza f_0
$A_{H/V}(f)$	ampiezza della curva H/V alla frequenza f
f^-	frequenza tra $f_0/4$ e f_0 alla quale $A_{H/V}(f^-) < A_0/2$
f^+	frequenza tra f_0 e $4f_0$ alla quale $A_{H/V}(f^+) < A_0/2$
$\sigma_A(f)$	deviazione standard di $A_{H/V}(f)$, $\sigma_A(f)$ è il fattore per il quale la curva $A_{H/V}(f)$ media deve essere moltiplicata o divisa
$\sigma_{\log H/V}(f)$	deviazione standard della funzione $\log A_{H/V}(f)$
$\theta(f_0)$	valore di soglia per la condizione di stabilità $\sigma_A(f) < \theta(f_0)$

Valori di soglia per σ_f e $\sigma_A(f_0)$

Intervallo di freq. [Hz]	< 0.2	0.2 - 0.5	0.5 - 1.0	1.0 - 2.0	> 2.0
$\varepsilon(f_0)$ [Hz]	$0.25 f_0$	$0.2 f_0$	$0.15 f_0$	$0.10 f_0$	$0.05 f_0$
$\theta(f_0)$ per $\sigma_A(f_0)$	3.0	2.5	2.0	1.78	1.58
$\log \theta(f_0)$ per $\sigma_{\log H/V}(f_0)$	0.48	0.40	0.30	0.25	0.20

HVSR_21

Strumento: TRZ-0195/01-12

Inizio registrazione: 20/02/13 10:35:53 Fine registrazione: 20/02/13 10:55:53

Nomi canali: NORTH SOUTH; EAST WEST ; UP DOWN

Dato GPS non disponibile

Condizioni Meteo: coperto, vento assente

Superficie: terreno naturale

Durata registrazione: 0h20'00".

Analisi effettuata sull'intera traccia.

Freq. campionamento: 128 Hz

Lunghezza finestre: 20 s

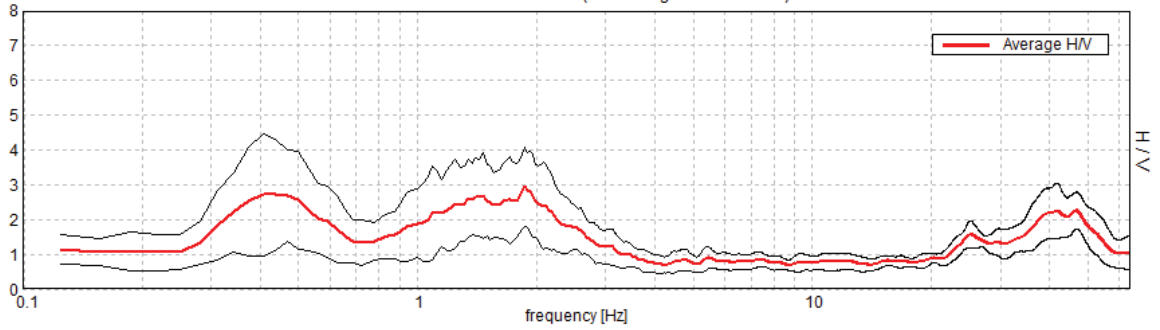
Tipo di lisciamento: Triangular window

Lisciamento: 5%

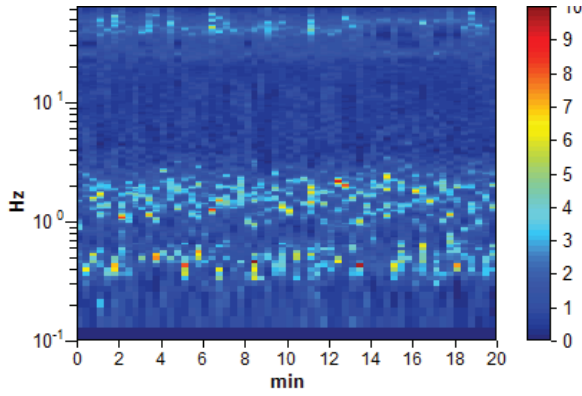


RAPPORTO SPETTRALE ORIZZONTALE SU VERTICALE

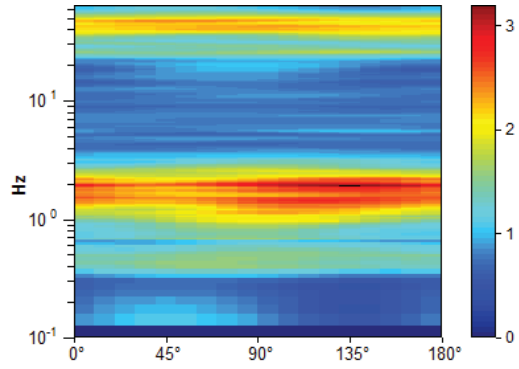
Max. H/V at 1.88 ± 0.22 Hz. (In the range 0.0 - 64.0 Hz).



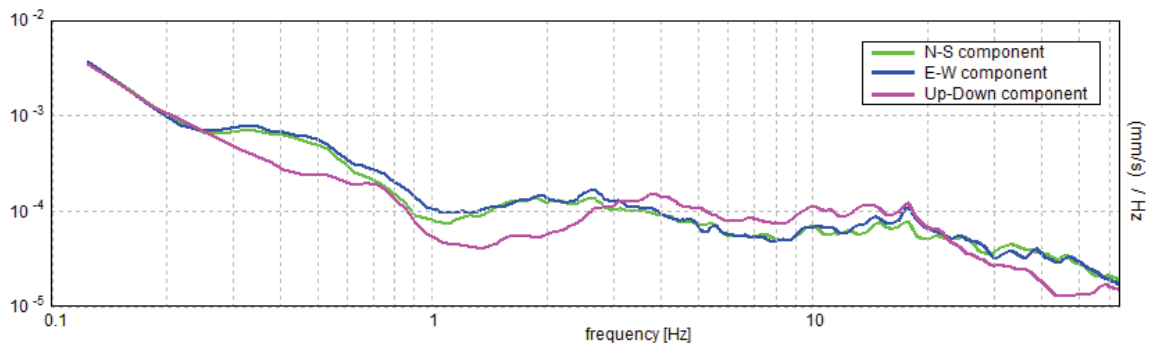
SERIE TEMPORALE H/V



DIREZIONALITA' H/V



SPETTRI DELLE SINGOLE COMPONENTI



Secondo le linee guida SESAME, 2004

Picco H/V a 1.88 ± 0.22 Hz (nell'intervallo 0.0 - 64.0 Hz).

Criteri per una curva H/V affidabile

[Tutti 3 dovrebbero risultare soddisfatti]

$f_0 > 10 / L_w$	$1.88 > 0.50$	OK	
$n_c(f_0) > 200$	$2250.0 > 200$	OK	
$\sigma_A(f) < 2$ per $0.5f_0 < f < 2f_0$ se $f_0 > 0.5\text{Hz}$ $\sigma_A(f) < 3$ per $0.5f_0 < f < 2f_0$ se $f_0 < 0.5\text{Hz}$	Superato 0 volte su 91	OK	

Criteri per un picco H/V chiaro

[Almeno 5 su 6 dovrebbero essere soddisfatti]

Esiste f^- in $[f_0/4, f_0]$ $A_{H/V}(f^-) < A_0 / 2$	0.813 Hz	OK	
Esiste f^+ in $[f_0, 4f_0]$ $A_{H/V}(f^+) < A_0 / 2$	2.719 Hz	OK	
$A_0 > 2$	$2.94 > 2$	OK	
$f_{\text{picco}}[A_{H/V}(f) \pm \sigma_A(f)] = f_0 \pm 5\%$	$ 0.05714 < 0.05$		NO
$\sigma_f < \varepsilon(f_0)$	$0.10714 < 0.1875$	OK	
$\sigma_A(f_0) < \theta(f_0)$	$0.5709 < 1.78$	OK	

L_w	lunghezza della finestra
n_w	numero di finestre usate nell'analisi
$n_c = L_w n_w f_0$	numero di cicli significativi
f	frequenza attuale
f_0	frequenza del picco H/V
σ_f	deviazione standard della frequenza del picco H/V
$\varepsilon(f_0)$	valore di soglia per la condizione di stabilità $\sigma_f < \varepsilon(f_0)$
A_0	ampiezza della curva H/V alla frequenza f_0
$A_{H/V}(f)$	ampiezza della curva H/V alla frequenza f
f^-	frequenza tra $f_0/4$ e f_0 alla quale $A_{H/V}(f^-) < A_0/2$
f^+	frequenza tra f_0 e $4f_0$ alla quale $A_{H/V}(f^+) < A_0/2$
$\sigma_A(f)$	deviazione standard di $A_{H/V}(f)$, $\sigma_A(f)$ è il fattore per il quale la curva $A_{H/V}(f)$ media deve essere moltiplicata o divisa
$\sigma_{\log H/V}(f)$	deviazione standard della funzione $\log A_{H/V}(f)$
$\theta(f_0)$	valore di soglia per la condizione di stabilità $\sigma_A(f) < \theta(f_0)$

Valori di soglia per σ_f e $\sigma_A(f_0)$

Intervallo di freq. [Hz]	< 0.2	0.2 - 0.5	0.5 - 1.0	1.0 - 2.0	> 2.0
$\varepsilon(f_0)$ [Hz]	$0.25 f_0$	$0.2 f_0$	$0.15 f_0$	$0.10 f_0$	$0.05 f_0$
$\theta(f_0)$ per $\sigma_A(f_0)$	3.0	2.5	2.0	1.78	1.58
$\log \theta(f_0)$ per $\sigma_{\log H/V}(f_0)$	0.48	0.40	0.30	0.25	0.20

HVSR_22

Strumento: TRZ-0195/01-12

Inizio registrazione: 19/02/13 11:33:21 Fine registrazione: 19/02/13 11:53:21

Nomi canali: NORTH SOUTH; EAST WEST ; UP DOWN

Dato GPS non disponibile

Condizioni Meteo: sereno, vento assente

Superficie: terreno naturale

Durata registrazione: 0h20'00".

Analisi effettuata sull'intera traccia.

Freq. campionamento: 128 Hz

Lunghezza finestre: 20 s

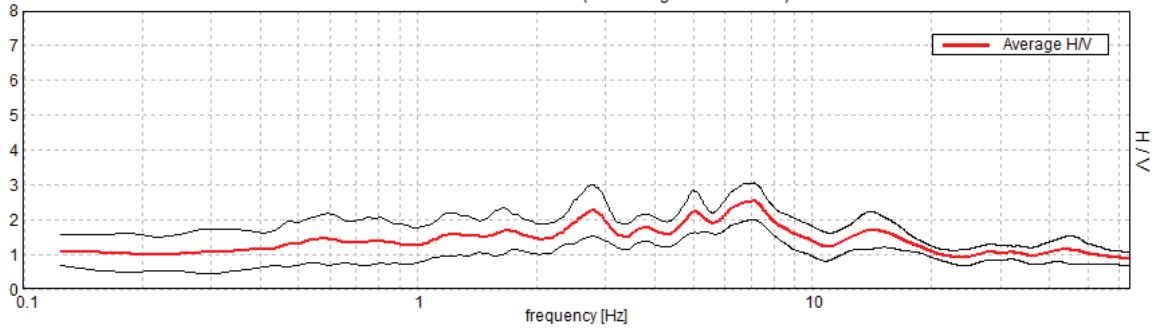
Tipo di lisciamento: Triangular window

Lisciamento: 10%

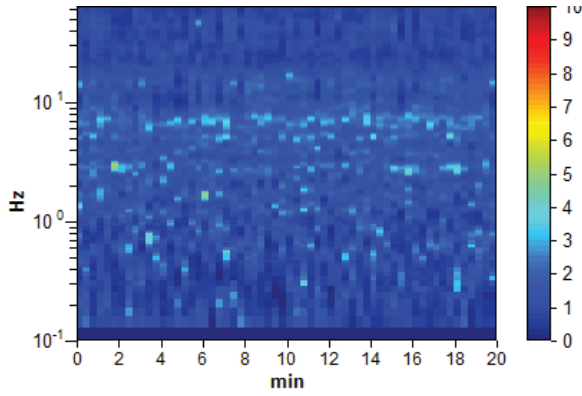


RAPPORTO SPETTRALE ORIZZONTALE SU VERTICALE

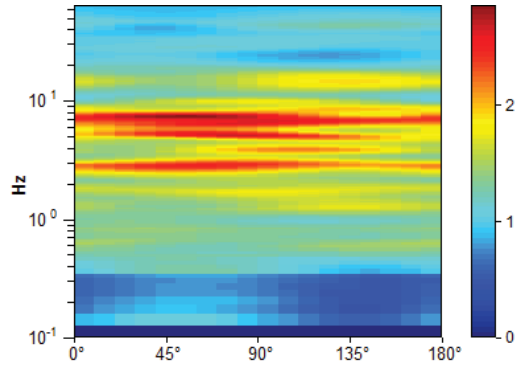
Max. H/V at 7.13 ± 0.53 Hz. (In the range 0.0 - 64.0 Hz).



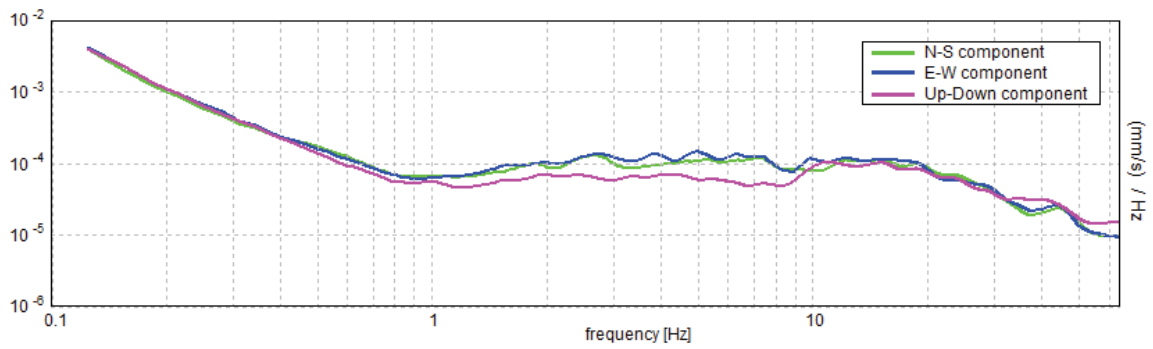
SERIE TEMPORALE H/V



DIREZIONALITA' H/V



SPETTRI DELLE SINGOLE COMPONENTI



Secondo le linee guida SESAME, 2004

Picco H/V a 7.13 ± 0.53 Hz (nell'intervallo 0.0 - 64.0 Hz).

Criteri per una curva H/V affidabile

[Tutti 3 dovrebbero risultare soddisfatti]

$f_0 > 10 / L_w$	$7.13 > 0.50$	OK	
$n_c(f_0) > 200$	$8550.0 > 200$	OK	
$\sigma_A(f) < 2$ per $0.5f_0 < f < 2f_0$ se $f_0 > 0.5\text{Hz}$ $\sigma_A(f) < 3$ per $0.5f_0 < f < 2f_0$ se $f_0 < 0.5\text{Hz}$	Superato 0 volte su 343	OK	

Criteri per un picco H/V chiaro

[Almeno 5 su 6 dovrebbero essere soddisfatti]

Esiste f^- in $[f_0/4, f_0]$ $A_{H/V}(f^-) < A_0 / 2$			NO
Esiste f^+ in $[f_0, 4f_0]$ $A_{H/V}(f^+) < A_0 / 2$	10.5 Hz	OK	
$A_0 > 2$	$2.52 > 2$	OK	
$f_{\text{picco}}[A_{H/V}(f) \pm \sigma_A(f)] = f_0 \pm 5\%$	$ 0.03683 < 0.05$	OK	
$\sigma_f < \varepsilon(f_0)$	$0.26242 < 0.35625$	OK	
$\sigma_A(f_0) < \theta(f_0)$	$0.2639 < 1.58$	OK	

L_w	lunghezza della finestra
n_w	numero di finestre usate nell'analisi
$n_c = L_w n_w f_0$	numero di cicli significativi
f	frequenza attuale
f_0	frequenza del picco H/V
σ_f	deviazione standard della frequenza del picco H/V
$\varepsilon(f_0)$	valore di soglia per la condizione di stabilità $\sigma_f < \varepsilon(f_0)$
A_0	ampiezza della curva H/V alla frequenza f_0
$A_{H/V}(f)$	ampiezza della curva H/V alla frequenza f
f^-	frequenza tra $f_0/4$ e f_0 alla quale $A_{H/V}(f^-) < A_0/2$
f^+	frequenza tra f_0 e $4f_0$ alla quale $A_{H/V}(f^+) < A_0/2$
$\sigma_A(f)$	deviazione standard di $A_{H/V}(f)$, $\sigma_A(f)$ è il fattore per il quale la curva $A_{H/V}(f)$ media deve essere moltiplicata o divisa
$\sigma_{\log H/V}(f)$	deviazione standard della funzione $\log A_{H/V}(f)$
$\theta(f_0)$	valore di soglia per la condizione di stabilità $\sigma_A(f) < \theta(f_0)$

Valori di soglia per σ_f e $\sigma_A(f_0)$

Intervallo di freq. [Hz]	< 0.2	0.2 - 0.5	0.5 - 1.0	1.0 - 2.0	> 2.0
$\varepsilon(f_0)$ [Hz]	$0.25 f_0$	$0.2 f_0$	$0.15 f_0$	$0.10 f_0$	$0.05 f_0$
$\theta(f_0)$ per $\sigma_A(f_0)$	3.0	2.5	2.0	1.78	1.58
$\log \theta(f_0)$ per $\sigma_{\log H/V}(f_0)$	0.48	0.40	0.30	0.25	0.20

HVSR_23

Strumento: TRZ-0195/01-12

Inizio registrazione: 19/02/13 13:04:57 Fine registrazione: 19/02/13 13:24:57

Nomi canali: NORTH SOUTH; EAST WEST ; UP DOWN

Dato GPS non disponibile

Condizioni Meteo: sereno, vento assente

Superficie: terreno naturale

Durata registrazione: 0h20'00".

Analisi effettuata sull'intera traccia.

Freq. campionamento: 128 Hz

Lunghezza finestre: 20 s

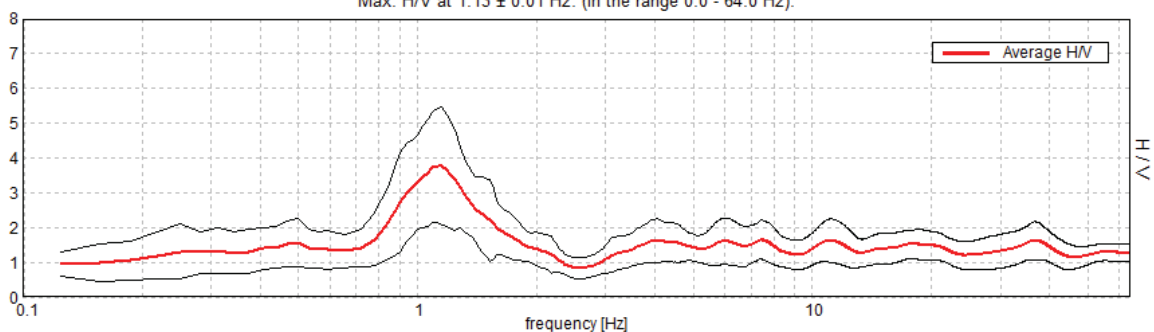
Tipo di lisciamento: Triangular window

Lisciamento: 10%

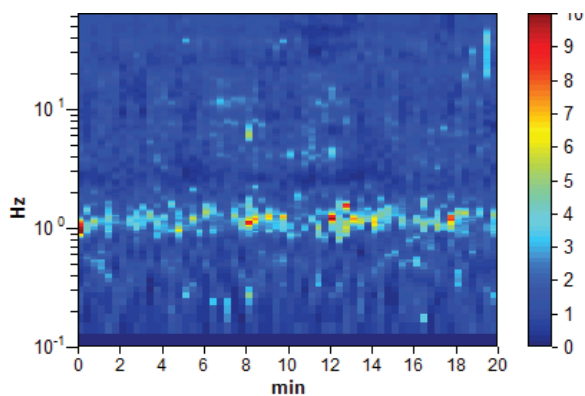


RAPPORTO SPETTRALE ORIZZONTALE SU VERTICALE

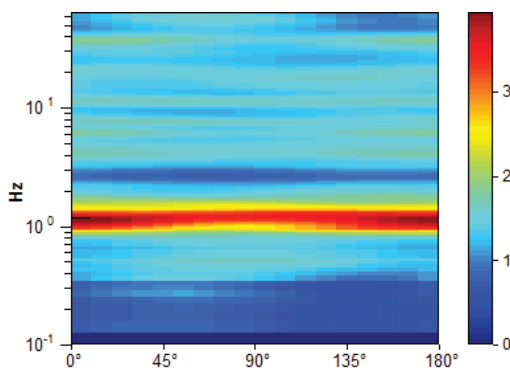
Max. H/V at 1.13 ± 0.01 Hz. (In the range 0.0 - 64.0 Hz).



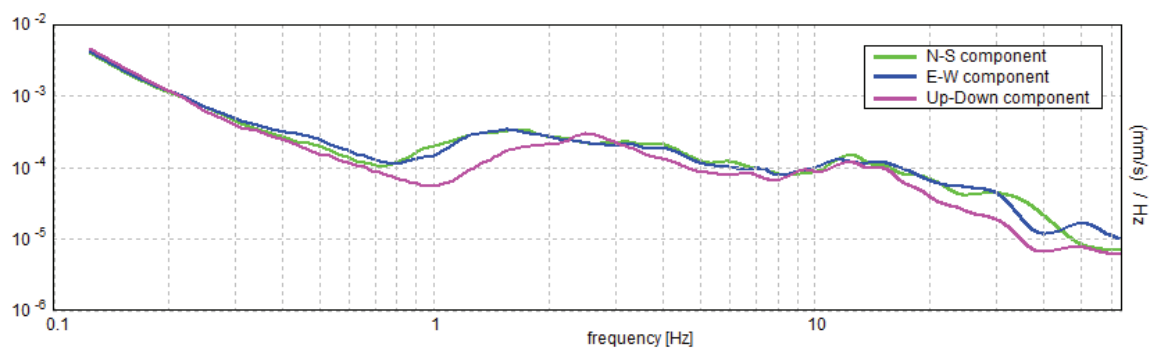
SERIE TEMPORALE H/V



DIREZIONALITA' H/V



SPETTRI DELLE SINGOLE COMPONENTI



Secondo le linee guida SESAME, 2004

Picco H/V a 1.13 ± 0.01 Hz (nell'intervallo 0.0 - 64.0 Hz).

Criteri per una curva H/V affidabile

[Tutti 3 dovrebbero risultare soddisfatti]

$f_0 > 10 / L_w$	$1.13 > 0.50$	OK	
$n_c(f_0) > 200$	$1350.0 > 200$	OK	
$\sigma_A(f) < 2$ per $0.5f_0 < f < 2f_0$ se $f_0 > 0.5\text{Hz}$ $\sigma_A(f) < 3$ per $0.5f_0 < f < 2f_0$ se $f_0 < 0.5\text{Hz}$	Superato 0 volte su 55	OK	

Criteri per un picco H/V chiaro

[Almeno 5 su 6 dovrebbero essere soddisfatti]

Esiste f^- in $[f_0/4, f_0]$ $A_{H/V}(f^-) < A_0 / 2$	0.781 Hz	OK	
Esiste f^+ in $[f_0, 4f_0]$ $A_{H/V}(f^+) < A_0 / 2$	1.656 Hz	OK	
$A_0 > 2$	$3.78 > 2$	OK	
$f_{\text{picco}}[A_{H/V}(f) \pm \sigma_A(f)] = f_0 \pm 5\%$	$ 0.00645 < 0.05$	OK	
$\sigma_f < \varepsilon(f_0)$	$0.00725 < 0.1125$	OK	
$\sigma_A(f_0) < \theta(f_0)$	$0.8128 < 1.78$	OK	

L_w	lunghezza della finestra
n_w	numero di finestre usate nell'analisi
$n_c = L_w n_w f_0$	numero di cicli significativi
f	frequenza attuale
f_0	frequenza del picco H/V
σ_f	deviazione standard della frequenza del picco H/V
$\varepsilon(f_0)$	valore di soglia per la condizione di stabilità $\sigma_f < \varepsilon(f_0)$
A_0	ampiezza della curva H/V alla frequenza f_0
$A_{H/V}(f)$	ampiezza della curva H/V alla frequenza f
f^-	frequenza tra $f_0/4$ e f_0 alla quale $A_{H/V}(f^-) < A_0/2$
f^+	frequenza tra f_0 e $4f_0$ alla quale $A_{H/V}(f^+) < A_0/2$
$\sigma_A(f)$	deviazione standard di $A_{H/V}(f)$, $\sigma_A(f)$ è il fattore per il quale la curva $A_{H/V}(f)$ media deve essere moltiplicata o divisa
$\sigma_{\log H/V}(f)$	deviazione standard della funzione $\log A_{H/V}(f)$
$\theta(f_0)$	valore di soglia per la condizione di stabilità $\sigma_A(f) < \theta(f_0)$

Valori di soglia per σ_f e $\sigma_A(f_0)$

Intervallo di freq. [Hz]	< 0.2	0.2 - 0.5	0.5 - 1.0	1.0 - 2.0	> 2.0
$\varepsilon(f_0)$ [Hz]	$0.25 f_0$	$0.2 f_0$	$0.15 f_0$	$0.10 f_0$	$0.05 f_0$
$\theta(f_0)$ per $\sigma_A(f_0)$	3.0	2.5	2.0	1.78	1.58
$\log \theta(f_0)$ per $\sigma_{\log H/V}(f_0)$	0.48	0.40	0.30	0.25	0.20

HVSR_24

Strumento: TRZ-0195/01-12

Inizio registrazione: 18/02/13 10:18:44 Fine registrazione: 18/02/13 10:38:45

Nomi canali: NORTH SOUTH; EAST WEST ; UP DOWN

Dato GPS non disponibile

Condizioni Meteo: sereno, vento assente

Superficie: terreno naturale

Durata registrazione: 0h20'00".

Analizzato 78% tracciato (selezione manuale)

Freq. campionamento: 128 Hz

Lunghezza finestre: 20 s

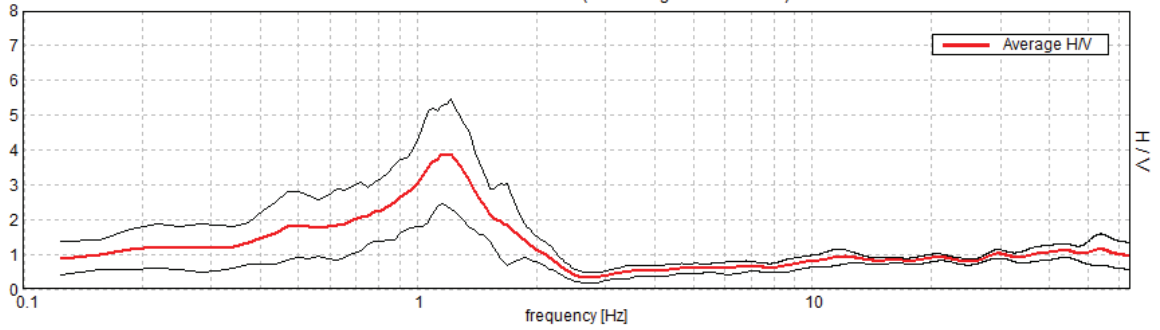
Tipo di lisciamento: Triangular window

Lisciamento: 10%

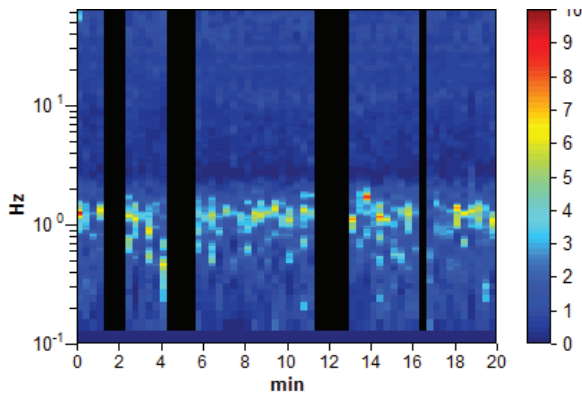


RAPPORTO SPETTRALE ORIZZONTALE SU VERTICALE

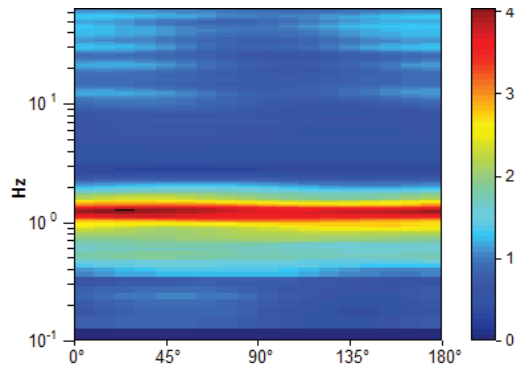
Max. H/V at 1.22 ± 0.02 Hz. (In the range 0.0 - 64.0 Hz).



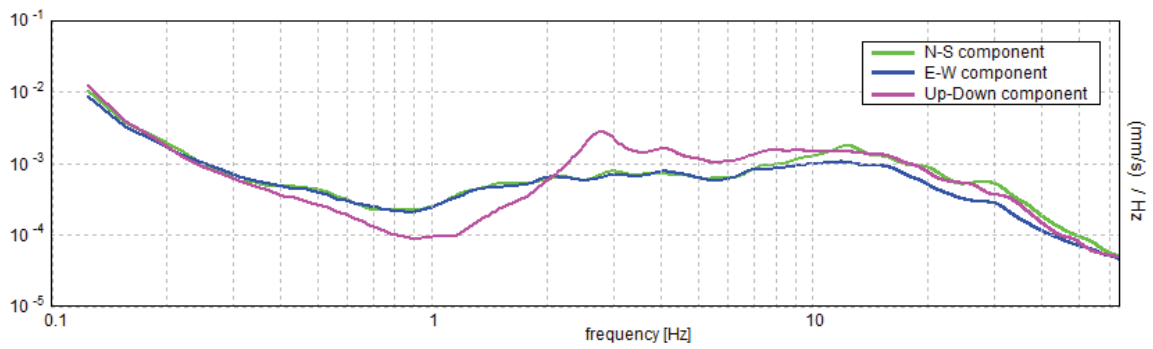
SERIE TEMPORALE H/V



DIREZIONALITA' H/V



SPETTRI DELLE SINGOLE COMPONENTI



Secondo le linee guida SESAME, 2004

Picco H/V a 1.22 ± 0.02 Hz (nell'intervallo 0.0 - 64.0 Hz).

Criteri per una curva H/V affidabile

[Tutti 3 dovrebbero risultare soddisfatti]

$f_0 > 10 / L_w$	$1.22 > 0.50$	OK	
$n_c(f_0) > 200$	$1145.6 > 200$	OK	
$\sigma_A(f) < 2$ per $0.5f_0 < f < 2f_0$ se $f_0 > 0.5\text{Hz}$ $\sigma_A(f) < 3$ per $0.5f_0 < f < 2f_0$ se $f_0 < 0.5\text{Hz}$	Superato 0 volte su 60	OK	

Criteri per un picco H/V chiaro

[Almeno 5 su 6 dovrebbero essere soddisfatti]

Esiste f^- in $[f_0/4, f_0]$ $A_{H/V}(f^-) < A_0 / 2$	0.656 Hz	OK	
Esiste f^+ in $[f_0, 4f_0]$ $A_{H/V}(f^+) < A_0 / 2$	1.656 Hz	OK	
$A_0 > 2$	$3.88 > 2$	OK	
$f_{\text{picco}}[A_{H/V}(f) \pm \sigma_A(f)] = f_0 \pm 5\%$	$ 0.00624 < 0.05$	OK	
$\sigma_f < \varepsilon(f_0)$	$0.00761 < 0.12188$	OK	
$\sigma_A(f_0) < \theta(f_0)$	$0.7838 < 1.78$	OK	

L_w	lunghezza della finestra
n_w	numero di finestre usate nell'analisi
$n_c = L_w n_w f_0$	numero di cicli significativi
f	frequenza attuale
f_0	frequenza del picco H/V
σ_f	deviazione standard della frequenza del picco H/V
$\varepsilon(f_0)$	valore di soglia per la condizione di stabilità $\sigma_f < \varepsilon(f_0)$
A_0	ampiezza della curva H/V alla frequenza f_0
$A_{H/V}(f)$	ampiezza della curva H/V alla frequenza f
f^-	frequenza tra $f_0/4$ e f_0 alla quale $A_{H/V}(f^-) < A_0/2$
f^+	frequenza tra f_0 e $4f_0$ alla quale $A_{H/V}(f^+) < A_0/2$
$\sigma_A(f)$	deviazione standard di $A_{H/V}(f)$, $\sigma_A(f)$ è il fattore per il quale la curva $A_{H/V}(f)$ media deve essere moltiplicata o divisa
$\sigma_{\log H/V}(f)$	deviazione standard della funzione $\log A_{H/V}(f)$
$\theta(f_0)$	valore di soglia per la condizione di stabilità $\sigma_A(f) < \theta(f_0)$

Valori di soglia per σ_f e $\sigma_A(f_0)$

Intervallo di freq. [Hz]	< 0.2	0.2 - 0.5	0.5 - 1.0	1.0 - 2.0	> 2.0
$\varepsilon(f_0)$ [Hz]	$0.25 f_0$	$0.2 f_0$	$0.15 f_0$	$0.10 f_0$	$0.05 f_0$
$\theta(f_0)$ per $\sigma_A(f_0)$	3.0	2.5	2.0	1.78	1.58
$\log \theta(f_0)$ per $\sigma_{\log H/V}(f_0)$	0.48	0.40	0.30	0.25	0.20

HVSR_25

Strumento: TRZ-0195/01-12

Inizio registrazione: 18/02/13 13:07:54 Fine registrazione: 18/02/13 13:27:54

Nomi canali: NORTH SOUTH; EAST WEST ; UP DOWN

Dato GPS non disponibile

Condizioni Meteo: sereno, vento debole

Superficie: terreno naturale

Durata registrazione: 0h20'00".

Analizzato 92% tracciato (selezione manuale)

Freq. campionamento: 128 Hz

Lunghezza finestre: 20 s

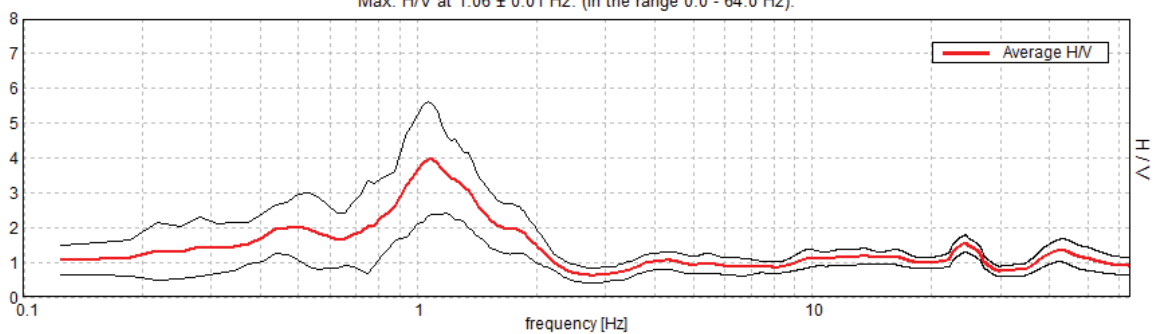
Tipo di lisciamento: Triangular window

Lisciamento: 10%

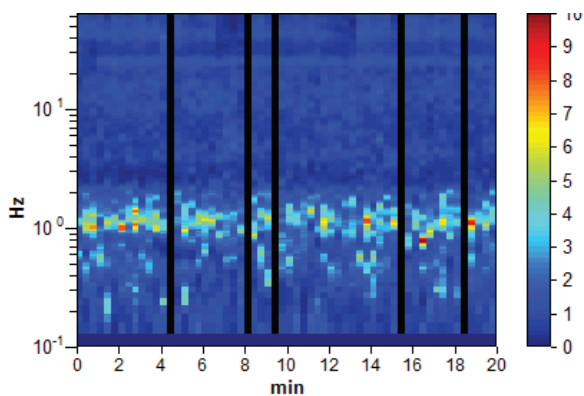


RAPPORTO SPETTRALE ORIZZONTALE SU VERTICALE

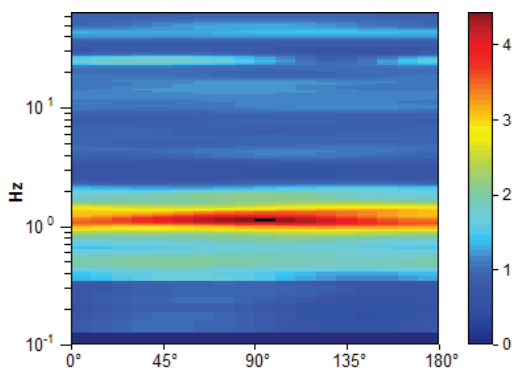
Max. H/V at 1.06 ± 0.01 Hz. (In the range 0.0 - 64.0 Hz).



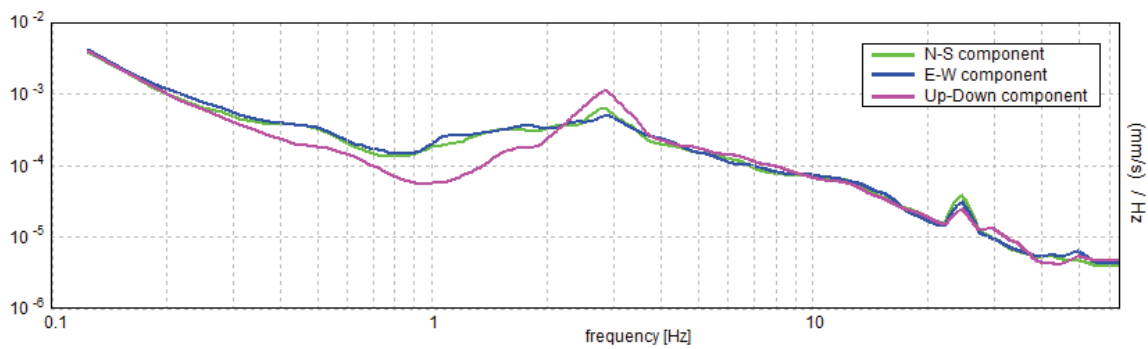
SERIE TEMPORALE H/V



DIREZIONALITA' H/V



SPETTRI DELLE SINGOLE COMPONENTI



Secondo le linee guida SESAME, 2004

Picco H/V a 1.06 ± 0.01 Hz (nell'intervallo 0.0 - 64.0 Hz).

Criteri per una curva H/V affidabile

[Tutti 3 dovrebbero risultare soddisfatti]

$f_0 > 10 / L_w$	$1.06 > 0.50$	OK	
$n_c(f_0) > 200$	$1168.8 > 200$	OK	
$\sigma_A(f) < 2$ per $0.5f_0 < f < 2f_0$ se $f_0 > 0.5\text{Hz}$ $\sigma_A(f) < 3$ per $0.5f_0 < f < 2f_0$ se $f_0 < 0.5\text{Hz}$	Superato 0 volte su 52	OK	

Criteri per un picco H/V chiaro

[Almeno 5 su 6 dovrebbero essere soddisfatti]

Esiste f^- in $[f_0/4, f_0]$ $A_{H/V}(f^-) < A_0 / 2$	0.719 Hz	OK	
Esiste f^+ in $[f_0, 4f_0]$ $A_{H/V}(f^+) < A_0 / 2$	1.656 Hz	OK	
$A_0 > 2$	$3.98 > 2$	OK	
$f_{\text{picco}}[A_{H/V}(f) \pm \sigma_A(f)] = f_0 \pm 5\%$	$ 0.00374 < 0.05$	OK	
$\sigma_f < \varepsilon(f_0)$	$0.00398 < 0.10625$	OK	
$\sigma_A(f_0) < \theta(f_0)$	$0.8195 < 1.78$	OK	

L_w	lunghezza della finestra
n_w	numero di finestre usate nell'analisi
$n_c = L_w n_w f_0$	numero di cicli significativi
f	frequenza attuale
f_0	frequenza del picco H/V
σ_f	deviazione standard della frequenza del picco H/V
$\varepsilon(f_0)$	valore di soglia per la condizione di stabilità $\sigma_f < \varepsilon(f_0)$
A_0	ampiezza della curva H/V alla frequenza f_0
$A_{H/V}(f)$	ampiezza della curva H/V alla frequenza f
f^-	frequenza tra $f_0/4$ e f_0 alla quale $A_{H/V}(f^-) < A_0/2$
f^+	frequenza tra f_0 e $4f_0$ alla quale $A_{H/V}(f^+) < A_0/2$
$\sigma_A(f)$	deviazione standard di $A_{H/V}(f)$, $\sigma_A(f)$ è il fattore per il quale la curva $A_{H/V}(f)$ media deve essere moltiplicata o divisa
$\sigma_{\log H/V}(f)$	deviazione standard della funzione $\log A_{H/V}(f)$
$\theta(f_0)$	valore di soglia per la condizione di stabilità $\sigma_A(f) < \theta(f_0)$

Valori di soglia per σ_f e $\sigma_A(f_0)$

Intervallo di freq. [Hz]	< 0.2	0.2 - 0.5	0.5 - 1.0	1.0 - 2.0	> 2.0
$\varepsilon(f_0)$ [Hz]	$0.25 f_0$	$0.2 f_0$	$0.15 f_0$	$0.10 f_0$	$0.05 f_0$
$\theta(f_0)$ per $\sigma_A(f_0)$	3.0	2.5	2.0	1.78	1.58
$\log \theta(f_0)$ per $\sigma_{\log H/V}(f_0)$	0.48	0.40	0.30	0.25	0.20

HVSR_26

Strumento: TRZ-0195/01-12

Inizio registrazione: 18/02/13 12:27:54 Fine registrazione: 18/02/13 12:47:54

Nomi canali: NORTH SOUTH; EAST WEST ; UP DOWN

Dato GPS non disponibile

Condizioni Meteo: sereno, vento assente

Superficie: terreno naturale

Durata registrazione: 0h20'00".

Analizzato 93% tracciato (selezione manuale)

Freq. campionamento: 128 Hz

Lunghezza finestre: 20 s

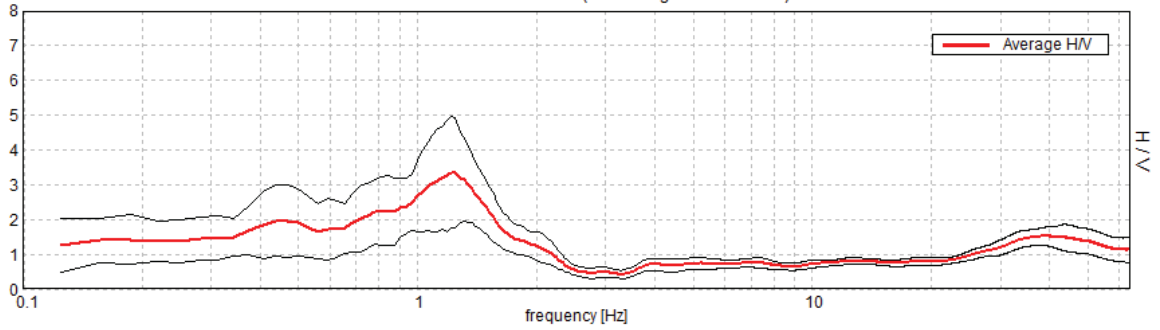
Tipo di lisciamento: Triangular window

Lisciamento: 10%

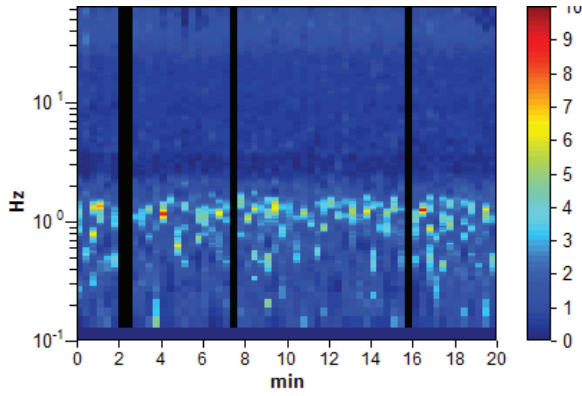


RAPPORTO SPETTRALE ORIZZONTALE SU VERTICALE

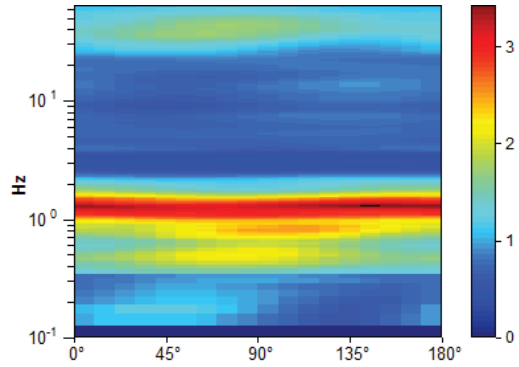
Max. H/V at 1.22 ± 0.02 Hz. (In the range 0.0 - 64.0 Hz).



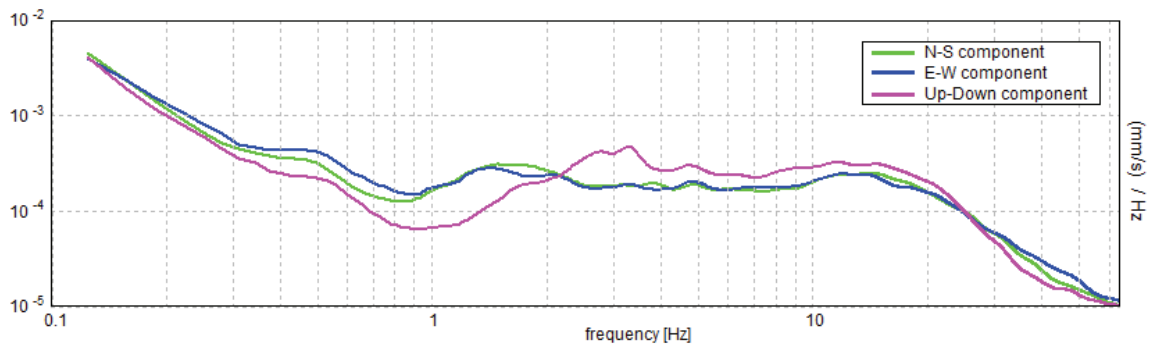
SERIE TEMPORALE H/V



DIREZIONALITA' H/V



SPETTRI DELLE SINGOLE COMPONENTI



Secondo le linee guida SESAME, 2004

Picco H/V a 1.22 ± 0.02 Hz (nell'intervallo 0.0 - 64.0 Hz).

Criteri per una curva H/V affidabile

[Tutti 3 dovrebbero risultare soddisfatti]

$f_0 > 10 / L_w$	$1.22 > 0.50$	OK	
$n_c(f_0) > 200$	$1365.0 > 200$	OK	
$\sigma_A(f) < 2$ per $0.5f_0 < f < 2f_0$ se $f_0 > 0.5\text{Hz}$ $\sigma_A(f) < 3$ per $0.5f_0 < f < 2f_0$ se $f_0 < 0.5\text{Hz}$	Superato 0 volte su 60	OK	

Criteri per un picco H/V chiaro

[Almeno 5 su 6 dovrebbero essere soddisfatti]

Esiste f^- in $[f_0/4, f_0]$ $A_{H/V}(f^-) < A_0 / 2$	0.563 Hz	OK	
Esiste f^+ in $[f_0, 4f_0]$ $A_{H/V}(f^+) < A_0 / 2$	1.656 Hz	OK	
$A_0 > 2$	$3.36 > 2$	OK	
$f_{\text{picco}}[A_{H/V}(f) \pm \sigma_A(f)] = f_0 \pm 5\%$	$ 0.00798 < 0.05$	OK	
$\sigma_f < \varepsilon(f_0)$	$0.00973 < 0.12188$	OK	
$\sigma_A(f_0) < \theta(f_0)$	$0.8003 < 1.78$	OK	

L_w	lunghezza della finestra
n_w	numero di finestre usate nell'analisi
$n_c = L_w n_w f_0$	numero di cicli significativi
f	frequenza attuale
f_0	frequenza del picco H/V
σ_f	deviazione standard della frequenza del picco H/V
$\varepsilon(f_0)$	valore di soglia per la condizione di stabilità $\sigma_f < \varepsilon(f_0)$
A_0	ampiezza della curva H/V alla frequenza f_0
$A_{H/V}(f)$	ampiezza della curva H/V alla frequenza f
f^-	frequenza tra $f_0/4$ e f_0 alla quale $A_{H/V}(f^-) < A_0/2$
f^+	frequenza tra f_0 e $4f_0$ alla quale $A_{H/V}(f^+) < A_0/2$
$\sigma_A(f)$	deviazione standard di $A_{H/V}(f)$, $\sigma_A(f)$ è il fattore per il quale la curva $A_{H/V}(f)$ media deve essere moltiplicata o divisa
$\sigma_{\log H/V}(f)$	deviazione standard della funzione $\log A_{H/V}(f)$
$\theta(f_0)$	valore di soglia per la condizione di stabilità $\sigma_A(f) < \theta(f_0)$

Valori di soglia per σ_f e $\sigma_A(f_0)$

Intervallo di freq. [Hz]	< 0.2	0.2 - 0.5	0.5 - 1.0	1.0 - 2.0	> 2.0
$\varepsilon(f_0)$ [Hz]	$0.25 f_0$	$0.2 f_0$	$0.15 f_0$	$0.10 f_0$	$0.05 f_0$
$\theta(f_0)$ per $\sigma_A(f_0)$	3.0	2.5	2.0	1.78	1.58
$\log \theta(f_0)$ per $\sigma_{\log H/V}(f_0)$	0.48	0.40	0.30	0.25	0.20

HVSR_27

Strumento: TRZ-0195/01-12

Inizio registrazione: 19/02/13 14:34:04 Fine registrazione: 19/02/13 14:54:04

Nomi canali: NORTH SOUTH; EAST WEST ; UP DOWN

Dato GPS non disponibile

Condizioni Meteo: sereno, vento debole

Superficie: terreno naturale

Durata registrazione: 0h20'00".

Analisi effettuata sull'intera traccia.

Freq. campionamento: 128 Hz

Lunghezza finestre: 20 s

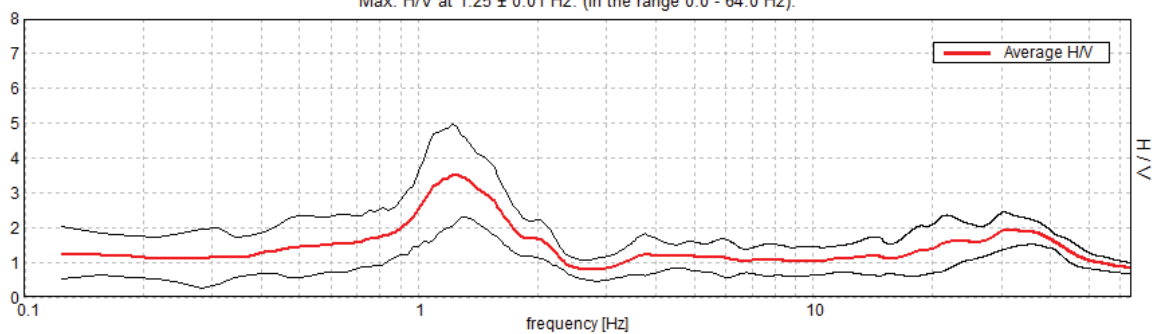
Tipo di lisciamento: Triangular window

Lisciamento: 10%

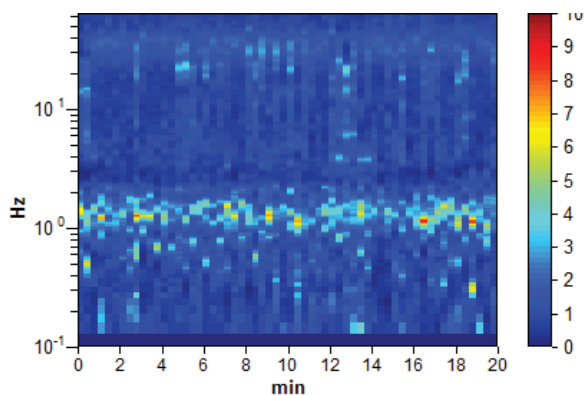


RAPPORTO SPETTRALE ORIZZONTALE SU VERTICALE

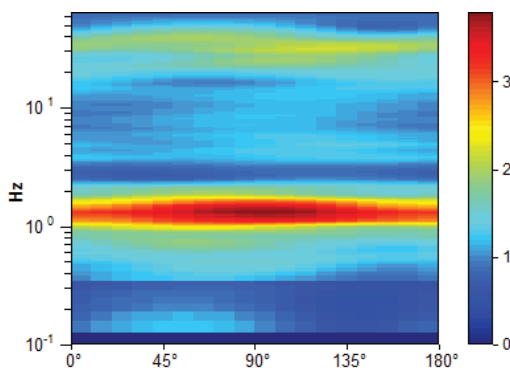
Max. H/V at 1.25 ± 0.01 Hz. (In the range 0.0 - 64.0 Hz).



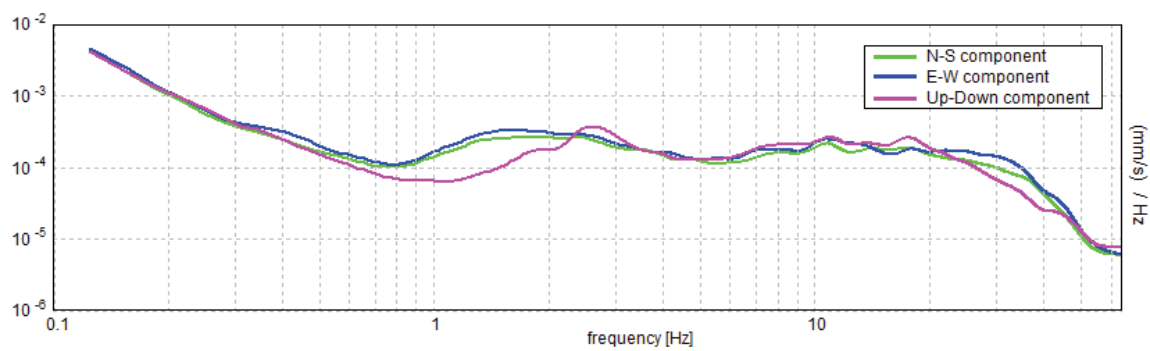
SERIE TEMPORALE H/V



DIREZIONALITA' H/V



SPETTRI DELLE SINGOLE COMPONENTI



Secondo le linee guida SESAME, 2004

Picco H/V a 1.25 ± 0.01 Hz (nell'intervallo 0.0 - 64.0 Hz).

Criteri per una curva H/V affidabile

[Tutti 3 dovrebbero risultare soddisfatti]

$f_0 > 10 / L_w$	$1.25 > 0.50$	OK	
$n_c(f_0) > 200$	$1500.0 > 200$	OK	
$\sigma_A(f) < 2$ per $0.5f_0 < f < 2f_0$ se $f_0 > 0.5\text{Hz}$ $\sigma_A(f) < 3$ per $0.5f_0 < f < 2f_0$ se $f_0 < 0.5\text{Hz}$	Superato 0 volte su 61	OK	

Criteri per un picco H/V chiaro

[Almeno 5 su 6 dovrebbero essere soddisfatti]

Esiste f^- in $[f_0/4, f_0]$ $A_{H/V}(f^-) < A_0 / 2$	0.813 Hz	OK	
Esiste f^+ in $[f_0, 4f_0]$ $A_{H/V}(f^+) < A_0 / 2$	1.844 Hz	OK	
$A_0 > 2$	$3.54 > 2$	OK	
$f_{\text{picco}}[A_{H/V}(f) \pm \sigma_A(f)] = f_0 \pm 5\%$	$ 0.00309 < 0.05$	OK	
$\sigma_f < \varepsilon(f_0)$	$0.00386 < 0.125$	OK	
$\sigma_A(f_0) < \theta(f_0)$	$0.683 < 1.78$	OK	

L_w	lunghezza della finestra
n_w	numero di finestre usate nell'analisi
$n_c = L_w n_w f_0$	numero di cicli significativi
f	frequenza attuale
f_0	frequenza del picco H/V
σ_f	deviazione standard della frequenza del picco H/V
$\varepsilon(f_0)$	valore di soglia per la condizione di stabilità $\sigma_f < \varepsilon(f_0)$
A_0	ampiezza della curva H/V alla frequenza f_0
$A_{H/V}(f)$	ampiezza della curva H/V alla frequenza f
f^-	frequenza tra $f_0/4$ e f_0 alla quale $A_{H/V}(f^-) < A_0/2$
f^+	frequenza tra f_0 e $4f_0$ alla quale $A_{H/V}(f^+) < A_0/2$
$\sigma_A(f)$	deviazione standard di $A_{H/V}(f)$, $\sigma_A(f)$ è il fattore per il quale la curva $A_{H/V}(f)$ media deve essere moltiplicata o divisa
$\sigma_{\log H/V}(f)$	deviazione standard della funzione $\log A_{H/V}(f)$
$\theta(f_0)$	valore di soglia per la condizione di stabilità $\sigma_A(f) < \theta(f_0)$

Valori di soglia per σ_f e $\sigma_A(f_0)$

Intervallo di freq. [Hz]	< 0.2	0.2 – 0.5	0.5 – 1.0	1.0 – 2.0	> 2.0
$\varepsilon(f_0)$ [Hz]	$0.25 f_0$	$0.2 f_0$	$0.15 f_0$	$0.10 f_0$	$0.05 f_0$
$\theta(f_0)$ per $\sigma_A(f_0)$	3.0	2.5	2.0	1.78	1.58
$\log \theta(f_0)$ per $\sigma_{\log H/V}(f_0)$	0.48	0.40	0.30	0.25	0.20

HVSR_28

Strumento: TRZ-0195/01-12

Inizio registrazione: 19/02/13 15:33:06 Fine registrazione: 19/02/13 15:53:06

Nomi canali: NORTH SOUTH; EAST WEST ; UP DOWN

Dato GPS non disponibile

Condizioni Meteo: sereno, vento debole

Superficie: terreno naturale

Durata registrazione: 0h20'00".

Analizzato 92% tracciato (selezione manuale)

Freq. campionamento: 128 Hz

Lunghezza finestre: 20 s

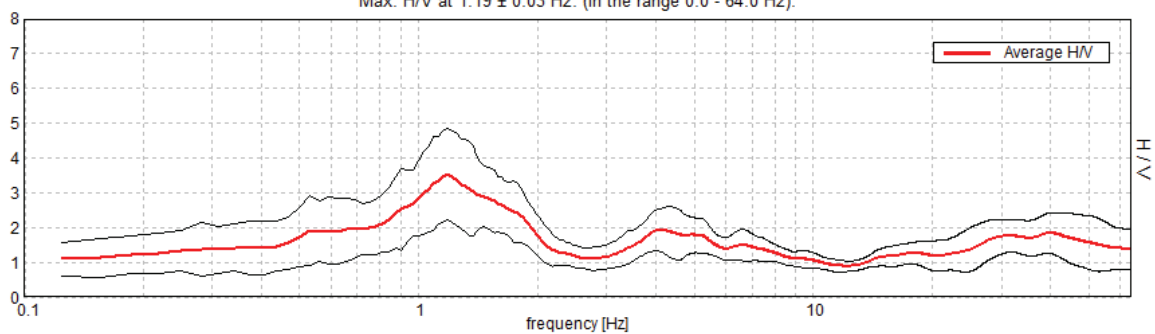
Tipo di lisciamento: Triangular window

Lisciamento: 10%

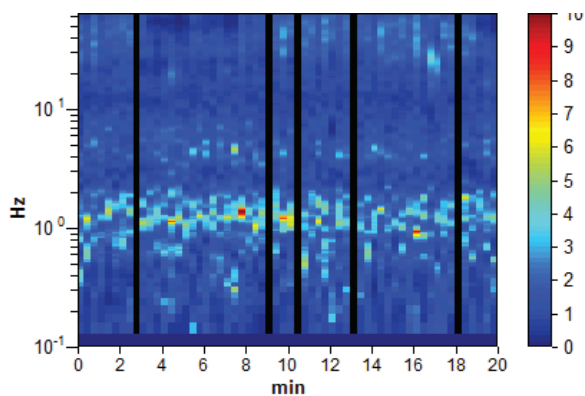


RAPPORTO SPETTRALE ORIZZONTALE SU VERTICALE

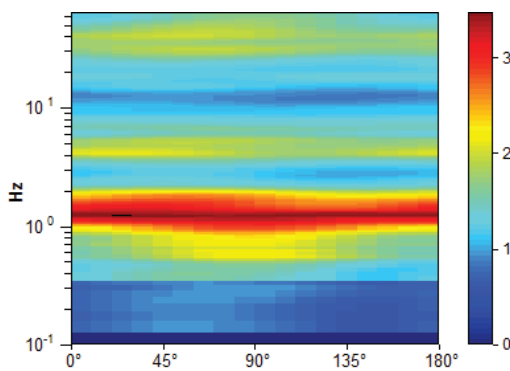
Max. H/V at 1.19 ± 0.03 Hz. (In the range 0.0 - 64.0 Hz).



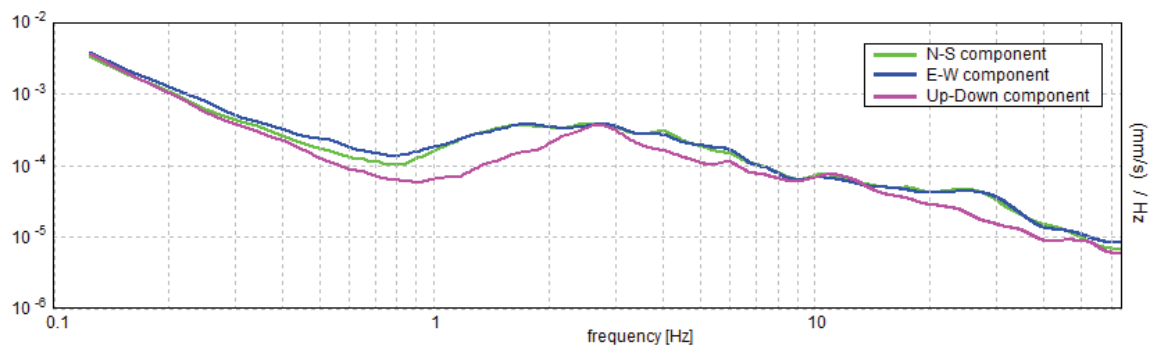
SERIE TEMPORALE H/V



DIREZIONALITA' H/V



SPETTRI DELLE SINGOLE COMPONENTI



Secondo le linee guida SESAME, 2004

Picco H/V a 1.19 ± 0.03 Hz (nell'intervallo 0.0 - 64.0 Hz).

Criteri per una curva H/V affidabile

[Tutti 3 dovrebbero risultare soddisfatti]

$f_0 > 10 / L_w$	$1.19 > 0.50$	OK	
$n_c(f_0) > 200$	$1306.3 > 200$	OK	
$\sigma_A(f) < 2$ per $0.5f_0 < f < 2f_0$ se $f_0 > 0.5\text{Hz}$ $\sigma_A(f) < 3$ per $0.5f_0 < f < 2f_0$ se $f_0 < 0.5\text{Hz}$	Superato 0 volte su 58	OK	

Criteri per un picco H/V chiaro

[Almeno 5 su 6 dovrebbero essere soddisfatti]

Esiste f^- in $[f_0/4, f_0]$ $A_{H/V}(f^-) < A_0 / 2$	0.5 Hz	OK	
Esiste f^+ in $[f_0, 4f_0]$ $A_{H/V}(f^+) < A_0 / 2$	2.031 Hz	OK	
$A_0 > 2$	$3.52 > 2$	OK	
$f_{\text{picco}}[A_{H/V}(f) \pm \sigma_A(f)] = f_0 \pm 5\%$	$ 0.01266 < 0.05$	OK	
$\sigma_f < \varepsilon(f_0)$	$0.01503 < 0.11875$	OK	
$\sigma_A(f_0) < \theta(f_0)$	$0.6489 < 1.78$	OK	

L_w	lunghezza della finestra
n_w	numero di finestre usate nell'analisi
$n_c = L_w n_w f_0$	numero di cicli significativi
f	frequenza attuale
f_0	frequenza del picco H/V
σ_f	deviazione standard della frequenza del picco H/V
$\varepsilon(f_0)$	valore di soglia per la condizione di stabilità $\sigma_f < \varepsilon(f_0)$
A_0	ampiezza della curva H/V alla frequenza f_0
$A_{H/V}(f)$	ampiezza della curva H/V alla frequenza f
f^-	frequenza tra $f_0/4$ e f_0 alla quale $A_{H/V}(f^-) < A_0/2$
f^+	frequenza tra f_0 e $4f_0$ alla quale $A_{H/V}(f^+) < A_0/2$
$\sigma_A(f)$	deviazione standard di $A_{H/V}(f)$, $\sigma_A(f)$ è il fattore per il quale la curva $A_{H/V}(f)$ media deve essere moltiplicata o divisa
$\sigma_{\log H/V}(f)$	deviazione standard della funzione $\log A_{H/V}(f)$
$\theta(f_0)$	valore di soglia per la condizione di stabilità $\sigma_A(f) < \theta(f_0)$

Valori di soglia per σ_f e $\sigma_A(f_0)$

Intervallo di freq. [Hz]	< 0.2	0.2 - 0.5	0.5 - 1.0	1.0 - 2.0	> 2.0
$\varepsilon(f_0)$ [Hz]	$0.25 f_0$	$0.2 f_0$	$0.15 f_0$	$0.10 f_0$	$0.05 f_0$
$\theta(f_0)$ per $\sigma_A(f_0)$	3.0	2.5	2.0	1.78	1.58
$\log \theta(f_0)$ per $\sigma_{\log H/V}(f_0)$	0.48	0.40	0.30	0.25	0.20

HVSR_29

Strumento: TRZ-0195/01-12

Inizio registrazione: 18/02/13 14:21:05 Fine registrazione: 18/02/13 14:41:05

Nomi canali: NORTH SOUTH; EAST WEST ; UP DOWN

Dato GPS non disponibile

Condizioni Meteo: sereno, vento debole

Superficie: terreno naturale

Durata registrazione: 0h20'00".

Analizzato 85% tracciato (selezione manuale)

Freq. campionamento: 128 Hz

Lunghezza finestre: 20 s

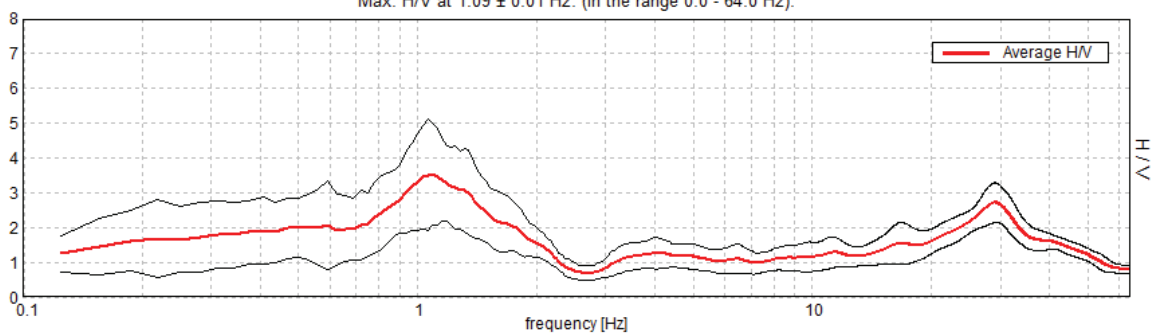
Tipo di lisciamento: Triangular window

Lisciamento: 10%

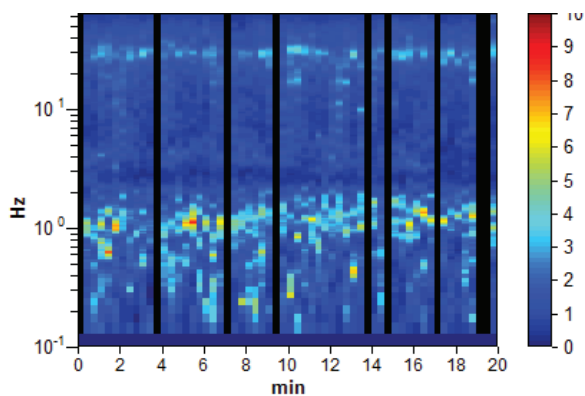


RAPPORTO SPETTRALE ORIZZONTALE SU VERTICALE

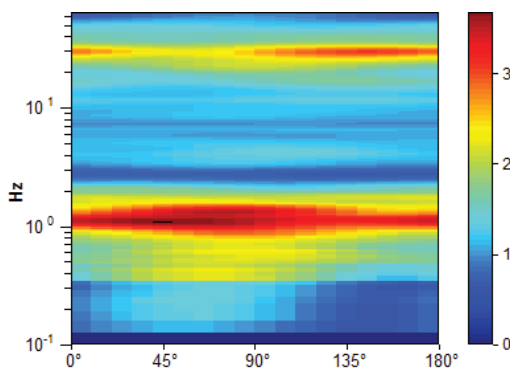
Max. H/V at 1.09 ± 0.01 Hz. (In the range 0.0 - 64.0 Hz).



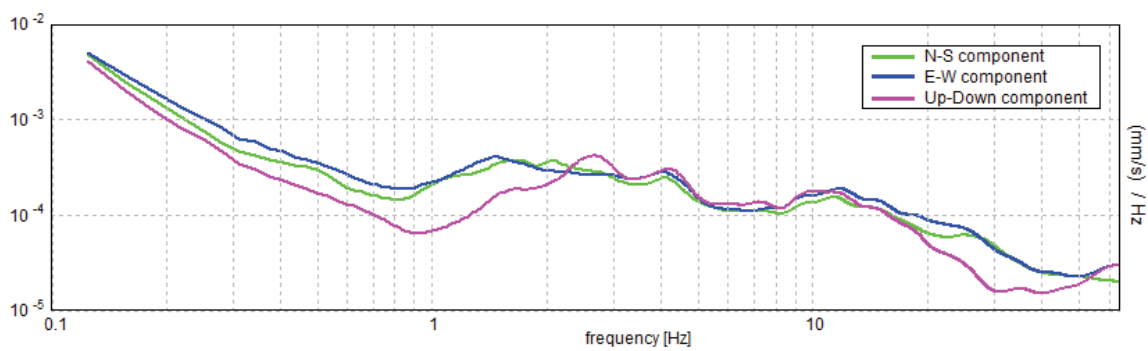
SERIE TEMPORALE H/V



DIREZIONALITA' H/V



SPETTRI DELLE SINGOLE COMPONENTI



Secondo le linee guida SESAME, 2004

Picco H/V a 1.09 ± 0.01 Hz (nell'intervallo 0.0 - 64.0 Hz).

Criteri per una curva H/V affidabile

[Tutti 3 dovrebbero risultare soddisfatti]

$f_0 > 10 / L_w$	$1.09 > 0.50$	OK	
$n_c(f_0) > 200$	$1115.6 > 200$	OK	
$\sigma_A(f) < 2$ per $0.5f_0 < f < 2f_0$ se $f_0 > 0.5\text{Hz}$ $\sigma_A(f) < 3$ per $0.5f_0 < f < 2f_0$ se $f_0 < 0.5\text{Hz}$	Superato 0 volte su 54	OK	

Criteri per un picco H/V chiaro

[Almeno 5 su 6 dovrebbero essere soddisfatti]

Esiste f^- in $[f_0/4, f_0]$ $A_{H/V}(f^-) < A_0 / 2$	0.281 Hz	OK	
Esiste f^+ in $[f_0, 4f_0]$ $A_{H/V}(f^+) < A_0 / 2$	1.875 Hz	OK	
$A_0 > 2$	$3.54 > 2$	OK	
$f_{\text{picco}}[A_{H/V}(f) \pm \sigma_A(f)] = f_0 \pm 5\%$	$ 0.00601 < 0.05$	OK	
$\sigma_f < \varepsilon(f_0)$	$0.00657 < 0.10938$	OK	
$\sigma_A(f_0) < \theta(f_0)$	$0.7276 < 1.78$	OK	

L_w	lunghezza della finestra
n_w	numero di finestre usate nell'analisi
$n_c = L_w n_w f_0$	numero di cicli significativi
f	frequenza attuale
f_0	frequenza del picco H/V
σ_f	deviazione standard della frequenza del picco H/V
$\varepsilon(f_0)$	valore di soglia per la condizione di stabilità $\sigma_f < \varepsilon(f_0)$
A_0	ampiezza della curva H/V alla frequenza f_0
$A_{H/V}(f)$	ampiezza della curva H/V alla frequenza f
f^-	frequenza tra $f_0/4$ e f_0 alla quale $A_{H/V}(f^-) < A_0/2$
f^+	frequenza tra f_0 e $4f_0$ alla quale $A_{H/V}(f^+) < A_0/2$
$\sigma_A(f)$	deviazione standard di $A_{H/V}(f)$, $\sigma_A(f)$ è il fattore per il quale la curva $A_{H/V}(f)$ media deve essere moltiplicata o divisa
$\sigma_{\log H/V}(f)$	deviazione standard della funzione $\log A_{H/V}(f)$
$\theta(f_0)$	valore di soglia per la condizione di stabilità $\sigma_A(f) < \theta(f_0)$

Valori di soglia per σ_f e $\sigma_A(f_0)$

Intervallo di freq. [Hz]	< 0.2	0.2 – 0.5	0.5 – 1.0	1.0 – 2.0	> 2.0
$\varepsilon(f_0)$ [Hz]	$0.25 f_0$	$0.2 f_0$	$0.15 f_0$	$0.10 f_0$	$0.05 f_0$
$\theta(f_0)$ per $\sigma_A(f_0)$	3.0	2.5	2.0	1.78	1.58
$\log \theta(f_0)$ per $\sigma_{\log H/V}(f_0)$	0.48	0.40	0.30	0.25	0.20

HVSR_30

Strumento: TRZ-0195/01-12

Inizio registrazione: 18/02/13 14:59:23 Fine registrazione: 18/02/13 15:19:23

Nomi canali: NORTH SOUTH; EAST WEST ; UP DOWN

Dato GPS non disponibile

Condizioni Meteo: sereno, vento debole

Superficie: terreno naturale

Durata registrazione: 0h20'00".

Analizzato 92% tracciato (selezione manuale)

Freq. campionamento: 128 Hz

Lunghezza finestre: 20 s

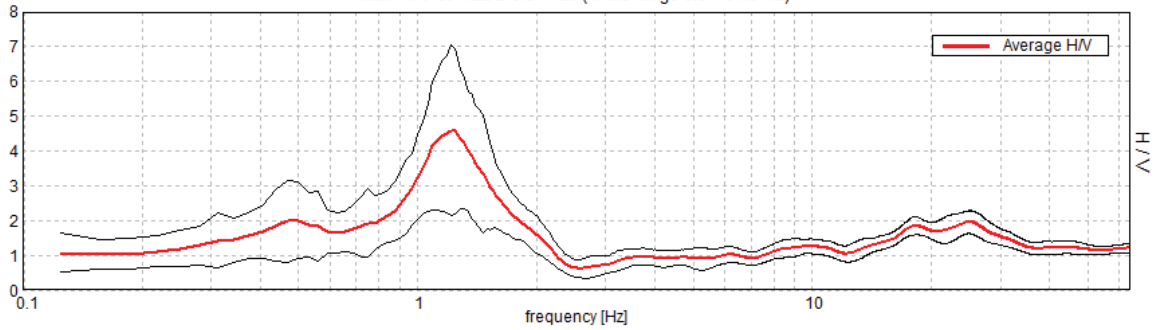
Tipo di lisciamento: Triangular window

Lisciamento: 10%

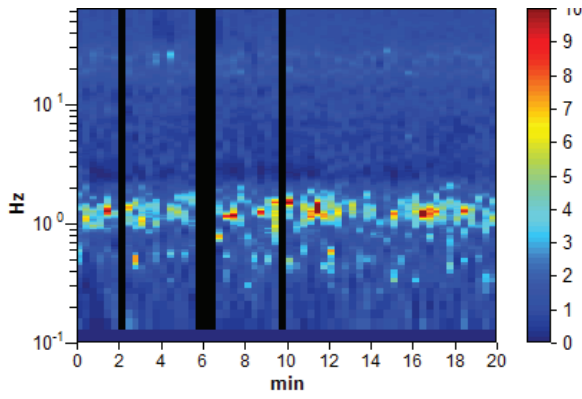


RAPPORTO SPETTRALE ORIZZONTALE SU VERTICALE

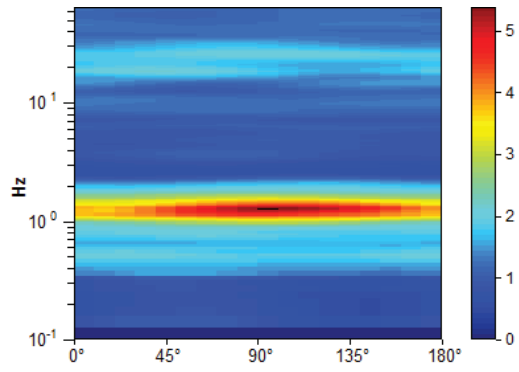
Max. H/V at 1.22 ± 0.01 Hz. (In the range 0.0 - 64.0 Hz).



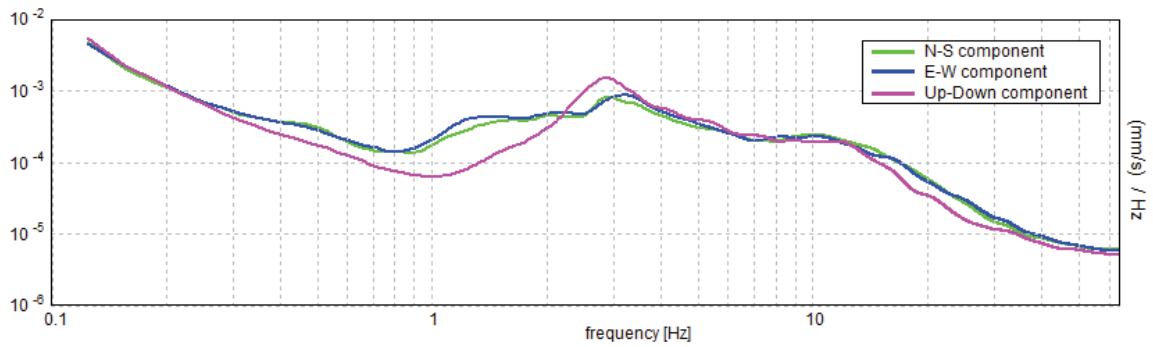
SERIE TEMPORALE H/V



DIREZIONALITA' H/V



SPETTRI DELLE SINGOLE COMPONENTI



Secondo le linee guida SESAME, 2004

Picco H/V a 1.22 ± 0.01 Hz (nell'intervallo 0.0 - 64.0 Hz).

Criteri per una curva H/V affidabile

[Tutti 3 dovrebbero risultare soddisfatti]

$f_0 > 10 / L_w$	$1.22 > 0.50$	OK	
$n_c(f_0) > 200$	$1340.6 > 200$	OK	
$\sigma_A(f) < 2$ per $0.5f_0 < f < 2f_0$ se $f_0 > 0.5\text{Hz}$ $\sigma_A(f) < 3$ per $0.5f_0 < f < 2f_0$ se $f_0 < 0.5\text{Hz}$	Superato 5 volte su 60		NO

Criteri per un picco H/V chiaro

[Almeno 5 su 6 dovrebbero essere soddisfatti]

Esiste f^- in $[f_0/4, f_0]$ $A_{H/V}(f^-) < A_0 / 2$	0.875 Hz	OK	
Esiste f^+ in $[f_0, 4f_0]$ $A_{H/V}(f^+) < A_0 / 2$	1.719 Hz	OK	
$A_0 > 2$	$4.60 > 2$	OK	
$f_{\text{picco}}[A_{H/V}(f) \pm \sigma_A(f)] = f_0 \pm 5\%$	$ 0.00445 < 0.05$	OK	
$\sigma_f < \varepsilon(f_0)$	$0.00542 < 0.12188$	OK	
$\sigma_A(f_0) < \theta(f_0)$	$1.2048 < 1.78$	OK	

L_w	lunghezza della finestra
n_w	numero di finestre usate nell'analisi
$n_c = L_w n_w f_0$	numero di cicli significativi
f	frequenza attuale
f_0	frequenza del picco H/V
σ_f	deviazione standard della frequenza del picco H/V
$\varepsilon(f_0)$	valore di soglia per la condizione di stabilità $\sigma_f < \varepsilon(f_0)$
A_0	ampiezza della curva H/V alla frequenza f_0
$A_{H/V}(f)$	ampiezza della curva H/V alla frequenza f
f^-	frequenza tra $f_0/4$ e f_0 alla quale $A_{H/V}(f^-) < A_0/2$
f^+	frequenza tra f_0 e $4f_0$ alla quale $A_{H/V}(f^+) < A_0/2$
$\sigma_A(f)$	deviazione standard di $A_{H/V}(f)$, $\sigma_A(f)$ è il fattore per il quale la curva $A_{H/V}(f)$ media deve essere moltiplicata o divisa
$\sigma_{\log H/V}(f)$	deviazione standard della funzione $\log A_{H/V}(f)$
$\theta(f_0)$	valore di soglia per la condizione di stabilità $\sigma_A(f) < \theta(f_0)$

Valori di soglia per σ_f e $\sigma_A(f_0)$

Intervallo di freq. [Hz]	< 0.2	0.2 - 0.5	0.5 - 1.0	1.0 - 2.0	> 2.0
$\varepsilon(f_0)$ [Hz]	$0.25 f_0$	$0.2 f_0$	$0.15 f_0$	$0.10 f_0$	$0.05 f_0$
$\theta(f_0)$ per $\sigma_A(f_0)$	3.0	2.5	2.0	1.78	1.58
$\log \theta(f_0)$ per $\sigma_{\log H/V}(f_0)$	0.48	0.40	0.30	0.25	0.20

HVSR_31

Strumento: TRZ-0195/01-12

Inizio registrazione: 18/02/13 16:22:15 Fine registrazione: 18/02/13 16:42:15

Nomi canali: NORTH SOUTH; EAST WEST ; UP DOWN

Dato GPS non disponibile

Condizioni Meteo: sereno, vento debole

Superficie: terreno naturale

Durata registrazione: 0h20'00".

Analisi effettuata sull'intera traccia.

Freq. campionamento: 128 Hz

Lunghezza finestre: 20 s

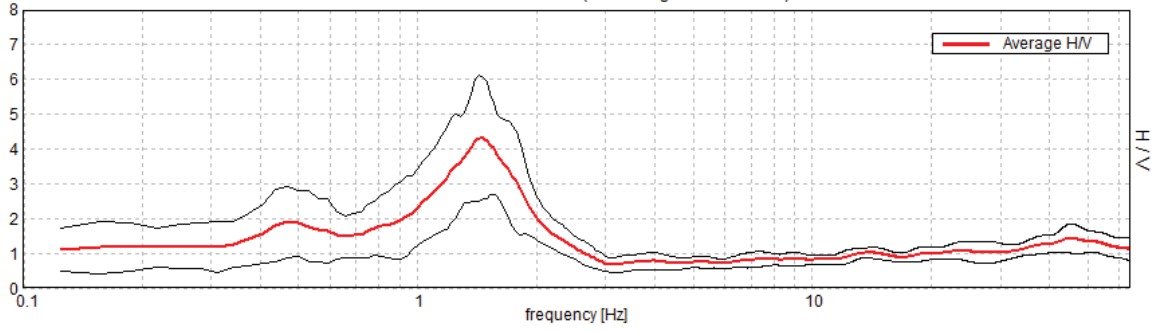
Tipo di lisciamento: Triangular window

Lisciamento: 10%

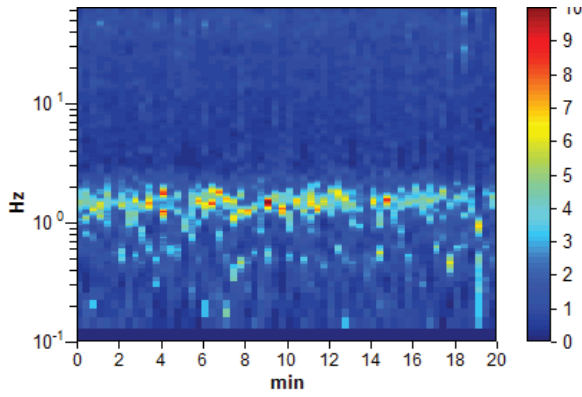


RAPPORTO SPETTRALE ORIZZONTALE SU VERTICALE

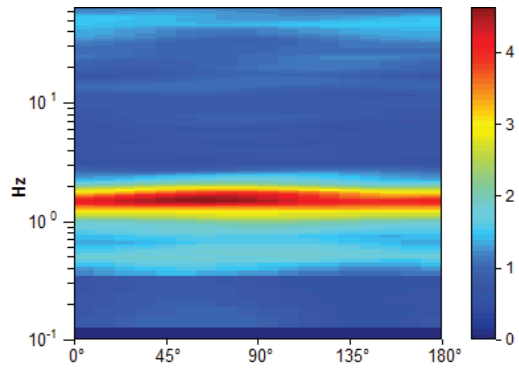
Max. H/V at 1.44 ± 0.01 Hz. (In the range 0.0 - 64.0 Hz).



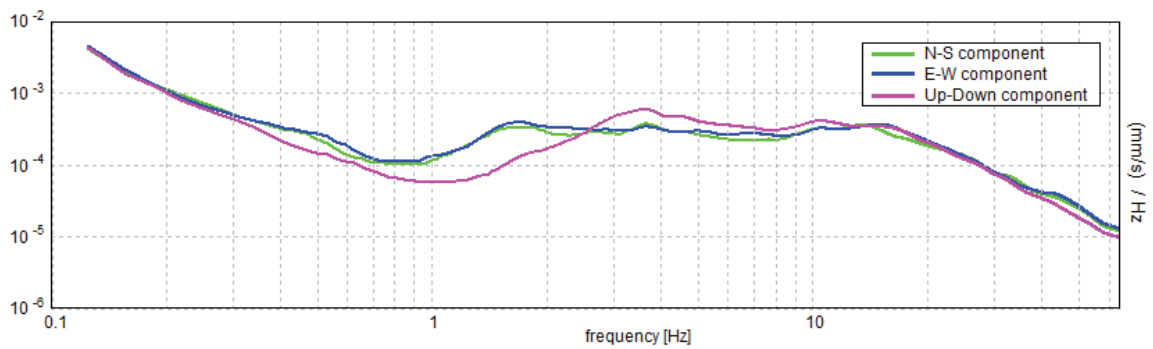
SERIE TEMPORALE H/V



DIREZIONALITA' H/V



SPETTRI DELLE SINGOLE COMPONENTI



Secondo le linee guida SESAME, 2004

Picco H/V a 1.44 ± 0.01 Hz (nell'intervallo 0.0 - 64.0 Hz).

Criteri per una curva H/V affidabile

[Tutti 3 dovrebbero risultare soddisfatti]

$f_0 > 10 / L_w$	$1.44 > 0.50$	OK	
$n_c(f_0) > 200$	$1725.0 > 200$	OK	
$\sigma_A(f) < 2$ per $0.5f_0 < f < 2f_0$ se $f_0 > 0.5\text{Hz}$ $\sigma_A(f) < 3$ per $0.5f_0 < f < 2f_0$ se $f_0 < 0.5\text{Hz}$	Superato 0 volte su 70	OK	

Criteri per un picco H/V chiaro

[Almeno 5 su 6 dovrebbero essere soddisfatti]

Esiste f^- in $[f_0/4, f_0]$ $A_{H/V}(f^-) < A_0 / 2$	0.938 Hz	OK	
Esiste f^+ in $[f_0, 4f_0]$ $A_{H/V}(f^+) < A_0 / 2$	2.0 Hz	OK	
$A_0 > 2$	$4.31 > 2$	OK	
$f_{\text{picco}}[A_{H/V}(f) \pm \sigma_A(f)] = f_0 \pm 5\%$	$ 0.00208 < 0.05$	OK	
$\sigma_f < \varepsilon(f_0)$	$0.00299 < 0.14375$	OK	
$\sigma_A(f_0) < \theta(f_0)$	$0.8985 < 1.78$	OK	

L_w	lunghezza della finestra
n_w	numero di finestre usate nell'analisi
$n_c = L_w n_w f_0$	numero di cicli significativi
f	frequenza attuale
f_0	frequenza del picco H/V
σ_f	deviazione standard della frequenza del picco H/V
$\varepsilon(f_0)$	valore di soglia per la condizione di stabilità $\sigma_f < \varepsilon(f_0)$
A_0	ampiezza della curva H/V alla frequenza f_0
$A_{H/V}(f)$	ampiezza della curva H/V alla frequenza f
f^-	frequenza tra $f_0/4$ e f_0 alla quale $A_{H/V}(f^-) < A_0/2$
f^+	frequenza tra f_0 e $4f_0$ alla quale $A_{H/V}(f^+) < A_0/2$
$\sigma_A(f)$	deviazione standard di $A_{H/V}(f)$, $\sigma_A(f)$ è il fattore per il quale la curva $A_{H/V}(f)$ media deve essere moltiplicata o divisa
$\sigma_{\log H/V}(f)$	deviazione standard della funzione $\log A_{H/V}(f)$
$\theta(f_0)$	valore di soglia per la condizione di stabilità $\sigma_A(f) < \theta(f_0)$

Valori di soglia per σ_f e $\sigma_A(f_0)$

Intervallo di freq. [Hz]	< 0.2	0.2 - 0.5	0.5 - 1.0	1.0 - 2.0	> 2.0
$\varepsilon(f_0)$ [Hz]	$0.25 f_0$	$0.2 f_0$	$0.15 f_0$	$0.10 f_0$	$0.05 f_0$
$\theta(f_0)$ per $\sigma_A(f_0)$	3.0	2.5	2.0	1.78	1.58
$\log \theta(f_0)$ per $\sigma_{\log H/V}(f_0)$	0.48	0.40	0.30	0.25	0.20

HVSR_32

Strumento: TRZ-0195/01-12

Inizio registrazione: 20/02/13 11:08:50 Fine registrazione: 20/02/13 11:28:50

Nomi canali: NORTH SOUTH; EAST WEST ; UP DOWN

Dato GPS non disponibile

Condizioni Meteo: coperto, vento assente

Superficie: terreno naturale

Durata registrazione: 0h20'00".

Analisi effettuata sull'intera traccia.

Freq. campionamento: 128 Hz

Lunghezza finestre: 20 s

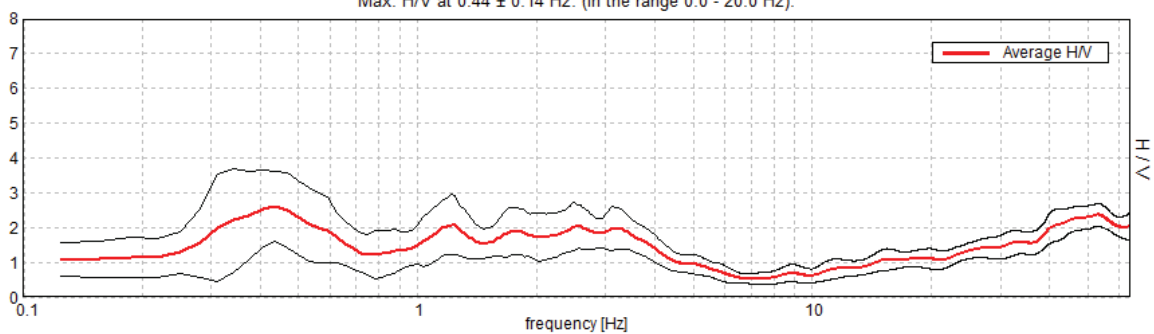
Tipo di lisciamento: Triangular window

Lisciamento: 10%

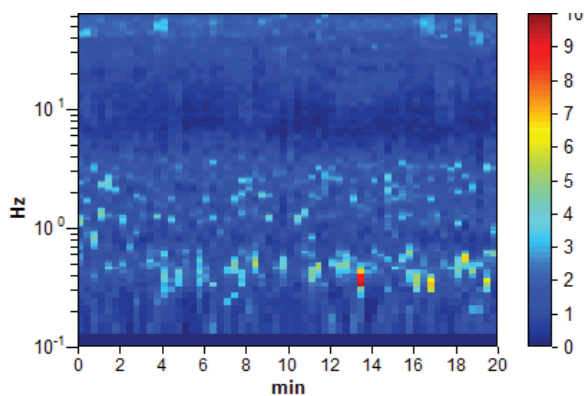


RAPPORTO SPETTRALE ORIZZONTALE SU VERTICALE

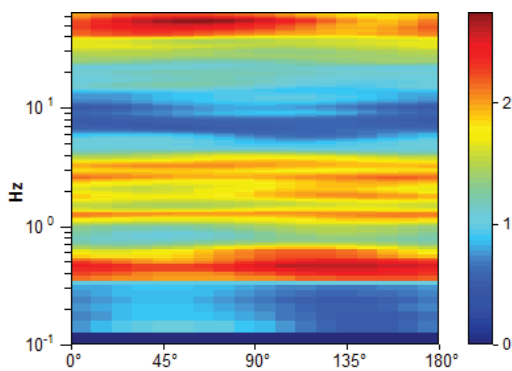
Max. H/V at 0.44 ± 0.14 Hz. (In the range 0.0 - 20.0 Hz).



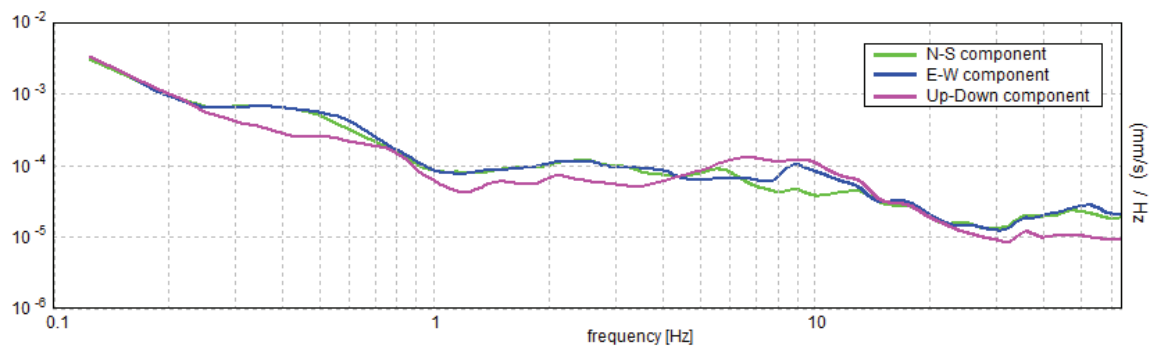
SERIE TEMPORALE H/V



DIREZIONALITA' H/V



SPETTRI DELLE SINGOLE COMPONENTI



Secondo le linee guida SESAME, 2004

Picco H/V a 0.44 ± 0.14 Hz (nell'intervallo 0.0 - 20.0 Hz).

Criteri per una curva H/V affidabile

[Tutti 3 dovrebbero risultare soddisfatti]

$f_0 > 10 / L_w$	$0.44 > 0.50$		NO
$n_c(f_0) > 200$	$525.0 > 200$	OK	
$\sigma_A(f) < 2$ per $0.5f_0 < f < 2f_0$ se $f_0 > 0.5\text{Hz}$ $\sigma_A(f) < 3$ per $0.5f_0 < f < 2f_0$ se $f_0 < 0.5\text{Hz}$	Superato 0 volte su 22	OK	

Criteri per un picco H/V chiaro

[Almeno 5 su 6 dovrebbero essere soddisfatti]

Esiste f^- in $[f_0/4, f_0]$ $A_{H/V}(f^-) < A_0 / 2$	0.25 Hz	OK	
Esiste f^+ in $[f_0, 4f_0]$ $A_{H/V}(f^+) < A_0 / 2$	0.719 Hz	OK	
$A_0 > 2$	$2.62 > 2$	OK	
$f_{\text{picco}}[A_{H/V}(f) \pm \sigma_A(f)] = f_0 \pm 5\%$	$ 0.15763 < 0.05$		NO
$\sigma_f < \varepsilon(f_0)$	$0.06896 < 0.0875$	OK	
$\sigma_A(f_0) < \theta(f_0)$	$0.4995 < 2.5$	OK	

L_w	lunghezza della finestra
n_w	numero di finestre usate nell'analisi
$n_c = L_w n_w f_0$	numero di cicli significativi
f	frequenza attuale
f_0	frequenza del picco H/V
σ_f	deviazione standard della frequenza del picco H/V
$\varepsilon(f_0)$	valore di soglia per la condizione di stabilità $\sigma_f < \varepsilon(f_0)$
A_0	ampiezza della curva H/V alla frequenza f_0
$A_{H/V}(f)$	ampiezza della curva H/V alla frequenza f
f^-	frequenza tra $f_0/4$ e f_0 alla quale $A_{H/V}(f^-) < A_0/2$
f^+	frequenza tra f_0 e $4f_0$ alla quale $A_{H/V}(f^+) < A_0/2$
$\sigma_A(f)$	deviazione standard di $A_{H/V}(f)$, $\sigma_A(f)$ è il fattore per il quale la curva $A_{H/V}(f)$ media deve essere moltiplicata o divisa
$\sigma_{\log H/V}(f)$	deviazione standard della funzione $\log A_{H/V}(f)$
$\theta(f_0)$	valore di soglia per la condizione di stabilità $\sigma_A(f) < \theta(f_0)$

Valori di soglia per σ_f e $\sigma_A(f_0)$

Intervallo di freq. [Hz]	< 0.2	0.2 – 0.5	0.5 – 1.0	1.0 – 2.0	> 2.0
$\varepsilon(f_0)$ [Hz]	$0.25 f_0$	$0.2 f_0$	$0.15 f_0$	$0.10 f_0$	$0.05 f_0$
$\theta(f_0)$ per $\sigma_A(f_0)$	3.0	2.5	2.0	1.78	1.58
$\log \theta(f_0)$ per $\sigma_{\log H/V}(f_0)$	0.48	0.40	0.30	0.25	0.20

HVSR_33

Strumento: TRZ-0195/01-12

Inizio registrazione: 20/02/13 11:33:33 Fine registrazione: 20/02/13 11:53:33

Nomi canali: NORTH SOUTH; EAST WEST ; UP DOWN

Dato GPS non disponibile

Condizioni Meteo: coperto, vento assente

Superficie: terreno naturale

Durata registrazione: 0h20'00".

Analisi effettuata sull'intera traccia.

Freq. campionamento: 128 Hz

Lunghezza finestre: 20 s

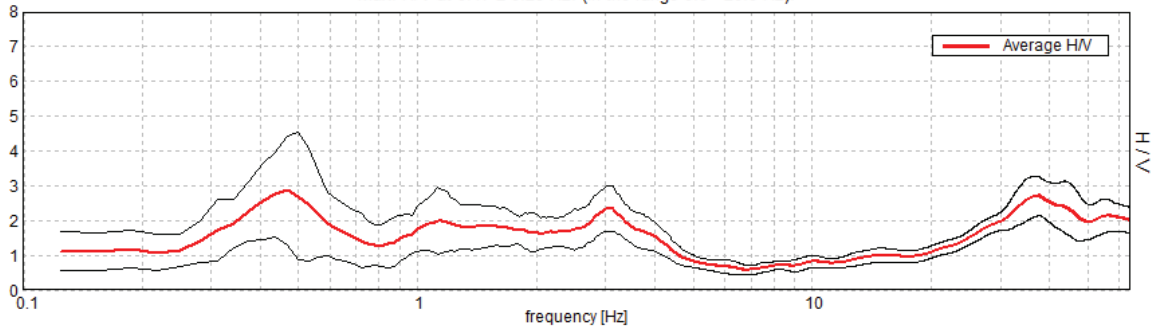
Tipo di lisciamento: Triangular window

Lisciamento: 10%

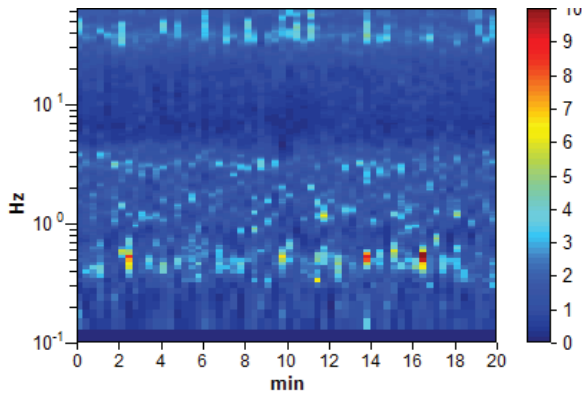


RAPPORTO SPETTRALE ORIZZONTALE SU VERTICALE

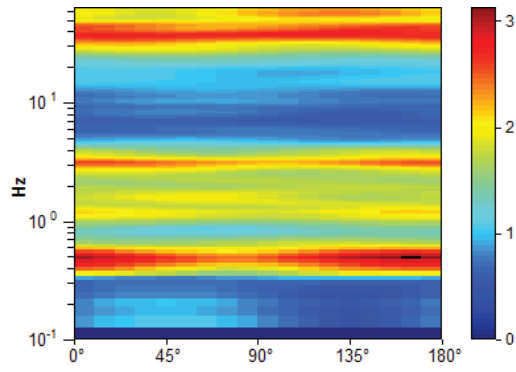
Max. H/V at 0.47 ± 0.28 Hz. (In the range 0.0 - 20.0 Hz).



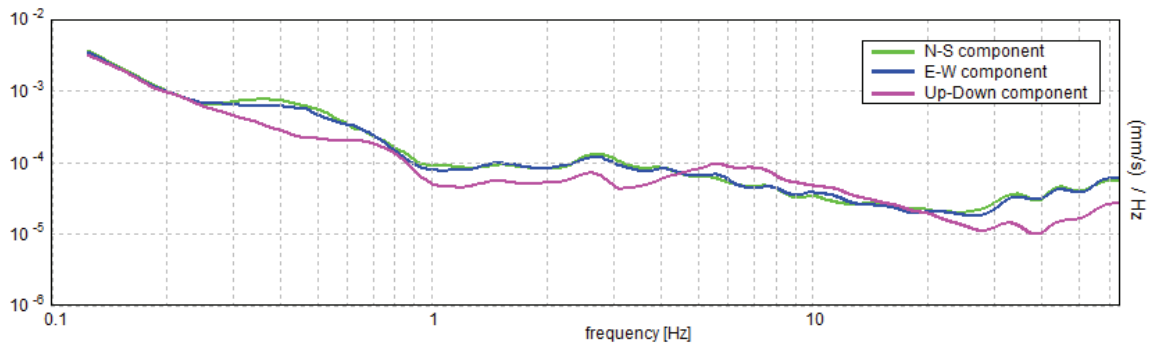
SERIE TEMPORALE H/V



DIREZIONALITA' H/V



SPETTRI DELLE SINGOLE COMPONENTI



Secondo le linee guida SESAME, 2004

Picco H/V a 0.47 ± 0.28 Hz (nell'intervallo 0.0 - 20.0 Hz).

Criteri per una curva H/V affidabile

[Tutti 3 dovrebbero risultare soddisfatti]

$f_0 > 10 / L_w$	$0.47 > 0.50$		NO
$n_c(f_0) > 200$	$562.5 > 200$	OK	
$\sigma_A(f) < 2$ per $0.5f_0 < f < 2f_0$ se $f_0 > 0.5\text{Hz}$ $\sigma_A(f) < 3$ per $0.5f_0 < f < 2f_0$ se $f_0 < 0.5\text{Hz}$	Superato 0 volte su 24	OK	

Criteri per un picco H/V chiaro

[Almeno 5 su 6 dovrebbero essere soddisfatti]

Esiste f^- in $[f_0/4, f_0]$ $A_{H/V}(f^-) < A_0 / 2$	0.281 Hz	OK	
Esiste f^+ in $[f_0, 4f_0]$ $A_{H/V}(f^+) < A_0 / 2$	0.719 Hz	OK	
$A_0 > 2$	$2.87 > 2$	OK	
$f_{\text{picco}}[A_{H/V}(f) \pm \sigma_A(f)] = f_0 \pm 5\%$	$ 0.29081 < 0.05$		NO
$\sigma_f < \varepsilon(f_0)$	$0.13632 < 0.09375$		NO
$\sigma_A(f_0) < \theta(f_0)$	$0.7751 < 2.5$	OK	

L_w	lunghezza della finestra
n_w	numero di finestre usate nell'analisi
$n_c = L_w n_w f_0$	numero di cicli significativi
f	frequenza attuale
f_0	frequenza del picco H/V
σ_f	deviazione standard della frequenza del picco H/V
$\varepsilon(f_0)$	valore di soglia per la condizione di stabilità $\sigma_f < \varepsilon(f_0)$
A_0	ampiezza della curva H/V alla frequenza f_0
$A_{H/V}(f)$	ampiezza della curva H/V alla frequenza f
f^-	frequenza tra $f_0/4$ e f_0 alla quale $A_{H/V}(f^-) < A_0/2$
f^+	frequenza tra f_0 e $4f_0$ alla quale $A_{H/V}(f^+) < A_0/2$
$\sigma_A(f)$	deviazione standard di $A_{H/V}(f)$, $\sigma_A(f)$ è il fattore per il quale la curva $A_{H/V}(f)$ media deve essere moltiplicata o divisa
$\sigma_{\log H/V}(f)$	deviazione standard della funzione $\log A_{H/V}(f)$
$\theta(f_0)$	valore di soglia per la condizione di stabilità $\sigma_A(f) < \theta(f_0)$

Valori di soglia per σ_f e $\sigma_A(f_0)$

Intervallo di freq. [Hz]	< 0.2	0.2 - 0.5	0.5 - 1.0	1.0 - 2.0	> 2.0
$\varepsilon(f_0)$ [Hz]	$0.25 f_0$	$0.2 f_0$	$0.15 f_0$	$0.10 f_0$	$0.05 f_0$
$\theta(f_0)$ per $\sigma_A(f_0)$	3.0	2.5	2.0	1.78	1.58
$\log \theta(f_0)$ per $\sigma_{\log H/V}(f_0)$	0.48	0.40	0.30	0.25	0.20

HVSR_34

Strumento: TRZ-0195/01-12

Inizio registrazione: 18/02/13 17:30:16 Fine registrazione: 18/02/13 17:50:16

Nomi canali: NORTH SOUTH; EAST WEST ; UP DOWN

Dato GPS non disponibile

Condizioni Meteo: sereno, vento assente

Superficie: terreno naturale

Durata registrazione: 0h20'00".

Analizzato 87% tracciato (selezione manuale)

Freq. campionamento: 128 Hz

Lunghezza finestre: 20 s

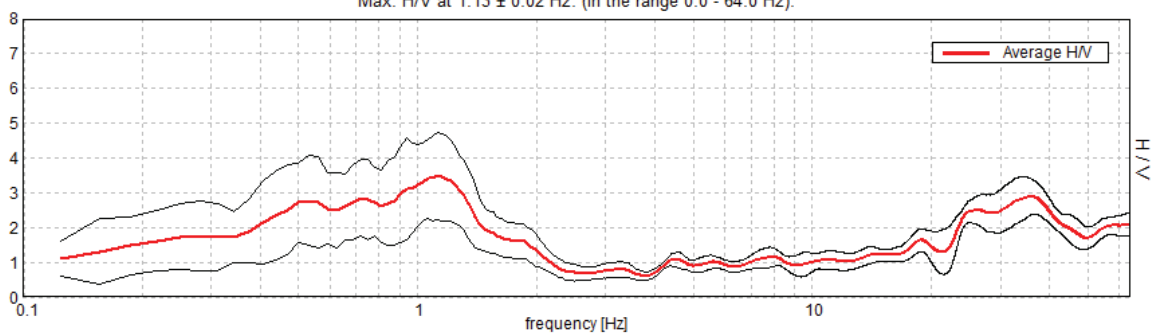
Tipo di lisciamento: Triangular window

Lisciamento: 10%

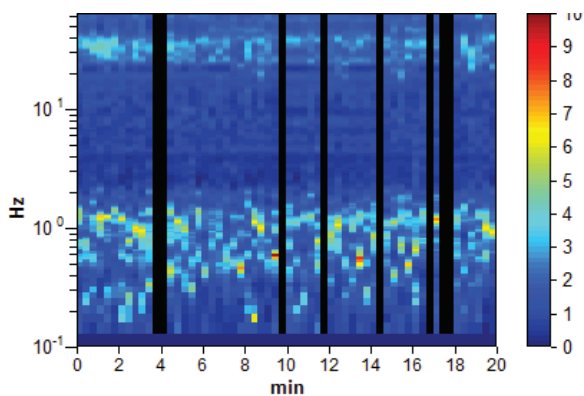


RAPPORTO SPETTRALE ORIZZONTALE SU VERTICALE

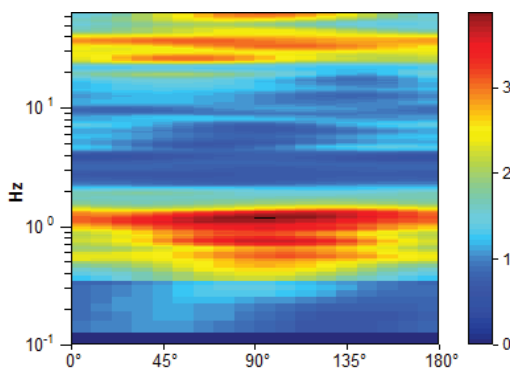
Max. H/V at 1.13 ± 0.02 Hz. (In the range 0.0 - 64.0 Hz).



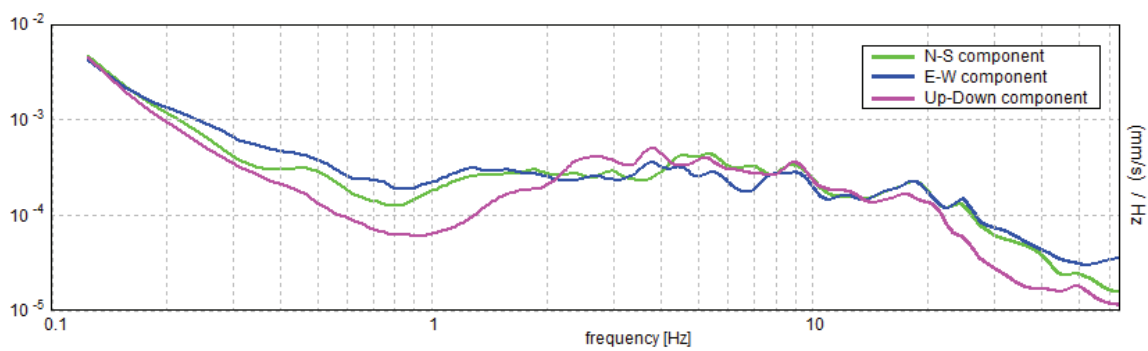
SERIE TEMPORALE H/V



DIREZIONALITA' H/V



SPETTRI DELLE SINGOLE COMPONENTI



Secondo le linee guida SESAME, 2004

Picco H/V a 1.13 ± 0.02 Hz (nell'intervallo 0.0 - 64.0 Hz).

Criteri per una curva H/V affidabile

[Tutti 3 dovrebbero risultare soddisfatti]

$f_0 > 10 / L_w$	$1.13 > 0.50$	OK	
$n_c(f_0) > 200$	$1170.0 > 200$	OK	
$\sigma_A(f) < 2$ per $0.5f_0 < f < 2f_0$ se $f_0 > 0.5\text{Hz}$ $\sigma_A(f) < 3$ per $0.5f_0 < f < 2f_0$ se $f_0 < 0.5\text{Hz}$	Superato 0 volte su 55	OK	

Criteri per un picco H/V chiaro

[Almeno 5 su 6 dovrebbero essere soddisfatti]

Esiste f^- in $[f_0/4, f_0]$ $A_{H/V}(f^-) < A_0 / 2$	0.344 Hz	OK	
Esiste f^+ in $[f_0, 4f_0]$ $A_{H/V}(f^+) < A_0 / 2$	1.625 Hz	OK	
$A_0 > 2$	$3.48 > 2$	OK	
$f_{\text{picco}}[A_{H/V}(f) \pm \sigma_A(f)] = f_0 \pm 5\%$	$ 0.00985 < 0.05$	OK	
$\sigma_f < \varepsilon(f_0)$	$0.01108 < 0.1125$	OK	
$\sigma_A(f_0) < \theta(f_0)$	$0.6239 < 1.78$	OK	

L_w	lunghezza della finestra
n_w	numero di finestre usate nell'analisi
$n_c = L_w n_w f_0$	numero di cicli significativi
f	frequenza attuale
f_0	frequenza del picco H/V
σ_f	deviazione standard della frequenza del picco H/V
$\varepsilon(f_0)$	valore di soglia per la condizione di stabilità $\sigma_f < \varepsilon(f_0)$
A_0	ampiezza della curva H/V alla frequenza f_0
$A_{H/V}(f)$	ampiezza della curva H/V alla frequenza f
f^-	frequenza tra $f_0/4$ e f_0 alla quale $A_{H/V}(f^-) < A_0/2$
f^+	frequenza tra f_0 e $4f_0$ alla quale $A_{H/V}(f^+) < A_0/2$
$\sigma_A(f)$	deviazione standard di $A_{H/V}(f)$, $\sigma_A(f)$ è il fattore per il quale la curva $A_{H/V}(f)$ media deve essere moltiplicata o divisa
$\sigma_{\log H/V}(f)$	deviazione standard della funzione $\log A_{H/V}(f)$
$\theta(f_0)$	valore di soglia per la condizione di stabilità $\sigma_A(f) < \theta(f_0)$

Valori di soglia per σ_f e $\sigma_A(f_0)$

Intervallo di freq. [Hz]	< 0.2	0.2 – 0.5	0.5 – 1.0	1.0 – 2.0	> 2.0
$\varepsilon(f_0)$ [Hz]	$0.25 f_0$	$0.2 f_0$	$0.15 f_0$	$0.10 f_0$	$0.05 f_0$
$\theta(f_0)$ per $\sigma_A(f_0)$	3.0	2.5	2.0	1.78	1.58
$\log \theta(f_0)$ per $\sigma_{\log H/V}(f_0)$	0.48	0.40	0.30	0.25	0.20

HVSR_35

Strumento: TRZ-0195/01-12

Inizio registrazione: 18/02/13 11:11:52 Fine registrazione: 18/02/13 11:31:52

Nomi canali: NORTH SOUTH; EAST WEST ; UP DOWN

Dato GPS non disponibile

Condizioni Meteo: sereno, vento debole

Superficie: terreno naturale

Durata registrazione: 0h20'00".

Analisi effettuata sull'intera traccia.

Freq. campionamento: 128 Hz

Lunghezza finestre: 20 s

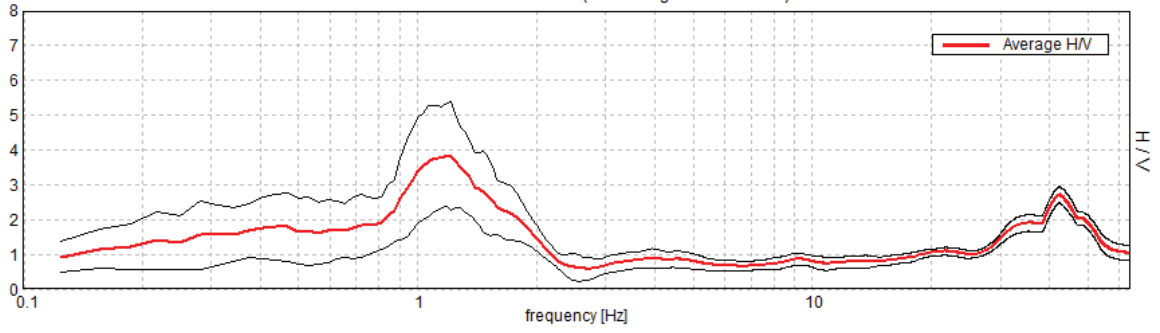
Tipo di lisciamento: Triangular window

Lisciamento: 10%

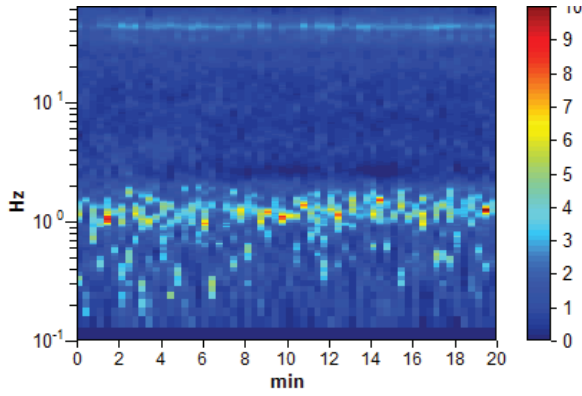


RAPPORTO SPETTRALE ORIZZONTALE SU VERTICALE

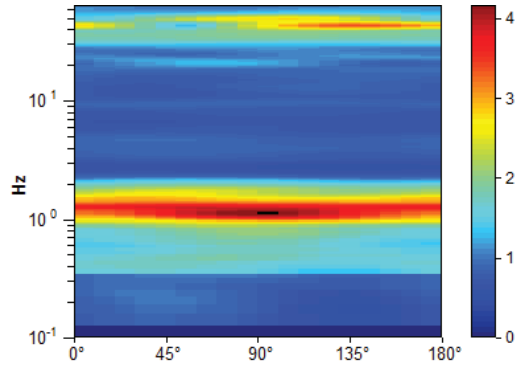
Max. H/V at 1.19 ± 0.03 Hz. (In the range 0.0 - 64.0 Hz).



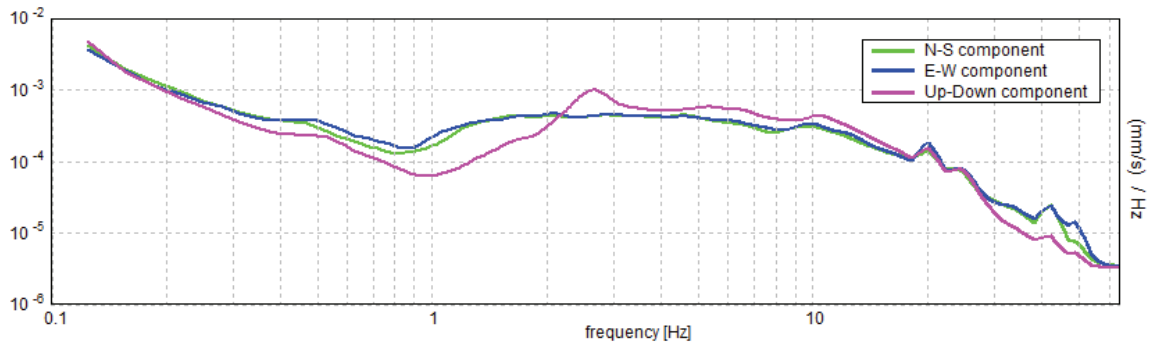
SERIE TEMPORALE H/V



DIREZIONALITA' H/V



SPETTRI DELLE SINGOLE COMPONENTI



Secondo le linee guida SESAME, 2004

Picco H/V a 1.19 ± 0.03 Hz (nell'intervallo 0.0 - 64.0 Hz).

Criteri per una curva H/V affidabile

[Tutti 3 dovrebbero risultare soddisfatti]

$f_0 > 10 / L_w$	$1.19 > 0.50$	OK	
$n_c(f_0) > 200$	$1425.0 > 200$	OK	
$\sigma_A(f) < 2$ per $0.5f_0 < f < 2f_0$ se $f_0 > 0.5\text{Hz}$ $\sigma_A(f) < 3$ per $0.5f_0 < f < 2f_0$ se $f_0 < 0.5\text{Hz}$	Superato 0 volte su 58	OK	

Criteri per un picco H/V chiaro

[Almeno 5 su 6 dovrebbero essere soddisfatti]

Esiste f^- in $[f_0/4, f_0]$ $A_{H/V}(f^-) < A_0 / 2$	0.813 Hz	OK	
Esiste f^+ in $[f_0, 4f_0]$ $A_{H/V}(f^+) < A_0 / 2$	1.844 Hz	OK	
$A_0 > 2$	$3.86 > 2$	OK	
$f_{\text{picco}}[A_{H/V}(f) \pm \sigma_A(f)] = f_0 \pm 5\%$	$ 0.01166 < 0.05$	OK	
$\sigma_f < \varepsilon(f_0)$	$0.01385 < 0.11875$	OK	
$\sigma_A(f_0) < \theta(f_0)$	$0.734 < 1.78$	OK	

L_w	lunghezza della finestra
n_w	numero di finestre usate nell'analisi
$n_c = L_w n_w f_0$	numero di cicli significativi
f	frequenza attuale
f_0	frequenza del picco H/V
σ_f	deviazione standard della frequenza del picco H/V
$\varepsilon(f_0)$	valore di soglia per la condizione di stabilità $\sigma_f < \varepsilon(f_0)$
A_0	ampiezza della curva H/V alla frequenza f_0
$A_{H/V}(f)$	ampiezza della curva H/V alla frequenza f
f^-	frequenza tra $f_0/4$ e f_0 alla quale $A_{H/V}(f^-) < A_0/2$
f^+	frequenza tra f_0 e $4f_0$ alla quale $A_{H/V}(f^+) < A_0/2$
$\sigma_A(f)$	deviazione standard di $A_{H/V}(f)$, $\sigma_A(f)$ è il fattore per il quale la curva $A_{H/V}(f)$ media deve essere moltiplicata o divisa
$\sigma_{\log H/V}(f)$	deviazione standard della funzione $\log A_{H/V}(f)$
$\theta(f_0)$	valore di soglia per la condizione di stabilità $\sigma_A(f) < \theta(f_0)$

Valori di soglia per σ_f e $\sigma_A(f_0)$

Intervallo di freq. [Hz]	< 0.2	0.2 – 0.5	0.5 – 1.0	1.0 – 2.0	> 2.0
$\varepsilon(f_0)$ [Hz]	$0.25 f_0$	$0.2 f_0$	$0.15 f_0$	$0.10 f_0$	$0.05 f_0$
$\theta(f_0)$ per $\sigma_A(f_0)$	3.0	2.5	2.0	1.78	1.58
$\log \theta(f_0)$ per $\sigma_{\log H/V}(f_0)$	0.48	0.40	0.30	0.25	0.20

ALLEGATO 4B

***INDAGINI SISMICHE PUNTUALI
REPERITE PRESSO L'ARCHIVIO COMUNALE
(TROMOMETRIE 36-42 – DOWN HOLE 1-6)***

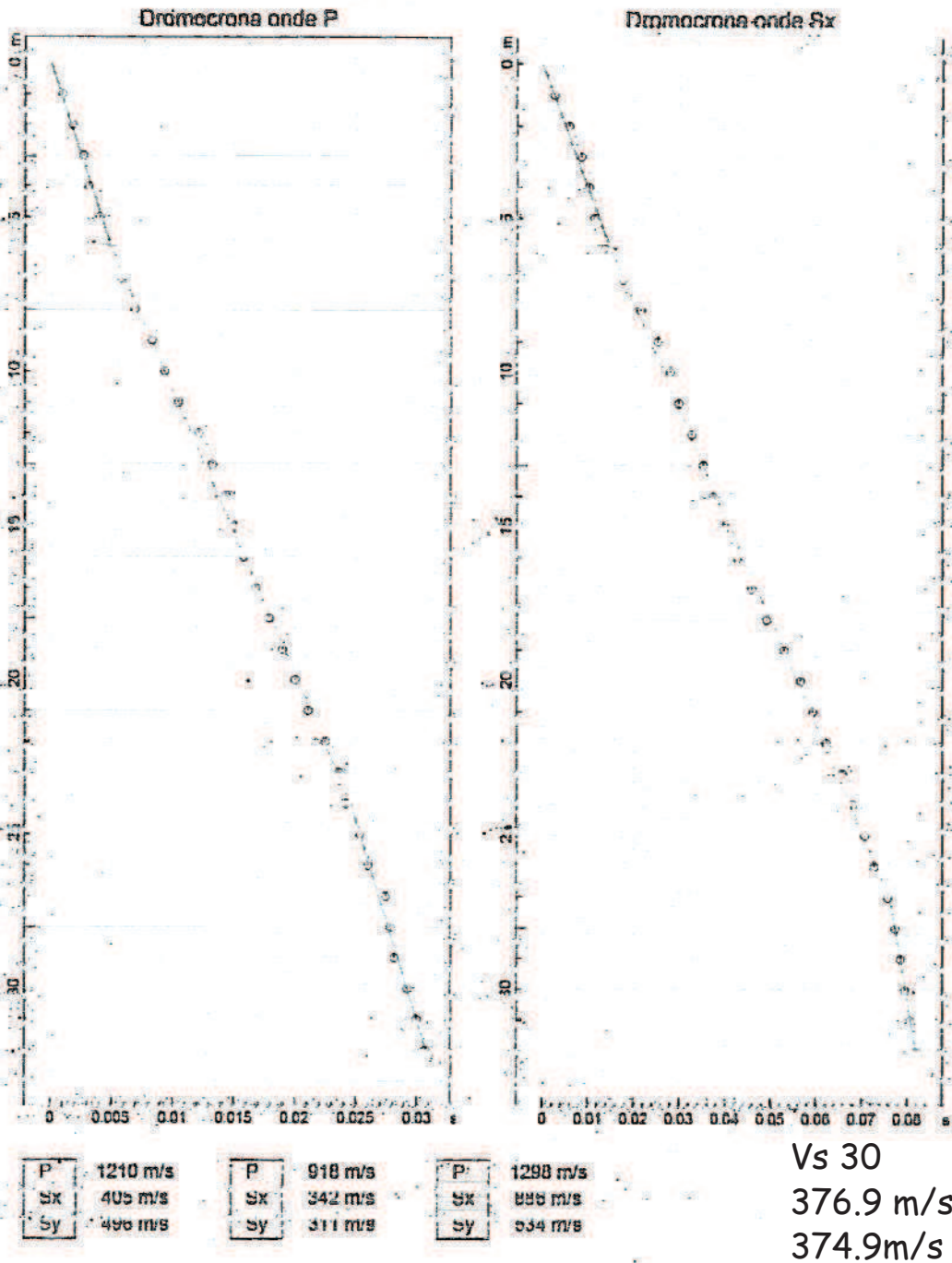


Fig. 7a - Dromocrona delle onde P e delle onde Sx.

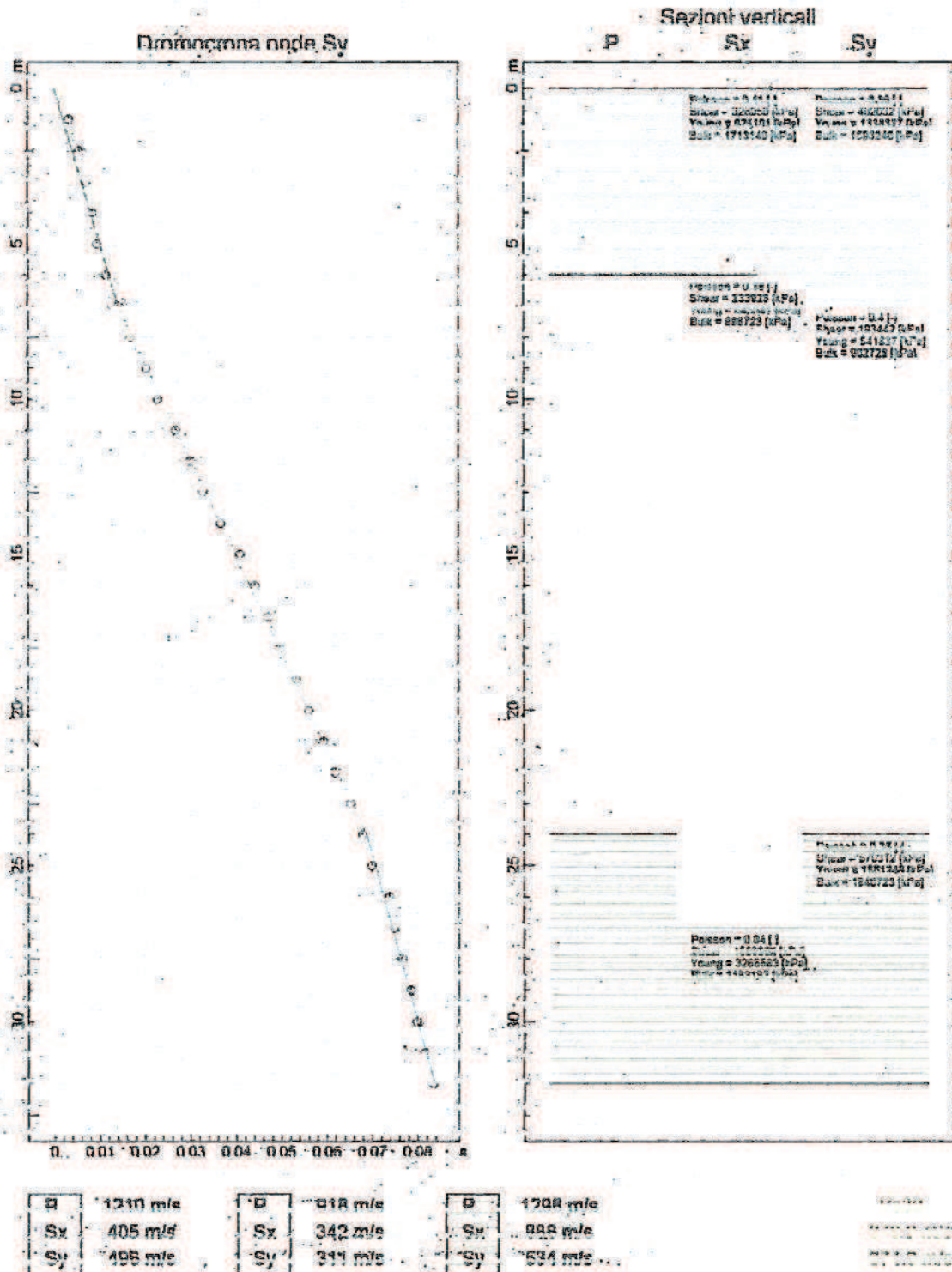
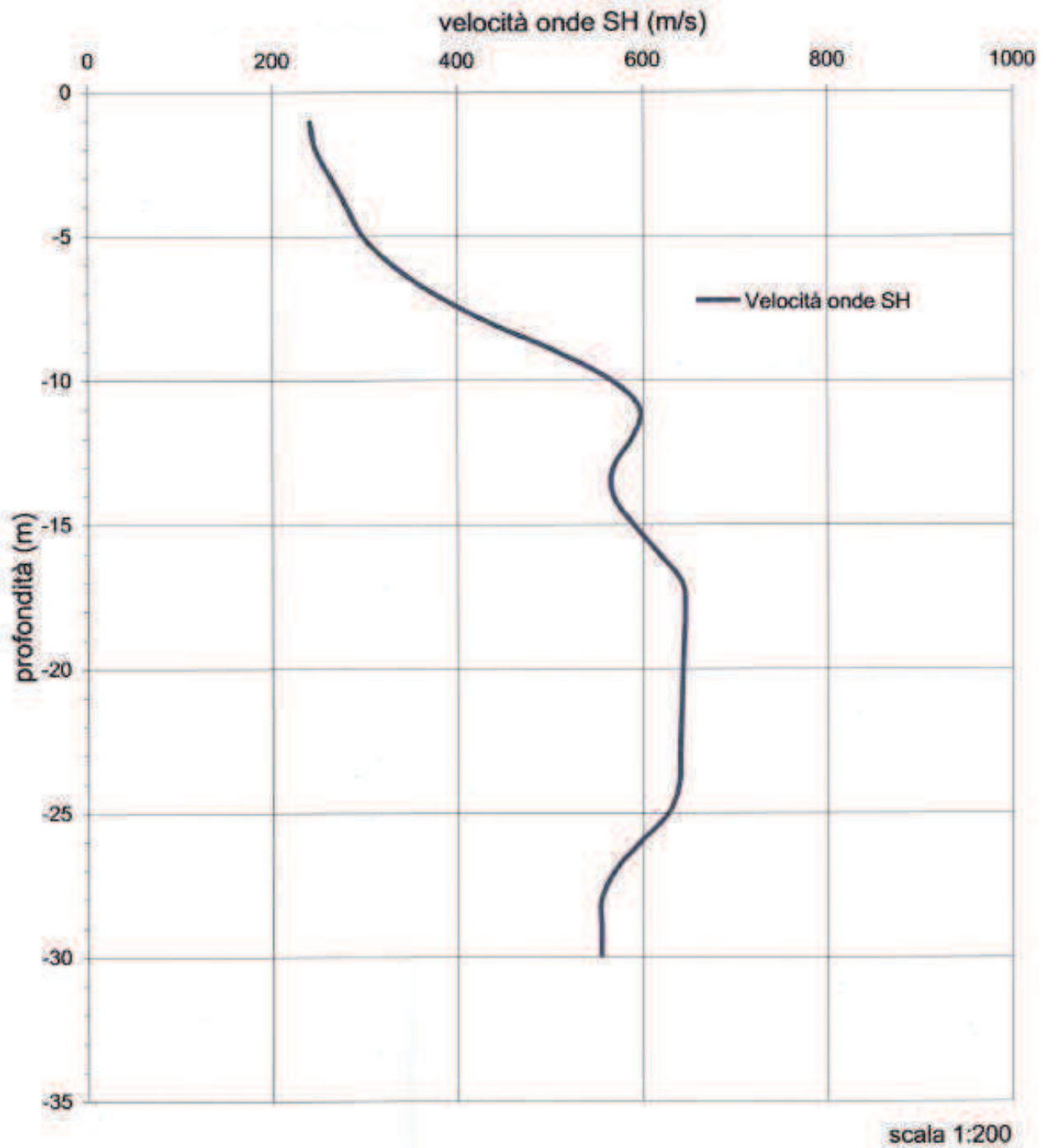


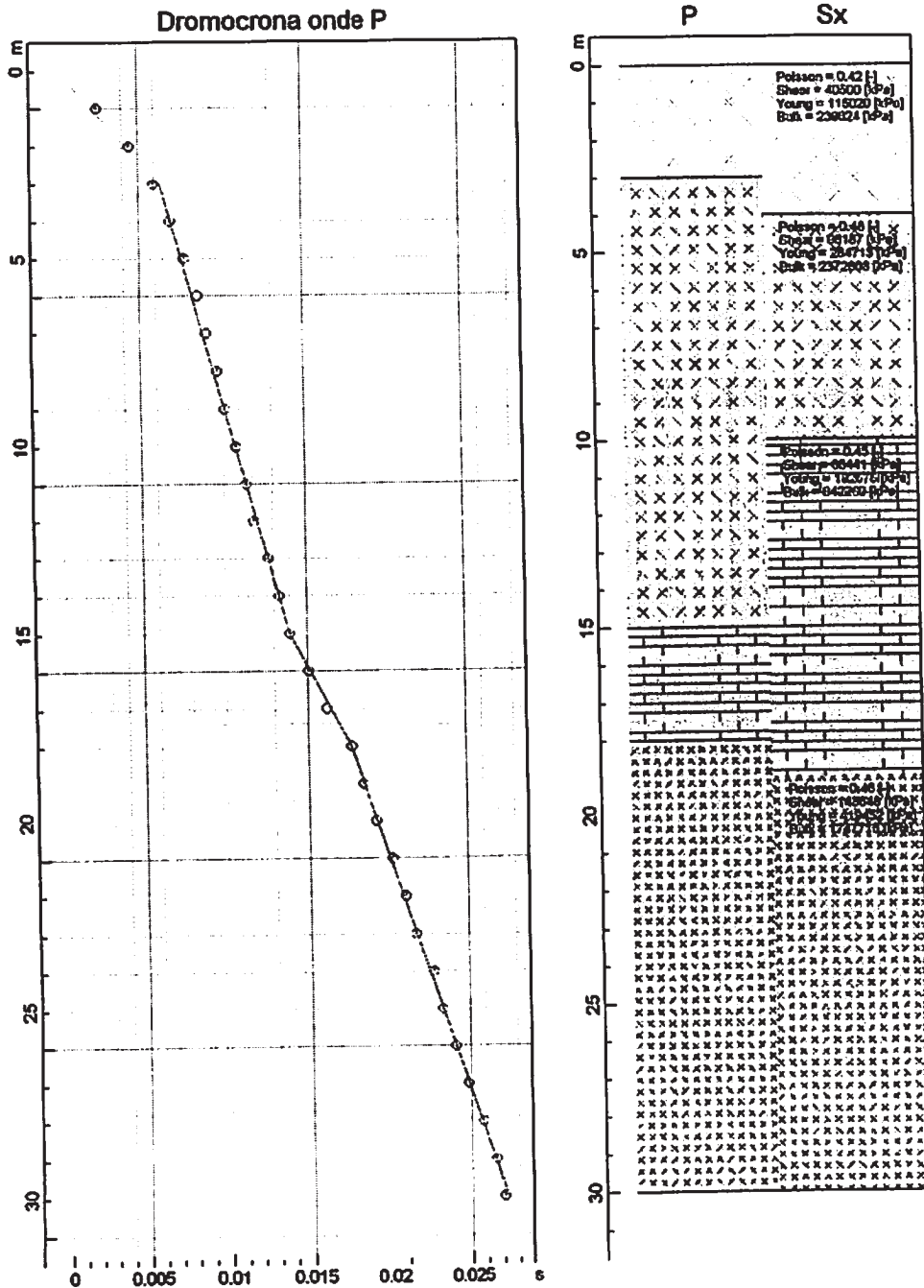
Fig. 7b - Dromocrone delle onde Sy e sezioni verticali delle onde P, delle onde Sx e delle onde Sy.

Profilo di velocità onde S_H

Vs30 down-hole S1 = 472 m/s
classe del sito "B"

DH Montecalvoli

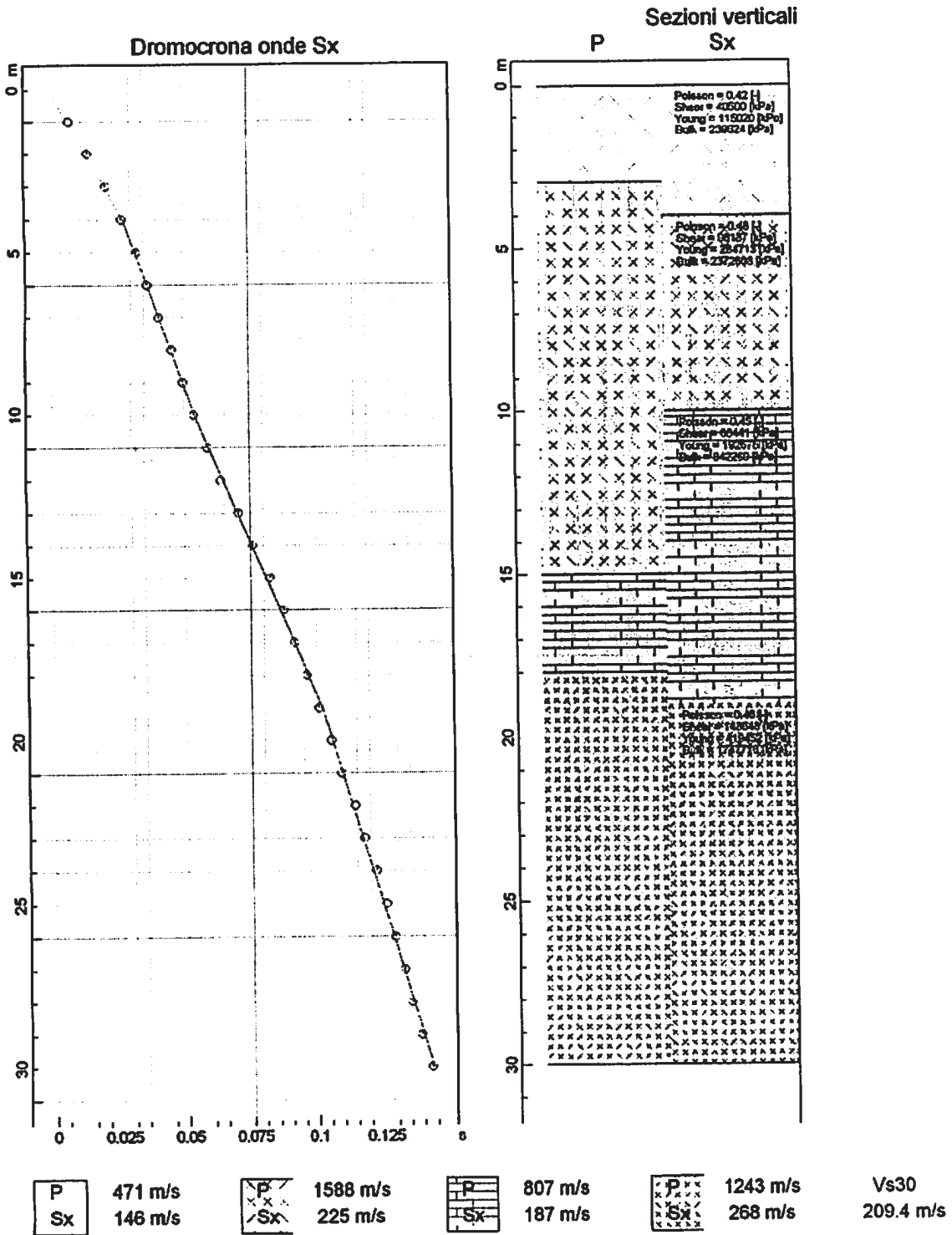
Sezioni verticali



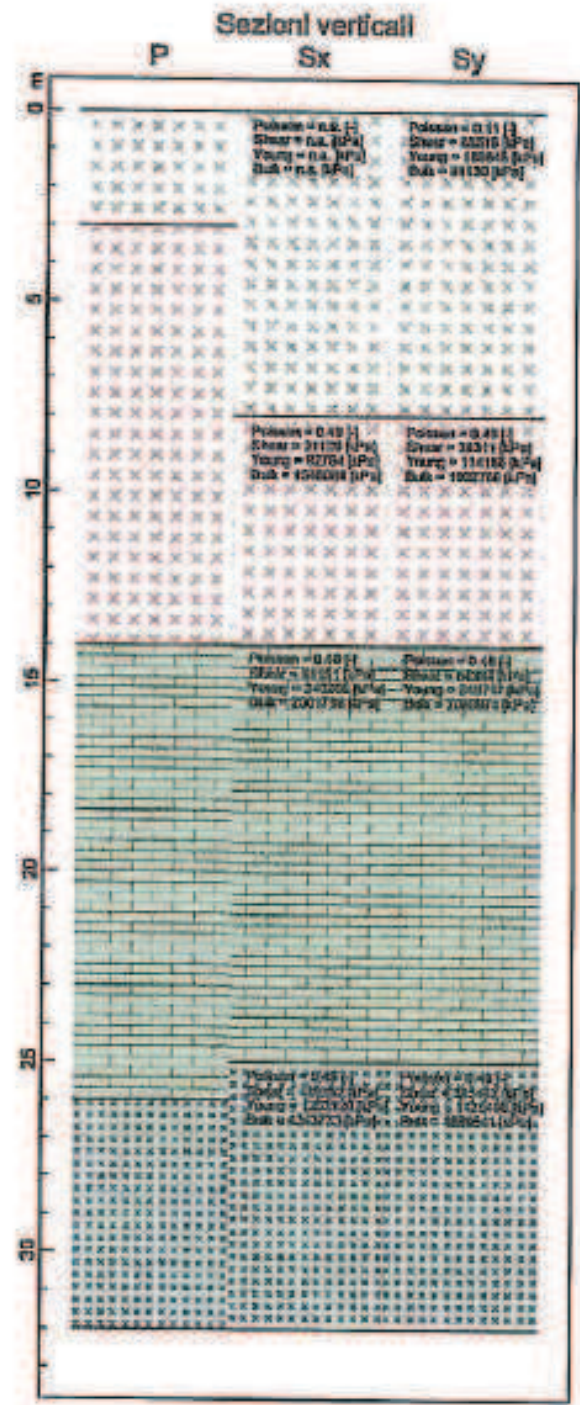
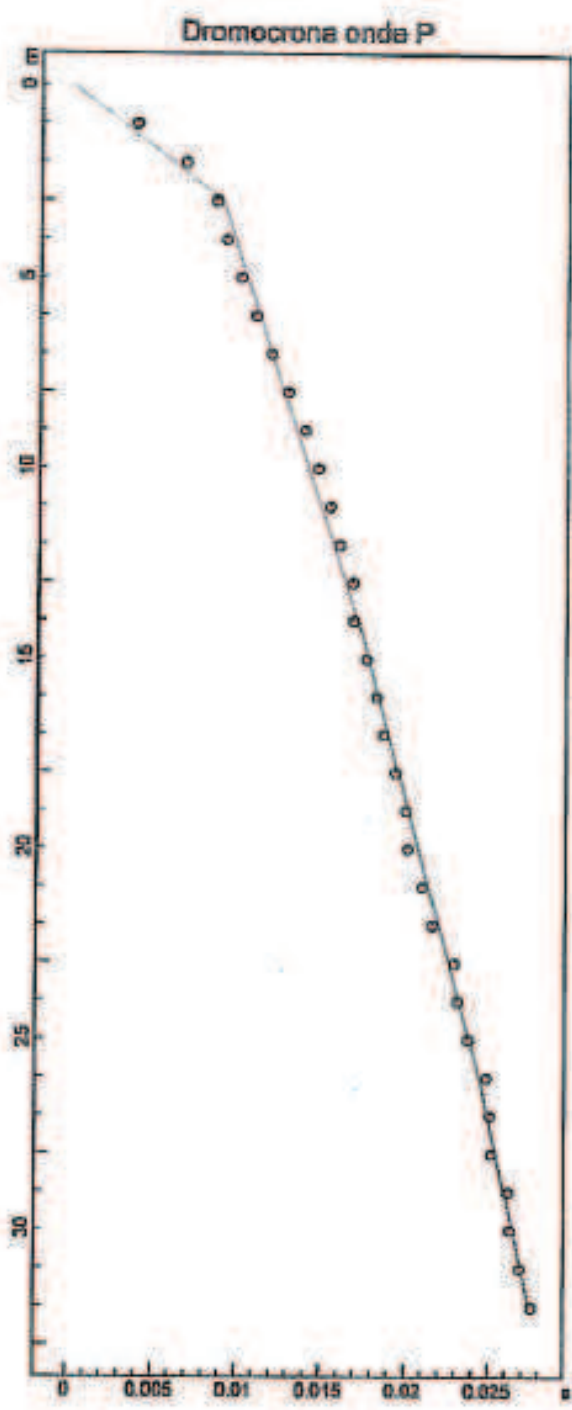
P	471 m/s	P	1588 m/s	P	807 m/s	P	1243 m/s	Vs30	209.4 m/s
Sx	146 m/s	Sx	225 m/s	Sx	187 m/s	Sx	268 m/s		

www.geosoft.com

DH Montecalvoli

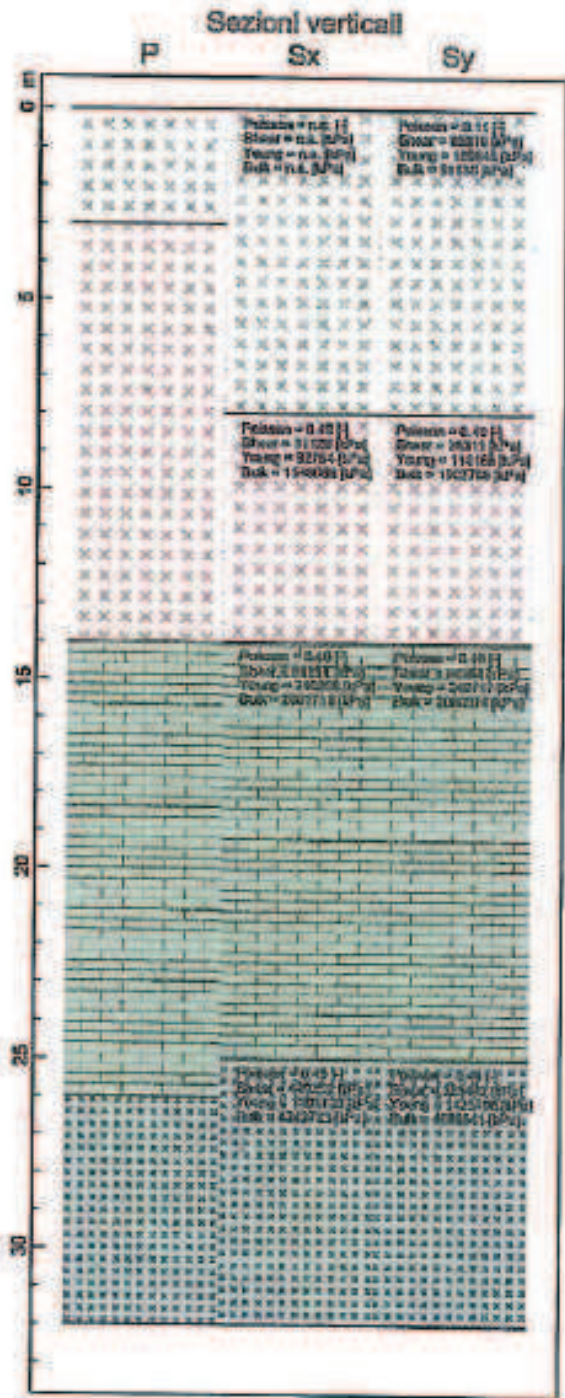
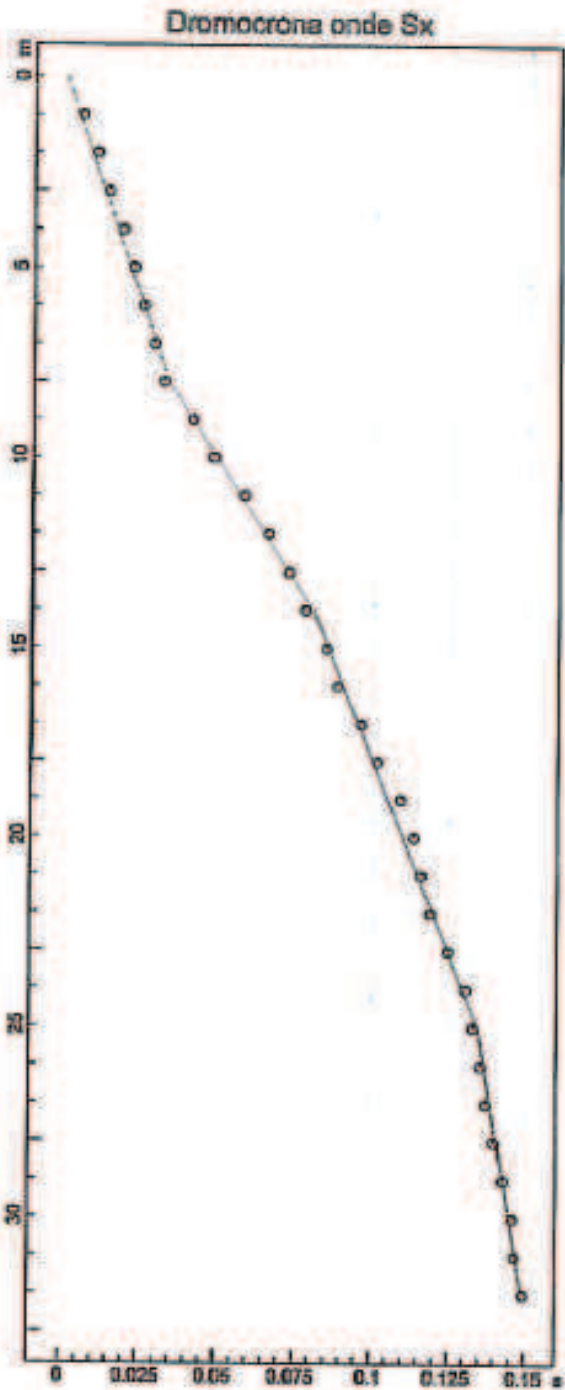


www.geosoft.com



P	337 m/s	P	1348 m/s	P	1633 m/s	P	1988 m/s	Vs30
Sx	239 m/s	Sx	128 m/s	Sx	204 m/s	Sx	474 m/s	207.2 m/s
Sy	215 m/s	Sy	142 m/s	Sy	208 m/s	Sy	439 m/s	206.7 m/s

www.geomatic.it



P 337 m/s
Sx 239 m/s
Sy 216 m/s

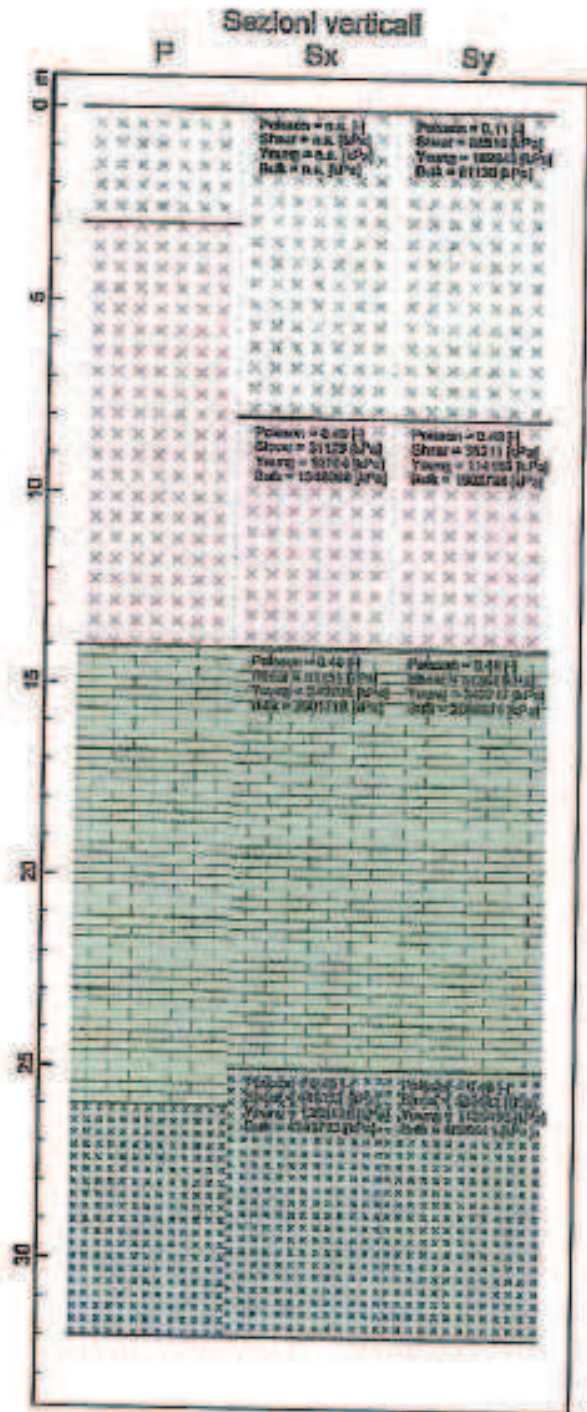
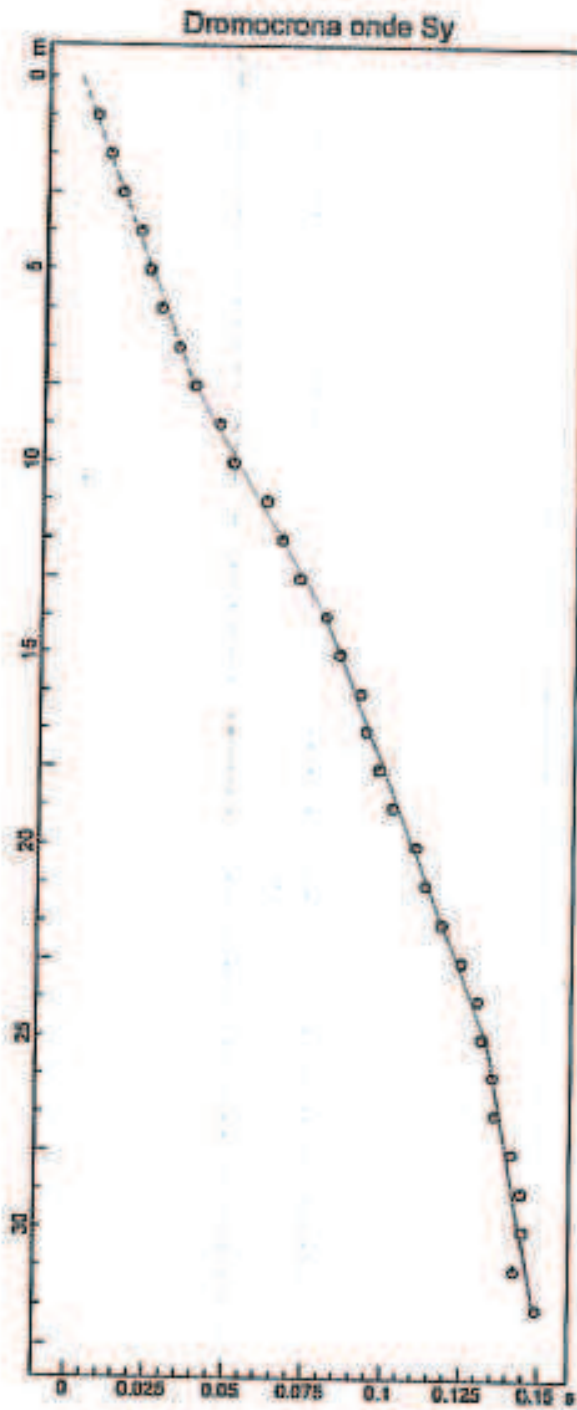
P 1348 m/s
Sx 128 m/s
Sy 142 m/s

P 1033 m/s
Sx 204 m/s
Sy 208 m/s

P 1968 m/s
Sx 474 m/s
Sy 439 m/s

Vs30
207.2 m/s
206.7 m/s

www.geosistemi.com



P	337 m/s
Sx	239 m/s
Sy	215 m/s

P	1348 m/s
Sx	128 m/s
Sy	142 m/s

P	1833 m/s
Sx	204 m/s
Sy	208 m/s

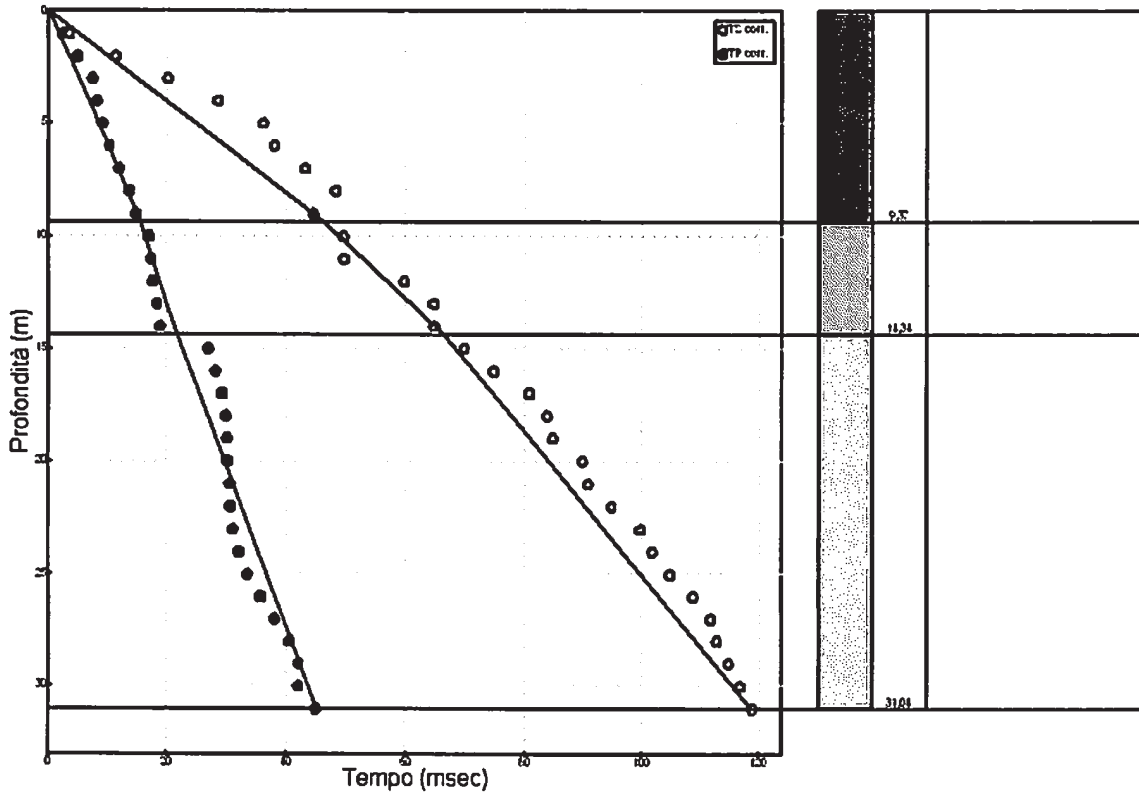
P	1968 m/s
Sx	474 m/s
Sy	439 m/s

Vs30
207.2 m/s
208.7 m/s

Valori medi

Vp medio (m/s)	Vs medio (m/s)	g medio (kN/mc)	ni medio	G medio (MPa)	Ed medio (MPa)	E medio (MPa)	Ev medio (MPa)
599,87	202,55	17,89	0,44	74,85	656,52	214,92	556,72
835,29	247,51	19,25	0,45	120,23	1369,34	349,12	1209,04
648,04	157,01	16,43	0,47	41,31	703,62	121,34	648,54

Dromocrone



Risultati

SR (m)	Tpcorr (msec)	Tscorr (msec)
1,8028	2,3297	3,3282
2,50	4,72	11,20
3,3541	7,2449	20,0352
4,272	7,9588	28,3708
5,2202	8,9078	36,0143
6,1847	10,0895	37,8356
7,1589	11,8314	43,0233
8,1394	13,6619	48,1607
9,1241	14,7959	44,3877
10,1119	17,0097	49,4468
11,1018	17,3395	49,5415
12,0934	17,6626	59,5367
13,0863	18,2787	64,5716
14,0801	18,8919	64,6301
15,0748	26,7665	69,6526
16,0702	27,9773	74,6726
17,0661	29,087	80,6865
18,0624	29,6971	83,7099
19,0591	29,9069	84,7363
20,0562	30,0157	89,7479
21,0535	30,4225	90,7688
22,0511	30,5291	94,78
23,0489	30,9343	99,788
24,0468	31,9377	101,8014
25,045	33,34	104,8115
26,0432	35,5409	108,8191
27,0416	37,9415	111,8276
28,0402	40,442	112,8382
29,0388	41,9439	114,8465
30,0375	41,9476	116,854
31,0363	44,9474	118,8609

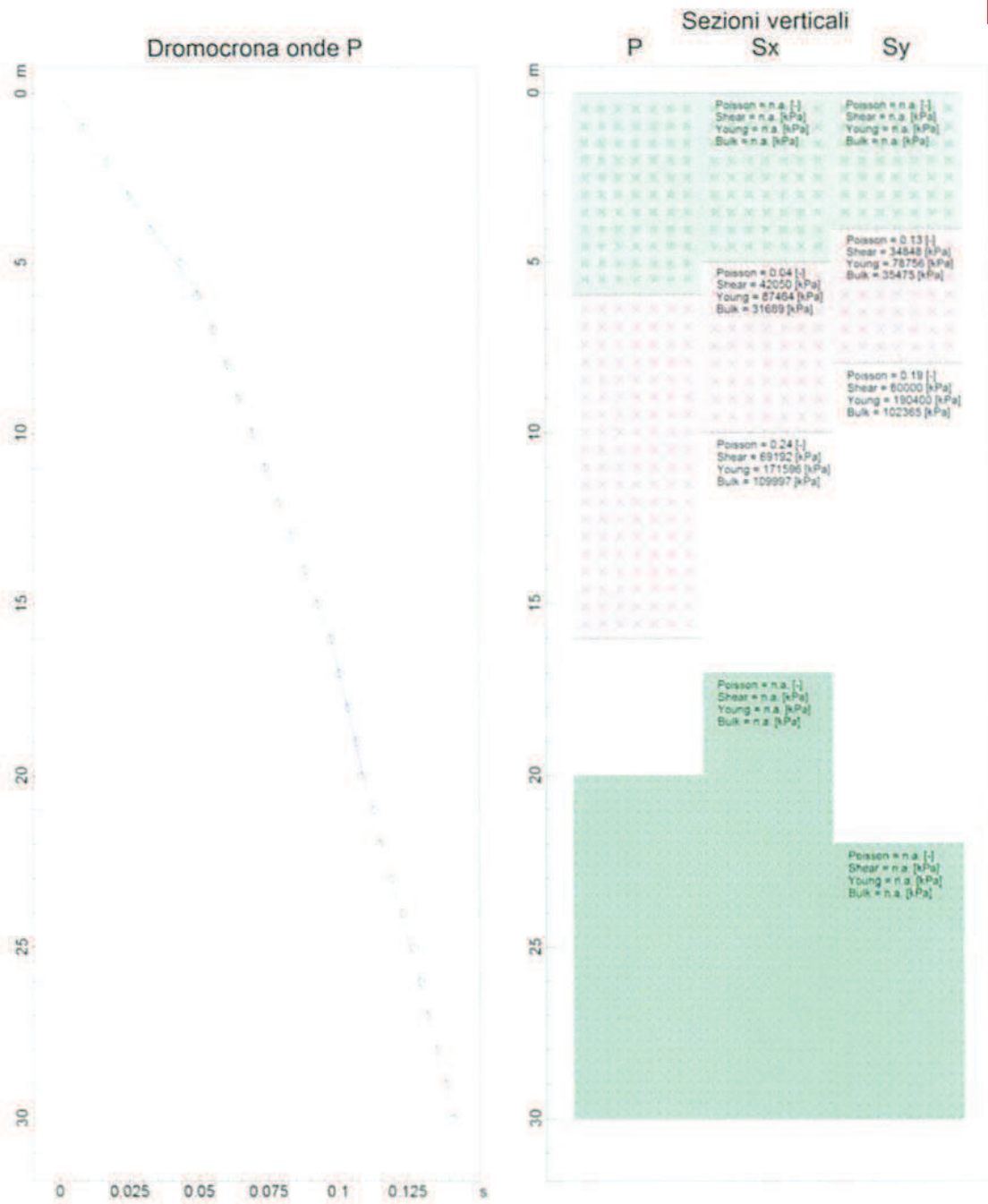
Metodo diretto

Profondità di riferimento: 30 m
 VS30: 180,64 m/s

Sismostrati con metodo diretto

Descrizione (-)	Profondità (m)
	9,37
	14,34
	31,04

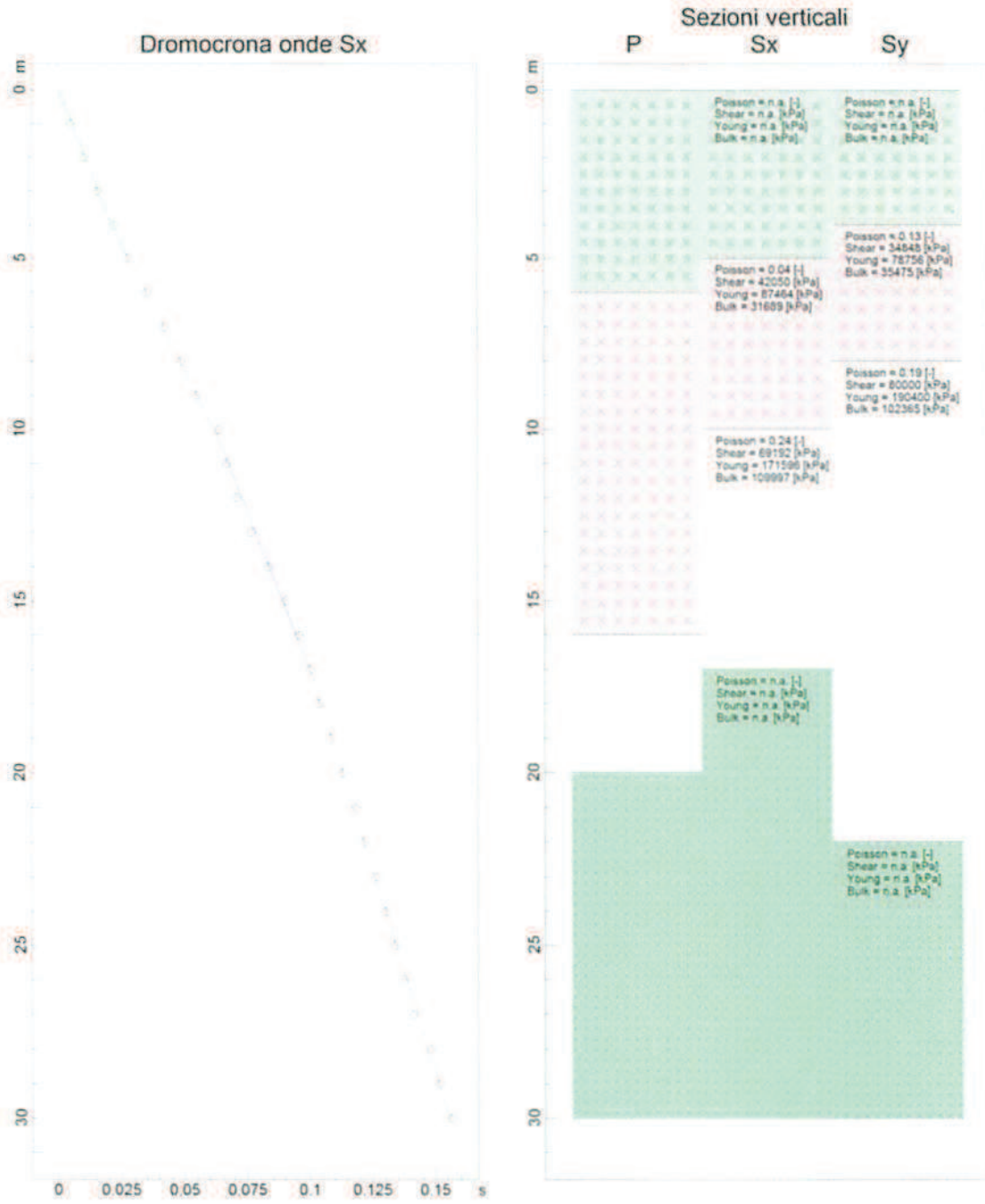
DH6



P	119 m/s	P	212 m/s	P	343 m/s	P	302 m/s	Vs30	
Sx	179 m/s	Sx	145 m/s	Sx	186 m/s	Sx	234 m/s		192.8 m/s
Sy	196 m/s	Sy	132 m/s	Sy	200 m/s	Sy	234 m/s		193.7 m/s

www.geosoft.com

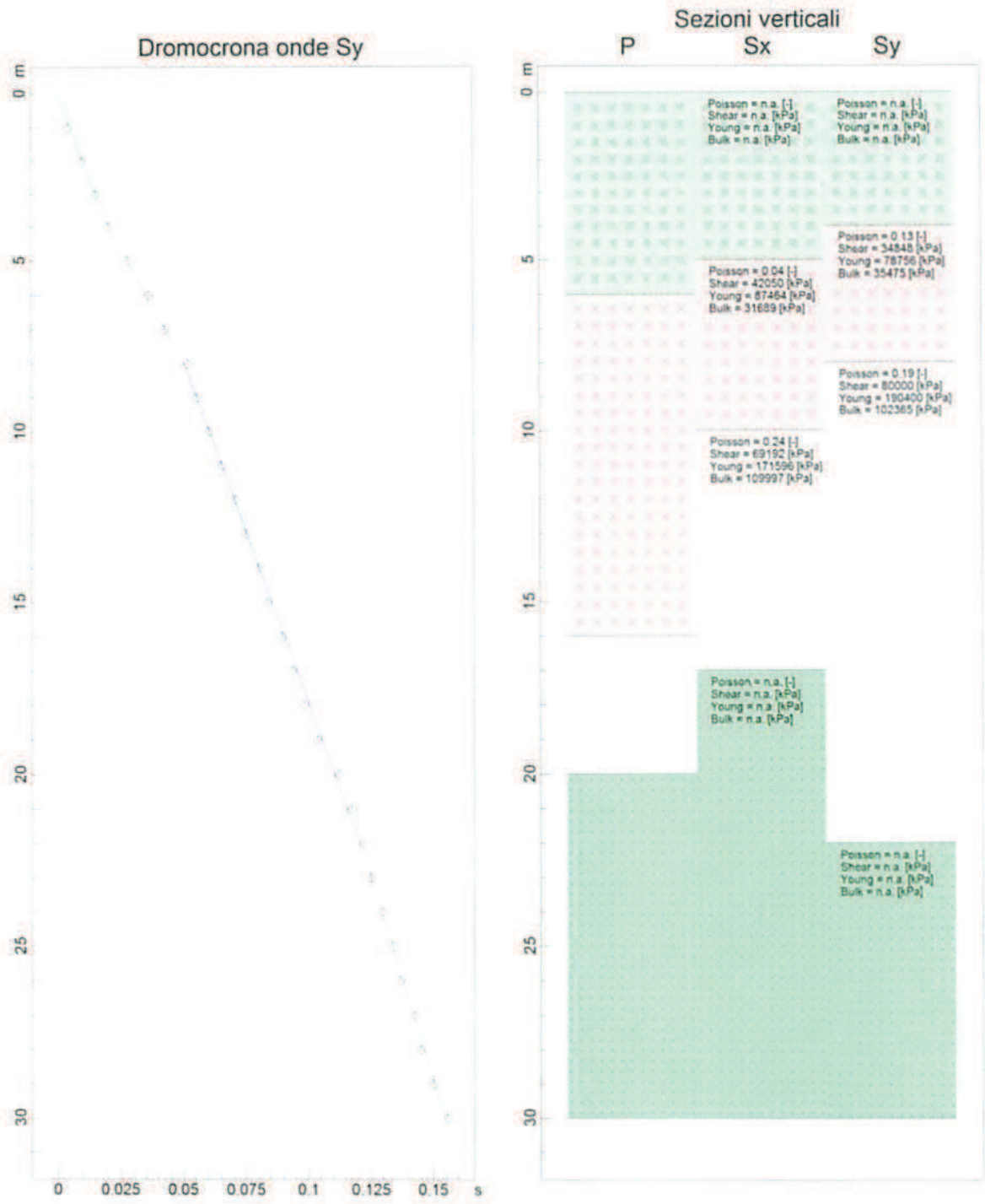
DH6



P	119 m/s	P	212 m/s	P	343 m/s	P	302 m/s	Vs30
Sx	179 m/s	Sx	145 m/s	Sx	186 m/s	Sx	234 m/s	
Sy	196 m/s	Sy	132 m/s	Sy	200 m/s	Sy	234 m/s	
								192.8 m/s
								193.7 m/s

www.geosoft.com

DH6



P	119 m/s	P	212 m/s	P	343 m/s	P	302 m/s	Vs30	
Sx	179 m/s	Sx	145 m/s	Sx	186 m/s	Sx	234 m/s		192.8 m/s
Sy	196 m/s	Sy	132 m/s	Sy	200 m/s	Sy	234 m/s		193.7 m/s

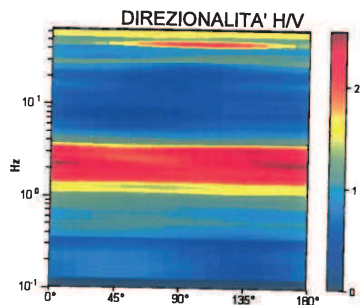
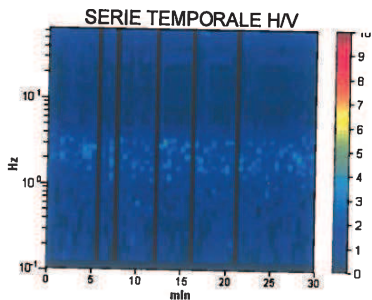
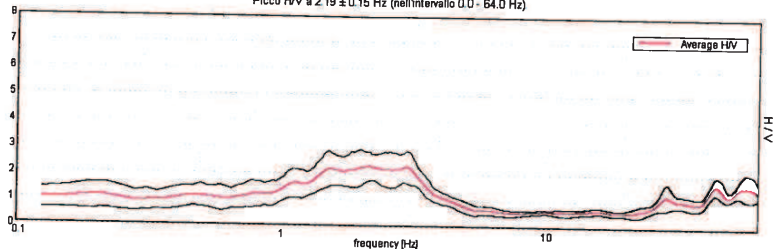
www.geosoft.com

Strumento: TRZ-0101/01-10
 Inizio registrazione: 18/07/12 12:47:49
 Fine registrazione: 18/07/12 13:17:49

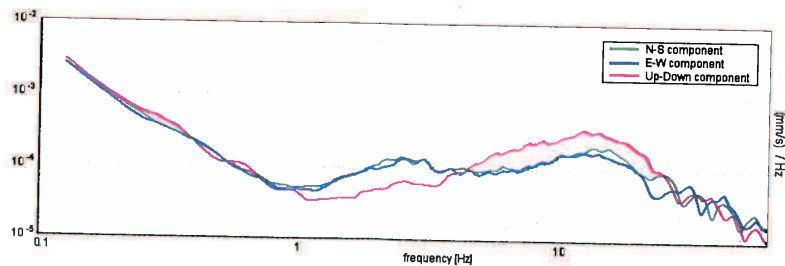
Durata registrazione: 0h30'00"
 Freq. campionamento: 128 Hz
 Lunghezza finestre: 30 s
 Tipo di lisciamento: Triangular window
 Lisciamento: 5% (*) e 10% (**)
 Analizzato 92% tracciato (selezione manuale)
 Condizioni meteo: sereno, vento leggero
 Tipo di superficie: terreno naturale
 Disturbi: alcuni transienti (strada vicina) e alcuni artefatti a frequenze superiori ai 20 Hz

RAPPORTO SPETTRALE ORIZZONTALE SU VERTICALE ()**

Picco H/V a 2.19 ± 0.15 Hz (nell'intervallo 0.0 - 64.0 Hz)



SPETTRI DELLE SINGOLE COMPONENTI ()**



GEOPROVE S.a.S.
 Il Socio Amministratore
 e Direttore Tecnico
 Dr. Geol. Alfredo Corsarini
 (n° 193 Abilitazione al Collegio Geol. Toscano)

CRITERI SESAME (2004) (1)

Picco H/V a 2.19 ± 0.15 Hz (nell'intervallo 0.0 - 64.0 Hz).

Criteri per una curva H/V affidabile
 [Tutti 3 dovrebbero risultare soddisfatti]

$f_0 > 10 / L_w$	2.19 > 0.33	OK
$n_s(f_0) > 200$	3609.4 > 200	OK
$\sigma_A(f) < 2$ per $0.5f_0 < f < 2f_0$, se $f_0 > 0.5$ Hz	Superato 0 volte su 106	OK
$\sigma_A(f) < 3$ per $0.5f_0 < f < 2f_0$, se $f_0 < 0.5$ Hz		

Criteri per un picco H/V chiaro
 [Almeno 5 su 6 dovrebbero essere soddisfatti]

Esiste f^* in $[f_0/4, f_0] A_{H/V}(f^*) < A_0 / 2$	0.75 Hz	OK
Esiste f^* in $[4f_0, f_0] A_{H/V}(f^*) < A_0 / 2$	4.0 Hz	OK
$A_0 > 2$	2.28 > 2	OK
$f_{picco} [A_{H/V}(f) \pm \sigma_A(f)] = f_0 \pm 5\%$	$ 0.03375 < 0.05$	OK
$\sigma_f < \varepsilon(f_0)$	0.07383 < 0.10938	OK
$\sigma_A(f_0) < \theta(f_0)$	0.2703 < 1.58	OK

L_w	lunghezza della finestra
n_w	numero di finestre usate nell'analisi
$n_c = L_w n_w f_0$	numero di cicli significativi
f	frequenza attuale
f_0	frequenza del picco H/V
σ_f	deviazione standard della frequenza del picco H/V
$\varepsilon(f_0)$	valore di soglia per la condizione di stabilità $\sigma_f < \varepsilon(f_0)$
A_0	ampiezza della curva H/V alla frequenza f_0
$A_{H/V}(f)$	ampiezza della curva H/V alla frequenza f
f^-	frequenza tra $f_0/4$ e f_0 alla quale $A_{H/V}(f^-) < A_0/2$
f^+	frequenza tra f_0 e $4f_0$ alla quale $A_{H/V}(f^+) < A_0/2$
$\sigma_A(f)$	deviazione standard di $A_{H/V}(f)$, $\sigma_A(f)$ è il fattore per il quale la curva $A_{H/V}(f)$ media deve essere moltiplicata o divisa
$\sigma_{\log H/V}(f)$	deviazione standard della funzione $\log A_{H/V}(f)$
$\theta(f_0)$	valore di soglia per la condizione di stabilità $\sigma_A(f) < \theta(f_0)$

Intervallo di freq. [Hz]	Valori di soglia per σ_f e $\sigma_A(f_0)$				
	< 0.2	0.2 - 0.5	0.5 - 1.0	1.0 - 2.0	> 2.0
$\varepsilon(f_0)$ [Hz]	0.25 f_0	0.2 f_0	0.15 f_0	0.10 f_0	0.05 f_0
$\theta(f_0)$ per $\sigma_A(f_0)$	3.0	2.5	2.0	1.78	1.58
$\log \theta(f_0)$ per $\sigma_{\log H/V}(f_0)$	0.48	0.40	0.30	0.25	0.20

CLASSIFICAZIONE DELLA CURVA H/V (2) (3)

CLASSE	B
TIPO	1

La classificazione delle curve H/V prevede le seguenti tre classi di qualità:

Classe A (H/V affidabile, può essere utilizzata anche da sola)

1)-La forma dell'H/V nell'intervallo di frequenze di interesse rimane stazionaria per almeno il 30% della durata della misura; 2)-le variazioni azimutali di ampiezza non superano il 30% del massimo; 3)-assenza di disturbi elettromagnetici nella banda di frequenza di interesse; 4)-i massimi sono caratterizzati da una diminuzione localizzata dello spettro della componente verticale; 5)-i primi 3 criteri SESAME per una curva H/V attendibile sono verificati; 6)-durata della misura di almeno 15-20 minuti.
 Eccezione: nel caso di assenza di contrasti di impedenza sufficientemente marcati, la condizione 5) non sarà soddisfatta anche se la misura è affidabile (H/V tipo 2, v. sotto).

Classe B (H/V da "interpretare": va utilizzata con cautela e solo se coerente con altre misure vicine)

Almeno una delle 6 condizioni della classe A non è soddisfatta (a meno che non si rientri nell'eccezione sopra citata)

Classe C (H/V scadente e di difficile interpretazione: non va utilizzata)

1)-Misura di tipo B con curva H/V che mostra ampiezza crescente al diminuire della frequenza (*derive*) indice di movimento dello strumento durante la misura; 2)-misura di tipo B con presenza di rumore elettromagnetico nell'intervallo di frequenze di interesse.

Per le classi A e B si possono inoltre definire le seguenti due sottoclassi:

Tipo 1: H/V con almeno un picco "chiaro" secondo i criteri SESAME (*possibile risonanza*)

Tipo 2: H/V senza picchi "chiaro" nell'intervallo di frequenze di interesse (ampiezza della curva circa uguale ad 1: *assenza di risonanza*)

NOTE

(1) - SESAME Project (2004) - Guidelines for the implementation of the H/V spectral ratio technique on ambient vibrations. Measurements processing and interpretation, WP12, deliverable no. D23.12
 (2) - Albarello D., Cesi C., Eullivi V. et alii (2010): The contribution of the ambient vibration prospecting in seismic microzoning: an example from the area damaged by the 26th April, 2009 L'Aquila (Italy) earthquake. Boll. Geofis. Teor. Appl., 52 (3).
 (3) - Albarello D. & Castellaro S. (2011) - Tecniche sismiche passive: indagini a stazione singola. Supplemento alla rivista Ingegneria sismica Anno XXVIII, n. 2-2011.

SANTÀ MARIA A MONTE-COMUNE, TR2 CIMITERO
 Coordinate (WGS84): N 43,69907°; E 010,68518°

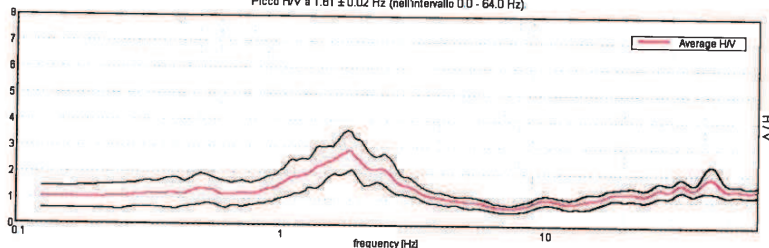
Strumento: TRZ-0101/01-10
 Inizio registrazione: 18/07/12 17:00:29
 Fine registrazione: 18/07/12 17:30:30

Durata registrazione: 0h30'00"
 Freq. campionamento: 128 Hz
 Lunghezza finestre: 30 s
 Tipo di lisciamento: Triangular window
 Lisciamento: 5% (*) e 10% (**)
 Analizzato 97% tracciato (selezione manuale)
 Condizioni meteo: sereno, vento leggero
 Tipo di superficie: terreno naturale
 Disturbi: rari transienti

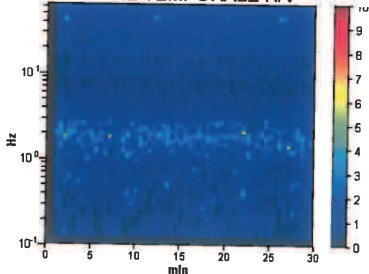


RAPPORTO SPETTRALE ORIZZONTALE SU VERTICALE ()**

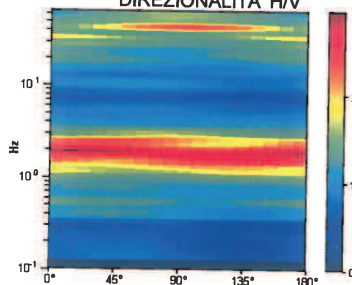
Picco HV a 1.81 ± 0.02 Hz (nell'intervallo 0.0 - 64.0 Hz)



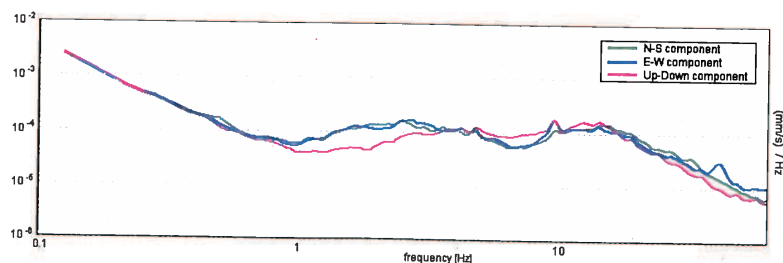
SERIE TEMPORALE HV



DIREZIONALITA' HV



SPETTRI DELLE SINGOLE COMPONENTI (*)



CRITERI SESAME (2004) (1)

Picco HV a 1.81 ± 0.02 Hz (nell'intervallo 0.0 - 64.0 Hz).

Criteria per una curva HV affidabile
 [Tutti 3 dovrebbero risultare soddisfatti]

$f_0 > 10 / L_w$	1.81 > 0.33	OK
$n_c(f_0) > 200$	3153.8 > 200	OK
$\sigma_A(f) < 2$ per $0.5f_0 < f < 2f_0$ se $f_0 > 0.5$ Hz	Superato 0 volte su 88	OK
$\sigma_A(f) < 3$ per $0.5f_0 < f < 2f_0$ se $f_0 < 0.5$ Hz		

Criteria per un picco HV chiaro
 [Almeno 5 su 6 dovrebbero essere soddisfatti]

Esiste f^* in $[f_0/4, f_0] A_{HV}(f^*) < A_0 / 2$	0.938 Hz	OK
Esiste f^* in $[f_0, 4f_0] A_{HV}(f^*) < A_0 / 2$	3.219 Hz	OK
$A_0 > 2$	2.84 > 2	OK
$f_{picco} [A_{HV}(f) \pm \sigma_A(f)] = f_0 \pm 5\%$	$[0.00453] < 0.05$	OK
$\sigma_r < \epsilon(f_0)$	0.00821 < 0.18125	OK
$\sigma_A(f_0) < \theta(f_0)$	0.3905 < 1.78	OK

L_w	lunghezza della finestra
n_w	numero di finestre usate nell'analisi
$n_c = L_w n_w f_0$	numero di cicli significativi
f	frequenza attuale
f_0	frequenza del picco HV
σ_r	deviazione standard della frequenza del picco HV
$\epsilon(f_0)$	valore di soglia per la condizione di stabilità $\sigma_r < \epsilon(f_0)$
A_0	ampiezza della curva HV alla frequenza f_0
$A_{HV}(f)$	ampiezza della curva HV alla frequenza f
f^*	frequenza tra $f_0/4$ e f_0 alla quale $A_{HV}(f^*) < A_0/2$
f^+	frequenza tra f_0 e $4f_0$ alla quale $A_{HV}(f^+) < A_0/2$
$\sigma_A(f)$	deviazione standard di $A_{HV}(f)$, $\sigma_A(f)$ è il fattore per il quale la curva $A_{HV}(f)$ media deve essere moltiplicata o divisa
$\sigma_{logHV}(f)$	deviazione standard della funzione $\log A_{HV}(f)$
$\theta(f_0)$	valore di soglia per la condizione di stabilità $\sigma_A(f) < \theta(f_0)$

Intervallo di freq. [Hz]	Valori di soglia per σ_r e $\sigma_A(f_0)$				
	< 0.2	0.2 - 0.5	0.5 - 1.0	1.0 - 2.0	> 2.0
$\epsilon(f_0)$ [Hz]	0.25 f_0	0.2 f_0	0.15 f_0	0.10 f_0	0.05 f_0
$\theta(f_0)$ per $\sigma_A(f_0)$	3.0	2.5	2.0	1.78	1.58
$\log \theta(f_0)$ per $\sigma_{logHV}(f_0)$	0.48	0.40	0.30	0.25	0.20

CLASSIFICAZIONE DELLA CURVA HV (2) (3)

CLASSE	A
TIPO	1

La classificazione delle curve HV prevede le seguenti tre classi di qualità:

Classe A (HV affidabile, può essere utilizzata anche da sola)

- 1)-La forma dell'HV nell'intervallo di frequenze di interesse rimane stazionaria per almeno il 30% della durata della misura;
 - 2)-le variazioni azimutali di ampiezza non superano il 30% del massimo;
 - 3)-assenza di disturbi elettromagnetici nella banda di frequenza di interesse;
 - 4)-i massimi sono caratterizzati da una diminuzione localizzata dello spettro della componente verticale;
 - 5)-i primi 3 criteri SESAME per una curva HV attendibile sono verificati;
 - 6)-durata della misura di almeno 15-20 minuti.
- Eccezione:** nel caso di assenza di contrasti di impedenza sufficientemente marcati, la condizione 6) non sarà soddisfatta anche se la misura è affidabile (HV tipo 2, v. sotto).

Classe B (HV da "interpretare": va utilizzata con cautela e solo se coerente con altre misure vicine)

Almeno una delle 6 condizioni della classe A non è soddisfatta (a meno che non si rientri nell'eccezione sopra citata)

Classe C (HV scadente e di difficile interpretazione: non va utilizzata)

- 1)-Misura di tipo B con curva HV che mostra ampiezza crescente al diminuire della frequenza (*deriva*) indice di movimento dello strumento durante la misura;
- 2)-misura di tipo B con presenza di rumore elettromagnetico nell'intervallo di frequenze di interesse.

Per le classi A e B si possono inoltre definire le seguenti due sottoclassi:

Tipo 1: HV con almeno un picco "chiaro" secondo i criteri SESAME (*possibile risonanza*)

Tipo 2: HV senza picchi "chiaro" nell'intervallo di frequenze di interesse (*ampiezza della curva circa uguali ad 1: assenza di risonanza*)

NOTE

(1) - SESAME Project (2004) - Guidelines for the implementation of the HV spectral ratio technique on ambient vibrations. Measurements processing and interpretation, WP12, deliverable no. D23.12.
 (2) - Albarello D., Cesi C., Eullini V. et alii (2010): The contribution of the ambient vibration prospecting in seismic microzonation: an example from the area damaged by the 26th April, 2009 L'Aquila (Italy) earthquake. Boll. Geofis. Teor. Appl., 52 (3).
 (3) - Albarello D. & Castellaro S. (2011) - Tecniche sismiche passive: indagini a stazione singola. Supplemento alla rivista Ingegneria sismica Anno XXVIII, n. 2-2011.

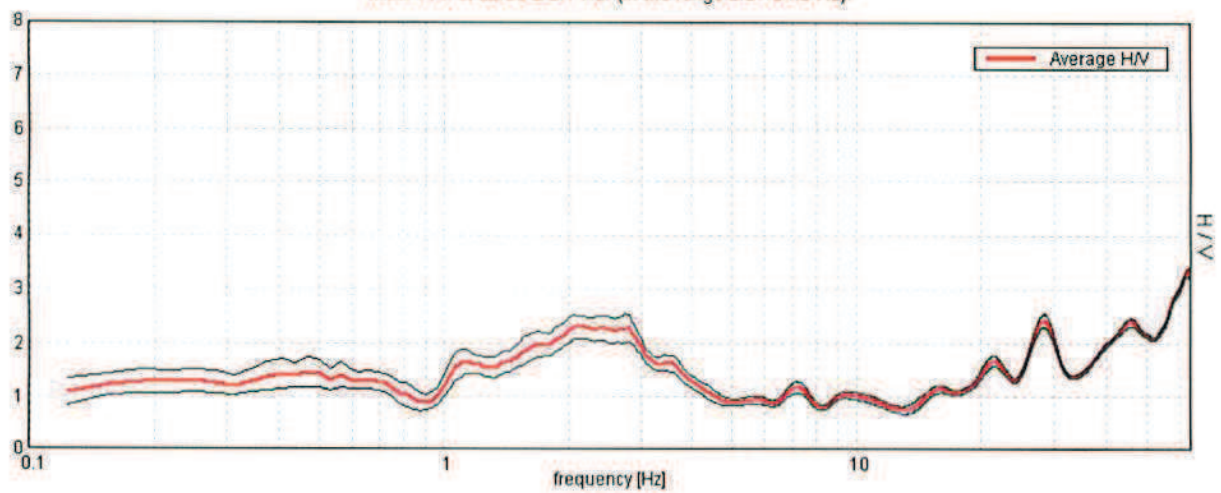
10_05_13_S_MARIA_A_MONTE, SANTA MARIA A MONTE TR1

Start recording: 13/05/10 11:52:27 End recording: 13/05/10 12:06:28
Channel labels: NORTH SOUTH; EAST WEST; UP DOWN
GPS data not available

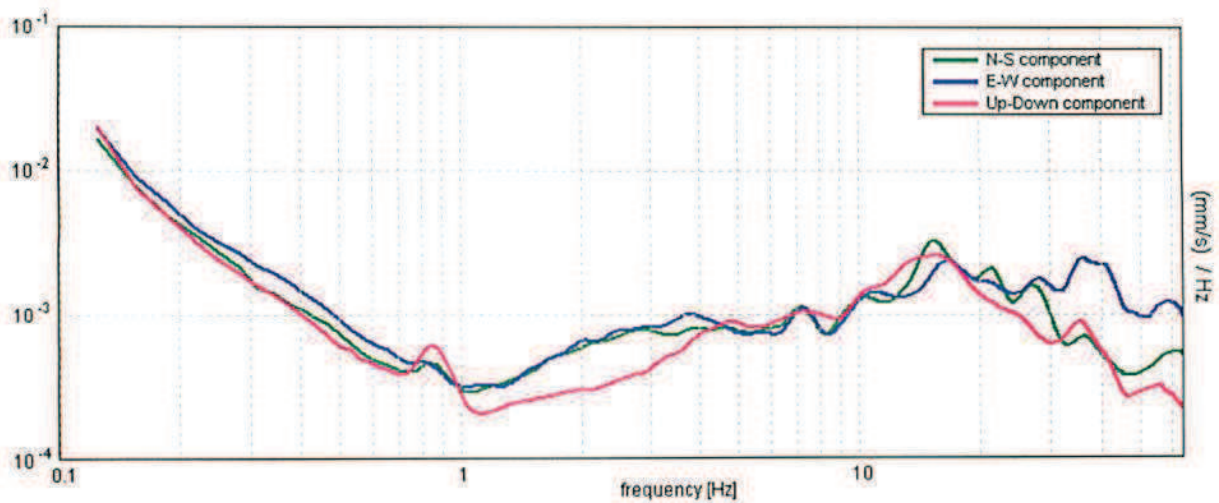
Trace length: 0h14'00". Analyzed 98% trace (manual window selection)
Sampling frequency: 128 Hz
Window size: 20 s
Smoothing window: Triangular window
Smoothing: 10%

HORIZONTAL TO VERTICAL SPECTRAL RATIO

Max. H/V at 62.88 ± 3.1 Hz. (in the range 0.0 - 64.0 Hz).



SINGLE COMPONENT SPECTRA



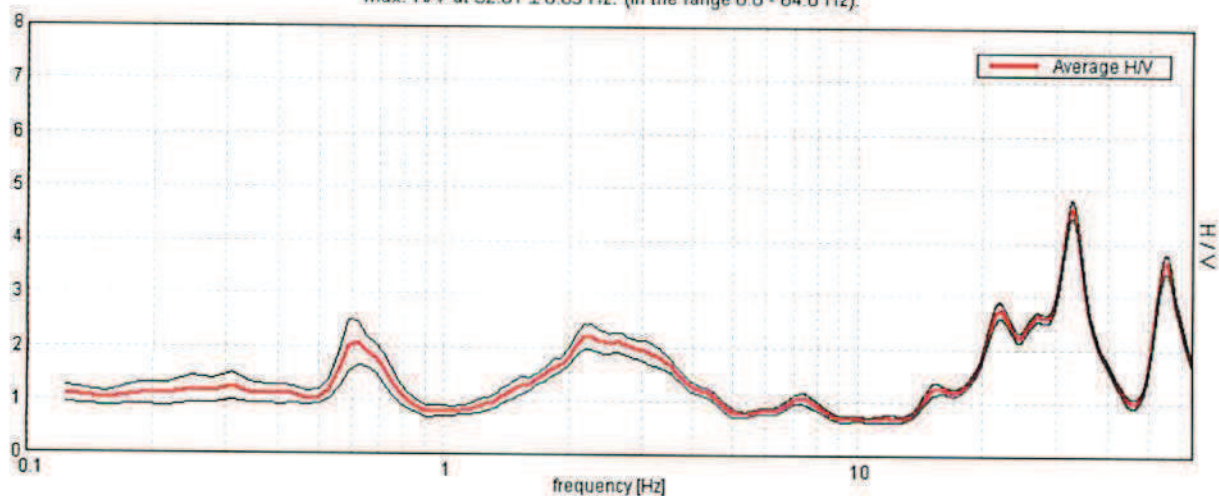
10_05_13_S_MARIA_A_MONTE, SANTA MARIA A MONTE TR2

Start recording: 13/05/10 12:16:46 End recording: 13/05/10 12:30:47
Channel labels: NORTH SOUTH; EAST WEST ; UP DOWN
GPS data not available

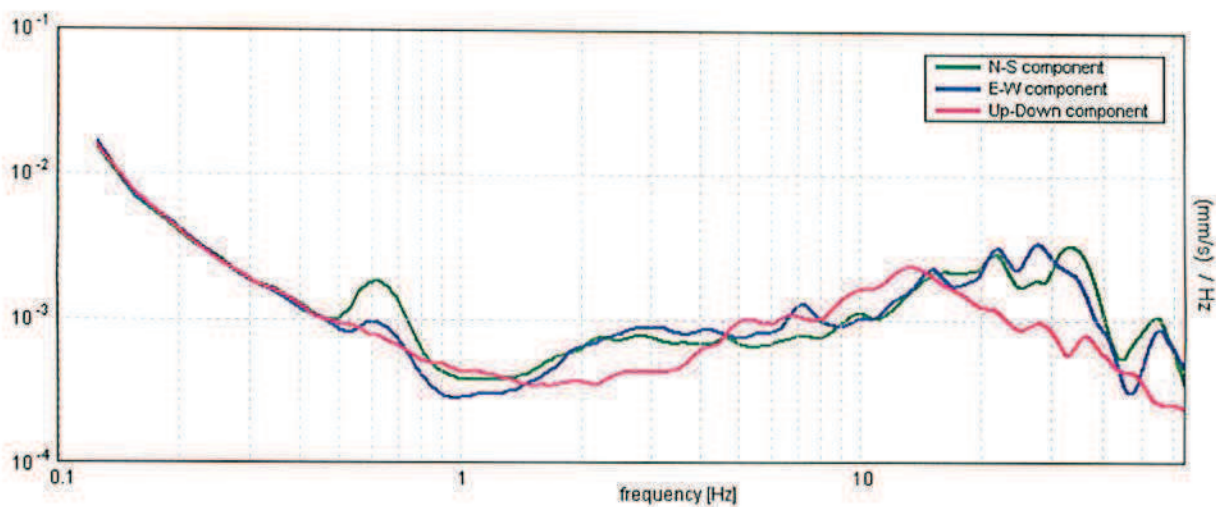
Trace length: 0h14'00". Analysis performed on the entire trace.
Sampling frequency: 128 Hz
Window size: 20 s
Smoothing window: Triangular window
Smoothing: 10%

HORIZONTAL TO VERTICAL SPECTRAL RATIO

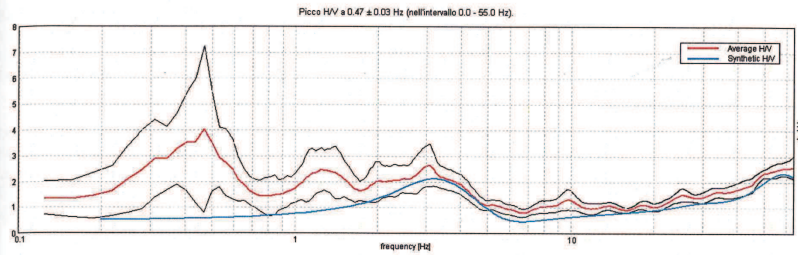
Max. H/V at 32.81 ± 0.03 Hz. (in the range 0.0 - 64.0 Hz).



SINGLE COMPONENT SPECTRA



H/V SPERIMENTALE vs. H/V SINTETICO



Profondità alla base dello strato

[m]
0.50
3.00
6.00
13.00
18.00
48.00
inf.

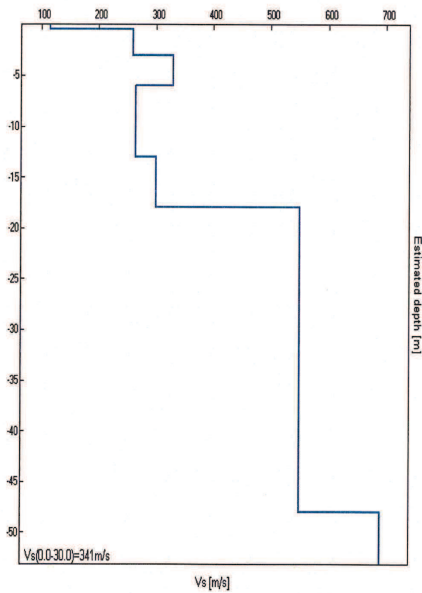
Spessore [m]

0.50
2.50
3.00
7.00
5.00
30.00
inf.

Vs [m/s]

115
260
330
265
300
550
690

Vs(0.0-30.0)=341m/s



J12_060_04_18_SANTA_MARIA_A_MONTE_TR, VIA RIMOZZO TR1

Strumento: TEP-0085/01-10

Inizio registrazione: 18/04/12 14:30:33 Fine registrazione: 18/04/12 14:44:34

Nomi canali: NORTH SOUTH; EAST WEST; UP DOWN

Dato GPS non disponibile

Durata registrazione: 0h14'00".

Analizzato 83% tracciato (selezione manuale)

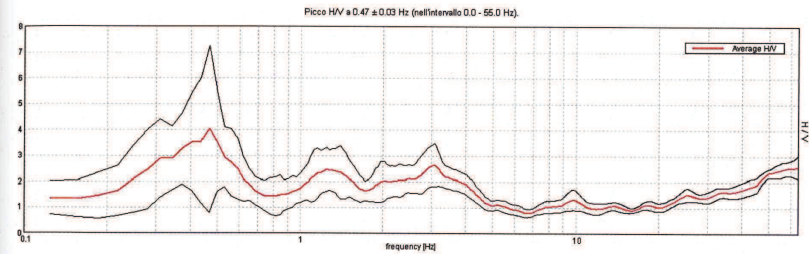
Freq. campionamento: 128 Hz

Lunghezza finestre: 20 s

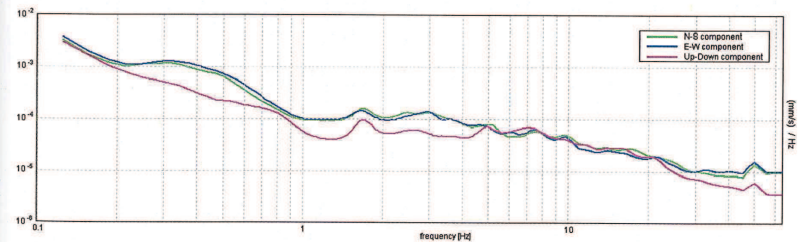
Tipo di lisciamento: Triangular window

Lisciamento: 10%

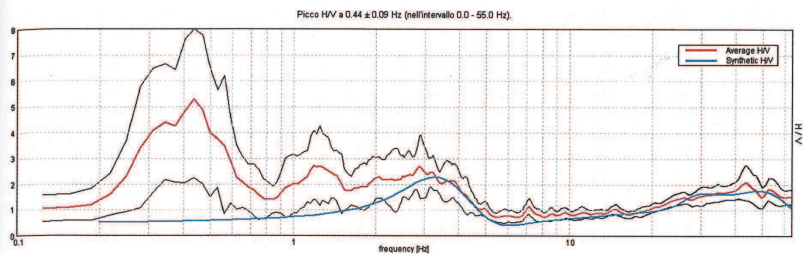
RAPPORTO SPETTRALE ORIZZONTALE SU VERTICALE



SPETTRI DELLE SINGOLE COMPONENTI

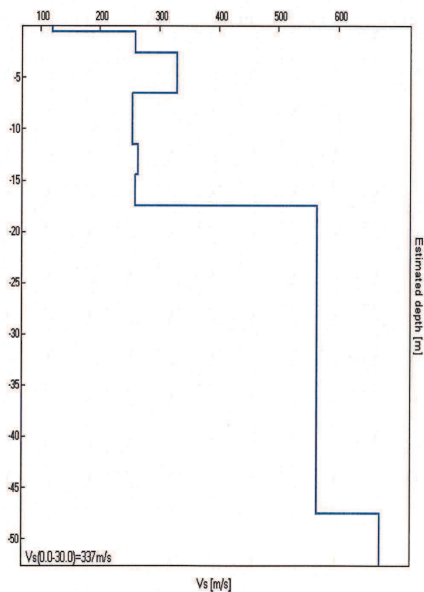


H/V SPERIMENTALE vs. H/V SINTETICO



Profondità alla base dello strato [m]	Spessore [m]	Vs [m/s]
0.60	0.60	120
2.60	2.00	260
6.50	3.90	330
11.50	5.00	255
14.50	3.00	265
17.50	3.00	260
47.50	30.00	565
inf.	inf.	670

Vs(0,0-30,0)=337m/s

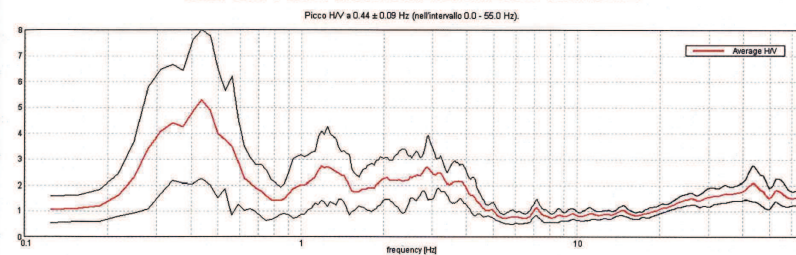


J12_060_04_18_SANTA_MARIA_A_MONTE_TR, VIA RIMOZZO TR2

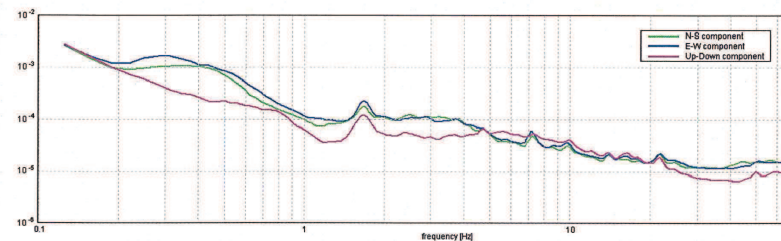
Strumento: TEP-0085/01-10
Inizio registrazione: 18/04/12 15:07:54 Fine registrazione: 18/04/12 15:21:55
Nomi canali: NORTH SOUTH; EAST WEST; UP DOWN
Dato GPS non disponibile

Durata registrazione: 0h14'00". Analisi effettuata sull'intera traccia.
Freq. campionamento: 128 Hz
Lunghezza finestre: 20 s
Tipo di lisciamento: Triangular window
Lisciamento: 5%

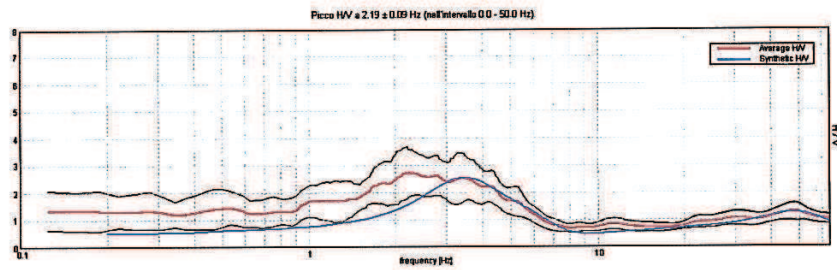
RAPPORTO SPETTRALE ORIZZONTALE SU VERTICALE



SPETTRI DELLE SINGOLE COMPONENTI

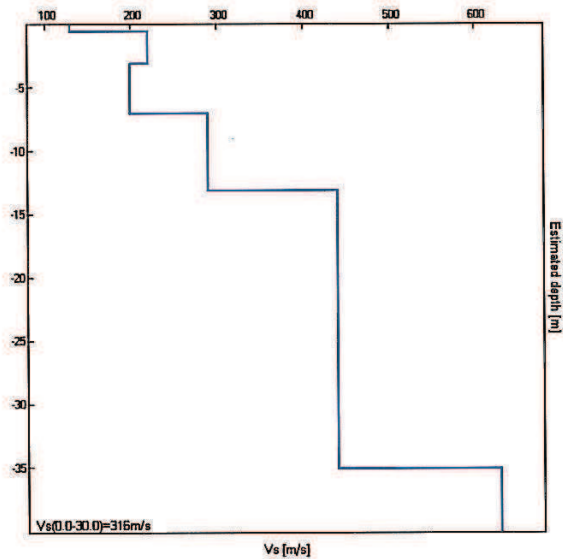


H/V SPERIMENTALE vs. H/V SINTETICO



Profondità alla base dello strato [m]	Spessore [m]	Vs [m/s]
0.60	0.60	130
3.10	2.50	220
7.10	4.00	200
13.10	6.00	290
35.10	22.00	440
inf.	inf.	630

Vs(0.0-30.0)=316m/s

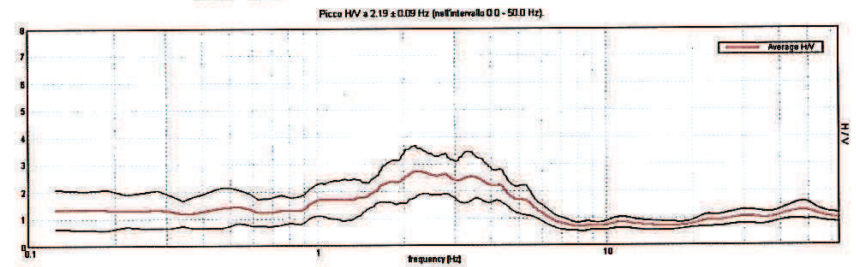


J13_075_07_27_SANTA MARIA A MONTE_TR, PREGIUNTINO TR1

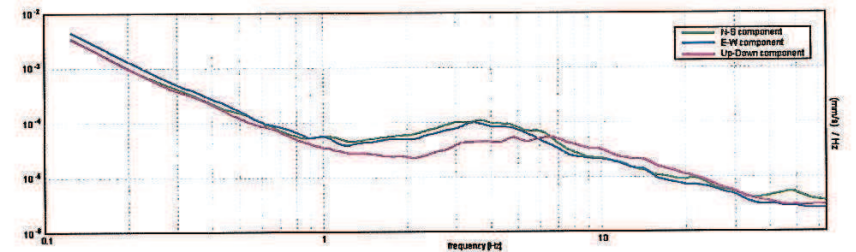
Strumento: TEP-0085/01-10
 Inizio registrazione: 27/07/13 10:27:30 Fine registrazione: 27/07/13 10:45:31
 Nomi canali: NORTH SOUTH; EAST WEST; UP DOWN
 Dato GPS non disponibile

Durata registrazione: 0h18'00". Analisi effettuata sull'intera traccia.
 Freq. campionamento: 128 Hz
 Lunghezza finestre: 20 s
 Tipo di lisciamento: Triangular window
 Lisciamento: 10%

RAPPORTO SPETTRALE ORIZZONTALE SU VERTICALE



SPETTRI DELLE SINGOLE COMPONENTI



ALLEGATO 4C

***INDAGINI SISMICHE PUNTUALI ESEGUITE A
SUPPORTO DEL REGOLAMENTO URBANISTICO
(TROMOMETRIE 43-46)***



OGGETTO:		INDAGINI GEOFISICHE
TIPOLOGIA:	HVSR	DATA INDAGINE:
		Giugno 2015
LOCALITA':		
COMUNE DI SANTA MARIA A MONTE (PI)		
RICHIEDENTE:		
GEOPROGETTI STUDIO ASSOCIATO		

codice documento:	j15.037.06.12_smm.doc
versione /revisione:	01
stato documento:	definitivo
autore:	a.benvenuti
revisione:	v.carnicelli
approvazione:	v.carnicelli
data:	Giugno 2015

SOMMARIO

1	PREMESSA.....	2
2	TIPO D'INDAGINE	2
2.1	STRUMENTAZIONE UTILIZZATA	2
2.2	INDAGINE HVSR: METODOLOGIA E ACQUISIZIONE	2
3	ANALISI DEI RISULTATI	3
3.1	INDAGINI HVSR:	3

1 PREMESSA

Su richiesta di Geoprogetti Studio Associato sono state eseguite una serie di indagini geofisiche nel territorio comunale di Santa Maria a Monte (PI), finalizzate alla determinazione della frequenza fondamentale di sito.

Le indagini, svolte in data 12 Giugno 2015, coordinate e dirette dal dott. Geol. Emilio Pistilli di Geoprogetti Studio Associato, sono state condotte conformemente alla vigente normativa sismica e in particolare: ai contenuti dell'O.P.C.M. n. 3274/2003 "Primi elementi in materia di criteri generali per la classificazione sismica del territorio nazionale e di normative tecniche per le costruzioni in zona sismica" e s.m.i.; ai contenuti del Regolamento di attuazione dell'articolo 62 della legge regionale 3 gennaio 2005, n.1 (Norme per il governo del territorio) in materia di indagini geologiche, emanato con Decreto del Presidente della Giunta Regionale 25 ottobre 2011, n. 53/R; ai contenuti della Delibera di Giunta Regionale Toscana n. 741 del 06.08.2012 con cui sono state approvate le nuove specifiche tecniche per gli studi di Microzonazione Sismica; alle specifiche del Programma Regionale VEL dettate nelle "Istruzioni Tecniche Regionali relative alla realizzazione delle indagini geologico-tecniche, geofisiche, geotecniche finalizzate alla valutazione degli effetti locali nei comuni classificati sismici della Toscana" VEL della Regione Toscana; agli "Indirizzi e Criteri Generali per la Microzonazione Sismica" approvati dalla Conferenza delle Regioni in data 13 novembre 2008.

2 TIPO D'INDAGINE

Per l'individuazione delle frequenze fondamentali, in ogni sito indagato sono stati eseguiti sondaggi in sismica passiva a stazione singola.

Per tutte le misure in sismica passiva a stazione singola sono state valutate le classi di affidabilità per il controllo sulla qualità dei dati acquisiti.

2.1 STRUMENTAZIONE UTILIZZATA

La strumentazione utilizzata per le misure dei microtremori ambientali, elaborata attraverso la tecnica HVSR, è costituita da un tromografo digitale (Tromino® di Micromed S.p.A.) dotato di tre sensori elettrodinamici (velocimetri) orientati N-S, E-W e UP-DOWN.

2.2 INDAGINE HVSR: METODOLOGIA E ACQUISIZIONE

Il rumore sismico, generato dai fenomeni atmosferici (onde oceaniche, vento) e dall'attività antropica, è presente ovunque sulla superficie terrestre. Si chiama anche microtremore poiché riguarda oscillazioni molto più piccole di quelle indotte dai terremoti.

I metodi che si basano sulla sua acquisizione si dicono passivi in quanto il rumore non è generato ad hoc, come ad esempio le esplosioni della sismica attiva.

I microtremori sono in parte costituiti da onde di volume, P o S, ma un ruolo fondamentale nella produzione dei microtremori è rivestito dalle onde superficiali, che hanno velocità prossima a quella delle onde S.

Dai primi studi di Kanai (1957) in poi, diversi metodi sono stati proposti per estrarre l'informazione relativa al sottosuolo dal rumore sismico registrato in un sito. Tra questi, la tecnica che si è maggiormente consolidata nell'uso è quella dei rapporti spettrali tra le componenti del moto orizzontale e quella verticale (Horizontal to Vertical Spectral Ratio,

HVSR o H/V), proposta da Nogoshi e Igarashi (1970). La tecnica è universalmente riconosciuta come efficace nel fornire stime affidabili della frequenza fondamentale di risonanza del sottosuolo.

I risultati che si possono ottenere da una registrazione di questo tipo sono:

- la frequenza caratteristica di risonanza del sito che rappresenta un parametro fondamentale per il corretto dimensionamento degli edifici in termini di risposta sismica locale in quanto si dovranno adottare adeguate precauzioni nell'edificare edifici aventi la stessa frequenza di vibrazione del terreno per evitare l'effetto di "doppia risonanza" estremamente pericolosi per la stabilità degli stessi;
- la frequenza fondamentale di risonanza di un edificio, qualora la misura venga effettuata all'interno dello stesso. In seguito sarà possibile confrontarla con quella caratteristica del sito e capire se in caso di sisma la struttura potrà essere o meno a rischio;
- la velocità equivalente delle onde di taglio V_s ;
- la stratigrafia del sottosuolo con un range di indagine compreso tra 0.5 e 700 m di profondità anche se il dettaglio maggiore si ha nei primi 100 metri.

Per quanto concerne il fenomeno della "doppia risonanza" (cioè la corrispondenza tra le frequenze fondamentali del segnale sismico, così come trasmesso in superficie, e quelle dei manufatti ivi edificati) è noto che, dal punto di vista empirico, la frequenza di risonanza di un edificio è governata principalmente dall'altezza.

La quantificazione della frequenza caratteristica di sito attraverso misure dirette di microtremore sismico può quindi essere di estremo aiuto nella fase di progettazione.

Le misure dei microtremori ambientali, orientate secondo il Nord e della durata di 20 minuti ciascuna, sono state effettuate con il tromografo digitale Tromino[®] di Micromed S.p.A.. I dati di rumore, amplificati e digitalizzati a 24 bit equivalenti, sono stati acquisiti alla frequenza di campionamento di 128 Hz.

3 ANALISI DEI RISULTATI

3.1 INDAGINI HVSR:

Nella tabella seguente si riportano, per ogni indagine tromografica, la denominazione, le coordinate Gauss Boaga, i parametri di acquisizione e la data di esecuzione:

PARAMETRI CONFIGURAZIONALI INDAGINI HVSR					
Denominazione	Coordinate Gauss Boaga		Durata acquisizione	Frequenza di campionamento	Data acquisizione
TR43	1634606	4841686	20 min	128 Hz	12.06.2015
TR44	1637195	4842576	20 min	128 Hz	12.06.2015
TR45	1637195	4842576	20 min	128 Hz	12.06.2015
TR46	1635779	4841838	20 min	128 Hz	12.06.2015

Tabella riassuntiva indagini tromografiche.

I risultati ottenuti dall'esecuzione delle singole indagini tromografiche, elaborate attraverso il software Grilla 6.5 di Micromed S.p.A., sono stati verificati secondo le linee guida Sesame; in particolare, nella tabella sottostante si riporta la legenda relativa ai parametri verificati e ai criteri utilizzati.

Legenda Criteri Sesame, 2005

L_w	lunghezza della finestra
n_w	numero di finestre usate nell'analisi
$n_c = L_w n_w f_0$	numero di cicli significativi
f	frequenza attuale
f_0	frequenza del picco H/V
σ_f	deviazione standard della frequenza del picco H/V
$\varepsilon(f_0)$	valore di soglia per la condizione di stabilità $\sigma_f < \varepsilon(f_0)$
A_0	ampiezza della curva H/V alla frequenza f_0
$A_{H/V}(f)$	ampiezza della curva H/V alla frequenza f
f^-	frequenza tra $f_0/4$ e f_0 alla quale $A_{H/V}(f^-) < A_0/2$
f^+	frequenza tra f_0 e $4f_0$ alla quale $A_{H/V}(f^+) < A_0/2$
$\sigma_A(f)$	deviazione standard di $A_{H/V}(f)$, $\sigma_A(f)$ è il fattore per il quale la curva $A_{H/V}(f)$ media deve essere moltiplicata o divisa
$\sigma_{\log H/V}(f)$	deviazione standard della funzione $\log A_{H/V}(f)$
$\theta(f_0)$	valore di soglia per la condizione di stabilità $\sigma_A(f) < \theta(f_0)$

Valori di soglia per σ_f e $\sigma_A(f_0)$					
Intervallo di freq. [Hz]	< 0.2	0.2 – 0.5	0.5 – 1.0	1.0 – 2.0	> 2.0
$\varepsilon(f_0)$ [Hz]	$0.25 f_0$	$0.2 f_0$	$0.15 f_0$	$0.10 f_0$	$0.05 f_0$
$\theta(f_0)$ per $\sigma_A(f_0)$	3.0	2.5	2.0	1.78	1.58
$\log \theta(f_0)$ per $\sigma_{\log H/V}(f_0)$	0.48	0.40	0.30	0.25	0.20

Nella tabella sottostante sono riportati, per ogni singola indagine tromografica, i valori della frequenza di picco e i valori di picco negli intervalli di frequenza inferiore a 1 Hz, compreso tra 1 Hz e 10 Hz e maggiore di 10 Hz.

Denominazione	Intervallo F < 1 Hz		Intervallo 1 Hz < F < 10 Hz		Intervallo F > 10 Hz	
	frequenza di picco	valore di picco	frequenza di picco	valore di picco	frequenza di picco	valore di picco
TR43	-		tra 1.9 e 4.0	3	-	
TR44	-		tra 1.5 e 2.5	2	-	
TR45	-		tra 1.9 e 2.5	2	-	
TR46	-		tra 2.0 e 3.5	2.8	-	

Tabella frequenze di risonanza evidenziate nelle misure effettuate.

Nella tabella seguente è riportata la classificazione della qualità delle misure tromografiche eseguite così come definita da *Albarello Castellaro* "Tecniche sismiche passive: indagine a stazione singola" Ingegneria Sismica Anno XXVIII – n.2 – 2011.

Denominazione misura	Durata misura (>15-20 min)	Stazionarietà del segnale	Isotropia del segnale (<30% max)	Assenza di disturbi significativi	Plausibilità fisica	Robustezza statistica (SESAME)	Presenza di picchi significativi	Classe di qualità
TR43	si	si	si	si	si	si	si	A1
TR44	si	si	si	si	si	si	no	A2
TR45	si	si	si	si	si	si	no	A2
TR46	si	si	si	si	si	si	si	A1

Classificazione della qualità delle misure di microtremore ambientale ai fini della microzonazione sismica. Verifica dei criteri di qualità.

Pisa, Giugno 2015

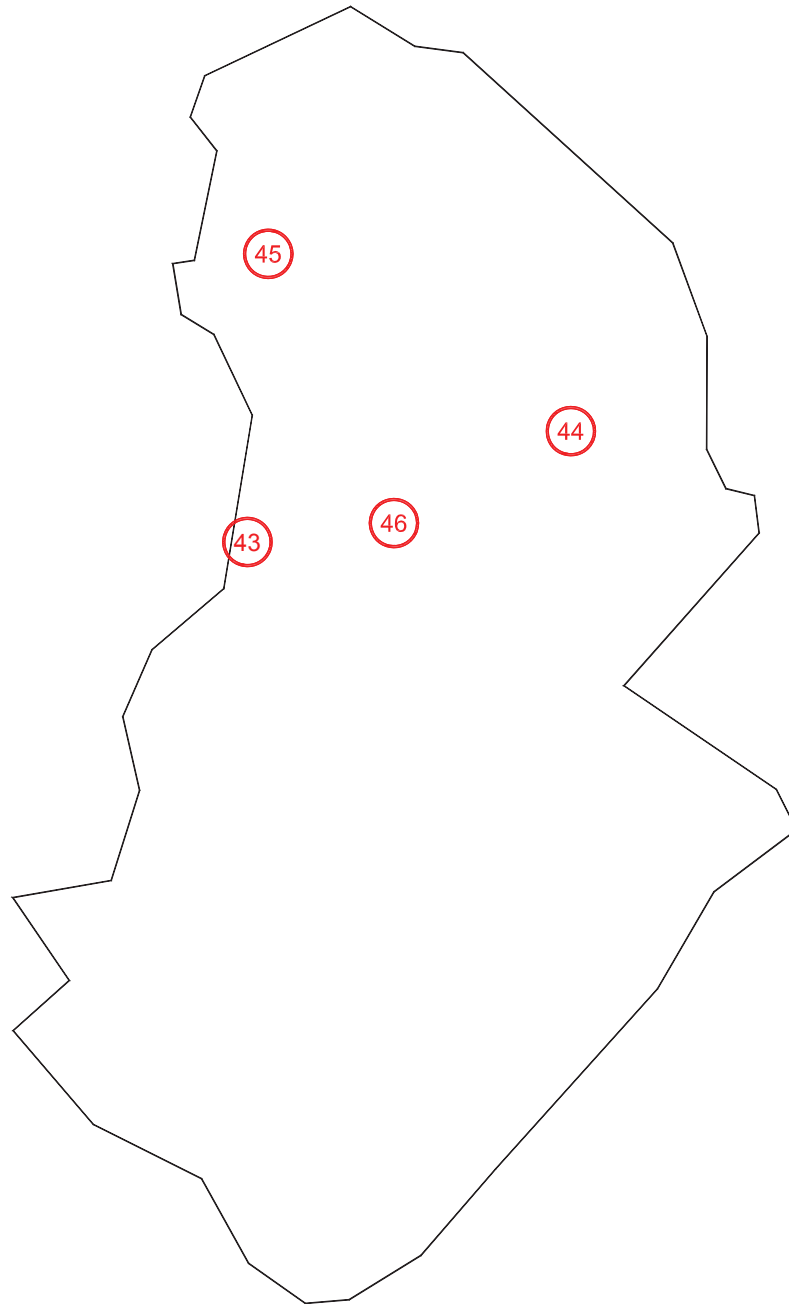
P3 s.n.c.
P3 s.n.c.
 Piazza Martiri della Libertà, 22/23
 56127 PISA
 C.F./P.IVA 01923910507




Nelle pagine seguenti, come indicato in tabella, per ogni sito indagato sono riportate la cartografia con l'ubicazione delle indagini eseguite (in scala 1:2.000), le elaborazioni specifiche e la documentazione fotografica.

Denominazione	Pagina
TR43 – Via Pagnaccio	7
TR44 – Frazione di Cerretti – Via Cerretti - Adiacenze Scuola Elementare	12
TR45 – Frazione di Tavolaia – Via di Tavolaia – Adiacenze Osservatorio Astronomico	17
TR46 – Frazione di Falorni – Incrocio Via del Bruno / Via Falorni	22

Per ogni indagine HVSR si riportano il grafico della curva sperimentale H/V con lisciamiento al 10%, la serie temporale H/V, lo spettro indicante la direzionalità del rumore, gli spettri delle tre componenti del moto in velocità con lisciamiento al 10% e all'1% e la tabella con i risultati delle verifiche eseguite secondo le linee guida Sesame.



Legenda

 Indagini tromografiche

300m 0 scala 1:60.000 1500m



Ubicazione Indagini. Inquadramento generale

J15_037_06_12_SANTA_MARIA_A_MONTE_TR, VIA PAGNACCIO TR43

Strumento: TEP-0085/01-10

Formato dati: 16 byte

Fondo scala [mV]: n.a.

Inizio registrazione: 12/06/15 14:53:54 Fine registrazione: 12/06/15 15:13:55

Nomi canali: NORTH SOUTH; EAST WEST; UP DOWN

Dato GPS non disponibile

Superficie: Terreno naturale

Condizioni meteo: Nuvoloso, ventilato

Durata registrazione: 0h20'00".

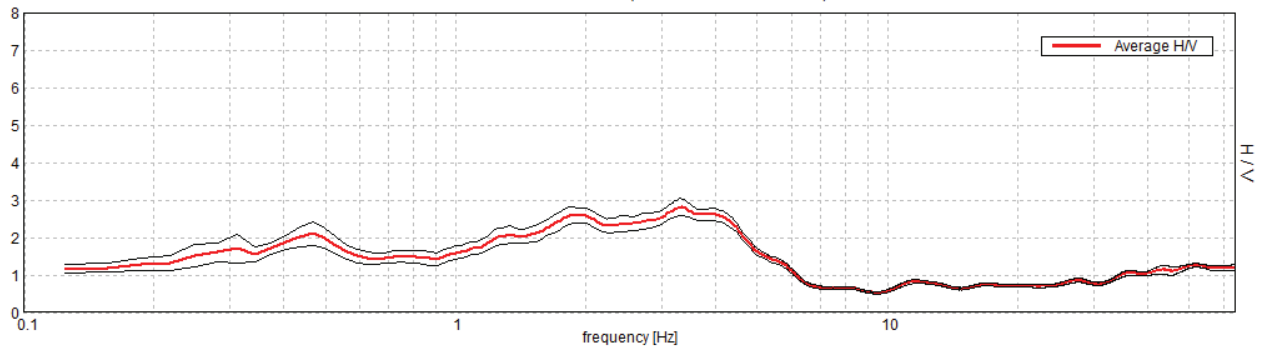
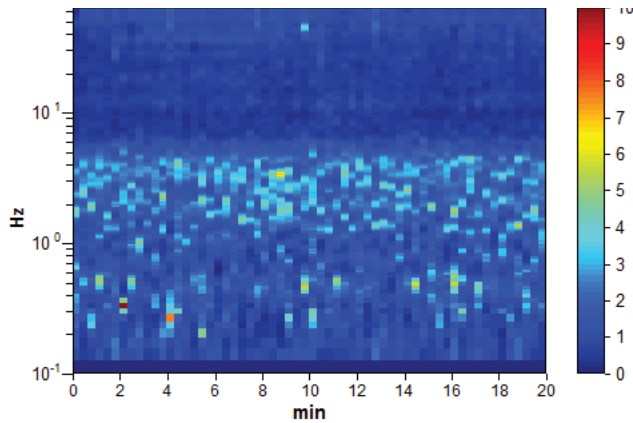
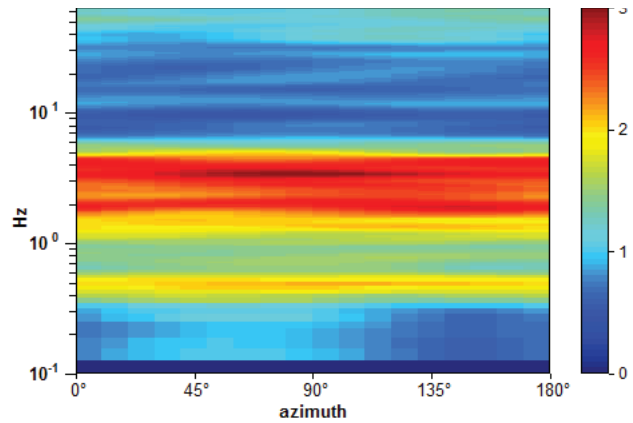
Analisi effettuata sull'intera traccia.

Freq. campionamento: 128 Hz

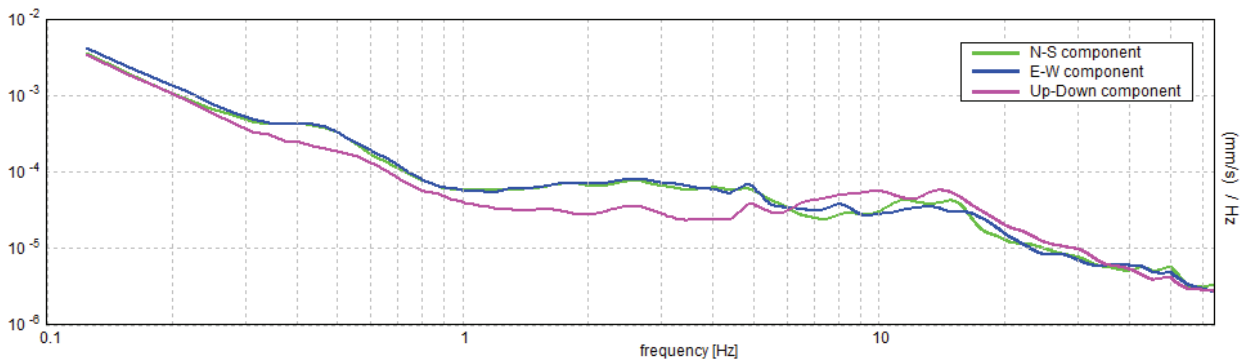
Lunghezza finestre: 20 s

Tipo di lisciamento: Triangular window

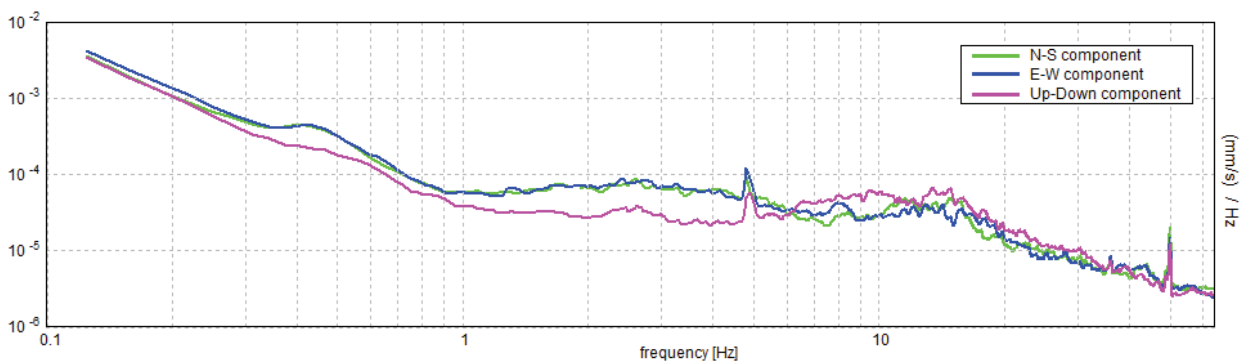
Lisciamento: 10%

RAPPORTO SPETTRALE ORIZZONTALE SU VERTICALEPicco H/V a 3.31 ± 0.63 Hz (nell'intervallo 0.0 - 64.0 Hz).**SERIE TEMPORALE H/V****DIREZIONALITA' H/V**

SPETTRI DELLE SINGOLE COMPONENTI



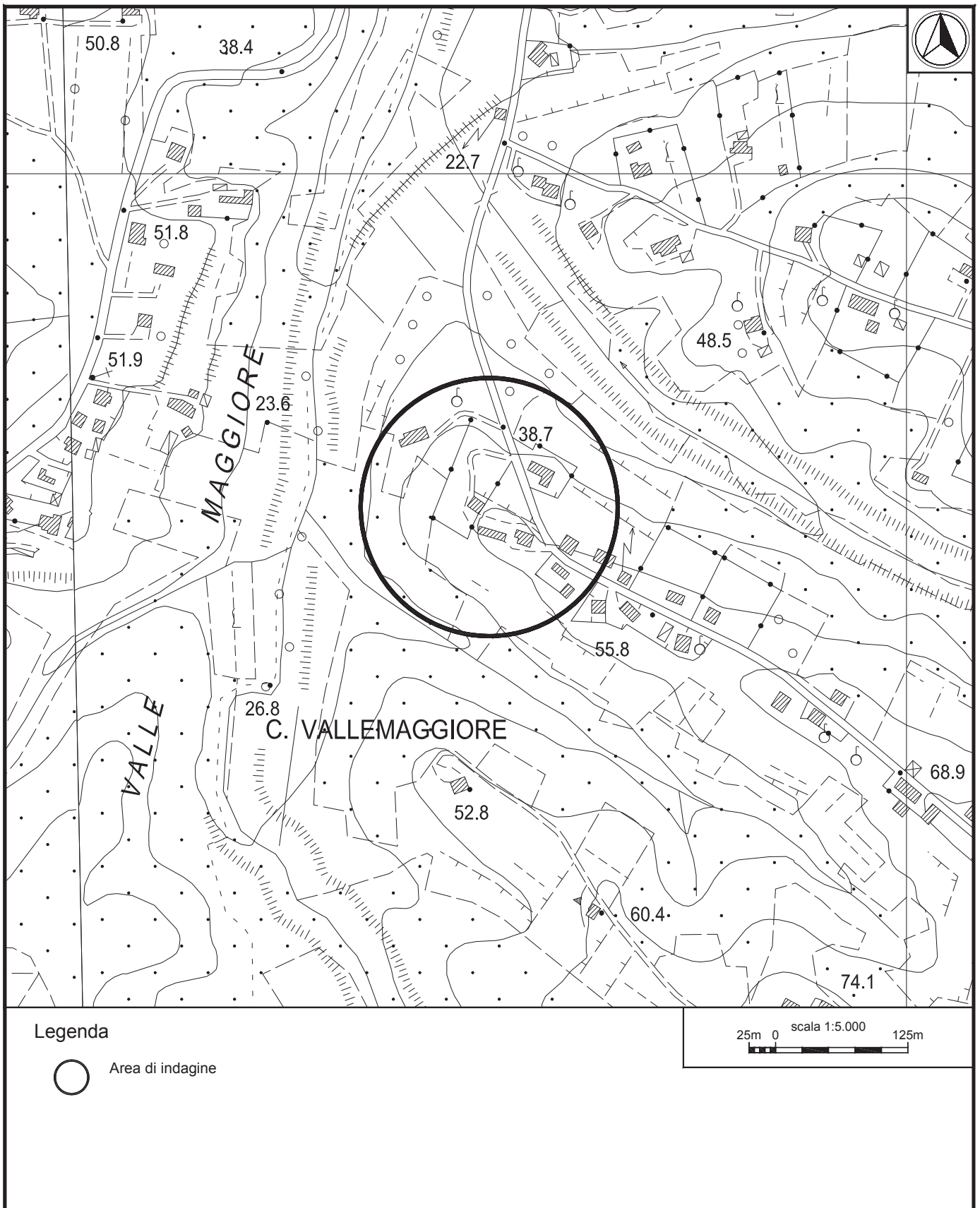
SPETTRI DELLE SINGOLE COMPONENTI (Con lisciamento all'1%)



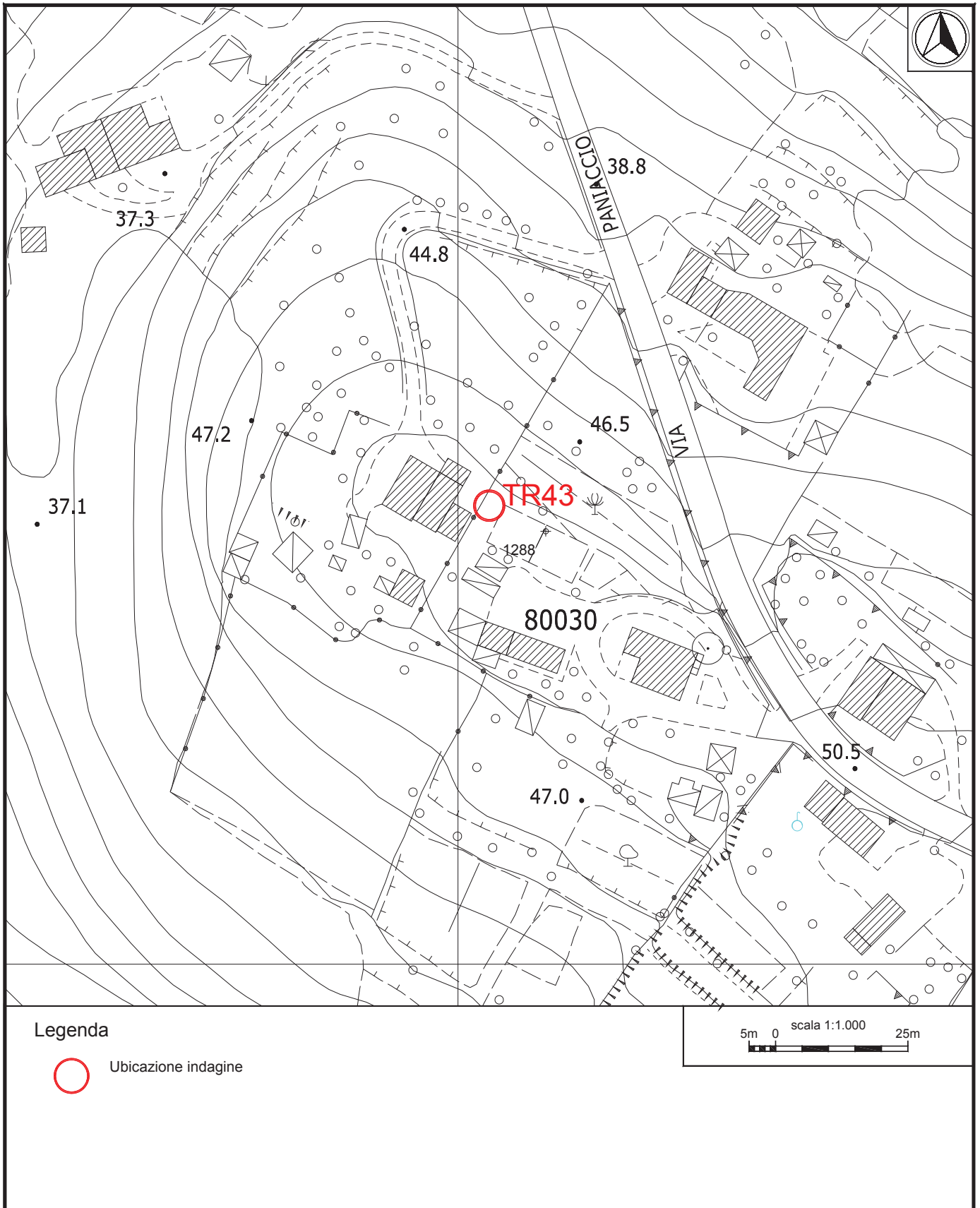
Sito 01. Verifica secondo le linee guida SESAME, 2005:

Picco H/V a 3.31 ± 0.63 Hz (nell'intervallo 0.0 - 64.0 Hz).

Criteri per una curva H/V affidabile [Tutti 3 dovrebbero risultare soddisfatti]			
$f_0 > 10 / L_w$	$3.31 > 0.50$	OK	
$n_c(f_0) > 200$	$3975.0 > 200$	OK	
$\sigma_A(f) < 2$ per $0.5f_0 < f < 2f_0$ se $f_0 > 0.5\text{Hz}$ $\sigma_A(f) < 3$ per $0.5f_0 < f < 2f_0$ se $f_0 < 0.5\text{Hz}$	Superato 0 volte su 160	OK	
Criteri per un picco H/V chiaro [Almeno 5 su 6 dovrebbero essere soddisfatti]			
Esiste f^- in $[f_0/4, f_0]$ $A_{H/V}(f^-) < A_0 / 2$			NO
Esiste f^+ in $[f_0, 4f_0]$ $A_{H/V}(f^+) < A_0 / 2$	5.438 Hz	OK	
$A_0 > 2$	$2.80 > 2$	OK	
$f_{\text{picco}}[A_{H/V}(f) \pm \sigma_A(f)] = f_0 \pm 5\%$	$ 0.18957 < 0.05$		NO
$\sigma_f < \varepsilon(f_0)$	$0.62796 < 0.16563$		NO
$\sigma_A(f_0) < \theta(f_0)$	$0.2314 < 1.58$	OK	



Ubicazione Indagine in sismica passiva TR43. Inquadramento.



Ubicazione Indagine in sismica passiva TR43. Dettaglio.



Indagine Tromografica – TR43 - Documentazione fotografica.

J15_037_06_12_SANTA_MARIA_A_MONTE_TR, CERRETTI TR44

Strumento: TEP-0085/01-10

Formato dati: 16 byte

Fondo scala [mV]: n.a.

Inizio registrazione: 12/06/15 13:02:23 Fine registrazione: 12/06/15 13:22:24

Nomi canali: NORTH SOUTH; EAST WEST; UP DOWN

Dato GPS non disponibile

Superficie: Terreno naturale

Condizioni meteo: Nuvoloso, vento assente

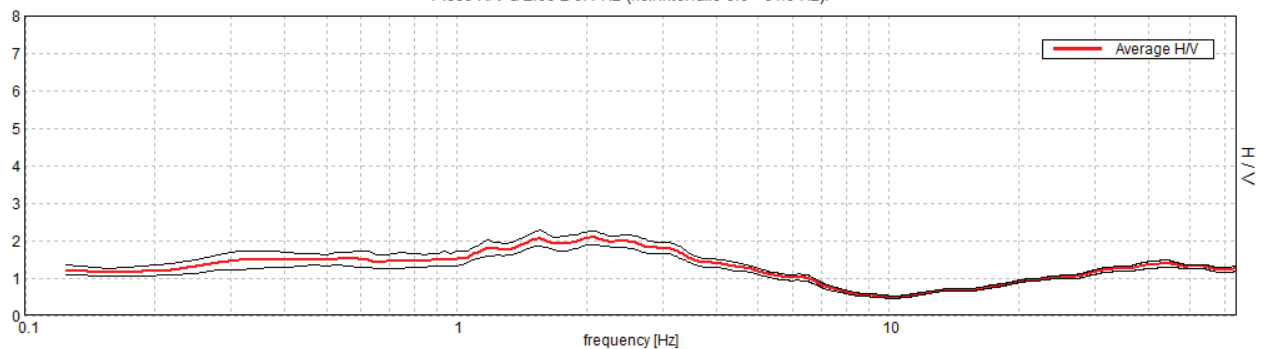
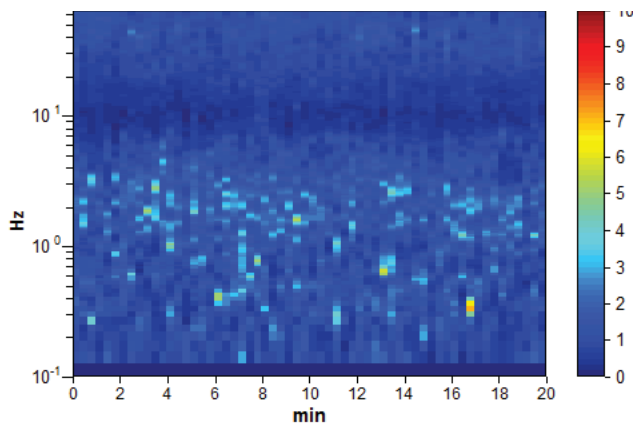
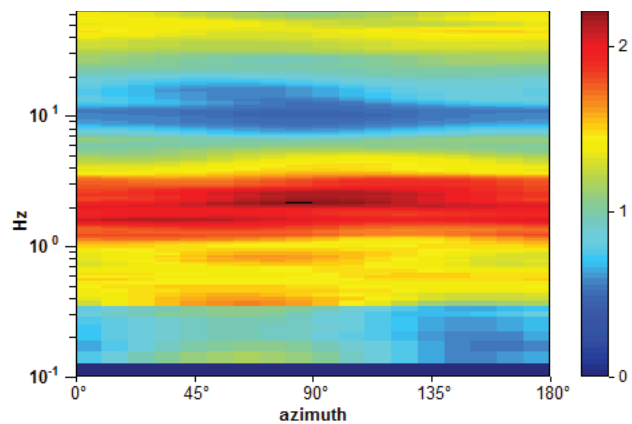
Durata registrazione: 0h20'00". Analisi effettuata sull'intera traccia.

Freq. campionamento: 128 Hz

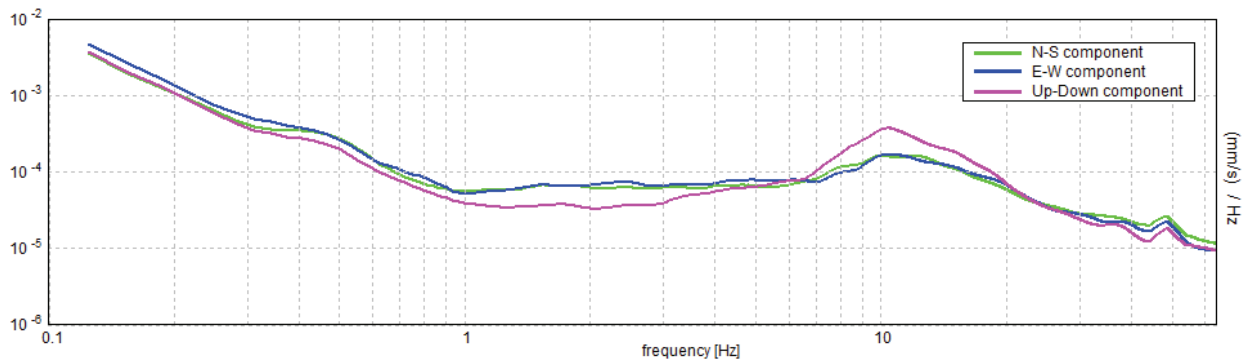
Lunghezza finestre: 20 s

Tipo di lisciamento: Triangular window

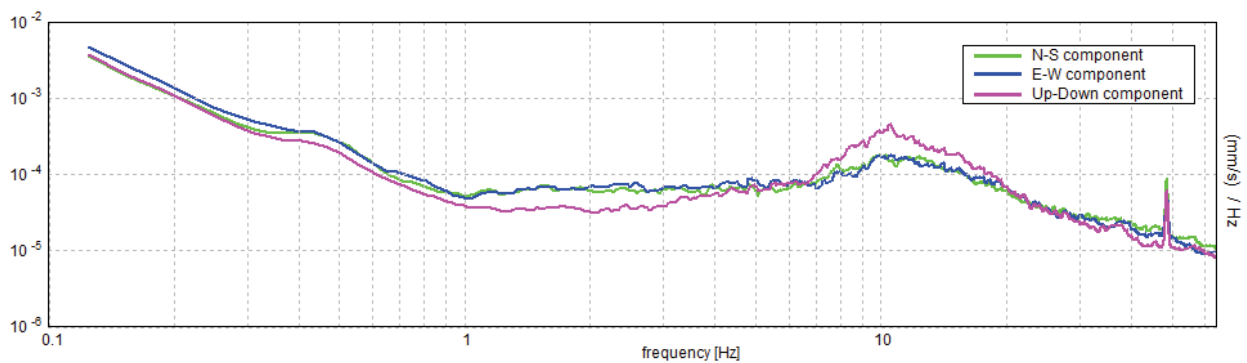
Lisciamento: 10%

RAPPORTO SPETTRALE ORIZZONTALE SU VERTICALEPicco H/V a 2.06 ± 0.4 Hz (nell'intervallo 0.0 - 64.0 Hz).**SERIE TEMPORALE H/V****DIREZIONALITA' H/V**

SPETTRI DELLE SINGOLE COMPONENTI



SPETTRI DELLE SINGOLE COMPONENTI (Con lisciamento all'1%)



Sito 02. Verifica secondo le linee guida SESAME, 2005:

Picco H/V a 2.06 ± 0.4 Hz (nell'intervallo 0.0 - 64.0 Hz).

Criteri per una curva H/V affidabile

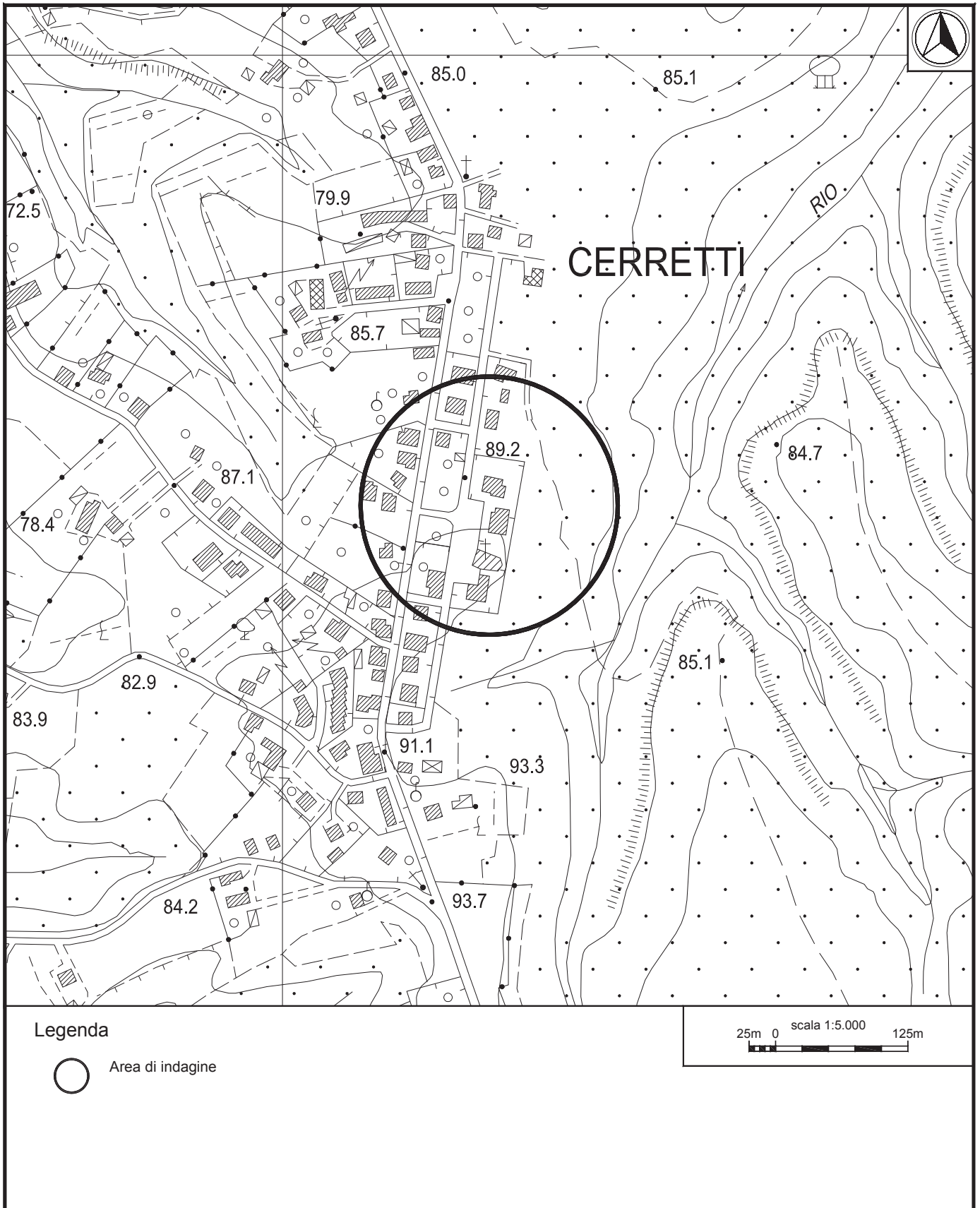
[Tutti 3 dovrebbero risultare soddisfatti]

$f_0 > 10 / L_w$	$2.06 > 0.50$	OK	
$n_c(f_0) > 200$	$2475.0 > 200$	OK	
$\sigma_A(f) < 2$ per $0.5f_0 < f < 2f_0$ se $f_0 > 0.5\text{Hz}$ $\sigma_A(f) < 3$ per $0.5f_0 < f < 2f_0$ se $f_0 < 0.5\text{Hz}$	Superato 0 volte su 100	OK	

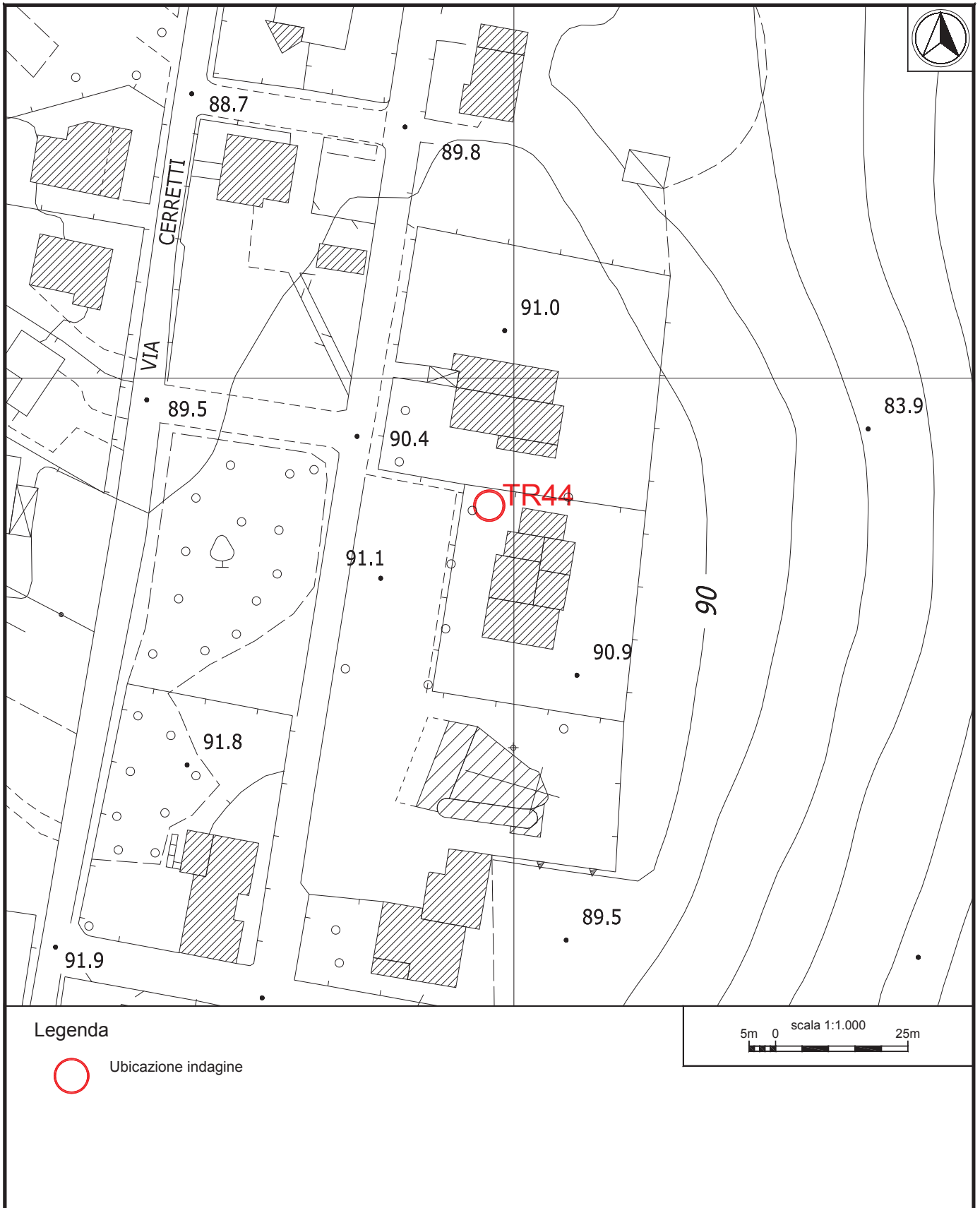
Criteri per un picco H/V chiaro

[Almeno 5 su 6 dovrebbero essere soddisfatti]

Esiste f^- in $[f_0/4, f_0]$ $A_{H/V}(f^-) < A_0 / 2$			NO
Esiste f^+ in $[f_0, 4f_0]$ $A_{H/V}(f^+) < A_0 / 2$	5.656 Hz	OK	
$A_0 > 2$	$2.07 > 2$	OK	
$f_{\text{picco}}[A_{H/V}(f) \pm \sigma_A(f)] = f_0 \pm 5\%$	$ 0.19275 < 0.05$		NO
$\sigma_f < \varepsilon(f_0)$	$0.39754 < 0.10313$		NO
$\sigma_A(f_0) < \theta(f_0)$	$0.1728 < 1.58$	OK	



Ubicazione indagine in sismica passiva TR44. Dettaglio.



Ubicazione indagine in sismica passiva TR44. Dettaglio.



Indagine Tromografica – TR44 - Documentazione fotografica.

J15_037_06_12_SANTA_MARIA_A_MONTE_TR, TAVOLAIA TR45

Strumento: TEP-0085/01-10

Formato dati: 16 byte

Fondo scala [mV]: n.a.

Inizio registrazione: 12/06/15 14:17:19 Fine registrazione: 12/06/15 14:37:19

Nomi canali: NORTH SOUTH; EAST WEST; UP DOWN

Dato GPS non disponibile

Superficie: Terreno naturale

Condizioni meteo: Nuvoloso, ventilato

Durata registrazione: 0h20'00".

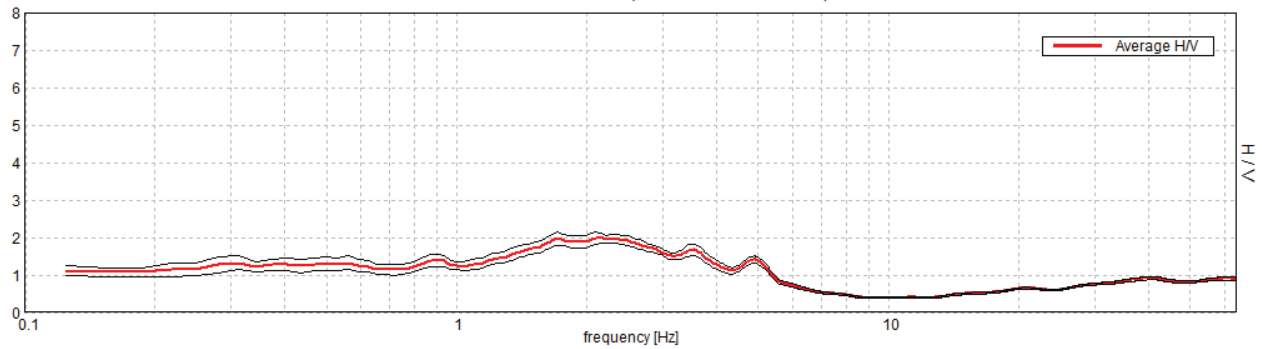
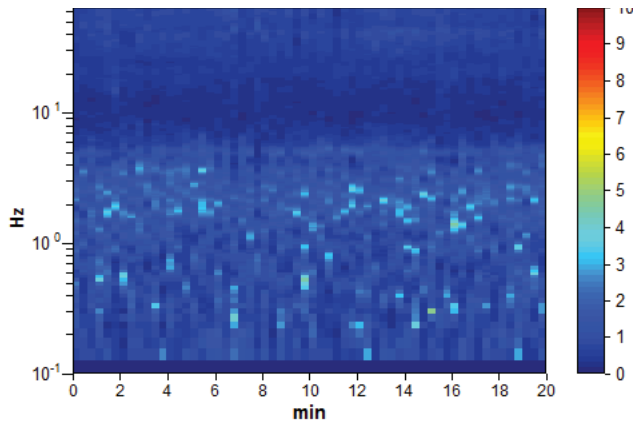
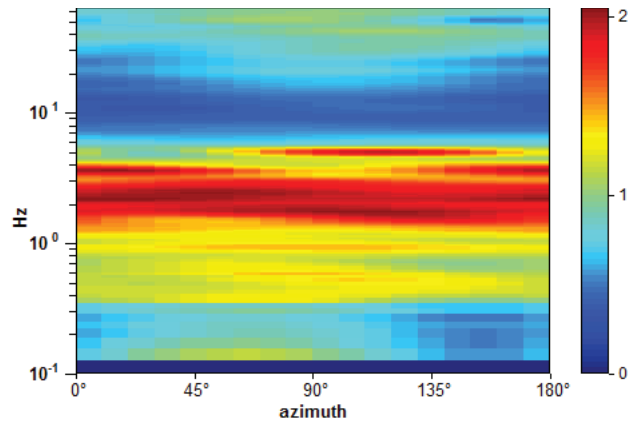
Analisi effettuata sull'intera traccia.

Freq. campionamento: 128 Hz

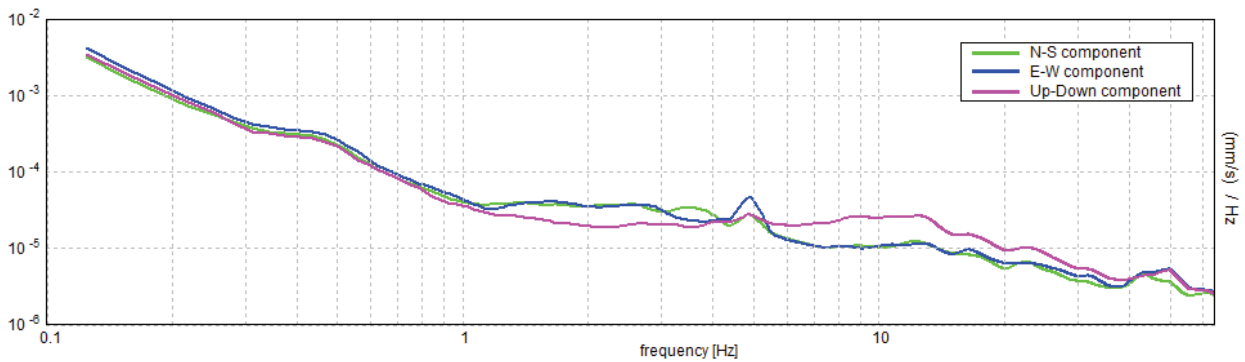
Lunghezza finestre: 20 s

Tipo di lisciamento: Triangular window

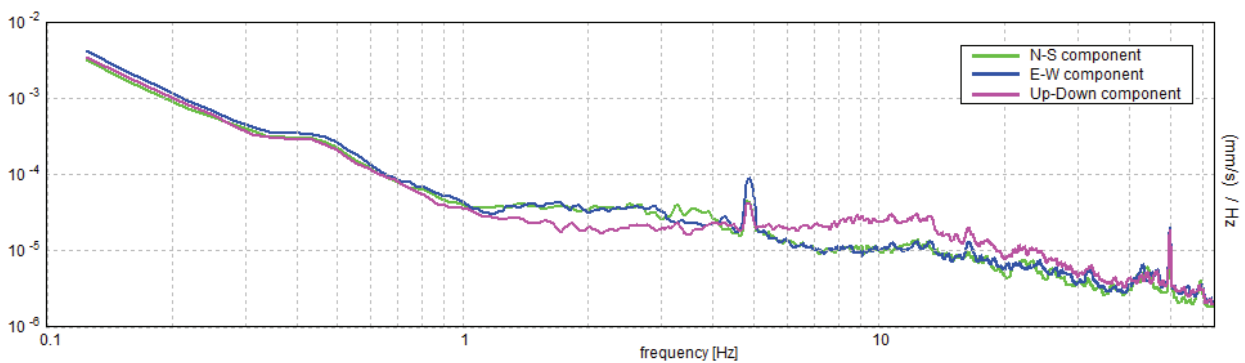
Lisciamento: 10%

RAPPORTO SPETTRALE ORIZZONTALE SU VERTICALEPicco H/V a 2.16 ± 0.42 Hz (nell'intervallo 0.0 - 64.0 Hz).**SERIE TEMPORALE H/V****DIREZIONALITA' H/V**

SPETTRI DELLE SINGOLE COMPONENTI



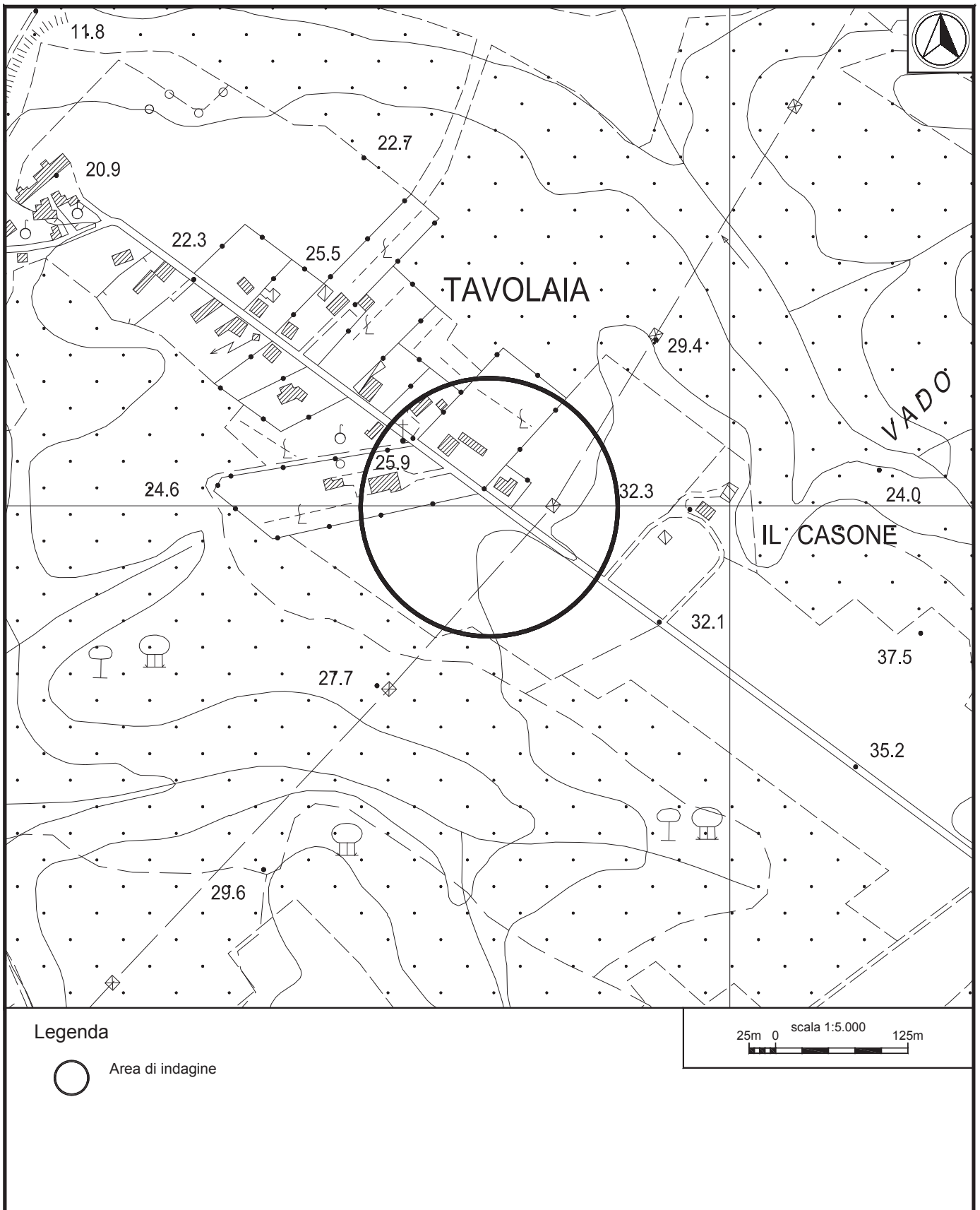
SPETTRI DELLE SINGOLE COMPONENTI (Con lisciamento all'1%)



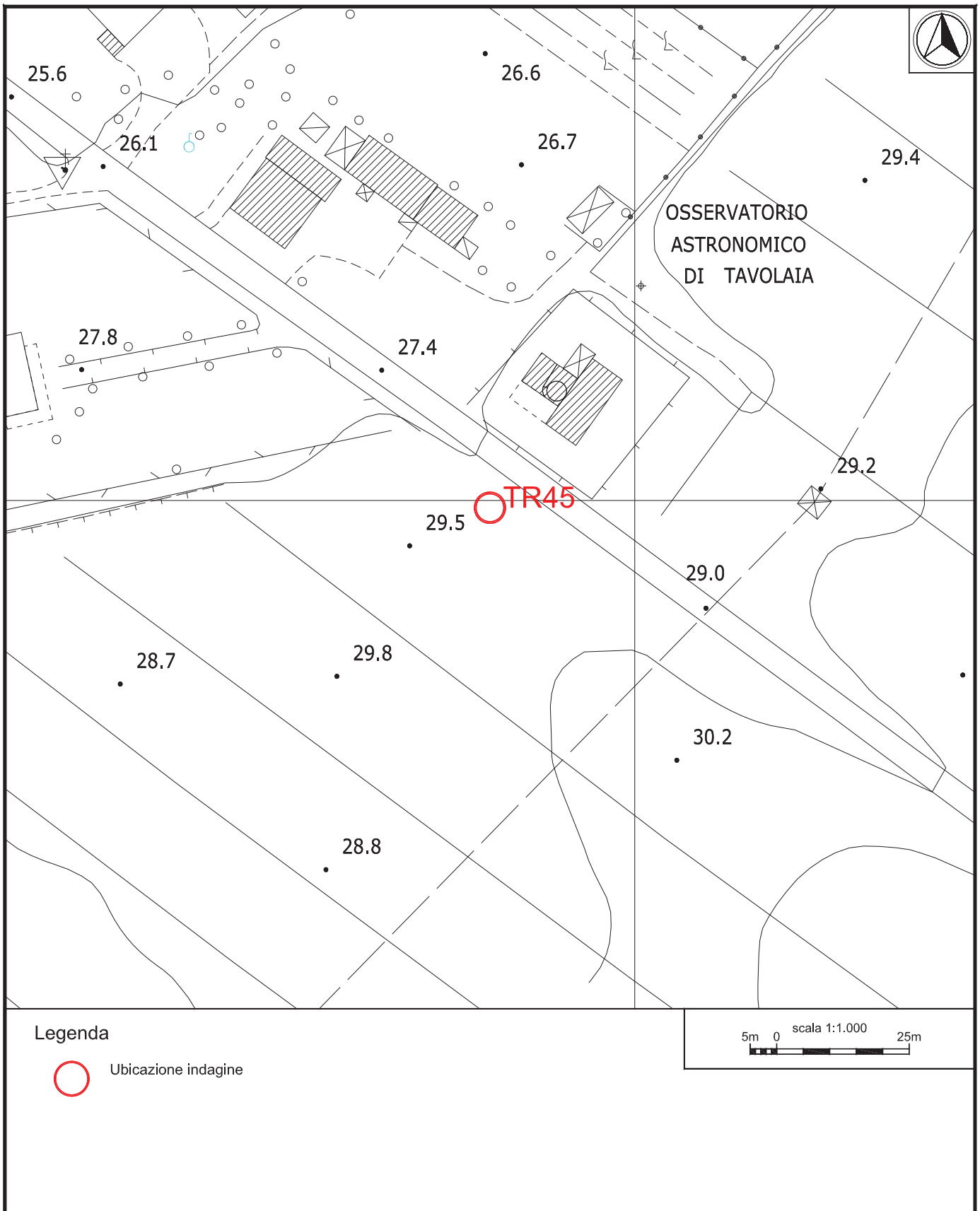
Sito 03. Verifica secondo le linee guida SESAME, 2005:

Picco H/V a 2.16 ± 0.42 Hz (nell'intervallo 0.0 - 64.0 Hz).

Criteri per una curva H/V affidabile [Tutti 3 dovrebbero risultare soddisfatti]			
$f_0 > 10 / L_w$	2.16 > 0.50	OK	
$n_c(f_0) > 200$	2587.5 > 200	OK	
$\sigma_A(f) < 2$ per $0.5f_0 < f < 2f_0$ se $f_0 > 0.5$ Hz $\sigma_A(f) < 3$ per $0.5f_0 < f < 2f_0$ se $f_0 < 0.5$ Hz	Superato 0 volte su 104	OK	
Criteri per un picco H/V chiaro [Almeno 5 su 6 dovrebbero essere soddisfatti]			
Esiste f^- in $[f_0/4, f_0]$ $A_{H/V}(f^-) < A_0 / 2$			NO
Esiste f^+ in $[f_0, 4f_0]$ $A_{H/V}(f^+) < A_0 / 2$	5.406 Hz	OK	
$A_0 > 2$	1.99 > 2		NO
$f_{picco}[A_{H/V}(f) \pm \sigma_A(f)] = f_0 \pm 5\%$	$ 0.19288 < 0.05$		NO
$\sigma_f < \varepsilon(f_0)$	$0.41589 < 0.10781$		NO
$\sigma_A(f_0) < \theta(f_0)$	$0.1336 < 1.58$	OK	



Ubicazione indagine in sismica passiva TR45. Inquadramento.



Ubicazione indagine in sismica passiva TR45. Dettaglio.



Indagine Tromografica – TR45 - Documentazione fotografica.

J15_037_06_12_SANTA_MARIA_A_MONTE_TR, VIA DEL BRUNO TR46

Strumento: TEP-0085/01-10

Formato dati: 16 byte

Fondo scala [mV]: n.a.

Inizio registrazione: 12/06/15 13:42:11 Fine registrazione: 12/06/15 14:02:12

Nomi canali: NORTH SOUTH; EAST WEST; UP DOWN

Dato GPS non disponibile

Superficie: Terreno naturale

Condizioni meteo: Nuvoloso, ventilato

Durata registrazione: 0h20'00".

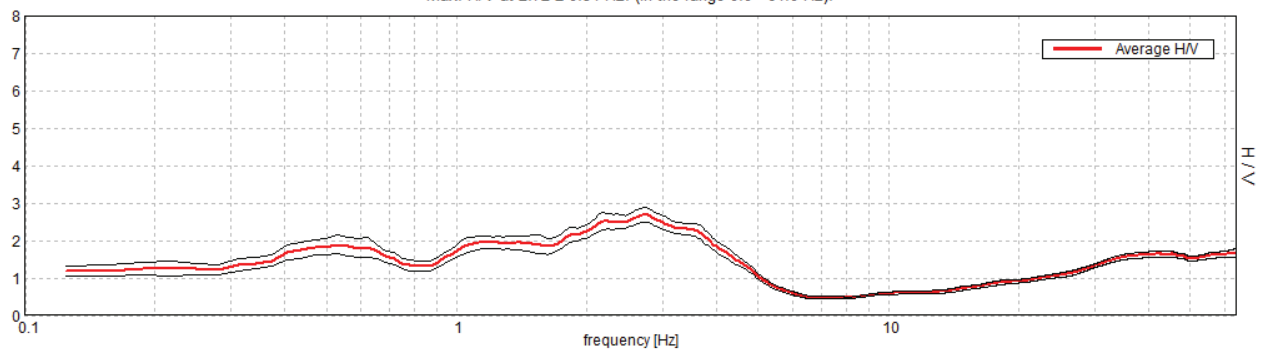
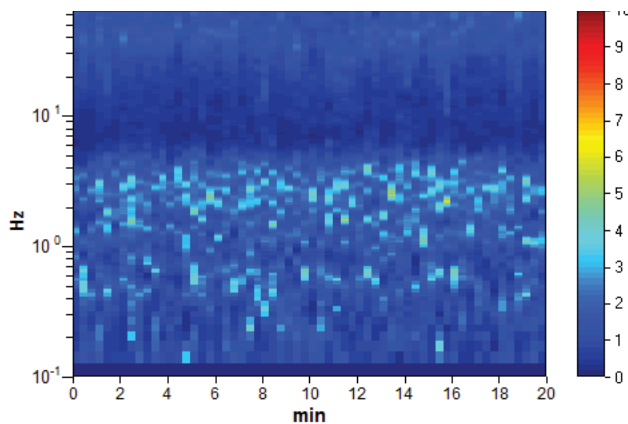
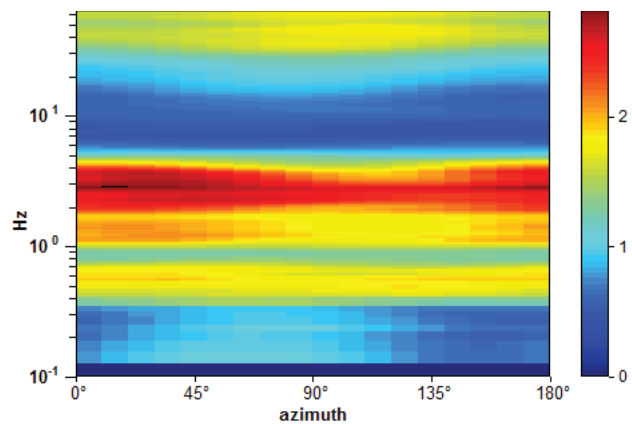
Analisi effettuata sull'intera traccia.

Freq. campionamento: 128 Hz

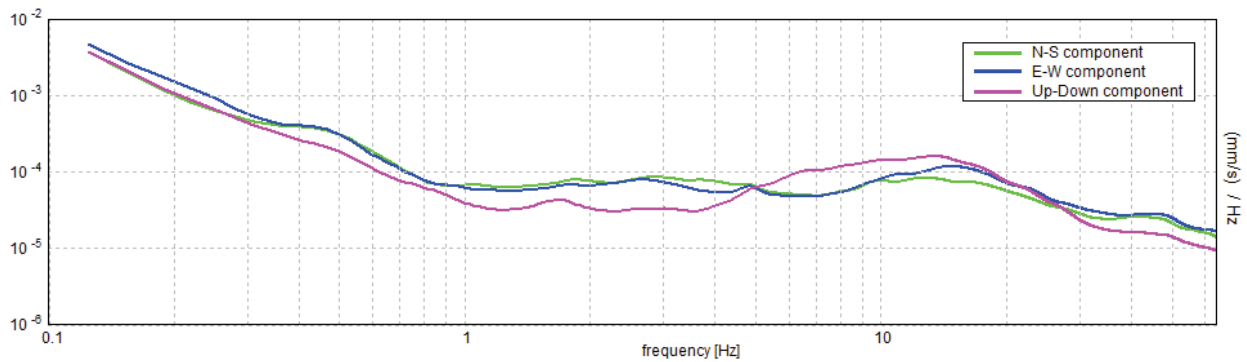
Lunghezza finestre: 20 s

Tipo di lisciamento: Triangular window

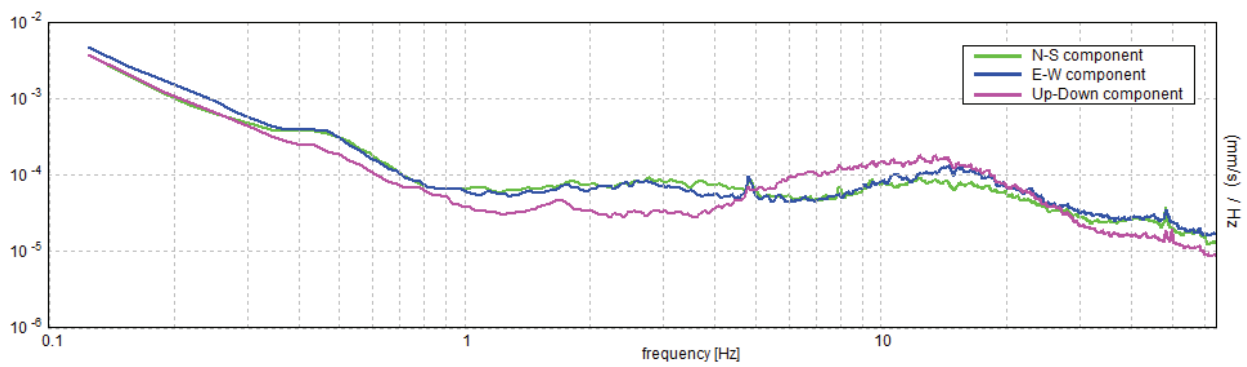
Lisciamento: 10%

RAPPORTO SPETTRALE ORIZZONTALE SU VERTICALEMax. H/V at 2.72 ± 0.54 Hz. (In the range 0.0 - 64.0 Hz).**SERIE TEMPORALE H/V****DIREZIONALITA' H/V**

SPETTRI DELLE SINGOLE COMPONENTI



SPETTRI DELLE SINGOLE COMPONENTI (Con lisciamento all'1%)



TR46. Verifica secondo le linee guida SESAME, 2005:

Picco H/V a 2.72 ± 0.54 Hz (nell'intervallo 0.0 - 64.0 Hz).

Criteri per una curva H/V affidabile

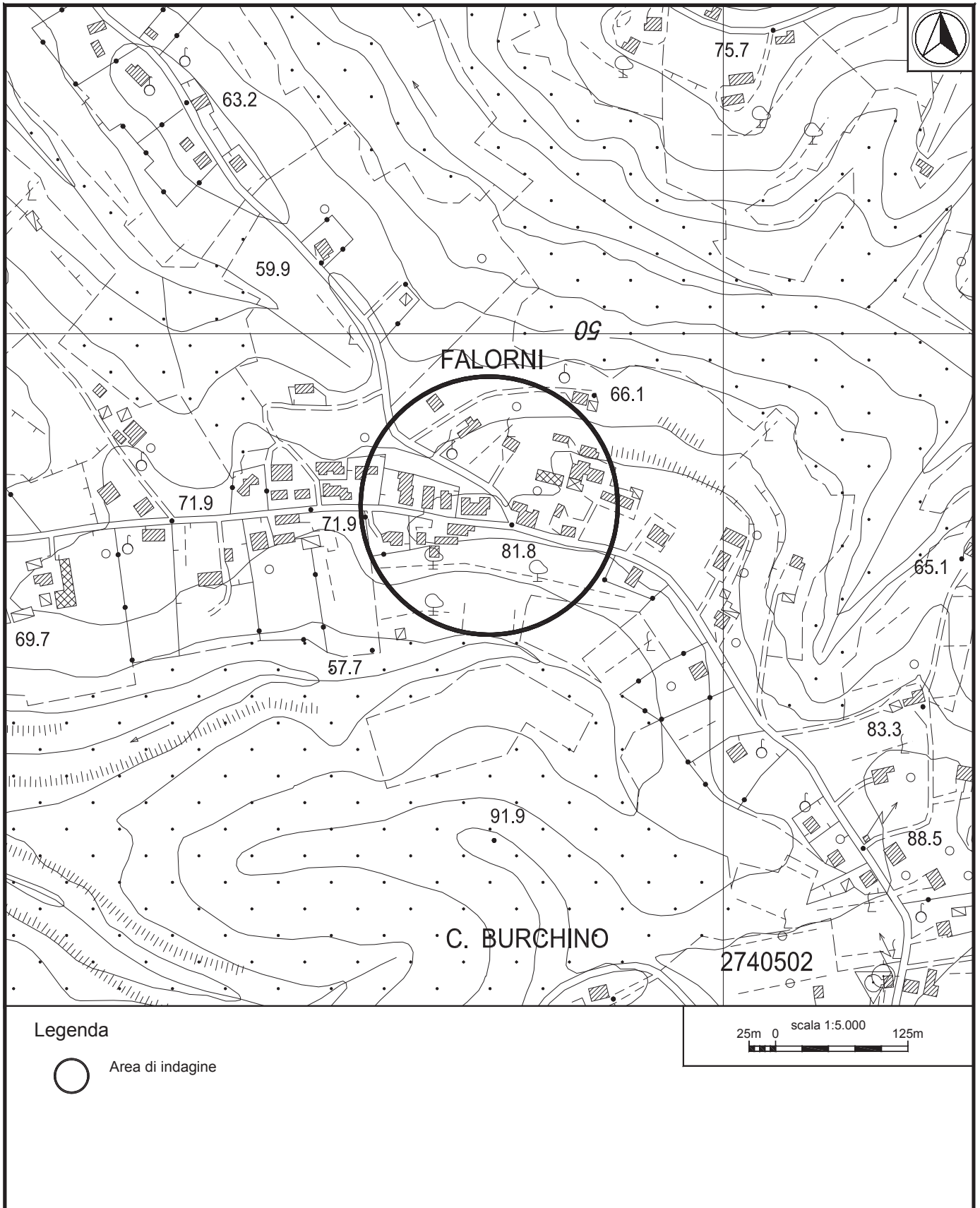
[Tutti 3 dovrebbero risultare soddisfatti]

$f_0 > 10 / L_w$	2.72 > 0.50	OK	
$n_c(f_0) > 200$	3262.5 > 200	OK	
$\sigma_A(f) < 2$ per $0.5f_0 < f < 2f_0$ se $f_0 > 0.5\text{Hz}$ $\sigma_A(f) < 3$ per $0.5f_0 < f < 2f_0$ se $f_0 < 0.5\text{Hz}$	Superato 0 volte su 132	OK	

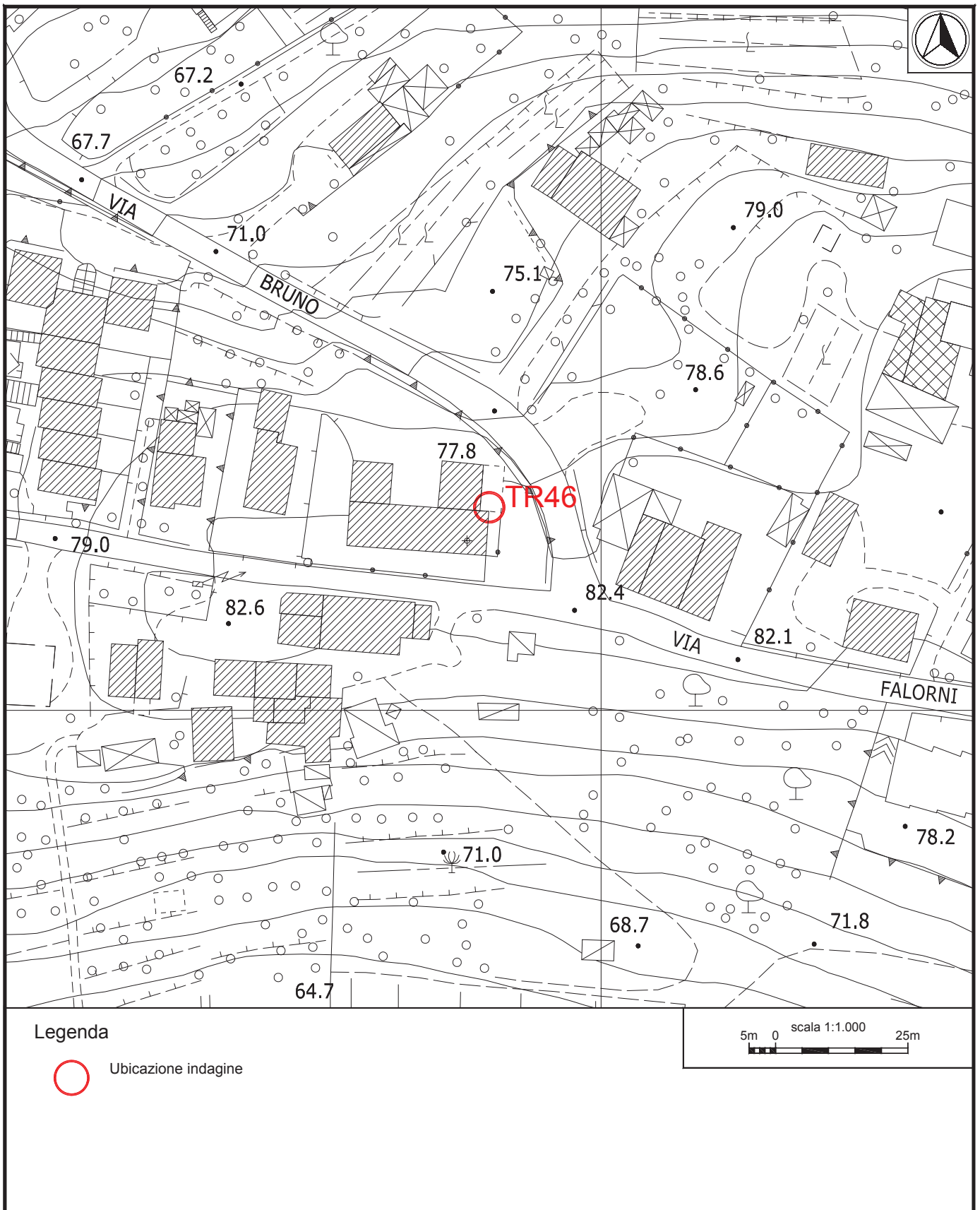
Criteri per un picco H/V chiaro

[Almeno 5 su 6 dovrebbero essere soddisfatti]

Esiste f^- in $[f_0/4, f_0]$ $A_{H/V}(f^-) < A_0 / 2$	0.875 Hz	OK	
Esiste f^+ in $[f_0, 4f_0]$ $A_{H/V}(f^+) < A_0 / 2$	4.656 Hz	OK	
$A_0 > 2$	2.69 > 2	OK	
$f_{\text{picco}}[A_{H/V}(f) \pm \sigma_A(f)] = f_0 \pm 5\%$	$ 0.19918 < 0.05$		NO
$\sigma_f < \varepsilon(f_0)$	$0.54152 < 0.13594$		NO
$\sigma_A(f_0) < \theta(f_0)$	$0.1895 < 1.58$	OK	



Ubicazione indagine in sismica passiva TR46. Inquadramento.



Ubicazione indagine in sismica passiva TR46. Dettaglio.



Indagine Tromografica – TR46 - Documentazione fotografica.